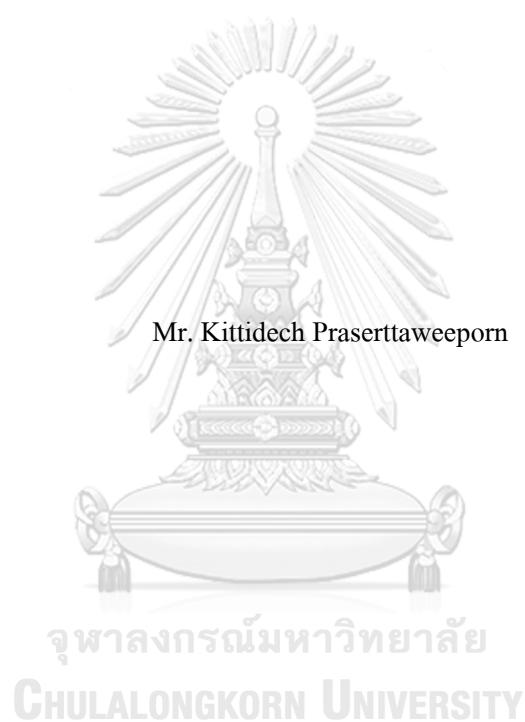


การผลิตน้ำมันชีวภาพจากไพโรไลซิสของไม้ยางพาราและเห้ง้ำมันสำปะหลังโดยใช้นิกเกิลโคโค
ไมต์ในเครื่องปฏิกรณ์เบดนิ่ง



วิทยานิพนธ์นี้เป็นส่วนหนึ่งของการศึกษาตามหลักสูตรปริญญาวิทยาศาสตรมหาบัณฑิต
สาขาวิชาปิโตรเคมีและวิทยาศาสตร์พอลิเมอร์ สาขาวิชาปิโตรเคมีและวิทยาศาสตร์พอลิเมอร์
คณะวิทยาศาสตร์ จุฬาลงกรณ์มหาวิทยาลัย
ปีการศึกษา 2562
ลิขสิทธิ์ของจุฬาลงกรณ์มหาวิทยาลัย

BIO-OIL PRODUCTION FROM PYROLYSIS OF RUBBER WOOD AND CASSAVA
RHIZOME USING Ni/DOLOMITE IN FIXED BED REACTOR



A Thesis Submitted in Partial Fulfillment of the Requirements
for the Degree of Master of Science in Petrochemistry and Polymer Science

Field of Study of Petrochemistry and Polymer Science

FACULTY OF SCIENCE

Chulalongkorn University

Academic Year 2019

Copyright of Chulalongkorn University

หัวข้อวิทยานิพนธ์	การผลิตน้ำมันชีวภาพจากไพโรไลซิสของไม้อย่างพาราและ เหง้ามันสำปะหลังโดยใช้ निकเกิดโคโลไมต์ในเครื่อง ปฏิกรณ์เบดนิ่ง
โดย	นายกิตติเดช ประเสริฐทวีพร
สาขาวิชา	ปิโตรเคมีและวิทยาศาสตร์พอลิเมอร์
อาจารย์ที่ปรึกษาวิทยานิพนธ์หลัก	ศาสตราจารย์ ดร.ธราพงษ์ วิทิตสานต์

คณะวิทยาศาสตร์ จุฬาลงกรณ์มหาวิทยาลัย อนุมัติให้รับวิทยานิพนธ์ฉบับนี้เป็นส่วนหนึ่ง
ของการศึกษาตามหลักสูตรปริญญาวิทยาศาสตรมหาบัณฑิต

.....	คณบดีคณะวิทยาศาสตร์
(ศาสตราจารย์ ดร.พลกฤษณ์ แสงวณิช)	
คณะกรรมการสอบวิทยานิพนธ์	ประธานกรรมการ
.....	
(ผู้ช่วยศาสตราจารย์ ดร.วรินทร์ ชวนศิริ)	อาจารย์ที่ปรึกษาวิทยานิพนธ์หลัก
.....	
(ศาสตราจารย์ ดร.ธราพงษ์ วิทิตสานต์)	กรรมการ
.....	
(รองศาสตราจารย์ ดร.ประพันธ์ กุศลธารา)	กรรมการภายนอกมหาวิทยาลัย
.....	
(รองศาสตราจารย์ ดร.วิชากร จารุศิริ)	

กิตติเดช ประเสริฐทวีพร : การผลิตน้ำมันชีวภาพจากไพโรไลซิสของไม้ยางพาราและ
 เหง้ามันสำปะหลังโดยใช้ निकิล โดโลไมต์ ในเครื่องปฏิกรณ์เบดนิ่ง. (BIO-OIL
 PRODUCTION FROM PYROLYSIS OF RUBBER WOOD AND CASSAVA
 RHIZOME USING Ni/DOLOMITE IN FIXED BED REACTOR) อ.ที่ปรึกษาหลัก :
 ศ. ดร.ธราพงษ์ วิทิตสานต์

กระบวนการผลิตน้ำมันชีวภาพจากการไพโรไลซิสของไม้ยางพาราและเหง้ามัน
 สำปะหลังในเครื่องปฏิกรณ์เบดนิ่ง ถูกใช้ในการศึกษาหาภาวะดำเนินการที่เหมาะสมเพื่อให้ได้
 ปริมาณผลได้ที่ดีที่สุดสำหรับน้ำมันชีวภาพ จากการใช้ตัวเร่งปฏิกิริยา ตัวอย่างเช่น FCC, โดโล
 ไมต์ และนิกเกิลโดโลไมต์ โดยทดลองในเครื่องปฏิกรณ์เบดนิ่ง มีปัจจัยต่างๆประกอบด้วย ขนาด
 อนุภาคตั้งแต่ 0.250-2.000 มิลลิเมตร อุณหภูมิ 400-600 องศาเซลเซียส เวลาที่ 45-90 นาที และ
 อัตราการไหลในโตรเจนที่ 60-180 มิลลิลิตรต่อนาที ผลการศึกษาพบว่าภาวะดำเนินการที่ดีที่สุด
 คือ ขนาดอนุภาคเฉลี่ยที่ 0.355-0.710 มิลลิเมตร และ 0.850-2.000 มิลลิเมตร ตามลำดับ ที่อุณหภูมิ
 500 องศาเซลเซียส เวลาในการทำปฏิกิริยา 45 นาที และอัตราการไหลของแก๊สในโตรเจนที่ 60
 มิลลิลิตรต่อนาที ซึ่งภาวะดำเนินการดังกล่าวให้ปริมาณร้อยละผลได้ของน้ำมันชีวภาพร้อยละ
 39.48 และ 40.39 ของไม้ยางพาราและเหง้ามันสำปะหลังตามลำดับ ซึ่งเมื่อศึกษาอิทธิพลของ
 ตัวเร่งปฏิกิริยาในกระบวนการไพโรไลซิสพบว่าปริมาณน้ำมันชีวภาพลดลงเมื่อตัวเร่งปฏิกิริยา
 ถูกเติมเข้าไปในระบบ ในขณะที่ร้อยละผลได้ของปริมาณแก๊สเพิ่มขึ้นแก๊สสูงสุดโดยวัดได้ที่ร้อยละ
 ละ 39.30 และ 33.37 ของไม้ยางพาราและเหง้ามันสำปะหลังตามลำดับ นอกจากนี้พบว่าในน้ำมัน
 ชีวภาพมีองค์ประกอบหลักคือ แอลเคน อะโรมาติก สารประกอบไนโตรเจน และสารประกอบ
 ออกซิเจน ในขณะแก๊สมีองค์ประกอบของแก๊สมิเทน เป็นองค์ประกอบหลัก

สาขาวิชา ปิโตรเคมีและวิทยาศาสตร์พอลิเมอร์ ลายมือชื่อนิสิต

ปีการศึกษา 2562 ลายมือชื่อ อ.ที่ปรึกษาหลัก

6171912823 : MAJOR PETROCHEMISTRY AND POLYMER SCIENCE

KEYWORD: Bio-oil, Ni/Dolomite, pyrolysis, Catalyst, Biomass

Kittidech Praserttaweeporn : BIO-OIL PRODUCTION FROM PYROLYSIS OF RUBBER WOOD AND CASSAVA RHIZOME USING Ni/DOLOMITE IN FIXED BED REACTOR. Advisor: Prof. THARAPONG VITIDSANT, Ph.D.

Bio-oil production from pyrolysis of rubber wood and cassava rhizome in fixed bed reactor were investigated to find the optimum conditions for giving the highest bio-oil yield by using catalysts such as FCC, Dolomite and Ni/Dolomite. Experiments were carried out in fixed bed reactor that the studied variables were biomass particle size range of 0.250-2.000 mm, reaction temperature 400-600 °C, reaction time of 45-90 min and nitrogen flow rate of 60-180 ml/min. The results from experiment showed that the optimum conditions were average particle size of 0.355-0.710 mm and 0.850-2.000 mm for rubber wood and cassava rhizome, respectively, temperature 500 °C, 45 min reaction time and nitrogen flow rate of 60 ml/min. This condition produced bio-oil 39.48% and 40.39% for rubber wood and cassava rhizome, respectively. For performance of catalysts on pyrolysis showed that the bio-oil yield was decreased when catalyst was added into the process while gaseous product yield increased which the maximum measurement 39.30% and 33.37% for rubber wood and cassava rhizome, respectively. Additionally, bio-oil products were found that the major components as alkanes, aromatic, nitrogenic and oxygenic compound while gaseous products were found methane.

Field of Study: Petrochemistry and Polymer Science Student's Signature

Academic Year: 2019 Advisor's Signature

กิตติกรรมประกาศ

ขอกราบขอบพระคุณศาสตราจารย์ ดร.ชราพงษ์ วิทิตสานต์ อาจารย์ที่ปรึกษาวิทยานิพนธ์ ที่ช่วยให้คำปรึกษาและเสนอแนวทาง พร้อมให้คำแนะนำให้งานวิจัยและวิทยานิพนธ์ในครั้งนี้ประสบความสำเร็จลุล่วงไปได้ด้วยดี รวมทั้งคณาจารย์ทุกท่านที่ช่วยแสดงความคิดเห็นในการปรับปรุงงานวิจัยในครั้งนี้

ขอกราบขอบพระคุณผู้ช่วยศาสตราจารย์ ดร.วรินทร์ ชวศิริ ประธานกรรมการสอบวิทยานิพนธ์ รองศาสตราจารย์ ดร.ประพันธ์ คูชดธारा และรองศาสตราจารย์ ดร.วิษชากร จารุศิริ กรรมการสอบวิทยานิพนธ์ที่กรุณาเข้าร่วมการสอบวิทยานิพนธ์ที่ช่วยให้ความรู้ ความคิดเห็น รวมทั้งแก้ไขจุดบกพร่องที่เกิดขึ้นในงานวิจัยนี้ทำให้เกิดความถูกต้องและสมบูรณ์ในงานวิจัยในครั้งนี้

ขอขอบคุณบุคลากรภายในศูนย์เชื้อเพลิงและพลังงานจากชีวมวล อำเภอแก่งคอย จังหวัดสระบุรี ทุกท่านที่ได้อำนวยความสะดวกในการใช้อุปกรณ์และเครื่องมือสำหรับงานวิจัยในครั้งนี้ รวมถึง ห้องปฏิบัติการที่ใช้ในการวิเคราะห์ต่างๆ และขอขอบคุณพี่ๆ เพื่อนๆ น้องๆ ในภาควิชาปิโตรเคมี และวิทยาศาสตร์พอลิเมอร์ที่ได้ช่วยให้คำแนะนำ ความช่วยเหลือ และกำลังใจในการทำงานวิจัยและวิทยานิพนธ์ในครั้งนี้ให้สำเร็จลุล่วงไปได้ด้วยดี

สุดท้ายนี้ขอกราบขอบพระคุณบิดา มารดา และผู้อยู่เบื้องหลังทุกท่านที่ได้ให้กำลังใจ ให้คำแนะนำ ความช่วยเหลือและให้การสนับสนุนเสมอมาจนสำเร็จการศึกษา

กิตติเดช ประเสริฐทวีพร

สารบัญ

	หน้า
.....	ก
บทคัดย่อภาษาไทย	ก
.....	ง
บทคัดย่อภาษาอังกฤษ	ง
กิตติกรรมประกาศ	จ
สารบัญ	ฉ
บทที่ 1	7
บทนำ.....	7
1.1 ที่มาและความสำคัญของงานวิจัย.....	7
1.2 วัตถุประสงค์.....	9
1.3 ขอบเขตงานวิจัย.....	9
1.4 ขั้นตอนวิธีดำเนินงานวิจัย.....	9
1.5 ประโยชน์ที่ได้รับ.....	10
บทที่ 2	11
ทฤษฎีและงานวิจัยที่เกี่ยวข้อง.....	11
2.1 น้ำมันชีวภาพ	11
2.1.1 องค์ประกอบในน้ำมันชีวภาพ	12
2.1.2 การใช้ประโยชน์จากน้ำมันชีวภาพ	15
2.2 ชีวมวล	15
2.2.1 ศักยภาพชีวมวล	16
2.3 องค์ประกอบของชีวมวล	18

2.3.1 เซลลูโลส (Cellulose)	18
2.3.2 เฮมิเซลลูโลส (Hemicellulose)	19
2.3.3 ลิกนิน (Lignin)	20
2.3.4 โปรตีน (Protein)	21
2.4 ส่วนประกอบของชีวมวล	21
2.4.1 ความชื้น (Moisture)	21
2.4.2 ส่วนที่เผาไหม้ได้ (Combustible substance).....	21
2.4.3 ส่วนที่เผาไหม้ไม่ได้หรือเถ้า (Ash)	22
2.5 พลังงานที่ได้จากชีวมวล	22
2.6 ข้อดีและข้อจำกัดของพลังงานชีวมวล	23
2.7 การแปรรูปชีวมวลให้เป็นพลังงานเชื้อเพลิง	24
2.7.1 ไพโรไลซิส (Pyrolysis)	25
2.7.2 ประเภทของไพโรไลซิส.....	26
2.7.3 ตัวแปรที่ส่งผลต่อกระบวนการไพโรไลซิส.....	28
2.7.4 ผลกระทบที่ได้จากกระบวนการไพโรไลซิส.....	30
2.8 ประเภทของเครื่องปฏิกรณ์.....	31
2.8.1 เครื่องปฏิกรณ์ฟลูอิดไคซ์เบดแบบฟองอากาศ	31
2.8.2 เครื่องปฏิกรณ์ฟลูอิดไคซ์เบดแบบหมุนเวียนและเบดแบบถ้ำไอออน	31
2.8.3 เครื่องปฏิกรณ์ไพโรไลซิสแบบสูญญากาศ	32
2.8.4 เครื่องปฏิกรณ์ไพโรไลซิสแบบแอบลาทิฟ.....	32
2.8.5 เครื่องปฏิกรณ์แบบสกรู	33
2.9 ตัวเร่งปฏิกิริยา (Catalyst).....	33
2.9.1 ตัวเร่งปฏิกิริยาแบบเอกพันธ์ (Homogeneous catalysts)	34
2.9.2 ตัวเร่งปฏิกิริยาแบบวิวิธพันธ์ (Heterogeneous catalysts).....	34

2.10 การเตรียมตัวเร่งปฏิกิริยาแบบวิวิธพันธุ์ (Heterogeneous catalysts preparation).....	36
2.10.1 การเคลือบฝังหรือการชุบเอิบ (Impregnation)	36
2.10.2 การตกตะกอน (Precipitation)	36
2.11 การกระตุ้นตัวเร่งปฏิกิริยา (Catalyst activation)	37
2.11.1 การเผากระตุ้น (Calcination)	37
2.11.2 การรีดักชัน (Reduction)	38
2.12 โดโลไมต์ (Dolomite)	38
2.11.1 สมบัติทั่วไปของโดโลไมต์.....	39
2.13 นิกเกิล/โดโลไมต์ (Ni/Dolomite).....	40
2.14 งานวิจัยที่เกี่ยวข้อง	40
บทที่ 3	43
เครื่องมือและวิธีการดำเนินงานวิจัย.....	43
3.1 เครื่องมือและอุปกรณ์	43
3.2 สารตัวอย่างและสารเคมีที่ใช้ในงานวิจัย	48
3.3 ขั้นตอนการทดลอง	48
3.3.1 การเตรียมและวิเคราะห์(ชีวมวลและตัวเร่งปฏิกิริยา).....	48
3.3.2 ออกแบบการทดลอง.....	49
3.3.3 วิธีการทดลอง	50
3.3.4 การพิสูจน์เอกลักษณ์สมบัติของสาร	51
3.4 การคำนวณร้อยละผลได้จากการทดลอง.....	52
บทที่ 4	54
การทดลองและวิเคราะห์ผลการทดลอง.....	54
4.1 การวิเคราะห์สมบัติเบื้องต้นของไมยางพาราและเหง้ามันสำปะหลัง	54

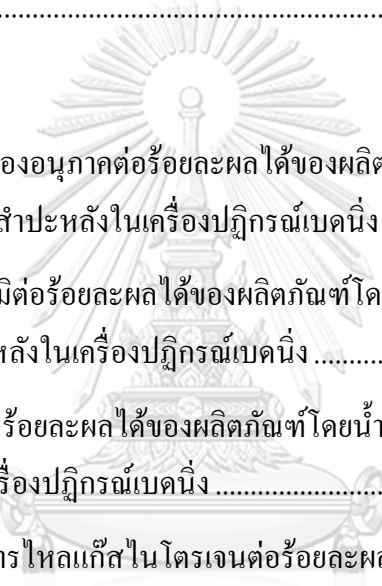
4.1.1 การวิเคราะห์การสลายตัวทางความร้อนของไม้ยางพาราและเหง้ามันสำปะหลังด้วยเทคนิคเทอร์โมกราวิเมตริก	55
4.1.2 การวิเคราะห์องค์ประกอบแบบปริมาณและแยกธาตุของไม้ยางพาราและเหง้ามันสำปะหลัง	57
4.2 การวิเคราะห์สมบัติของตัวเร่งปฏิกิริยา	58
4.2.1 การวิเคราะห์สัณฐานวิทยาของโคโลไมต์ก่อน-หลังการแคลไซน์ และหลังการเคลือบฟุ้ง (Impregnation) นิกเกิลบนโคโลไมต์ด้วยกล้องจุลทรรศน์แบบส่องกราด (Scanning electron microscope, SEM)	58
4.2.2 การวิเคราะห์องค์ประกอบของ โคโลไมต์ก่อน-หลังการแคลไซน์ และหลังการเคลือบฟุ้ง (Impregnation) นิกเกิลบนโคโลไมต์ด้วยเทคนิคเอกซเรย์ดิฟแฟรคชัน (X-ray diffractometer, XRD)	61
4.2.3 การวิเคราะห์พื้นที่ผิวรูพรุนทั้งหมดของตัวเร่งปฏิกิริยาด้วยเทคนิคบรูเนอร์ เอ็มเมทท์ และเทลเลอร์ (Brunauer Emmett Teller, BET)	62
4.3 ผลของตัวแปรต่างๆที่มีผลต่อการผลิตน้ำมันชีวภาพจากไม้ยางพาราและเหง้ามันสำปะหลัง	64
4.3.1 ผลของขนาดชีวมวล 0.250-0.355, 0.355-0.710, 0.710-0.850 และ 0.850-2.000 มิลลิเมตรของไม้ยางพาราและเหง้ามันสำปะหลัง	64
4.3.2 ผลของอุณหภูมิในการทำปฏิกิริยาที่ 400, 500 และ 600 องศาเซลเซียสของไม้ยางพาราและเหง้ามันสำปะหลัง	67
4.3.3 ผลของเวลาในการทำปฏิกิริยา 45, 60 และ 90 นาทีของไม้ยางพาราและเหง้ามันสำปะหลัง	70
4.3.4 ผลของอัตราการไหลของไนโตรเจนแก๊สที่ใช้ในการทำปฏิกิริยาในช่วง 60, 120 และ 180 มิลลิลิตรต่อนาทีของไม้ยางพาราและเหง้ามันสำปะหลัง	72
4.3.5 ผลของการเติมตัวเร่งปฏิกิริยาโคโลไมต์, FCC และนิกเกิล/โคโลไมต์ที่มีผลต่อผลิตภัณฑ์ที่เกิดขึ้นในภาวะที่เหมาะสมของไม้ยางพาราและเหง้ามันสำปะหลัง	74
4.4 ผลการศึกษาอัตราส่วนของปริมาณน้ำมันชีวภาพต่อปริมาณน้ำในผลิตภัณฑ์เหลว	78
4.5 ผลการวิเคราะห์องค์ประกอบของผลิตภัณฑ์ที่เกิดขึ้นในกระบวนการไพโรไลซิสไม้ยางพาราและเหง้ามันสำปะหลังในเครื่องปฏิกรณ์เบดนิ่ง	79

4.5.1 การวิเคราะห์แบบแยกธาตุ (Ultimate analysis) ของผลิตภัณฑ์ที่เกิดจากการไพโรไลซิสไม้อย่างพาราและเหง้ำมันสำปะหลัง	79
4.5.2 การวิเคราะห์องค์ประกอบของผลิตภัณฑ์แก๊สสังเคราะห์ที่เกิดขึ้นในกระบวนการไพโรไลซิสไม้อย่างพาราและเหง้ำมันสำปะหลัง ที่เกิดในภาวะที่เหมาะสม.....	81
4.5.3 การวิเคราะห์องค์ประกอบของผลิตภัณฑ์น้ำมันชีวภาพที่เกิดขึ้นในกระบวนการไพโรไลซิสไม้อย่างพาราและเหง้ำมันสำปะหลัง.....	83
บทที่ 5	86
สรุปผลการทดลองและข้อเสนอแนะ.....	86
5.1 สรุปผลการทดลอง.....	86
5.1.1 การวิเคราะห์การสลายตัวทางความร้อนของไม้อย่างพาราและเหง้ำมันสำปะหลัง.....	86
5.1.2 การวิเคราะห์สมบัติพื้นทางของไม้อย่างพาราและเหง้ำมันสำปะหลัง	86
5.1.3 ศึกษาปัจจัยที่ส่งผลต่อกระบวนการไพโรไลซิสและหาภาวะที่เหมาะสมต่อการผลิตน้ำมันชีวภาพผ่านกระบวนการไพโรไลซิสของไม้อย่างพาราและเหง้ำมันสำปะหลังในเครื่องปฏิกรณ์เบดนิ่ง.....	87
5.1.4 ศึกษาผลของการเติมตัวเร่งปฏิกิริยาที่มีผลต่อผลิตภัณฑ์ที่เกิดขึ้นในภาวะที่เหมาะสม	87
5.1.5 ศึกษาผลการวิเคราะห์สมบัติของผลิตภัณฑ์ที่เกิดขึ้นในกระบวนการไพโรไลซิสของไม้อย่างพาราและเหง้ำมันสำปะหลังในเครื่องปฏิกรณ์เบดนิ่ง	87
5.1.6 ศึกษาผลการวิเคราะห์สมบัติทางเคมีของผลิตภัณฑ์ที่เกิดขึ้นในกระบวนการไพโรไลซิสไม้อย่างพาราและเหง้ำมันสำปะหลังในเครื่องปฏิกรณ์เบดนิ่ง.....	88
5.2 ข้อเสนอแนะ	88
ภาคผนวก	90
ภาคผนวก ก.....	91
การวิเคราะห์องค์ประกอบของชีวมวลและผลิตภัณฑ์ที่ได้จากการไพโรไลซิสไม้อย่างพารา และเหง้ำมันสำปะหลัง.....	91
1. การวิเคราะห์แบบประมาณ (Proximate analysis)	91

1.1 การวิเคราะห์ น้ำหรือความชื้น เถ้า สารระเหย และคาร์บอนคงตัว.....	91
1.2 การวิเคราะห์ปริมาณธาตุของประกอบคาร์บอน ไฮโดรเจน ไนโตรเจน และซัลเฟอร์	93
1.3 การวิเคราะห์ค่าความร้อน	93
2. การศึกษาภาวะที่เหมาะสมต่อการผลิตน้ำมันชีวภาพจากการไพโรไลซิสไม้อย่างพาราและแห้ง มันสำปะหลัง	93
3. การศึกษาผลของการเติมตัวเร่งปฏิกิริยา FCC, โดโลไมต์ และนิกเกิล/โดโลไมต์ ที่มีผลต่อ ผลิตภัณฑ์ที่เกิดขึ้นในภาวะที่เหมาะสม	96
4. การวิเคราะห์น้ำมันชีวภาพจากการไพโรไลซิสไม้อย่างพาราและแห้งมันสำปะหลังด้วยเครื่อง แก๊สโครมาโทกราฟีร่วมกับแมสสเปคโตรมิเตอร์	97
4.1 แก๊สโครมาโทกราฟี (Gas Chromatography, GC)	97
4.2 แก๊สโครมาโทกราฟีร่วมกับแมสสเปคโตรมิเตอร์ (Gas Chromatography-Mass Spectrometer, GC-MS)	98
บรรณานุกรม	2
ประวัติผู้เขียน	8

สารบัญตาราง

ตารางที่ 2. 1 แสดงปริมาณร้อยละธาตุองค์ประกอบของน้ำมันชีวภาพของชีวมวลประเภทต่างๆ ...11	11
ตารางที่ 2. 2 คุณสมบัติทั่วไปของน้ำมันชีวภาพ12	12
ตารางที่ 2. 3 แสดงปริมาณร้อยละขององค์ประกอบทั่วไปของน้ำมันชีวภาพของชีวมวลประเภทต่างๆ.....13	13
ตารางที่ 2. 4 ศักยภาพชีวมวลเชิงพื้นที่ของประเทศไทยปี 255617	17
ตารางที่ 2. 5 แสดงค่าความร้อน ความชื้น น้ำที่เสก สารระเหย และคาร์บอนคงตัวของชีวมวล23	23
ตารางที่ 2. 6 กระบวนการทางเคมีความร้อน (Thermochemical conversion) และกระบวนการเชิงเคมีชีวภาพ (Biochemical conversion).....25	25
ตารางที่ 2. 7 ตารางเปรียบเทียบประเภทของการไพโรไลซิสต่าง ๆ27	27
ตารางที่ 4. 1 ผลการวิเคราะห์แบบประมาณ แบบแยกธาตุ และค่าความร้อนของไม้ยางพาราและ เห้งน้ำมันสำปะหลัง57	57
ตารางที่ 4. 2 ผลการวิเคราะห์พื้นที่ผิวรูพรุน (Surface area) ของตัวเร่งปฏิกิริยาโคโลไมต์.....63	63
ตารางที่ 4. 3 ร้อยละผลได้ของผลิตภัณฑ์ที่ได้จากกระบวนการไพโรไลซิสไม้ยางพารา77	77
ตารางที่ 4. 4 ร้อยละผลได้ของผลิตภัณฑ์ที่ได้จากกระบวนการไพโรไลซิสเห้งน้ำมันสำปะหลัง.....77	77
ตารางที่ 4. 5 ผลอัตราส่วนของปริมาณน้ำมันชีวภาพต่อปริมาณน้ำในผลิตภัณฑ์เหลว.....78	78
ตารางที่ 4. 6 การวิเคราะห์แบบแยกธาตุและค่าความร้อนของผลิตภัณฑ์น้ำมันชีวภาพที่ได้จากการ ไพโรไลซิสไม้ยางพารา80	80
ตารางที่ 4. 7 การวิเคราะห์แบบแยกธาตุและค่าความร้อนของผลิตภัณฑ์น้ำมันชีวภาพที่ได้จากการ ไพโรไลซิสเห้งน้ำมันสำปะหลัง80	80
ตารางที่ 4. 8 การวิเคราะห์แบบแยกธาตุและค่าความร้อนของผลิตภัณฑ์ถ่านชาร์ที่ได้จากการไพโร ไลซิสไม้ยางพารา81	81
ตารางที่ 4. 9 การวิเคราะห์แบบแยกธาตุและค่าความร้อนของผลิตภัณฑ์ถ่านชาร์ที่ได้จากการไพโร ไลซิสเห้งน้ำมันสำปะหลัง81	81

ตารางที่ 4. 10 ร้อยละผลได้ของผลิตภัณฑ์แก๊สสังเคราะห์ที่ได้จากกระบวนการไพโรไลซิสไม้ ยางพารา.....	82
ตารางที่ 4. 11 ร้อยละผลได้ของผลิตภัณฑ์แก๊สสังเคราะห์ที่ได้จากกระบวนการไพโรไลซิสเห้ง้ำมัน สำปะหลัง	82
ตารางที่ 4. 12 การวิเคราะห์องค์ประกอบของโครมาโตแกรมในน้ำมันชีวภาพจากการไพโรไลซิส ไม้ยางพารา.....	84
ตารางที่ 4. 13 การวิเคราะห์องค์ประกอบของโครมาโตแกรมในน้ำมันชีวภาพจากการไพโรไลซิส เห้ง้ำมันสำปะหลัง	85
	
ตารางที่ ก- 1 ผลของขนาดของอนุภาคต่อร้อยละผลได้ของผลิตภัณฑ์โดยน้ำหนักจากการไพโรไล ซิสไม้ยางพาราและเห้ง้ำมันสำปะหลังในเครื่องปฏิกรณ์เบดนิ่ง	94
ตารางที่ ก- 2 ผลของอุณหภูมิต่อร้อยละผลได้ของผลิตภัณฑ์โดยน้ำหนักจากการไพโรไลซิสไม้ ยางพาราและเห้ง้ำมันสำปะหลังในเครื่องปฏิกรณ์เบดนิ่ง	94
ตารางที่ ก- 3 ผลของเวลาต่อร้อยละผลได้ของผลิตภัณฑ์โดยน้ำหนักจากการไพโรไลซิสไม้ยางพารา และเห้ง้ำมันสำปะหลังในเครื่องปฏิกรณ์เบดนิ่ง	95
ตารางที่ ก- 4 ผลของอัตราการไหลแก๊สใน โตรเจนต่อร้อยละผลได้ของผลิตภัณฑ์โดยน้ำหนักจาก การไพโรไลซิสไม้ยางพาราและเห้ง้ำมันสำปะหลังในเครื่องปฏิกรณ์เบดนิ่ง	95
CHULALONGKORN UNIVERSITY	
ตารางที่ ข- 1 ผลของตัวเร่งปฏิกิริยาต่อร้อยละผลได้ของผลิตภัณฑ์โดยน้ำหนักจากการไพโรไลซิส ไม้ยางพาราและเห้ง้ำมันสำปะหลังในเครื่องปฏิกรณ์เบดนิ่ง.....	96
ตารางที่ ค- 1 องค์ประกอบของน้ำมันชีวภาพจากการไพโรไลซิสไม้ยางพาราที่ไม่มีการเติมตัวเร่ง ปฏิกิริยา	99
ตารางที่ ค- 2 องค์ประกอบของน้ำมันชีวภาพจากการไพโรไลซิสไม้ยางพาราที่มีการเติมตัวเร่ง ปฏิกิริยา FCC	102

ตารางที่ ค- 3 องค์ประกอบของน้ำมันชีวภาพจากการไพโรไลซิสไม้ยางพาราที่มีการเติมตัวเร่ง ปฏิกิริยาแคลไซน์โดโลไมต์	104
ตารางที่ ค- 4 องค์ประกอบของน้ำมันชีวภาพจากการไพโรไลซิสไม้ยางพาราที่มีการเติมตัวเร่ง ปฏิกิริยา 5% นิกเกิล/โดโลไมต์.....	107
ตารางที่ ค- 5 องค์ประกอบของน้ำมันชีวภาพจากการไพโรไลซิสไม้ยางพาราที่มีการเติมตัวเร่ง ปฏิกิริยา 10% นิกเกิล/โดโลไมต์.....	110
ตารางที่ ค- 6 องค์ประกอบของน้ำมันชีวภาพจากการไพโรไลซิสไม้ยางพาราที่มีการเติมตัวเร่ง ปฏิกิริยา 20% นิกเกิล/โดโลไมต์.....	113
ตารางที่ ค- 7 องค์ประกอบของน้ำมันชีวภาพจากการไพโรไลซิสแห้งมันสำปะหลังที่ไม่มีการเติม ตัวเร่งปฏิกิริยา	116
ตารางที่ ค- 8 องค์ประกอบของน้ำมันชีวภาพจากการไพโรไลซิสแห้งมันสำปะหลังที่มีการเติม ตัวเร่งปฏิกิริยา FCC.....	120
ตารางที่ ค- 9 องค์ประกอบของน้ำมันชีวภาพจากการไพโรไลซิสแห้งมันสำปะหลังที่มีการเติม ตัวเร่งปฏิกิริยาแคลไซน์โดโลไมต์	123
ตารางที่ ค- 10 องค์ประกอบของน้ำมันชีวภาพจากการไพโรไลซิสแห้งมันสำปะหลังที่มีการเติม ตัวเร่งปฏิกิริยา 5% นิกเกิล/โดโลไมต์	127
ตารางที่ ค- 11 องค์ประกอบของน้ำมันชีวภาพจากการไพโรไลซิสแห้งมันสำปะหลังที่มีการเติม ตัวเร่งปฏิกิริยา 10% นิกเกิล/โดโลไมต์.....	131
ตารางที่ ค- 12 องค์ประกอบของน้ำมันชีวภาพจากการไพโรไลซิสแห้งมันสำปะหลังที่มีการเติม ตัวเร่งปฏิกิริยา 20% นิกเกิล/โดโลไมต์.....	136

สารบัญรูปภาพ

รูปที่ 2. 1 โครงสร้างของเซลล์โพลีเมอร์ในพีช	19
รูปที่ 2. 2 โครงสร้างของเซลล์โพลีเมอร์	19
รูปที่ 2. 3 โครงสร้างของเซลล์โพลีเมอร์	20
รูปที่ 2. 4 มอนอเมอร์ย่อยของลิกนิน	21
รูปที่ 2. 5 แสดงช่วงอุณหภูมิการสลายตัวของ เซลล์โพลีเมอร์, เซลล์โพลีเมอร์ และลิกนิน	28
รูปที่ 2. 6 เครื่องปฏิกรณ์ฟลูอิดไคซ์แบบเบดแบบพองอากาศ.....	31
รูปที่ 2. 7 เครื่องปฏิกรณ์ฟลูอิดไคซ์แบบเบดแบบหมุนเวียน	32
รูปที่ 2. 8 เครื่องปฏิกรณ์ไพโรไลซิสแบบสุญญากาศ	32
รูปที่ 2. 9 เครื่องปฏิกรณ์ไพโรไลซิสแบบแอบลาทิว	33
รูปที่ 2. 10 เครื่องปฏิกรณ์แบบสกรู	33
รูปที่ 2. 11 การเกิดปฏิกิริยาที่มีตัวเร่งปฏิกิริยา.....	34
รูปที่ 2. 12 ตัวเร่งปฏิกิริยาโคโลไมต์.....	39
รูปที่ 2. 13 การจำลองรูปแบบการเคลือบฝัง (Impregnation) นิกเกิลบนโคโลไมต์	40
รูปที่ 3. 1 โครงสร้างระบบของกระบวนการสำหรับเครื่องปฏิกรณ์แบบเบดนิ่งที่ใช้ในงานวิจัย	43
รูปที่ 3. 2 ระบบของกระบวนการสำหรับเครื่องปฏิกรณ์แบบเบดนิ่งที่ใช้ในงานวิจัย	44
รูปที่ 3. 3 เครื่องวิเคราะห์การสลายตัวเชิงความร้อน (Thermogravimetric analysis, TGA/DTG).....	45
รูปที่ 3. 4 เครื่องบอมบ์แคลอริมิเตอร์ (Bomb Calorimeter)	45
รูปที่ 3. 5 เครื่องวิเคราะห์ธาตุ (CHN and S analyzer).....	46
รูปที่ 3. 6 เครื่องแก๊สโครมาโทกราฟี	46
รูปที่ 3. 7 เครื่องแก๊สโครมาโทกราฟี	47
รูปที่ 3. 8 เครื่องแก๊สโครมาโทกราฟีร่วมกับแมสสเปกโตรมิเตอร์.....	47

รูปที่ 4. 1 ความสัมพันธ์ระหว่างการสูญเสียน้ำหนัก (TGA) และอัตราการสูญเสียน้ำหนัก (DTG) ของไม้ยางพารา	55
รูปที่ 4. 2 ความสัมพันธ์ระหว่างการสูญเสียน้ำหนัก (TGA) และอัตราการสูญเสียน้ำหนัก (DTG) ของเหง้ามันสำปะหลัง.....	56
รูปที่ 4. 3 ภาพจากกล้องจุลทรรศน์แบบส่องกราดของตัวเร่งปฏิกิริยา (ก) โดโลไมต์ก่อนการแคลไซน์, (ข) โดโลไมต์หลังการแคลไซน์ที่อุณหภูมิ 800 องศาเซลเซียส เป็นเวลา 2 ชั่วโมง, (ค) 5% นิกเกิล/โดโลไมต์, (ง) 10% นิกเกิล/โดโลไมต์, และ(จ) 20% นิกเกิล/โดโลไมต์	60
รูปที่ 4. 4 รูปแบบ XRD ของ (ก) โดโลไมต์ก่อนแคลไซน์, (ข) โดโลไมต์หลังแคลไซน์ที่อุณหภูมิ 800 องศาเซลเซียส เป็นเวลา 2 ชั่วโมง, (ค) 5% นิกเกิล/โดโลไมต์, (ง) 10% นิกเกิล/โดโลไมต์, และ (จ) 20% นิกเกิล/โดโลไมต์	62
รูปที่ 4. 5 ผลของขนาดอนุภาคเฉลี่ยที่ใช้ไพโรไลซิสต่อร้อยละผลได้ของผลิตภัณฑ์โดยน้ำหนักจากไม้ยางพารา.....	65
รูปที่ 4. 6 ผลของขนาดอนุภาคเฉลี่ยที่ใช้ไพโรไลซิสต่อร้อยละผลได้ของผลิตภัณฑ์โดยน้ำหนักจากเหง้ามันสำปะหลัง	66
รูปที่ 4. 7 ผลของอุณหภูมิที่ใช้ไพโรไลซิสต่อร้อยละผลได้ของผลิตภัณฑ์โดยน้ำหนักจากไม้ยางพารา.....	68
รูปที่ 4. 8 ผลของอุณหภูมิที่ใช้ไพโรไลซิสต่อร้อยละผลได้ของผลิตภัณฑ์โดยน้ำหนักจากเหง้ามันสำปะหลัง	69
รูปที่ 4. 9 ผลของเวลาที่ใช้ไพโรไลซิสต่อร้อยละผลได้ของผลิตภัณฑ์โดยน้ำหนักจากไม้ยางพารา	71
รูปที่ 4. 10 ผลของเวลาที่ใช้ไพโรไลซิสต่อร้อยละผลได้ของผลิตภัณฑ์โดยน้ำหนักจากเหง้ามันสำปะหลัง	71
รูปที่ 4. 11 ผลของอัตราการไหลของไนโตรเจนแก๊สที่ใช้ไพโรไลซิสต่อร้อยละผลได้ของผลิตภัณฑ์โดยน้ำหนักจากไม้ยางพารา.....	73
รูปที่ 4. 12 ผลของอัตราการไหลของไนโตรเจนแก๊สที่ใช้ไพโรไลซิสต่อร้อยละผลได้ของผลิตภัณฑ์โดยน้ำหนักจากเหง้ามันสำปะหลัง	73
รูปที่ 4. 13 ผลของการเติมตัวเร่งปฏิกิริยาที่ใช้ไพโรไลซิสต่อร้อยละผลได้ของผลิตภัณฑ์โดยน้ำหนักจากไม้ยางพารา.....	75

รูปที่ 4. 14 ผลของการเติมตัวเร่งปฏิกิริยาที่ใช้ไฟโรไลซิสต่อร้อยละผลได้ของผลิตภัณฑ์โดย น้ำหนักจากเหง้ามันสำปะหลัง.....	76
รูปที่ 4. 15 ภาพจำลองแสดงการเกิดแก๊สคาร์บอนมอนอกไซด์และแก๊สไฮโดรเจนที่ได้จากการไฟ โรไลซิส	77
รูปที่ ค- 1 โครมาโตแกรมน้ำมันชีวภาพจากการไฟโรไลซิสไม่แยงพาราที่ไม่มีตัวเร่งปฏิกิริยา	99
รูปที่ ค- 2 โครมาโตแกรมน้ำมันชีวภาพจากการไฟโรไลซิสไม่แยงพาราที่มีตัวเร่งปฏิกิริยา FCC .	101
รูปที่ ค- 3 โครมาโตแกรมน้ำมันชีวภาพจากการไฟโรไลซิสไม่แยงพาราที่มีตัวเร่งปฏิกิริยาแคลไซน์ โคโลไมต์.....	104
รูปที่ ค- 4 โครมาโตแกรมน้ำมันชีวภาพจากการไฟโรไลซิสไม่แยงพาราที่มีตัวเร่งปฏิกิริยา 5% นิกเกิล/โคโลไมต์	107
รูปที่ ค- 5 โครมาโตแกรมน้ำมันชีวภาพจากการไฟโรไลซิสไม่แยงพาราที่มีตัวเร่งปฏิกิริยา 10% นิกเกิล/โคโลไมต์	110
รูปที่ ค- 6 โครมาโตแกรมน้ำมันชีวภาพจากการไฟโรไลซิสไม่แยงพาราที่มีตัวเร่งปฏิกิริยา 20% นิกเกิล/โคโลไมต์	113
รูปที่ ค- 7 โครมาโตแกรมน้ำมันชีวภาพจากการไฟโรไลซิสเหง้ามันสำปะหลังที่ไม่มีตัวเร่งปฏิกิริยา	116
รูปที่ ค- 8 โครมาโตแกรมน้ำมันชีวภาพจากการไฟโรไลซิสเหง้ามันสำปะหลังที่มีตัวเร่งปฏิกิริยา FCC	120
รูปที่ ค- 9 โครมาโตแกรมน้ำมันชีวภาพจากการไฟโรไลซิสเหง้ามันสำปะหลังที่มีตัวเร่งปฏิกิริยา แคลไซน์โคโลไมต์.....	123
รูปที่ ค- 10 โครมาโตแกรมน้ำมันชีวภาพจากการไฟโรไลซิสเหง้ามันสำปะหลังที่มีตัวเร่งปฏิกิริยา 5% นิกเกิล/โคโลไมต์.....	127
รูปที่ ค- 11 โครมาโตแกรมน้ำมันชีวภาพจากการไฟโรไลซิสเหง้ามันสำปะหลังที่มีตัวเร่งปฏิกิริยา 10% นิกเกิล/โคโลไมต์	131
รูปที่ ค- 12 โครมาโตแกรมน้ำมันชีวภาพจากการไฟโรไลซิสเหง้ามันสำปะหลังที่มีตัวเร่งปฏิกิริยา 20% นิกเกิล/โคโลไมต์	135

บทที่ 1

บทนำ

1.1 ที่มาและความสำคัญของงานวิจัย

มลภาวะต่อสิ่งแวดล้อมเป็นหนึ่งในปัญหาที่ใหญ่ที่สุดที่มนุษยชาติกำลังเผชิญอยู่ในปัจจุบัน ปัญหาพื้นฐานเกี่ยวกับมลภาวะคือการกำจัดชีวมวลเหลือทิ้งจำนวนมากที่เพิ่มขึ้นอย่างต่อเนื่อง ชีวมวลเหล่านี้ประมาณ 100,000 ล้านตันเพิ่มจำนวนขึ้นทุกปีในโลก ซึ่งครอบคลุมพื้นที่หลากหลาย โดยรวมถึงชีวมวลทางเกษตรกรรม การอุตสาหกรรมแปรรูป และจากการแปรรูปอาหาร ชีวมวลประเภทนี้อาจก่อให้เกิดปัญหาร้ายแรงต่อสุขภาพหรือสิ่งแวดล้อมหากไม่กำจัดอย่างเหมาะสม ดังนั้นการพัฒนากลยุทธ์ที่เป็นมิตรต่อสิ่งแวดล้อมและมีประสิทธิภาพสำหรับการใช้และการจัดการชีวมวลต่าง ๆ เป็นสิ่งสำคัญ อาจช่วยทดแทนหรือลดการใช้สารเคมีหรือพลังงาน ในกระบวนการอุตสาหกรรมได้อย่างสมบูรณ์ อย่างไรก็ตามบทบาทในฐานะทรัพยากรที่มีประโยชน์สำหรับชีวมวลเหล่านี้ มีประโยชน์สำหรับด้านการสร้างผลิตภัณฑ์ที่มีมูลค่าและทดแทนทรัพยากรหลักได้ ซึ่งกลายเป็นที่รู้จักมากขึ้น ดังนั้นการพัฒนาชีวมวลเหลือใช้เหล่านี้อย่างมีประสิทธิภาพให้เป็นผลิตภัณฑ์ที่เป็นนวัตกรรมจึงสามารถแก้ไขปัญหามลภาวะสิ่งแวดล้อมและลดการพึ่งพาทรัพยากรปิโตรเลียมรวมไปถึงเพิ่มมูลค่าทางเศรษฐกิจอีกด้วย^[1] ดังนั้นจึงมีนักวิจัยจำนวนมากมุ่งเน้นไปที่การแปรรูปชีวมวลเหล่านี้เพื่อที่จะผลิตน้ำมันชีวภาพให้ได้คุณภาพทัดเทียมน้ำมันจากท้องตลาด เช่น ไม้ยางพารา^[2] และ เหง้ามันสำปะหลัง^[3] เป็นต้น

วัสดุลิกโนเซลลูโลสติก(lignocellulosic materials)^[4] คือองค์ประกอบของพืชซึ่งประกอบไปด้วย เซลลูโลส เฮมิเซลลูโลส และ ลิกนิน เป็นส่วนประกอบที่ได้มาจาก ไม้ยางพาราและเหง้ามันสำปะหลัง เป็นชีวมวลที่ไม่ใช่อาหารจึงถูกมองว่าเป็นวัตถุดิบที่ดีมีแนวโน้มเป็นทางเลือกสำหรับพลังงานเชื้อเพลิงทดแทนได้ นอกจากนี้ลิกโนเซลลูโลสติก จัดว่าเป็นทรัพยากรที่ปลดปล่อยคาร์บอนเท่ากับศูนย์(carbon dioxide neutral) ธรรมชาติที่จะไม่เพิ่มคาร์บอนไดร็อกไซด์ในชั้นบรรยากาศภายในวงจรชีวิตของมัน เนื่องจากพืชจะดูดซับคาร์บอนไดร็อกไซด์ที่ปล่อยออกมาจากน้ำมันชีวภาพที่ได้จากชีวมวลเหล่านี้ ซึ่งจำเป็นต่อกระบวนการเจริญเติบโตของพืช นอกจากนี้ยังมีข้อดีคือเนื้อสารระเหยได้ดี ส่วนถ้า ซัลเฟอร์ และไนโตรเจนต่ำส่งผลกระทบต่อสิ่งแวดล้อมน้อยเมื่อเกิดการ

เผาไหม้ โดยทรัพยากรชีวมวลในแต่ละปีที่ได้จากเศษซากพืช และไม้ที่สามารถนำมาใช้เป็นเชื้อเพลิงประมาณ 350 ล้านตัน เมื่อเทียบกับปริมาณถ่านหิน

การจำแนกประเภทไพโรไลซิส^[5] ทั้งนี้ขึ้นอยู่กับเงื่อนไข เช่น อัตราการให้ความร้อนและผลิตภัณฑ์หลัก ไพโรไลซิสสามารถแบ่งออกได้สองประเภท คือไพโรไลซิสแบบช้าและไพโรไลซิสแบบเร็ว โดยไพโรไลซิสแบบเร็วนี้พบที่ใช้ในด้านการปรับปรุงคุณภาพผลผลิตด้านสถานะของเหลว ซึ่งนำไปสู่กระบวนการใหม่ เช่น ไพโรไลซิสแบบแฟลชและไพโรไลซิสแบบสุญญากาศ ในอีกด้านหนึ่งไพโรไลซิสที่ช้านี้ถูกใช้เพื่อผลิตถ่านชีวภาพ โดยมีเงื่อนไขการใช้งานคืออัตราการให้ความร้อนต่ำกว่า 80 องศาเซลเซียสต่อนาที และเวลาที่อยู่ในไอน้ำเป็นชั่วโมง ที่อุณหภูมิประมาณ 350-500 องศาเซลเซียส ภายใต้ความดันบรรยากาศและบรรยากาศเฉื่อย ในทางตรงกันข้ามไพโรไลซิสแบบเร็วนี้ถูกใช้ในการผลิตน้ำมันชีวภาพในช่วงอุณหภูมิประมาณ 400-600 องศาเซลเซียส อัตราความร้อนในช่วง 100-1000 องศาเซลเซียสต่อนาที ขนาดอนุภาคประมาณ 3.0 มิลลิเมตร และเวลาที่อยู่อากาศของไอควบแน่นที่เข้าไปในเครื่องปฏิกรณ์แบบไพโรไลซิสโดยปกติแล้วจะอยู่ในบรรยากาศเฉื่อย 0.5-2 วินาทีภายใต้ความดันบรรยากาศหรือสุญญากาศ ผลผลิตในชั้นของเหลวของไพโรไลซิสแบบเร็วอยู่ในช่วงร้อยละ 65-75 ของผลิตภัณฑ์ รวมถึงน้ำที่เกิดขึ้นระหว่างปฏิกิริยาไพโรไลซิส เมื่อพิจารณาถึงกระบวนการไพโรไลซิสแบบใหม่คือไพโรไลซิสชั้นกลางจะเกิดขึ้นพร้อมกันระหว่างเวลาที่เป็นไอ 4-10 วินาที และเวลาในเฟสของแข็ง 0.5-25 นาที โดยมีผลผลิตในชั้นของเหลวร้อยละ 40-60 ของผลิตภัณฑ์ ส่วนแฟลชไพโรไลซิสเกิดขึ้นกับเวลาที่สั้นกว่าของการกลายเป็นไอซึ่งน้อยกว่า 0.5 วินาที ที่อุณหภูมิ 400-1000 องศาเซลเซียส และขนาดอนุภาคน้อยกว่า 0.5 มิลลิเมตรในระบบสุญญากาศไพโรไลซิสที่ความดันน้อยกว่า 50 กิโลปาสกาล

ไพโรไลซิสเป็นหนึ่งในกระบวนการทางเคมีความร้อนสำหรับการแยก “ลิกโนเซลลูโลสิก” ให้ได้ผลิตภัณฑ์ที่เป็นของเหลวเช่นน้ำมันชีวภาพ อย่างไรก็ตามน้ำมันชีวภาพดังกล่าวจะมีกลุ่มของฟังก์ชันที่มีออกซิเจนเป็นจำนวนมาก ดังนั้นจึงไม่สามารถใช้เป็นเชื้อเพลิงได้โดยตรงและต้องปรับปรุงคุณภาพก่อนใช้งาน การเร่งปฏิกิริยาดังกล่าวด้วยตัวเร่งปฏิกิริยาของน้ำมันชีวภาพเป็นกระบวนการหนึ่งในการกำจัดออกซิเจนในสารประกอบออกซิเจนและปรับปรุงคุณภาพ โดยตัวเร่งปฏิกิริยาในกลุ่ม Fluid catalytic cracking (FCC)^[6] กับตัวเร่งปฏิกิริยาโคโลไมต์^[7] ถูกนำมาใช้กันอย่างแพร่หลายในด้านการปรับปรุงคุณภาพน้ำมันชีวภาพ

งานวิจัยนี้จึงทำการศึกษาอิทธิพลของปริมาณนิกเกิล/โคโลไมต์เปรียบเทียบกับตัวเร่งปฏิกิริยาโคโลไมต์ และ ตัวเร่งปฏิกิริยา FCC (Fluid Cracking Catalyst) ผ่านกระบวนการไพโรไล

ซิสของไม้ยางพาราและเหง้ามันสำปะหลังในเครื่องปฏิกรณ์เบดนิ่ง รวมไปถึงปัจจัยต่าง ๆ ที่มีผลต่อการทดลองเช่น ผลของขนาดชีวมวลต่อร้อยละของผลได้ผลิตภัณฑ์ อุณหภูมิต่อร้อยละของผลได้ผลิตภัณฑ์ เวลาต่อร้อยละของผลได้ผลิตภัณฑ์ และอัตราการไหลของแก๊สในโตรเจนต่อร้อยละผลได้ของผลิตภัณฑ์

1.2 วัตถุประสงค์

1. ผลิตน้ำมันชีวภาพจากไม้ยางพาราและเหง้ามันสำปะหลังจากไพโรไลซิสโดยใช้ निकел/โคโลไมต์
2. หาดูภาวะที่เหมาะสมสำหรับการเตรียมน้ำมันชีวภาพจากไพโรไลซิสด้วยตัวเร่งปฏิกิริยา



1.3 ขอบเขตงานวิจัย

งานวิจัยนี้จึงทำการศึกษาอิทธิพลของปริมาณ निकел/โคโลไมต์เปรียบเทียบกับตัวเร่งปฏิกิริยาโคโลไมต์ และ ตัวเร่งปฏิกิริยา FCC (Fluid Cracking Catalyst) ผ่านกระบวนการไพโรไลซิสของไม้ยางพาราและเหง้ามันสำปะหลังในเครื่องปฏิกรณ์เบดนิ่ง รวมไปถึงปัจจัยต่าง ๆ ที่มีผลต่อการทดลองเช่น ผลของขนาดชีวมวลต่อร้อยละของผลได้ผลิตภัณฑ์ อุณหภูมิต่อร้อยละของผลได้ผลิตภัณฑ์ เวลาต่อร้อยละของผลได้ผลิตภัณฑ์ และอัตราการไหลของแก๊สในโตรเจนต่อร้อยละผลได้ของผลิตภัณฑ์

1.4 ขั้นตอนวิธีดำเนินงานวิจัย

1. ศึกษาค้นคว้าทฤษฎี งานวิจัย และข้อมูลต่าง ๆ ที่เกี่ยวข้อง
2. จัดหาอุปกรณ์ เครื่องปฏิกรณ์ ชีวมวล ตัวเร่งปฏิกิริยา และสารเคมี
 - 2.1 ทำการเผาตัวเร่งปฏิกิริยาโคโลไมต์และ FCC (Fluid Cracking Catalyst) ที่อุณหภูมิ 800 องศาเซลเซียสเป็นเวลา 2 ชั่วโมง จากนั้นเก็บในตู้ดูดความชื้น
 - 2.2 เตรียมตัวเร่งปฏิกิริยานิกเกิล/โคโลไมต์ด้วยวิธีเตรียมตัวเร่งแบบเคลือบฝัง (Impregnation) ที่ปริมาณนิกเกิล ร้อยละ 0-20 โดยน้ำหนักบนโคโลไมต์
 - 2.3 ทำการบดไม้ยางพาราและเหง้ามันสำปะหลัง จากนั้นร่อนผ่านตะแกรงขนาด 0.250-2.000 มิลลิเมตร และทำการอบที่ 105 องศาเซลเซียสเป็นเวลา 6 ชั่วโมงให้ได้ความชื้นต่ำกว่าร้อยละ 0.5 โดยน้ำหนัก จากนั้นเก็บในตู้ดูดความชื้น
3. ศึกษาสมบัติของไม้ยางพาราและเหง้ามันสำปะหลัง

- 3.1 ศึกษาอุณหภูมิของการสลายตัวจากความร้อนของชีวมวลด้วยเทคนิค Thermogravimetric/Differential Thermal Analysis
- 3.2 องค์ประกอบโดยประมาณ (Proximate Analysis) เพื่อหาการระเหย ความชื้น เถ้า และคาร์บอนคงตัว
- 3.3 องค์ประกอบแบบแยกธาตุ (Ultimate Analysis) เพื่อหาปริมาณ คาร์บอน ไนโตรเจน และไฮโดรเจน
- 3.4 ปริมาณค่าความร้อน
4. ศึกษาผลของตัวแปรต่าง ๆ เพื่อหาภาวะที่เหมาะสมของการทดลอง
 - 4.1 ผลของขนาดชีวมวล 0.250-2.000 มิลลิเมตร
 - 4.2 ผลของอุณหภูมิในการทำปฏิกิริยาที่ 400-600 องศาเซลเซียส
 - 4.3 ผลของเวลาในการทำปฏิกิริยา 45-90 นาที
 - 4.4 ผลของอัตราการไหลของไนโตรเจนแก๊สที่ใช้ในการทำปฏิกิริยาในช่วง 50-200 มิลลิลิตรต่อนาที
 - 4.5 ผลของตัวเร่งปฏิกิริยาและอิทธิพลของปริมาณร้อยละของตัวเร่งปฏิกิริยานิกเกิล/โคโลไมต์ร้อยละ 0-20 โดยน้ำหนัก
5. ศึกษาผลของตัวเร่งปฏิกิริยาโคโลไมต์, FCC รวมไปถึงอิทธิพลของปริมาณนิกเกิล/โคโลไมต์ (ร้อยละ 0-20 โดยน้ำหนักของนิกเกิล)
6. วิเคราะห์สมบัติของผลิตภัณฑ์ที่ได้ โดยวิเคราะห์ทางคุณภาพและปริมาณของผลิตภัณฑ์ด้วยเทคนิคแก๊สโครมาโทกราฟี (Gas chromatography) และเครื่องแก๊สโครมาโทกราฟีแมสสเปกโตรมิเตอร์ (GC-MS)
7. รวบรวมวิเคราะห์ข้อมูล สรุปผลการทดลอง และเขียนวิทยานิพนธ์

1.5 ประโยชน์ที่ได้รับ

ได้น้ำมันชีวภาพจากไม้อย่างพาราและเหง้ามันสำปะหลังจากการไพโรไลซิส

บทที่ 2

ทฤษฎีและงานวิจัยที่เกี่ยวข้อง

2.1 น้ำมันชีวภาพ

น้ำมันชีวภาพ^[8-10] เป็นสารไฮโดรคาร์บอนที่มีโครงสร้างทางเคมีที่ซับซ้อน โดยโครงสร้างที่เกิดขึ้น ขึ้นอยู่กับชนิดของชนิด แหล่งที่มา และวิธีการเปลี่ยนจากชีวมวลให้กลายเป็นน้ำมันชีวภาพ และยังเป็นอีกเชื้อเพลิงชีวภาพที่สำคัญซึ่งได้จากการสลายตัวเชิงความร้อนชีวมวล เช่น ไพโรไลซิส

น้ำมันชีวภาพได้รับการพิจารณาเป็นวัตถุดิบที่มีแนวโน้มที่จะเปลี่ยนน้ำมันเชื้อเพลิงในการผลิตไฟฟ้าเนื่องจากความหนาแน่นของพลังงานสูง และความสะดวกสบายในการจัดเก็บหรือการขนส่งเมื่อเทียบกับผลิตภัณฑ์ก๊าซ นอกจากนี้ น้ำมันชีวภาพยังสามารถย่อยสลายได้ CO₂ หรือก๊าซเรือนกระจกที่เป็นกลางและสร้าง NO_x และ SO_x น้อยกว่าอย่างมีนัยสำคัญเมื่อเผาไหม้ในเครื่องยนต์เมื่อเทียบกับเชื้อเพลิงที่ใช้ปิโตรเลียม น้ำมันชีวภาพจึงเป็นเชื้อเพลิงที่มีประโยชน์ต่อสิ่งแวดล้อม การผลิตน้ำมันชีวภาพจนถึงปัจจุบันส่วนใหญ่ใช้ชีวมวลลิกโนเซลลูโลสเป็นวัตถุดิบ อย่างไรก็ตาม น้ำมันชีวภาพที่ได้รับไม่สามารถนำมาใช้โดยตรงเป็นเชื้อเพลิงขนส่งเนื่องจากการที่มีความหนืดสูง, ปริมาณออกซิเจนสูง การกัดกร่อนสูง และความไม่แน่นอนของความร้อน คุณภาพของน้ำมันชีวภาพที่ไม่ดีเกิดจากการมีองค์ประกอบที่ซับซ้อนซึ่งประกอบด้วย เซลลูโลส เฮมิเซลลูโลส และลิกนิน ซึ่งจะทำให้เกิดน้ำมันชีวภาพที่มีออกซิเจน และเป็นกรดสูงซึ่งต้องได้รับการปรับสภาพก่อนการใช้งาน ดังตารางที่ 2.1 – 2.2

จุฬาลงกรณ์มหาวิทยาลัย
CHULALONGKORN UNIVERSITY

ตารางที่ 2.1 แสดงปริมาณร้อยละธาตุองค์ประกอบของน้ำมันชีวภาพของชีวมวลประเภทต่างๆ^[9]

ประเภทชีวมวล	ปริมาณธาตุองค์ประกอบในน้ำมันชีวภาพ (ร้อยละ)					อื่น ๆ (ร้อยละ)	
	คาร์บอน	ไฮโดรเจน	ไนโตรเจน	ออกซิเจน	ซัลเฟอร์	เถ้า	น้ำ
ขี้เถ้า	43.39	7.72	0.26	48.63	±0.05	0.17	29.8
หญ้า และฟาง	49.12	7.5	0.57	42.81	±0.05	0.10	15.1
ไม้เนื้อแข็ง และเนื้ออ่อน	45.03	6.98	0.02	47.97	-	-	27.0

น้ำมันชีวภาพที่ได้จากแหล่งต่างนั้น มักมีคุณสมบัติที่แตกต่างกัน อาทิเช่น ความชื้น ค่ากรด-เบส ค่าความถ่วงจำเพาะ และ อื่น ๆ ซึ่งตารางที่ 2.2 แสดงช่วงเฉลี่ยๆของคุณสมบัติน้ำมันชีวภาพทั่วไปดังต่อไปนี้

ตารางที่ 2. 2 คุณสมบัติทั่วไปของน้ำมันชีวภาพ ^[10]

คุณสมบัติทั่วไป	น้ำมันชีวภาพ
ความชื้น (%)	15-30
pH	2.5
ความถ่วงจำเพาะ	1.2
ปริมาณธาตุองค์ประกอบ (ร้อยละ)	
คาร์บอน	54-58
ไฮโดรเจน	5.5-7.0
ไนโตรเจน	0-0.2
ออกซิเจน	35-40
เถ้า	0-0.2
ค่าความร้อน (HHV, MJ/kg)	16-19
ความหนืด (ที่ 50 °C), cP	40-100
ของแข็ง	0.2-1
กากของแข็งจากการกลั่น	มากกว่า 50

2.1.1 องค์ประกอบในน้ำมันชีวภาพ

น้ำมันชีวภาพ (Bio-oil) ^[8,9] หรือที่เราเรียกอีกชื่อหนึ่งว่าน้ำมันไพโรไลซิส มีลักษณะเป็นของเหลวสีน้ำตาลอ่อนจนถึงน้ำตาลเข้ม มีสารประกอบของไฮโดรคาร์บอน และออกซิเจนในปริมาณมาก โดยองค์ประกอบทางเคมีที่สำคัญ ได้แก่ แอลกอฮอล์ (Alcohols), อัลดีไฮด์ (Aldehydes), แอนไฮดริสซูการ์ (Anhydrosugars), ฟิวแรน (Furans), คีโตน (Ketones) และกรดอะซิติก (Acetic acid) เป็นต้น ซึ่งผลิตภัณฑ์เหล่านี้เกิดจากการไพโรไลซิสชีวมวล เมื่อเกิดการสลายพันธะของเซลลูโลส (Cellulose) เฮมิเซลลูโลส (Hemicellulose) และลิกนิน (Lignin) ที่อุณหภูมิสูงจะได้เป็นผลิตภัณฑ์ที่เป็นแก๊สและผ่านการควบแน่นกลับมาอยู่ในรูปผลิตภัณฑ์ที่เป็นของเหลวโดยทั่วไปแล้วน้ำมันชีวภาพเป็นสารผสมระหว่างสารอินทรีย์ที่สามารถละลายน้ำได้ที่มีร้อยละอยู่ที่ 70-85 เปอร์เซ็นต์ และอีกร้อยละ 15-30 เปอร์เซ็นต์ เป็นน้ำ น้ำมันชีวภาพเป็นสารประกอบที่สามารถละลายได้ในน้ำ เมทานอล เอทานอล และอะซิโตน แต่จะไม่สามารถละลายได้ในน้ำมัน

ไฮโดรคาร์บอน โดยทั่วไปแล้วน้ำมันชีวภาพยังไม่สามารถนำไปใช้งานได้ทันทีที่ต้องมีการปรับปรุงและพัฒนาน้ำมันชีวภาพก่อน ดังแสดงในตารางที่ 2.3

ตารางที่ 2. 3 แสดงปริมาณร้อยละขององค์ประกอบทั่วไปของน้ำมันชีวภาพของชีวมวลประเภทต่างๆ^[9]

องค์ประกอบ	ปริมาณร้อยละ
เฮมิเซลลูโลส (Hemi-cellulose)	
กรด (Acids)	5.0–10.0
- ฟอรั่มิก (Formic)	0.3–9.1
- อะซิติก (Acetic)	0.5–12
- โพรพานอิก (Propanoic)	0.1–1.8
- เอสเตอร์ (Esters)	0.1–0.9
- แองเจลิกา แลคโตน (Angelica lactone)	0.1–1.2
- เมทิล ฟอรั่มิก (Methyl formate)	0.1–0.9
- ฟูแรน โนน (2(5H)-furanone, 5-methyl)	
แอลกอฮอล์ (Alcohols)	1.0–10.0
- เมทานอล (Methanol)	0.4–2.4
- เอทานอล (Ethanol)	0.6–1.4
- เอททาลีน ไกลคอล (Ethylene glycol)	0.7–2
คีโตน (Ketones and hydroxyketones)	1.0–10.0
- อะซิโตน (Acetone)	2.8
- ไฮดรอกซีอะซิโตน (Hydroxyacetone)	0.7–7.4
- แอนไฮดราย (Aldehydes and hydroxyaldehydes)	5.0–20.0
- ฟอรั่มาลดีไฮด์ (Formaldehyde)	0.1–3.3
- อะเซตัลดีไฮด์ (Acetaldehyde)	0.1–8.5
- เอทานัลดีไฮด์ (Ethanediol)	0.9–4.6
- ไฮโดรซีอะเซตัลดีไฮด์ (Hydroxyacetaldehyde)	0.9–13
น้ำตาล (Sugars)	1.0–5.0
- ดีไซโลส (d-Xylose)	0.1–3.2

เซลลูโลส (Cellulose)	
น้ำตาล (Sugars)	1.0–5.0
- เลวอกลูโคซาน (Levoglucozan)	0.4–1.4
- กลูโคส (Glucose)	0.4–1.3
- ฟรุคโตส (Fructose)	0.7–2.9
- เซลโลไบโอซาน (Cellobiosan)	0.6–3.2
- แอนไฮโดรกลูโคฟูแรนโนส (1,6-Anhydroglucofuranose)	3.1
ลิกนิน (Lignin)	
ฟีนอลิก (Phenolics)	20.0–30.0
- ฟีนอล (Phenol)	0.1–3.8
- เอทิลฟีนอล (2-Ethyl phenone)	0.1–1.3
- เบนซีน (1,4-DiOH benzene)	0.1–1.9
ไกวเอคอล (Guaiacols)	
- เมท็อกซีฟีนอล (2-Methoxy phenol)	0.1–1.1
- เมทิลไกวเอคอล (4-Methyl guaiacol)	0.1–1.9
- ไอโซยูจีนอล (Isoeugenol)	0.1–7.2
- ยูจีนอล (Eugenol)	0.1–2.3
ไซริงกอล (Syringols)	
- ไดโอเมทิลฟีนอล (2,6-DiOMe phenol)	0.7–4.8
- โพรพิลไซริงกอล (Propyl syringol)	0.1–1.5
- ไซริงกอลดีไฮด์ (Syringaldehyde)	0.1–1.5
ฟูแรน (Furans)	
- ฟูแรนโนน (Furanone)	0.1–1.1
- เฟอร์ฟูรอล (Furfural)	0.1–1.1
- เฟอร์ฟูรอลแอลกอฮอล์ (Furfural alcohol)	0.1–5.2
- เฟอร์ฟูรอลเมทิลไฮดรอกไซด์ (5-OH-methyl-2-furfural)	0.3–2.2
อื่นๆ	
- เมทิลไซโคลเพนทีโนล (Methyl cyclopentenolone)	0.1–1.9
- เมท็อกซีเบนซอดีไฮด์ไฮดรอกไซด์ (4-OH-3-	0.1–1.1

methoxybenzaldehyde)	
น้ำ	15.0–30.0

2.1.2 การใช้ประโยชน์จากน้ำมันชีวภาพ

การใช้ประโยชน์จากน้ำมันชีวภาพนั้นจำเป็นต้องผ่านกระบวนการปรับปรุงหรือพัฒนาให้มีสมบัติที่ดีขึ้นก่อนนำไปใช้ โดยปัจจุบันการพัฒนาน้ำมันชีวภาพนั้นมีประสิทธิภาพมากขึ้น เพื่อตอบสนองความต้องการใช้ในด้านพลังงานทดแทน โดยการเติมตัวเร่งปฏิกิริยาบางชนิดลงไปเพื่อลดค่าความเป็นกรดของน้ำมันที่เกิดขึ้นจากกระบวนการไพโรไลซิส โดยการผลิตน้ำมันชีวภาพและแก๊สสังเคราะห์จากชีวมวลนั้น สามารถผ่านกระบวนการแปรรูปผลิตเป็นเชื้อเพลิงสะอาดได้ เมื่อเทียบกับการใช้ชีวมวลแข็งและการใช้น้ำมันชีวภาพเป็นสารตั้งต้นในการผลิตแก๊ส พบว่าการผลิตแก๊สในปริมาณมากนั้นจำเป็นต้องใช้ชีวมวลในปริมาณที่สูง ซึ่งก่อให้เกิดปัญหาของเถ้าที่สูงตามมา แต่เมื่อใช้น้ำมันชีวภาพเป็นสารตั้งต้นแทน จะทำให้ได้ปริมาณเถ้าลดน้อยลง นอกจากนี้ยังมีปัญหาในการขนส่งพบว่าเมื่อการใช้ชีวมวลเป็นสารตั้งต้นต้องใช้ระบบในการขนส่งที่และพื้นที่จัดเก็บในปริมาณมากเมื่อเทียบกับน้ำมันชีวภาพที่ใช้เป็นสารตั้งต้นในปริมาณอัตราส่วนเท่าๆกัน จึงสามารถลดต้นทุนที่เกิดจากส่วนนี้ลงได้

2.2 ชีวมวล

ชีวมวล^[11] หมายถึงทรัพยากรใดๆ ของสิ่งมีชีวิตๆ ซึ่งรวมทั้งมนุษย์ พืช และสัตว์ โดยสิ่งมีชีวิตเหล่านี้สามารถนำมาแปรรูปให้เกิดการเปลี่ยนแปลงอินทรีย์สารไปเป็นพลังงาน จึงทำให้มีการกำหนดนิยามของพลังงานชีวมวลซึ่งหมายถึงการนำชีวมวลหรือวัสดุเหลือใช้จากการเกษตรมาแปรรูปให้เป็นพลังงานและใช้ประโยชน์ต่อไป โดยทั่วไปพลังงานจากชีวมวลที่พบกันแพร่หลายได้แก่ เป็นแหล่งพลังงานชีวมวลสามารถเผาให้ความร้อน หรือผลิตไอน้ำเพื่อใช้ผลิตกระแสไฟฟ้า หรือแปลงเป็นเชื้อเพลิงชีวภาพ เช่น ก๊าซมีเทน เอทานอล หรือน้ำมันชีวภาพ ชีวมวลถูกนำมาใช้เป็นพลังงานตั้งแต่ผู้คนเริ่มเผากิ่งไม้เพื่อก่อไฟ ได้แก่ ต้นไม้ กิ่งไม้ เศษหญ้า กระจาด และเศษไม้ ในหลายกรณีวัสดุชีวมวลที่ใช้เป็นพลังงานเป็นผลพลอยได้จากกิจกรรมต่าง ๆ ตัวอย่างเช่น ผลพลอยได้จากการเกษตรกรรม อุตสาหกรรม และการทำฟาร์มที่ถูกทิ้ง-เหลือใช้ เนื่องจากชีวมวลเหล่านี้สามารถนำไปใช้เป็นพลังงานได้ในกระบวนการที่เรียกว่าพลังงานทดแทนจากชีวมวล ซึ่งการเผาไม้จะปล่อยมลพิษทางอากาศเช่นกัน แต่ไม่ถึงขนาดการเผาเชื้อเพลิงฟอสซิลที่ก่อให้เกิดก๊าซเรือนกระจกจากการคาร์บอนไดออกไซด์ ในหลาย ๆ กรณีพืชที่ใช้ในการผลิตเชื้อเพลิงชีวภาพจะปลูกขึ้น

โดยเฉพาะเพื่อเปลี่ยนเป็นเชื้อเพลิง นี่เป็นตัวอย่างที่ดีของพลังงานหมุนเวียนเนื่องจากพืชได้รับการปลูกเก็บเกี่ยวเปลี่ยนเป็นพลังงานจากนั้นพืชจะถูกปลูกและปลูกใหม่อีกครั้ง อีกทั้งพืชผลทางการเกษตรสามารถแปรสภาพด้วยกระบวนการเคมีชีวภาพเพื่อหมักผลิตเอทานอลเป็นพลังงานสะอาดประเภทหนึ่งได้

น้ำมันชีวภาพผลิตจากพืชหลายประเภท ได้แก่ ข้าวโพด อ้อย ไม้ไผ่ ยางพารา มันสำปะหลัง และต้นยูคาลิปตัส รวมถึงผลิตภัณฑ์ที่ใช้แล้วเช่นน้ำมันพืช หรือสาหร่าย อีกทั้งชีวมวลเหลือใช้ ขยะชีวมวล และชีวมวลจากภาคอุตสาหกรรมต่าง ๆ ซึ่งกำลังได้รับการสนใจอย่างกว้างขวางว่ามีศักยภาพในด้านพลังงานทดแทนจากชีวมวล เนื่องจากสาหร่ายเติบโตเร็วมาก

2.2.1 ศักยภาพชีวมวล

จากการวิเคราะห์ข้อมูลผลการผลิตและการใช้ชีวมวล^[12] พบว่าการใช้ชีวมวลในประเทศไทยยังมีความต้องการที่สูง ตัวอย่างเช่น กากอ้อย และแกลบ เป็นต้น ซึ่งชีวมวลเหล่านี้เป็นที่มีความต้องการสูงของโรงงานอุตสาหกรรมเนื่องจากเป็นชีวมวลที่เหมาะสมแก่การนำไปเป็นเชื้อเพลิงในการให้ความร้อนภายใน ระบบของ โรงงานอุตสาหกรรม เพื่อลดต้นทุนจากการใช้พลังงานไฟฟ้าหรือเชื้อเพลิงต่าง ๆ ที่ให้ความร้อนซึ่งมีต้นทุนที่สูงกว่าจึงทำให้มีการต้องมีการนำเข้าหรือซื้อ-ขาย จากต่างประเทศ นอกจากนี้ยังมีชีวมวลบางประเภทที่ยังไม่ได้มีการนำไปใช้อย่างเป็นทางการ ตัวอย่างเช่น ยอด-ใบอ้อย ฟางข้าว เหง้ามะสำปะหลัง ใบและก้านใบของปาล์มน้ำมัน เป็นต้น แต่ชีวมวลเหล่านี้สามารถต่อ ยอดไปเป็นผลิตภัณฑ์รูปแบบอื่น ๆ อาทิเช่น เครื่องห่มสิ่งทอ เฟอร์นิเจอร์ และผลิตภัณฑ์จากงานฝีมือ เป็นต้น สำหรับศักยภาพชีวมวลของประเทศไทย ส่วนใหญ่เกิดจากผลผลิตทางการเกษตรเทียบกับสัดส่วนของการเปลี่ยนแปลงปริมาณผลผลิตเป็นชีวมวล ซึ่งเป็นข้อมูลจากกระทรวงพลังงานในปีพุทธศักราช 2556 โดยจะแสดงดังตารางที่ 2.4

ตารางที่ 2.4 ศักยภาพชีวมวลเชิงพื้นที่ของประเทศไทยปี 2556^[12]

ชนิด	ผลผลิต(ตัน)	ชีวมวล	ปริมาณชีวมวล เหลือใช้ (ตัน)	ค่าความร้อน (MJ/kg)	ศักยภาพพลังงาน	
					(TJ)	(ktoe)
อ้อย	66,816,446	ชานอ้อย	4,190,794.31	14.40	60,347.44	1,428.54
		ยอดและใบ	13,439,727.21	17.39	233,716.86	5,532.52
ข้าว	31,508,364	แกลบ	3,510,598.90	14.27	50,096.25	1,185.87
		ฟางข้าว	25,464,547.96	10.24	262,620.65	6,216.73
ถั่วเหลือง	190,480	ต้น/เปลือก/ ใบ	170,383.17	19.44	3,312.35	78.41
ข้าวโพด	4,616,119	ชัง	584,539.15	18.04	10,545.09	249.62
		ลำต้น	2,758,777.36	18.04	49,768.34	1,178.11
ปาล์มน้ำมัน	8,162,379	ทะลายปาล์ม	1,024,868.34	17.86	18,304.15	433.29
		ใบ	162,970.06	17.62	2,871.53	67.97
		กะลา	38,959.04	18.46	719.18	17.02
		ก้าน	2,203,740.00	9.83	21,824.24	516.62
มัน สำปะหลัง	30,088,025	ลำต้น	2,439,236.19	18.42	44,930.73	1,063.60
		เหง้า	1,834,466.88	18.42	33,790.88	799.89
มะพร้าว	1,380,980	ก้าน	628,990.82	15.40	9,686.46	229.30
		กาบ	464,250.95	16.23	7,534.79	178.36
		กะลา	128,936.58	17.93	2,311.83	54.73
ไม้อย่างพารา	3,090,280	กิ่ง/ก้าน	312,118.28	14.98	4,675.53	110.68
รวม	145,853,073		59,539,905.20		504,339.40	11,938.67

หมายเหตุ ; 1 ktoe = 42,120,000 MJ

ส่วนใหญ่ชีวมวลเป็นพืชผลผลิตทางการเกษตรที่เหลือใช้จากการเก็บเกี่ยวและกระบวนการแปรรูปในอุตสาหกรรมเกษตร โดยเราสามารถแบ่งประเภทชีวมวลตามแหล่งที่มาเป็น 3 ประเภทได้แก่

1. ประเภทที่หนึ่ง คือ ชีวมวลที่ได้จากโรงงานแปรรูปสินค้าทางการเกษตร เช่น แกลบที่เหลือใช้จากโรงสีข้าว ชังข้าวโพดที่เหลือจากไซโลข้าวโพด ชานอ้อยที่เหลือจาก

กระบวนการผลิตน้ำตาลในโรงงานน้ำตาล ไม้ไฟที่เหลือจากการทำเฟอร์นิเจอร์ และไม้ยางพาราจากการเพาะปลูก ซึ่งเป็นที่ต้องการมากในระดับอุตสาหกรรมทั่วไป เนื่องจากราคาถูกเหมาะแก่การนำไปใช้ประโยชน์ต่อไป

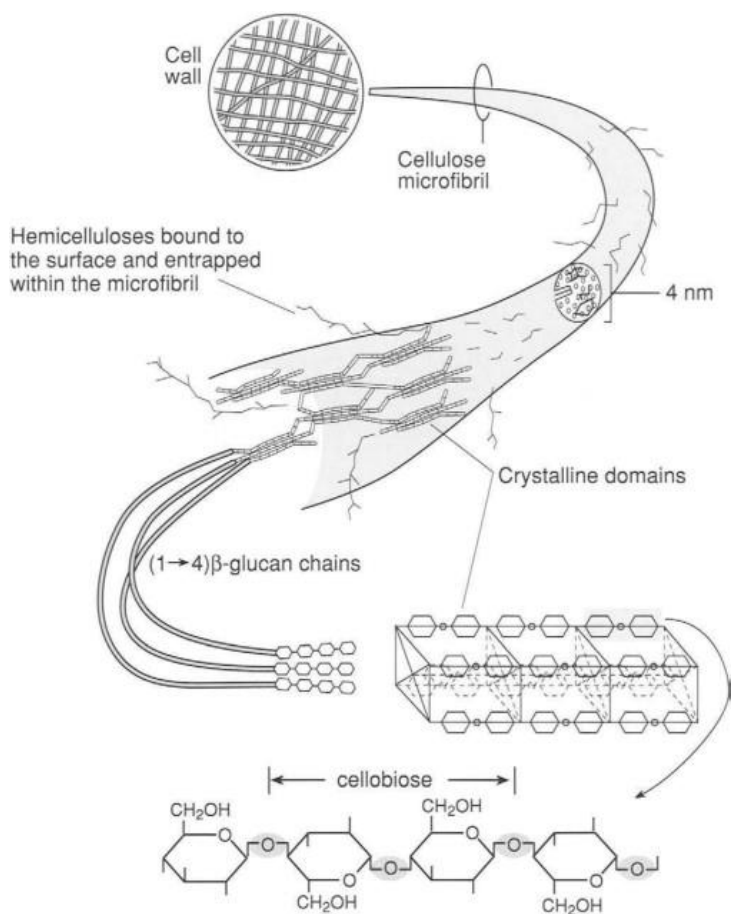
2. ประเภทที่สอง คือ ชีวมวลที่ได้จากการเพาะปลูกตามแหล่งต่างๆ เช่น ไร่ สวน และนาข้าว ตัวอย่างชีวมวลกลุ่มดังกล่าว ได้แก่ ฟางข้าวที่ได้จากนาข้าว ชังข้าวโพดจากการเก็บเกี่ยวแห้งมาใส่ปะหลังที่เหลือจากการเก็บเกี่ยว ใบและทางใบปาล์ม น้ำมันได้จากสวนปาล์ม น้ำมัน ซึ่งเป็นที่ต้องการในอุตสาหกรรมต่างๆ ไปเช่นเดียวกับชีวมวลประเภทที่หนึ่ง แต่จะมีค่าใช้จ่ายในส่วนของการจัดเก็บและขนส่ง จึงทำให้ต้นทุนมีค่าสูงขึ้น จึงเหมาะสมในการนำไปใช้ประโยชน์ในรูปแบบของผลิตภัณฑ์ที่ให้มูลค่าสูงกว่าเป็นพลังงานเชื้อเพลิง
3. ประเภทที่สาม คือ ชีวมวลที่ถูกเพาะเลี้ยงขึ้นเพื่อเป็นพลังงาน โดยเฉพาะ เช่น การเพาะเลี้ยงสาหร่ายพบว่าชีวมวลประเภทสามมีการเจริญเติบโตอย่างรวดเร็วและเติบโตได้ทุกสภาวะ เพื่อนำชีวมวลมาผลิตเป็นเชื้อเพลิง หรือแหล่งพลังงานทดแทน จึงทำให้ชีวมวลประเภทนี้มีความน่าสนใจและมีการพัฒนาอย่างต่อเนื่อง

2.3 องค์ประกอบของชีวมวล

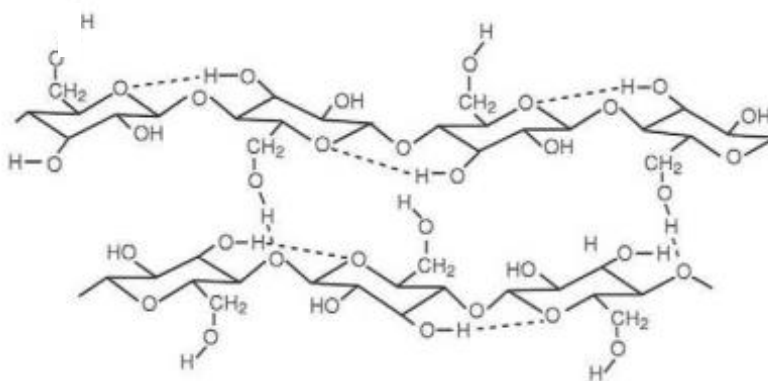
องค์ประกอบทั่วไปของชีวมวลจะประกอบด้วยเซลลูโลส เฮมิเซลลูโลส ลิกนิน และโปรตีนเป็นหลัก โดยปริมาณขององค์ประกอบจะแตกต่างกันขึ้นอยู่กับชนิดของชีวมวล และแหล่งที่มาของชีวมวล

2.3.1 เซลลูโลส (Cellulose)

เซลลูโลส^[13] เป็นองค์ประกอบสำคัญหนึ่งในโครงสร้างของพืชมีลักษณะเป็นพอลิเมอร์สายโซ่ขนาดใหญ่ เซลลูโลสมีอยู่ในผนังเซลล์ของพืชทุกชนิดและแบคทีเรียบางชนิด โดยทั่วไปเซลลูโลสหรือพอลิแซคคาไรด์ (Polysaccharide) เกิดจากการมีดีกลูโคสเชื่อมโยงกันด้วยพันธะบีต้ากลูโคซิดิกที่มีสูตรโมเลกุลเป็น $(C_6H_{12}O_6)_n$ เมื่อ n คือ ระดับของพอลิเมอร์โซ่สั้น ทำให้เกิดเป็นโมเลกุลของเซลลูโลส และเมื่อเซลลูโลสเชื่อมกัน เรียกว่า ไมโครไฟบริล (Microfibril) เพื่อเพิ่มความแข็งแรงให้กับโครงสร้าง แสดงในรูปที่ 2.1 และ 2.2



รูปที่ 2.1 โครงสร้างของเซลลูโลสในพืช ^[13]

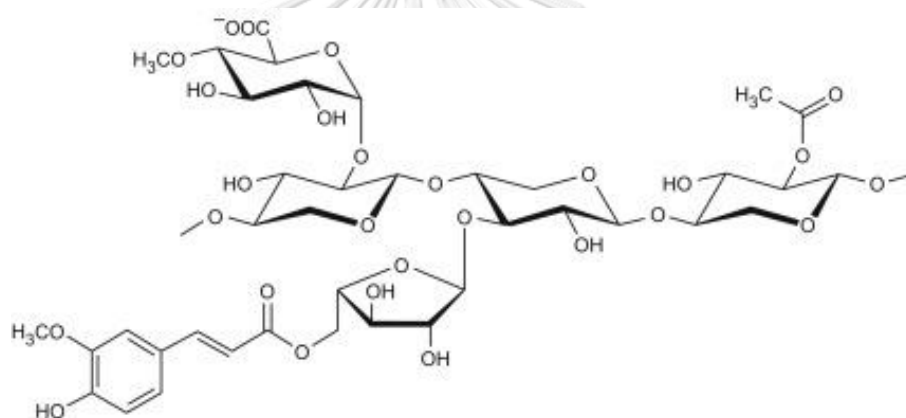


รูปที่ 2.2 โครงสร้างของเซลลูโลส ^[13]

2.3.2 เฮมิเซลลูโลส (Hemicellulose)

เฮมิเซลลูโลส ^[14] เป็นไบโอพอลิเมอร์ (biopolymer) ที่สำคัญอันดับสองในชีวมวลของพืช รองจากเซลลูโลส เฮมิเซลลูโลสประกอบด้วยหน่วยมอนอแซคาไรด์ที่แตกต่างจากเซลลูโลส เฮมิ

เซลลูโลสไม่เพียงประกอบด้วยหน่วยกลูโคสเท่านั้น แต่ยังประกอบด้วยมอนอแซคาไรด์ เพนโทส และเฮกโซส อีกจำนวนหนึ่ง เฮมิเซลลูโลสถือว่าเป็นประเภทของ heteropolysaccharides มีโครงสร้างที่ซับซ้อนรวมทั้งน้ำตาลกลูโคสเป็น ไซโลส แมนโนส กาแลคโต ฟรุกโตส และกรดกาแลคในปริมาณต่างๆขึ้นอยู่กับชนิดของชีวมวล เนื่องจากเฮมิเซลลูโลสประกอบด้วยหน่วยน้ำตาล 50 และ 200 หน่วย มีสูตรโมเลกุลอย่างง่าย คือ $(C_5H_8O_4)_n$ ซึ่งมีหน่วยมอนอเมอร์เรียงตัวกันสั้นกว่าเซลลูโลส รวมถึงมีระดับของพอลิเมอร์ไซชันที่ต่ำกว่าเซลลูโลสอีกด้วย จึงทำให้เกิดการสลายพันธะได้ง่าย และละลายน้ำได้ดี นอกจากนี้สามารถย่อยด้วยสารละลายกรดเจือจางและสารละลายโซเดียมไฮดรอกไซด์เข้มข้น โดยเฮมิเซลลูโลสจะเกิดการสลายตัวที่อุณหภูมิประมาณ 200-260 องศาเซลเซียสทำให้เป็นสารระเหยได้มากกว่า และมีการเกิดชาร์ และทาร์น้อยกว่าเมื่อเทียบกับการสลายตัวของเซลลูโลส โครงสร้างของเฮมิเซลลูโลสแสดงในรูปที่ 2.3

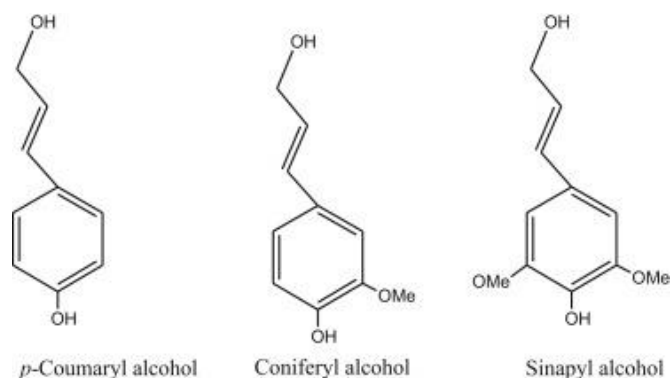


รูปที่ 2.3 โครงสร้างของเฮมิเซลลูโลส^[14]

CHULALONGKORN UNIVERSITY

2.3.3 ลิกนิน (Lignin)

ลิกนิน^[15] เป็นสารประกอบอะโรมาติกที่มีน้ำหนักโมเลกุลขนาดใหญ่ และเป็นสารประกอบเชิงซ้อนที่มีโครงสร้างไม่แน่นอน ลิกนินประกอบไปด้วยอนุพันธ์ของฟีนิลโพรเพน (phenylpropane) เป็นพอลิเมอร์ของหน่วยโพรพิลฟีนอล (propyl phenol) เชื่อมกันเป็นโครงสร้างแบบสามมิติ แต่มีมอนอเมอร์ที่สามารถแบ่งหน่วยย่อยของลิกนินได้ 3 ชนิด ได้แก่ p-coumaryl alcohol, coniferyl alcohol และ sinapyl alcohol โดยลิกนินทำหน้าที่เป็นตัวเชื่อมประสานเส้นใยเซลลูโลสและเฮมิเซลลูโลสเข้าด้วยกัน จึงทำให้โครงสร้างมีความแข็งแรง นอกจากนี้การสลายตัวทางความร้อนของลิกนินด้วยกระบวนการไพโรไลซิสจะเกิดการสลายตัวในช่วงอุณหภูมิประมาณ 280-500 องศาเซลเซียส โครงสร้างของลิกนินแสดงดังรูปที่ 2.4



รูปที่ 2. 4 มอนอเมอร์ย่อยของลิกนิน^[15]

2.3.4 โปรตีน (Protein)

โปรตีน^[16] เป็นสารประกอบ โมเลกุลขนาดใหญ่ประกอบด้วยกรดอะมิโนที่เชื่อมต่อกันด้วยพันธะเอไมด์หรือพันธะเปปไทด์ ทำให้มีสมบัติต่างกันขึ้นอยู่กับชนิดของกรดอะมิโนและอัตราส่วนขององค์ประกอบของกรดอะมิโนที่อยู่ภายใน โครงสร้างนั้น โดยทั่วไปมักพบโปรตีนเป็นองค์ประกอบในชีวมวลบางชนิดเท่านั้น เช่น สาหร่าย

2.4 ส่วนประกอบของชีวมวล

ส่วนประกอบของชีวมวล^[17] จะแบ่งออกเป็น 3 ส่วนใหญ่ๆ ได้แก่ ความชื้น ส่วนที่เกิดการเผาไหม้ และส่วนที่ไม่เกิดการเผาไหม้ โดยส่วนประกอบของชีวมวลที่กล่าวมาข้างต้นถือเป็นส่วนที่สำคัญและมีอิทธิพลต่อผลิตภัณฑ์ที่เกิดขึ้น รวมถึงสมบัติทางกายภาพและทางเคมีที่ตามมาอีกด้วย ซึ่งชีวมวลแต่ละชนิดจะมีสัดส่วนขององค์ประกอบที่แตกต่างกันทำให้เกิดสมบัติที่แตกต่างกัน

2.4.1 ความชื้น (Moisture)

ความชื้นหมายถึงปริมาณน้ำที่มีอยู่ในโครงสร้างของชีวมวล โดยปกติแล้วความชื้นหรือน้ำจะเป็นองค์ประกอบหลักของสิ่งมีชีวิต ซึ่งหากต้องนำชีวมวลมาใช้เป็นแหล่งพลังงานควรที่จะกำจัดความชื้นทั้งที่พื้นผิวและภายใน โครงสร้างชีวมวลให้เหลือน้อยที่สุด

2.4.2 ส่วนที่เผาไหม้ได้ (Combustible substance)

ในส่วนที่เผาไหม้ได้สามารถแบ่งได้อีก 2 ส่วน ได้แก่ ส่วนที่เป็นสารระเหย (Volatiles matter) และส่วนคาร์บอนคงตัว (Fixed carbon) ซึ่งทั้งสองส่วนสามารถเกิดการลุกไหม้ได้ โดยส่วน

ของสารระเหย คือ ส่วนที่เกิดการระเหยเมื่อให้ความร้อน และส่วนของคาร์บอนคงตัว คือ ส่วนที่คาร์บอนหลงเหลือจากการสลายตัวเชิงความร้อนของสารระเหย

2.4.3 ส่วนที่เผาไหม้ไม่ได้หรือเถ้า (Ash)

ส่วนที่เผาไหม้ไม่ได้หรือเถ้า คือ ส่วนที่หลงเหลือจากการเผา โดยสัดส่วนขององค์ประกอบเถ้าจะแตกต่างกันขึ้นกับชนิดชีวมวล โดยทั่วไปสัดส่วนเถ้าของชีวมวลจะมีอยู่ประมาณ 1 ใน 3 โดยน้ำหนักชีวมวล ของแข็งส่วนที่หลงเหลือจากการเผาไหม้สมบูรณ์จะทำให้เถ้ามีลักษณะเบา

2.5 พลังงานที่ได้จากชีวมวล

พลังงานที่ได้จากชีวมวล^[7] โดยแต่ละชนิดจะมีให้พลังงานความร้อนที่แตกต่างกัน ซึ่งเป็นผลมาจากองค์ประกอบชีวมวลที่กล่าวมาข้างต้น โดยค่าความร้อนของชีวมวลนั้นถือเป็นค่าที่สำคัญที่บ่งบอกว่าถึงพลังงานที่จะได้รับหรือสามารถทดแทนพลังงานเชื้อเพลิง โดยออกมาในรูปค่าความร้อนสามารถแบ่งออกเป็น 2 ประเภท ได้แก่

- ค่าความร้อนต่ำ (Low Heating Value, LHV) เป็นค่าความร้อนที่เกิดขึ้นจริงที่เกิดจากการเผาไหม้ชีวมวล โดยมีการหักค่าพลังงานส่วนหนึ่งที่ใช้สำหรับการระเหยน้ำที่อยู่สะสมภายในองค์ประกอบของชีวมวลระหว่างการเผาไหม้ หน่วยของค่าความร้อนจะอยู่ในหน่วย กิโลจูลต่อกิโลกรัม (kJ/kg) หรือกิโลแคลอรีต่อกิโลกรัม (kcal/kg)
- ค่าความร้อนสูง (High Heating Value, HHV) เป็นค่าความร้อนทั้งหมดที่ได้จากการเผาไหม้ซึ่งรวมกับค่าการระเหยของน้ำ โดยหน่วยของค่าความร้อนสูงจะคล้ายกับหน่วยของค่าความร้อนต่ำนอกจากนี้การแสดงผลจะนิยมในการแสดงผลในรูปของค่าความร้อนสูง

โดยตารางที่ 2.3 จะแสดงองค์ประกอบของชีวมวล ซึ่งประกอบด้วย ความชื้น ีเถ้า สารระเหย และคาร์บอนคงตัว นอกจากนี้แสดงค่าความร้อนสูงโดยประมาณของชีวมวล เช่น แกลบ ฟางข้าว กะลาปาล์ม ชังข้าวโพด ทะลายปาล์มและชานอ้อย เป็นต้น

ตารางที่ 2.5 แสดงค่าความร้อน ความชื้น จี๊เส้า สารระเหย และคาร์บอนคงตัวของชีวมวล^[17]

ชีวมวล	องค์ประกอบของชีวมวล				ค่าความร้อนสูง	
	ความชื้น	จี๊เส้า	สารระเหย	คาร์บอนคงตัว	กิโกลูล/ กิโกลรัม	แคลอรี/ กรัม
	(โดยน้ำหนัก)	(โดยน้ำหนัก)	(โดยน้ำหนัก)	(โดยน้ำหนัก)		
แกลบ	12.00	12.60	56.50	18.90	14,755	3,524.17
ฟางข้าว	10.00	10.39	60.71	18.90	13,650	3,260.25
กะลาปาล์ม	12.00	3.50	68.20	16.30	18,267	4,363.00
ไม้อย่างพารา	45.00	1.59	45.70	7.71	10,365	2,475.64
ซังข้าวโพด	40.00	0.90	45.40	13.70	11,298	2,698.48
ทะลายปาล์ม	58.00	2.60	30.50	8.90	9,196	2,196.43
คั้นปาล์ม	48.40	1.20	38.70	11.70	9,370	2,237.99
ทางปาล์ม	78.40	0.70	16.30	4.60	3,908	933.41
กะลาปาล์ม	12.00	3.50	68.20	16.30	18,267	4,363.00
เส้นใยปาล์ม	38.58	4.42	42.60	14.40	13,127	3,135.33
ชานอ้อย	51.00	1.43	41.90	5.90	9,243	2,207.65
ใบอ้อย	9.00	6.10	67.80	16.90	16,794	4,011.18

2.6 ข้อดีและข้อจำกัดของพลังงานชีวมวล

2.6.1 ข้อดีของพลังงานชีวมวล

- กระบวนการเผาไหม้ชีวมวลนั้นจะก่อให้เกิดมลพิษทางอากาศและผลกระทบจากการปลดปล่อยแก๊สเรือนกระจกได้น้อยกว่าการเผาไหม้เชื้อเพลิงถ่านหินที่มาจากแหล่งฟอสซิล
- การย่อยสลายตัวโดยธรรมชาติของชีวมวล ทำให้เกิดมีเทนเกิดขึ้นจากการย่อยสลายอินทรีย์สาร ที่เป็นสาเหตุหนึ่งของการปลดปล่อยแก๊สเรือนกระจก
- องค์ประกอบของชีวมวลมีปริมาณซัลเฟอร์หรือกำมะถันในสัดส่วนที่น้อย เมื่อเทียบกับถ่านหิน การแปรสภาพชีวมวลเป็นพลังงาน จึงไม่มีการปลดปล่อยซัลเฟอร์ออกไซด์สู่บรรยากาศ และสิ่งแวดลอม
- จี๊เส้าจากชีวมวลมักมีสภาพเป็นเบสและธาตุอาหารที่จำเป็นต่อการเติบโตของพืช จึงสามารถนำไปใช้ประโยชน์ในการเพาะปลูกหรือปรับสภาพดินที่เป็นกรดได้
- ใช้ทดแทนพลังงานเชื้อเพลิง ลดการนำเข้าพลังงานจากต่างประเทศ ส่งผลให้เกิดการหมุนเวียนในประเทศ และเพิ่มรายได้ให้กับประชากร

- ชีวมวลสามารถแปรรูปได้หลากหลาย ในรูปของ พลังงาน เป็นแหล่งทดแทนสารตั้งต้นในภาคอุตสาหกรรม และผลิตภัณฑ์ที่หลากหลาย

2.6.2 ข้อจำกัดของพลังงานชีวมวล

- ชีวมวลมีน้ำหนักและเนื้อสารที่ไม่สม่ำเสมอและมีความแตกต่างกันขึ้นอยู่กับชนิดสถานที่เพาะปลูก ภูมิอากาศของชีวมวล โดยส่วนใหญ่มีน้ำหนักเบาและมีขนาดเล็กยากต่อการขนส่ง เป็นผลให้ต้องเพิ่มค่าใช้จ่าย ต้นทุนอาจจะสูงขึ้นตามความต้องการตลาด
- ชีวมวลส่วนใหญ่มีค่าความชื้นที่สูง จึงต้องมีกระบวนการที่ลดปริมาณความชื้นของชีวมวลก่อนจะเข้าสู่ระบบผลิตพลังงานจากชีวมวล จึงทำให้มีค่าใช้จ่ายสูงขึ้นและใช้เวลานานขึ้นรวมไปถึงสถานที่จัดเก็บที่ต้องเพียงพอต่อปริมาณที่ต้องการ
- ชีวมวลส่วนใหญ่เป็นธาตุผสมระหว่างโลหะอัลคาไลน์ และอัลคาไลน์เอิร์ท ซึ่งมีความสามารถในการก่อกร่อนได้ ต้องผ่านกระบวนการปรับสภาพ ซึ่งเพิ่มค่าใช้จ่ายขึ้นอีกด้วย

2.7 การแปรรูปชีวมวลให้เป็นพลังงานเชื้อเพลิง

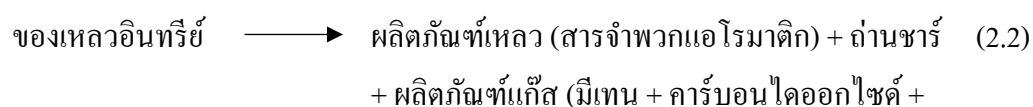
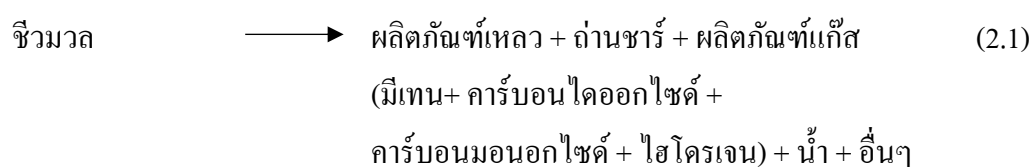
การแปรรูปชีวมวลให้อยู่ในรูปของพลังงานเชื้อเพลิงนั้น มีอยู่ 2 กระบวนการที่นิยมใช้โดยแพร่หลาย ได้แก่ กระบวนการทางเคมีความร้อน (thermochemical conversion)^[18] หมายถึงการสลายตัวของสารอินทรีย์ของชีวมวลโดยใช้ความร้อนสำหรับการแปรสภาพสารชีวมวลไปเป็นเชื้อเพลิงจำพวกแก๊ส ของเหลว หรือของแข็ง รวมถึงเป็นผลิตภัณฑ์ที่มีมูลค่าเป็นสารตั้งต้นในกระบวนการทางเคมี (chemical feeds stock) และกระบวนการเชิงเคมีชีวภาพ (biochemical conversion)^[19] คือ การย่อยสลายชีวมวลด้วยเอนไซม์ หรือแบคทีเรีย โดยทั้งสองวิธีการนี้จะให้พลังงานเชื้อเพลิงในรูปที่แตกต่างกัน ซึ่งมีข้อดีข้อจำกัด และการนำไปใช้ประโยชน์ที่แตกต่างกันขึ้นอยู่กับชนิดของชีวมวล กระบวนการ และสภาวะการดำเนินการ

ตารางที่ 2. 6 กระบวนการทางเคมีความร้อน (Thermochemical conversion) และกระบวนการเชิงเคมีชีวภาพ (Biochemical conversion)^[19]

กระบวนการทางเคมีความร้อน (Thermochemical conversion)	กระบวนการเชิงเคมีชีวภาพ (Biochemical conversion)
นำไปใช้กับวัตถุดิบชีวมวลเกือบทุกชนิด	เกี่ยวข้องกับการใช้จุลินทรีย์เอนไซม์และ / หรือ แบคทีเรีย
ไม่มีการปรับสภาพ	การปรับสภาพเป็นสิ่งสำคัญ
ผลผลิตค่อนข้างสูงเนื่องจากลักษณะทางเคมีของปฏิกิริยา	ผลผลิตมี จำกัด เนื่องจากการแปลงทางชีวภาพ
ผลิตภัณฑ์มูลค่าสูงหลายรายการสามารถทำได้โดยใช้การแยกผลิตภัณฑ์แบบเศษส่วน	โดยปกติ จำกัด ผลิตภัณฑ์เพียงหนึ่งหรือไม่กี่ผลิตภัณฑ์และจะต้องมีจุลินทรีย์เอนไซม์เพิ่มเติมสำหรับผลิตภัณฑ์อื่น ๆ
เป็นอิสระจากสภาพอากาศ	ส่วนใหญ่อ่อนไหวต่ออุณหภูมิโดยรอบอย่างมากแบบไม่ใช่ออกซิเจน
การใช้ประโยชน์อย่างสมบูรณ์ได้ทั้ง ขยะ / ชีวมวล	การผลิตของเสียทุติยภูมิเช่นกากตะกอนชีวมวล
ใช้เวลาในกระบวนการตอบสนองน้อย	ใช้เวลาในกระบวนการตอบสนองมาก

2.7.1 ไพโรไลซิส (Pyrolysis)

ไพโรไลซิส^[5,20] เป็นวิธีการทางเคมีความร้อนเพื่อแปรสภาพชีวมวลในภาวะอับอากาศหรือไม่มีออกซิเจน ชีวมวลส่วนใหญ่จะมีประกอบไปด้วยคาร์บอน ไฮโดรเจน และออกซิเจนเป็นหลัก โดยผลิตภัณฑ์ที่เกิดขึ้นหลังจากกระบวนการไพโรไลซิสชีวมวล ได้แก่ ของเหลวหรือน้ำมันชีวภาพ(bio-oil) ของแข็งหรือถ่านชาร์(char) และผลิตภัณฑ์ที่ไม่ควบแน่น(non condensable pyro-gas) ปฏิกิริยาแสดงในสมการที่ 2.1 และ 2.2



คาร์บอนมอนอกไซด์ + ไฮโดรเจน) + น้ำ + อื่นๆ

2.7.2 ประเภทของไพโรไลซิส

การจำแนกประเภทไพโรไลซิส^{15, 201} ทั้งนี้ขึ้นอยู่กับเงื่อนไข เช่น อัตราการให้ความร้อน และผลิตภัณฑ์หลัก ไพโรไลซิสสามารถแบ่งออกได้ 5 ประเภท ดังต่อไปนี้

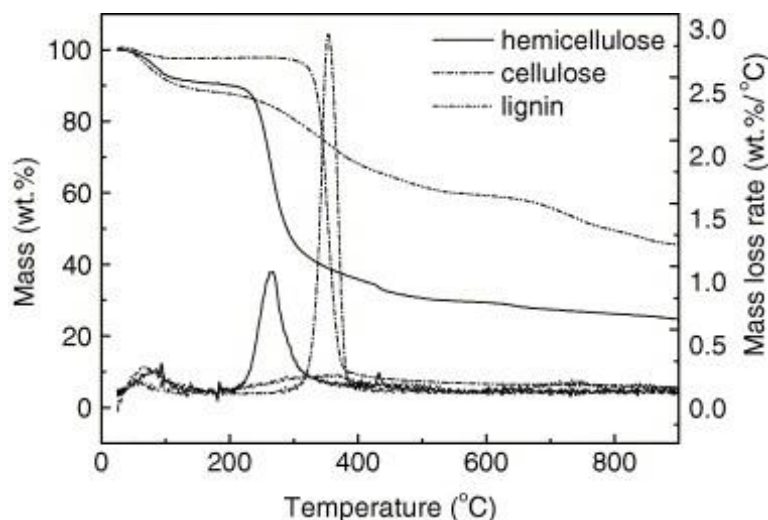
- ไพโรไลซิสแบบเร็ว (Fast pyrolysis) เป็นไพโรไลซิสที่มีการให้ความร้อนอย่างรวดเร็ว ที่อุณหภูมิสูง ทำให้ชีวมวลเกิดการแตกตัวเป็นสารระเหยและเกิดการควบแน่นกลับมาเป็นผลิตภัณฑ์เหลวได้อย่างรวดเร็ว ทำให้ได้ผลิตภัณฑ์ในรูปแบบของเหลวเป็นส่วนใหญ่ ไพโรไลซิสแบบนี้ถูกใช้ในการผลิตน้ำมันชีวภาพในสถานะดำเนินการที่ช่วงอุณหภูมิประมาณ 400-600 องศาเซลเซียส อัตราความร้อนในช่วง 100-1000 องศาเซลเซียสต่อนาที ขนาดอนุภาคประมาณ 3.0 มิลลิเมตร และเวลาที่อยู่อาศัยของไอควบแน่นที่เข้าไปในเครื่องปฏิกรณ์แบบไพโรไลซิสโดยปกติแล้วจะอยู่ในบรรยากาศเฉื่อย 0.5-2 วินาทีภายใต้ความดันบรรยากาศหรือสุญญากาศ ผลิตภัณฑ์ของเหลวของไพโรไลซิสแบบเร็วอยู่ในช่วงร้อยละ 65-75 ของผลิตภัณฑ์
- ไพโรไลซิสแบบช้า (Slow pyrolysis) หรือ คาร์บอนไนเซชัน (Carbonization/torrefaction) เป็นกระบวนการให้ความร้อนที่ให้ความร้อนกับชีวมวลอย่างช้าๆ และมักมีการจำกัดอากาศเพื่อไม่ให้เกิดการลุกไหม้แปรสภาพเป็นถ่าน สารชีวมวลจะเกิดการแตกสลายเชิงความร้อนให้สารที่ระเหยได้ออกไปจนกระทั่งได้ผลิตภัณฑ์ของแข็งที่ไม่เผาไหม้มีคาร์บอนคงตัวในปริมาณที่สูง โดยมีเงื่อนไขการใช้งานคืออัตราการให้ความร้อนต่ำกว่า 80 องศาเซลเซียสต่อนาที และเวลาที่อยู่ในไอน้ำเป็นชั่วโมง ที่อุณหภูมิต่ำกว่า 400 องศาเซลเซียส และใช้เวลามากกว่า 24 ชั่วโมง
- แฟลชไพโรไลซิส (Flash pyrolysis) เป็นกระบวนการไพโรไลซิสที่พัฒนามาจากไพโรไลซิสแบบเร็ว แต่ระยะเวลาที่อยู่เครื่องปฏิกรณ์จะสั้นกว่า เพื่อให้ได้ผลิตภัณฑ์ของเหลวที่สูงละมียร้อยละของแข็งและแก๊สในปริมาณต่ำ
- ไฮโดรไพโรไลซิส (Hydro pyrolysis) เป็นการให้ความร้อนในบรรยากาศของไฮโดรเจน โดยทำการอัดความดันเข้าไปและอุณหภูมิที่ใช้ไม่เกินช่วงของแก๊ซีฟิเคชัน ทำให้ได้ผลิตภัณฑ์เหลวสูง และมีความเสถียร แต่ต้องใช้พลังงานในการอัดความดันให้อยู่ในภาวะบรรยากาศไฮโดรเจน

- ไฮดรอลิไพโรไลซิส (Hydrous pyrolysis) เป็นการสลายตัวด้วยตัวกลางเป็นน้ำร้อนที่มีการอัดความดัน เกิดปฏิกิริยาไฮโดรไลซิส (Hydrolysis) พร้อมกับการสลายตัวด้วยความร้อน โดยการทำกระบวนการนี้มักใช้กับชีวมวลที่มีความชื้นหรือออกซิเจนในปริมาณที่สูง เนื่องจากออกซิเจนจากโมเลกุลของน้ำสามารถร่วมทำปฏิกิริยาการสลายตัวได้

ตารางที่ 2.7 ตารางเปรียบเทียบประเภทของการไพโรไลซิสต่าง ๆ ^[5, 20]

กระบวนการ	เวลาของปฏิกิริยา	อัตราการให้ความร้อน (องศาเซลเซียสต่อนาที)	ช่วงอุณหภูมิของปฏิกิริยา (องศาเซลเซียส)	ผลิตภัณฑ์หลัก
ไพโรไลซิสแบบเร็ว (Fast pyrolysis)	1-2 วินาที	100-1000	400-600	น้ำมันและแก๊ส
ไพโรไลซิสแบบช้า (Slow pyrolysis)	1 หรือมากกว่า 24 ชั่วโมง	ต่ำกว่า 80	ต่ำกว่า 400	ถ่านชาร์ น้ำมัน และแก๊ส
แฟลชไพโรไลซิส (Flash pyrolysis)	น้อยกว่า 1 วินาที	มากกว่า 1000	มากกว่า 650	น้ำมันและแก๊ส
ไฮโดรไพโรไลซิส (Hydro pyrolysis)	10 วินาที	80-100	ต่ำกว่า 500	น้ำมัน
ไฮดรอลิไพโรไลซิส (Hydrous pyrolysis)	5-30 นาที	80-100	ต่ำกว่า 400	น้ำมัน

โดยช่วงอุณหภูมิจากการไพโรไลซิสข้างต้น เป็นปัจจัยสำคัญต่อการไพโรไลซิสชีวมวล ซึ่งแตกต่างกันตามปริมาณส่วนประกอบของชีวมวล ได้แก่ เฮมิเซลลูโลส, เซลลูโลส และลิกนิน ^[21] ที่มีการสลายตัวเชิงความร้อนที่แตกต่างกัน ดังแสดงในภาพที่ 2.5



รูปที่ 2.5 แสดงช่วงอุณหภูมิการสลายตัวของ เซลลูโลส, เฮมิเซลลูโลส และลิกนิน ^[21]

2.7.3 ตัวแปรที่ส่งผลต่อกระบวนการไพโรไลซิส

การไพโรไลซิสส่วนใหญ่คำนึงถึงผลิตภัณฑ์ที่เป็นสารระเหย และการกระจายตัวของชีวมวลเป็นหลัก ดังนั้นภาวะในการไพโรไลซิส ถือเป็นหลักสำคัญที่ทำให้ผลได้ผลิตภัณฑ์เป็นไป รวมถึงองค์ประกอบทางเคมีของชีวมวลนั้นๆ ที่สามารถนำไปใช้ประโยชน์ โดยตัวแปรพื้นฐานที่สำคัญได้แก่ อุณหภูมิที่ใช้ในการไพโรไลซิส เวลาในการทำปฏิกิริยา อัตราการให้ความร้อน และตัวแปรอื่นๆ ซึ่งตัวแปรเหล่านี้เป็นตัวแปรที่มีอิทธิพลต่อกระบวนการไพโรไลซิสต่อผลได้ของผลิตภัณฑ์นั้นๆ

- **อุณหภูมิที่ใช้ในการไพโรไลซิส (Temperature)**

อุณหภูมิที่ใช้ในการไพโรไลซิส^[22] ถือเป็นตัวแปรที่สำคัญที่ใช้บ่งบอกผลิตภัณฑ์ที่จะเกิดขึ้นในกระบวนการไพโรไลซิส โดยเราสามารถแบ่งช่วงอุณหภูมิที่ใช้ในการไพโรไลซิสเป็น 3 ส่วน คือ ส่วนที่หนึ่งที่อุณหภูมิเริ่มต้นจนถึงประมาณ 150 ถึง 200 องศาเซลเซียส เป็นการสลายตัวของความชื้นส่วนใหญ่ที่อยู่ภายใน โครงสร้างของชีวมวล ส่วนที่สองอุณหภูมิอยู่ในช่วง 300 ถึง 500 องศาเซลเซียส โดยเป็นการสลายตัวทางความร้อนขององค์ประกอบหลักที่อยู่ในชีวมวลนั้นๆ เพื่อเกิดเป็นสารระเหยขึ้นและสามารถเกิดการควบแน่นกลับมาเป็นผลิตภัณฑ์เหลวได้ และส่วนที่สามจะมีช่วงอุณหภูมิอยู่ที่ 500 ถึง 800 องศาเซลเซียส ซึ่งเป็นการสลายตัวทางความร้อนของชีวมวลที่เหลือเหลืออยู่ ซึ่งจะมีส่วนที่ไม่เกิดการสลายตัวทางความร้อนเกิดขึ้น ซึ่งคือ ถ่านชาร์ และขี้เถ้า โดยอุณหภูมิที่ใช้ในการไพโรไลซิสที่ 400 ถึง 600 องศาเซลเซียส ถือเป็นช่วงอุณหภูมิที่เหมาะสมกับชีวมวล โดยจะให้ร้อยละของสารระเหยสูงถึง 75 เปอร์เซ็นต์

- **อัตราการให้ความร้อน (Heating rate)**

อัตราการให้ความร้อน^[23] ถือเป็นตัวแปรอีกหนึ่งตัวที่มีผลต่อปริมาณและองค์ประกอบของสารระเหยที่ได้จากการควบแน่นของสารระเหยชีวมวล โดยอัตราการให้ความร้อนต่ำจะได้ผลิตภัณฑ์ของแข็งหรือถ่านชาร์เป็นหลัก ส่วนการไพโรไลซิสที่อัตราการให้ความร้อนสูง เซลลูโลสจะเปลี่ยนไปเป็นแก๊สที่มีสัดส่วนของพวกโอเลฟินสูง และได้ปริมาณผลิตภัณฑ์ของแข็งที่ต่ำ ในกระบวนการไพโรไลซิสที่อัตราการให้ความร้อนสูง จะทำให้เกิดการแตกตัวของชีวมวลได้รวดเร็วเนื่องจากความร้อนที่เข้าไปสัมผัสกับชีวมวลมีปริมาณมากและมีระยะเวลาที่เหมาะสมแก่การผลิตเป็นผลิตภัณฑ์เหลว แต่ถ้าสูงเกินไปจะทำให้ได้ผลิตภัณฑ์ในรูปของแก๊สแทน โดยการปรับอัตราการให้ความร้อนขึ้นอยู่กับผลิตภัณฑ์ที่เราต้องการ ว่าอยากได้ผลิตภัณฑ์ที่เป็นของเหลวเป็นหลักหรือผลิตภัณฑ์แก๊สเป็นหลัก

- **ขนาดของอนุภาค (Particle size)**

จากการศึกษาผลของขนาดของอนุภาค^[24] พบว่าขนาดของอนุภาคส่งผลต่อปริมาณผลิตภัณฑ์ที่จะเกิดขึ้น อันเนื่องมาจากความสัมพันธ์กับอัตราการถ่ายโอนความร้อน (Heat transfer) โดยแปรผกผันกับขนาดอนุภาคเฉลี่ย กล่าวได้ว่าเมื่อขนาดอนุภาคเฉลี่ยใหญ่การถ่ายโอนความร้อนจะต่ำเนื่องจากขนาดใหญ่จะมีพื้นที่ผิวที่ (Surface area) ทำให้ความร้อนต้องมีความสามารถในการแพร่ผ่านเข้าไปในเนื้อของชีวมวลเพื่อเกิดการสลายตัวได้ยาก ในทางกลับกันเมื่อขนาดอนุภาคเฉลี่ยเล็กการถ่ายโอนความร้อนจะสูง แต่เมื่อมีขนาดเล็กมากเกินไปจะทำให้เกิดผลของการสลายของขั้นทุติยภูมิ (Secondary Decomposition) ส่งผลให้ได้ผลิตภัณฑ์แก๊สเป็นหลัก

- **เวลาที่ชีวมวลสัมผัสกับความร้อน (Residence time)**

เวลาที่ชีวมวลสัมผัสกับความร้อน^[25] มีผลต่อปริมาณผลได้ของผลิตภัณฑ์ กล่าวได้ว่าเมื่อชีวมวลสัมผัสกับความร้อนมากเกินไปจะทำให้เกิดการแตกตัวได้อย่างสมบูรณ์ ทำให้เป็นสารระเหยที่สามารถควบแน่นกับมาเป็นผลิตภัณฑ์เหลวได้ง่าย แต่เมื่อเวลาที่ชีวมวลสัมผัสกับความร้อนน้อย ให้ความร้อนเกิดการสลายตัวที่ไม่สมบูรณ์ จึงทำให้เหลือปริมาณชีวมวลมากส่งผลให้ได้ผลิตภัณฑ์ของแข็งเป็นหลัก

- อัตราการไหลของแก๊สตัวพา (Flow rate of carrier gas)

อัตราการไหลของแก๊สตัวพา ^[26] ถือเป็นอีกหนึ่งตัวแปรที่มีผลต่อกระบวนการไพโรไลซิส เนื่องจากแก๊สตัวพาถือเป็นแก๊สที่พาสารระเหยที่ได้จากการไพโรไลซิสชีวมวลออกจากเครื่องปฏิกรณ์ไปยังชุดควบแน่นและกลั่นตัวกลับมาเป็นผลิตภัณฑ์เหลวได้ง่าย กล่าวคือที่มีอัตราการไหลของแก๊สตัวพาสูงจะทำให้เกิดการพาของสารระเหยได้ดี ส่งผลให้ได้ผลิตภัณฑ์เหลวในปริมาณมากต่างจากอัตราการไหลของแก๊สตัวพาที่ต่ำ จะส่งผลให้ได้ผลิตภัณฑ์เหลวในปริมาณน้อย

2.7.4 ผลิตภัณฑ์ที่ได้จากกระบวนการไพโรไลซิส

โดยเราสามารถแบ่งผลิตภัณฑ์ที่ได้จากกระบวนการไพโรไลซิสเป็น 3 ประเภท ได้แก่ ผลิตภัณฑ์ที่เป็นของแข็งหรือถ่านชาร์ ผลิตภัณฑ์ที่เป็นของเหลวหรือน้ำมันชีวภาพ และผลิตภัณฑ์ที่เป็นแก๊ส

- ผลิตภัณฑ์ที่เป็นของเหลวหรือน้ำมันชีวภาพ

ผลิตภัณฑ์ที่เป็นของเหลวหรือน้ำมันชีวภาพ ^[7-10] จะมีองค์ประกอบ 2 ส่วนใหญ่ๆ ด้วยกัน คือ ส่วนที่สามารถละลายน้ำได้ และส่วนที่เป็นน้ำมันชีวภาพหรือสารที่ไม่สามารถละลายน้ำได้โดยส่วนที่เป็นน้ำมันชีวภาพจะมีองค์ประกอบของไฮโดรคาร์บอนที่แตกต่างกันขึ้นอยู่กับชนิดของชีวมวลที่นำมาใช้เป็นสารตั้งต้น

- ผลิตภัณฑ์ที่เป็นของแข็งหรือถ่านชาร์

ผลิตภัณฑ์ที่เป็นของแข็งหรือถ่านชาร์ ^[4] จะมีองค์ประกอบทางเคมี คือคาร์บอน เป็นหลักในปริมาณที่สูง สามารถนำไปใช้เป็นพลังงานได้โดยไม่ต้องผ่านกระบวนการใดๆอีก แต่ส่วนใหญ่จะทำการผ่านกระบวนการเล็กน้อยเพื่อเพิ่มมูลค่าของผลิตภัณฑ์ของแข็งให้มีค่าเพิ่มสูงขึ้น อาทิเช่น การกระตุ้นถ่านด้วยวิธีการเผาทำให้เกิดเป็นถ่านกัมมันต์ ซึ่งมีคุณสมบัติดูดกลิ่น หรือนำไปเป็นเชื้อเพลิงในครัวเรือนได้ อีกทั้งผลิตภัณฑ์ที่เป็นของแข็งยังเป็นผลิตภัณฑ์ที่มีการเจือปนของสารประกอบไนโตรเจนหรือกำมะถันในปริมาณน้อย เมื่อทำการเผาไหม้จึงส่งผลเสียต่อสิ่งแวดล้อมที่น้อยอีกด้วย

- ผลิตภัณฑ์ที่เป็นแก๊ส

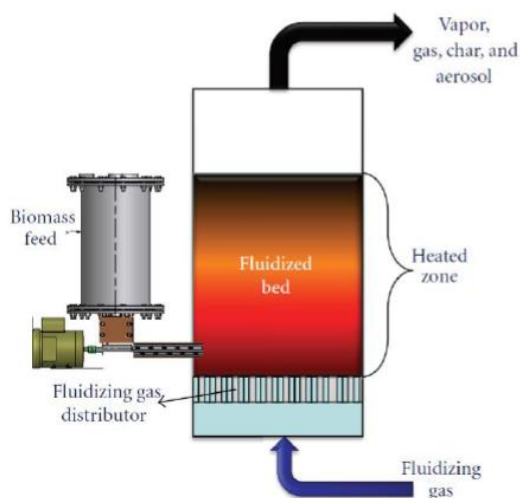
ผลิตภัณฑ์ที่เป็นแก๊ส ^[6, 27] จะเป็นของผสมระหว่างแก๊สอินทรีย์และอนินทรีย์ โดยแก๊สอินทรีย์จะประกอบด้วย แก๊สคาร์บอนมอนอกไซด์ คาร์บอนไดออกไซด์ ไฮโดรเจน และแอมโมเนียเป็นหลัก ส่วนแก๊สอนินทรีย์จะประกอบด้วย มีเทน อีเทน และเอทิลีน เป็นหลัก ซึ่งแก๊สที่กล่าวมาข้างต้นสามารถนำไปใช้เป็นพลังงานในรูปแบบของพลังงานเชื้อเพลิงเพื่อให้ความร้อนได้

2.8 ประเภทของเครื่องปฏิกรณ์

เครื่องปฏิกรณ์ที่ใช้กระบวนการเชิงเคมีความร้อนสามารถแบ่งออกเป็น 5 ประเภท ได้แก่ เครื่องปฏิกรณ์ฟลูอิดไคซ์เบดแบบฟองอากาศ (Bubbling fluidized-bed reactor) เครื่องปฏิกรณ์ฟลูอิดไคซ์เบดแบบหมุนเวียนและเบดแบบถ่ายโอน (Circulating fluidized beds and transported bed) เครื่องปฏิกรณ์ไพโรไลซิสแบบสุญญากาศ (Vacuum pyrolysis reactor) เครื่องปฏิกรณ์ไพโรไลซิสแบบแอบลาทีฟ (Ablative pyrolysis reactor) และเครื่องปฏิกรณ์แบบสกรู (Auger reactor)

2.8.1 เครื่องปฏิกรณ์ฟลูอิดไคซ์เบดแบบฟองอากาศ

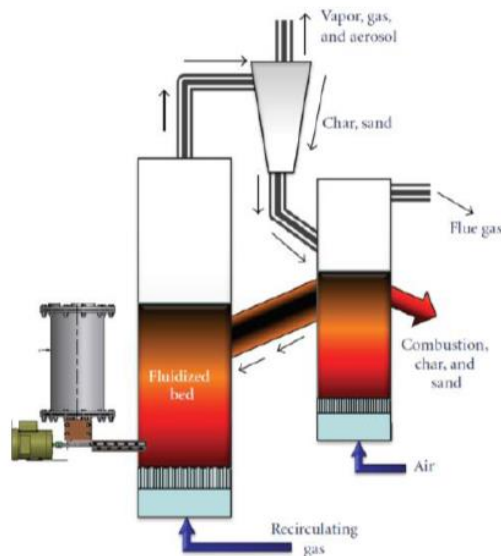
เครื่องปฏิกรณ์ฟลูอิดไคซ์เบดแบบฟองอากาศ (Bubbling fluidized-bed reactor) เป็นเครื่องปฏิกรณ์ที่ทำการป้อนอากาศจากส่วนล่างขึ้นบน ซึ่งแรงดันของอากาศจะทำการพาอนุภาคให้เกิดการลอยตัวขึ้นและหมุนเวียนภายในเครื่องปฏิกรณ์ และมีอีกส่วนหนึ่งเกิดการรวมตัวกันแล้วก่อตัวเป็นฟอง แล้วเกิดการแตกตัวบริเวณผิวหน้าของเบดและแตกตัวในที่สุด เมื่อฟองแตกลอยขึ้นขึ้นมาจะเกิดการลอยตามขึ้นผสมกัน โดยแสดงดังรูปที่ 2.6



รูปที่ 2.6 เครื่องปฏิกรณ์ฟลูอิดไคซ์เบดแบบฟองอากาศ^[30]

2.8.2 เครื่องปฏิกรณ์ฟลูอิดไคซ์เบดแบบหมุนเวียนและเบดแบบถ่ายโอน

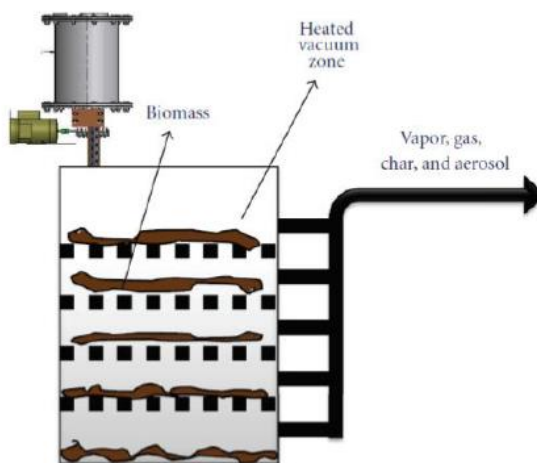
เครื่องปฏิกรณ์ฟลูอิดไคซ์เบดแบบหมุนเวียนและเบดแบบถ่ายโอน (Circulating fluidized beds and transported bed) เป็นเครื่องปฏิกรณ์ที่มีอนุภาคของสารแขวนลอยด์หมุนเวียนอยู่ในเครื่องปฏิกรณ์ฟลูอิดไคซ์ที่มีกระแสไฟฟ้าสูงและจะมีกระแสสูงขึ้นเรื่อยๆจนเกิดส่วนที่หลุดออกไป โดยส่วนที่หลุดออกไปจะเกิดการหมุนเวียนกลับมาใหม่ด้วยไซโคลน โดยแสดงดังรูปที่ 2.7



รูปที่ 2. 7 เครื่องปฏิกรณ์ฟลูอิดเบดแบบหมุนเวียน ^[30]

2.8.3 เครื่องปฏิกรณ์ไพโรไลซิสแบบสุญญากาศ

เครื่องปฏิกรณ์ไพโรไลซิสแบบสุญญากาศ (Vacuum pyrolysis reactor) เป็นเครื่องปฏิกรณ์ที่ออกแบบให้มีอัตราการถ่ายโอนความร้อนในการเกิดปฏิกิริยาที่ใช้สลายตัวของชีวมวลหรือการเผาไหม้ ภายใต้ภาวะความดันต่ำและใช้เวลานานในเครื่องปฏิกรณ์ที่ยาวนาน ซึ่งเหมาะสำหรับจากการทำไพโรไลซิสแบบช้า (Slow pyrolysis) โดยแสดงดังรูปที่ 2.8

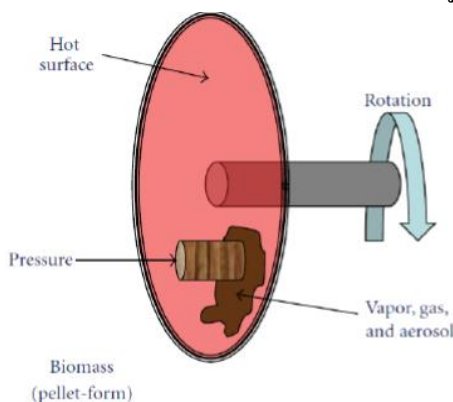


รูปที่ 2. 8 เครื่องปฏิกรณ์ไพโรไลซิสแบบสุญญากาศ ^[30]

2.8.4 เครื่องปฏิกรณ์ไพโรไลซิสแบบแอบลาทีฟ

เครื่องปฏิกรณ์ไพโรไลซิสแบบแอบลาทีฟ (Ablative pyrolysis reactor) เป็นเครื่องปฏิกรณ์ที่อาศัยการถ่ายโอนความร้อนที่เกิดขึ้นในขณะที่ชีวมวลเกิดการเคลื่อนไปชนกับของแข็งที่เป็นแหล่ง

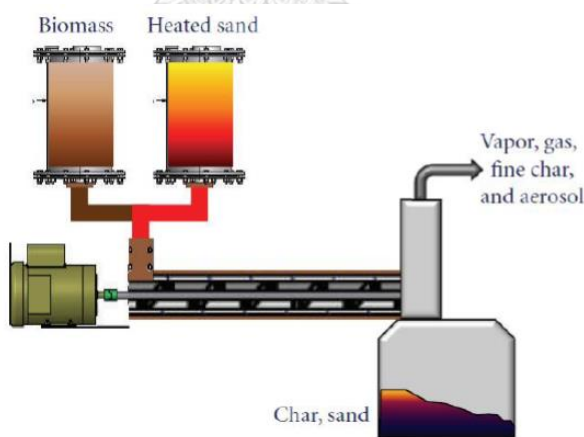
ให้ความร้อน ซึ่งจุดเด่นของเครื่องปฏิกรณ์ไพโรซิสแบบแอบลาทิป คือ การใช้ความดันสูงในขนาดการป้อนชีวมวลทำให้เกิดการเชื่อมชีวมวลกับผนังของเครื่องปฏิกรณ์ที่มีอุณหภูมิประมาณ 600 องศาเซลเซียส จึงทำให้เกิดการถ่ายโอนความร้อนได้ดี โดยแสดงดังรูปที่ 2.9



รูปที่ 2.9 เครื่องปฏิกรณ์ไพโรซิสแบบแอบลาทิป^[30]

2.8.5 เครื่องปฏิกรณ์แบบสกรู

เครื่องปฏิกรณ์แบบสกรู (Auger reactor) เป็นเครื่องปฏิกรณ์ที่ไม่มีแก๊สตัวพาและใช้อุณหภูมิต่ำกว่า 400 องศาเซลเซียส มีความสามารถในการทำงานอย่างต่อเนื่องและรวดเร็ว ใช้ทรายร้อนเป็นตัวพาและให้ความร้อนพร้อมทั้งบดอัดด้วยสกรู ซึ่งผลิตภัณฑ์ที่ได้จากเครื่องปฏิกรณ์แบบสกรูจะถูกควบแน่นกลายเป็นน้ำมันชีวภาพ โดยแสดงดังรูปที่ 2.10

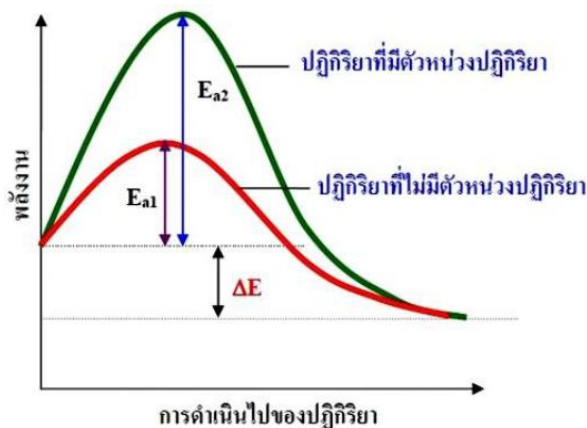


รูปที่ 2.10 เครื่องปฏิกรณ์แบบสกรู^[30]

2.9 ตัวเร่งปฏิกิริยา (Catalyst)

ตัวเร่งปฏิกิริยา^[31] คือสารที่กระตุ้น ทำให้ปฏิกิริยาเกิดเร็วขึ้น โดยไม่เกิดปฏิกิริยากับสารตั้งต้น แต่จะช่วยส่งเสริมให้เกิดผลิตภัณฑ์ได้เร็ว และดีขึ้นทั้งในด้านปริมาณและคุณภาพ หรืออย่างใดอย่างหนึ่งขึ้นหรือเฉพาะเจาะจงยิ่งขึ้น ซึ่งสามารถอธิบายได้ดังรูปที่ 2.24 โดยชนิดของตัวเร่ง

ปฏิกิริยานั้นสามารถแบ่งได้เป็น 2 ประเภท ได้แก่ ตัวเร่งปฏิกิริยาแบบเอกพันธ์ (Homogeneous catalysts) และตัวเร่งปฏิกิริยาแบบวิวิธพันธุ์ (Heterogeneous catalysts)



รูปที่ 2. 11 การเกิดปฏิกิริยาที่มีตัวเร่งปฏิกิริยา ^[31]

2.9.1 ตัวเร่งปฏิกิริยาแบบเอกพันธ์ (Homogeneous catalysts)

ตัวเร่งปฏิกิริยาแบบเอกพันธ์ (Homogeneous catalysts) ^[31] คือตัวเร่งปฏิกิริยาที่อยู่สถานะเดียวกับสารตั้งต้นและผลิตภัณฑ์ ซึ่งสามารถเป็นได้ทั้งของแข็งหรือของเหลว ตัวเร่งปฏิกิริยาแบบเอกพันธ์มักเป็น โมเลกุลที่มีตำแหน่งที่แน่นอนเพื่อให้เกิดการเร่งปฏิกิริยาได้อย่างชัดเจนและรวดเร็ว รวมไปถึงง่ายต่อการศึกษา เนื่องจากการวิเคราะห์สารในกระบวนการต่างๆ ที่อยู่ในรูปของสารละลายทำได้ง่ายด้วยใช้เทคนิคทางสเปกโทรสโกปี และการหาอัตราการเกิดปฏิกิริยาก็ทำได้ง่ายเช่นกัน ตัวเร่งปฏิกิริยาแบบเอกพันธ์เป็นที่นิยมกันอย่างกว้างขวางและเป็นที่น่าสนใจในวงกว้าง เพราะตัวเร่งปฏิกิริยาแบบเอกพันธ์มีความสามารถในการเลือกที่สูง (Selectivity) และว่องไวต่อการเกิดปฏิกิริยา โดยเฉพาะปฏิกิริยาที่เป็นการคายความร้อน แต่ข้อเสียของตัวเร่งปฏิกิริยาแบบเอกพันธ์คือเกิดการสลายตัวหรือเสื่อมสภาพได้ง่ายในภาวะที่อุณหภูมิและความดันสูง รวมไปถึงการแยกผลิตภัณฑ์และตัวเร่งปฏิกิริยานั้นทำได้ยาก

2.9.2 ตัวเร่งปฏิกิริยาแบบวิวิธพันธุ์ (Heterogeneous catalysts)

ตัวเร่งปฏิกิริยาแบบวิวิธพันธุ์ (Heterogeneous catalysts) ^[31] คือตัวเร่งปฏิกิริยาที่อยู่สถานะแตกต่างกับสารตั้งต้นหรือผลิตภัณฑ์ เช่น สารตั้งต้นที่เป็นของแข็ง แต่ตัวเร่งปฏิกิริยาจะต้องเป็นของเหลวหรือแก๊ส โดยตัวเร่งปฏิกิริยาแบบวิวิธพันธุ์นิยมใช้ในกลุ่มอุตสาหกรรมจำพวก ยา เชื้อเพลิง ตัวทำละลาย เนื่องจากตัวเร่งปฏิกิริยาแบบวิวิธพันธุ์เป็นของแข็งมีความแข็งแรงเชิงกลที่ดี ทนทานต่ออุณหภูมิและความดันสูง และยังสามารถแยกตัวเร่งปฏิกิริยาและผลิตภัณฑ์หรือสารตั้งต้นได้ง่าย โดยตัวเร่งปฏิกิริยาแบบวิวิธพันธุ์ส่วนใหญ่จะประกอบไปด้วย 2 องค์ประกอบหลัก ได้แก่

ส่วนที่ทำให้เกิดการว่องไวของปฏิกิริยา (Active component) และส่วนที่สองคือตัวรองรับ (Support) หรือตัวพา (Carrier) มักเป็นวัสดุที่มีพื้นที่ผิวสูง เพื่อช่วยต่อการกระจายตัวของส่วนที่ทำให้เกิดการว่องไว แต่บางตัวเร่งปฏิกิริยาอาจจะมีเพียงส่วนที่ทำให้เกิดการว่องไวของปฏิกิริยา ซึ่งตัวเร่งปฏิกิริยามีวิวิพันธุ์แบ่งเป็น 2 ประเภท ดังต่อไปนี้

- ตัวเร่งปฏิกิริยาแบบบัลค์ (bulk catalyst) หรือตัวเร่งปฏิกิริยาที่ไม่มีตัวรองรับ (unsupported) เป็นตัวเร่งปฏิกิริยาที่มีองค์ประกอบทางเคมีทำหน้าที่เป็นตำแหน่งกัมมันต์กระจายอยู่ในโครงสร้างหรือผลึก เช่น TiO_2 , ZnO , CaO และ MgO เป็นต้น ตัวเร่งเหล่านี้ไม่มีรูพรุนภายในโครงสร้าง จึงมีพื้นที่ผิวจำเพาะไม่สูงนัก
- ตัวเร่งปฏิกิริยาที่มีตัวรองรับ (supported catalyst) ตัวเร่งปฏิกิริยาประเภทนี้ประกอบด้วยโลหะกัมมันต์กระจายตัวอยู่บนพื้นผิวของตัวรองรับ (support) เช่น $\text{Pt} / \text{Al}_2\text{O}_3$, Pt / C และ $\text{MoS}_2 / \text{Al}_2\text{O}_3$ โดยโลหะกัมมันต์ทำหน้าที่เร่งปฏิกิริยาหลัก (main reaction) เพื่อให้ได้ผลิตภัณฑ์ที่ต้องการ ส่วนตัวรองรับที่มีพื้นที่ผิวจำเพาะสูง ในบางกรณีช่วยเพิ่มเสถียรภาพของโลหะกัมมันต์ได้ ตัวรองรับบางชนิดเช่นตัวรองรับชนิดกรด (acid support) ยังทำหน้าที่เร่งปฏิกิริยาได้ด้วยจึงถูกใช้เป็นตัวรองรับของตัวเร่งปฏิกิริยาสองหน้าที่ (bifunctional catalysts)

จะเห็นได้ว่าการจำแนกประเภทของตัวเร่งปฏิกิริยาโดยใช้เกณฑ์นี้ไม่สื่อถึงการใช้งานของตัวเร่งปฏิกิริยาและมีรายละเอียดแฝงค่อนข้างมาก ทั้งนี้ตัวเร่งปฏิกิริยามีวิวิพันธุ์ประกอบด้วย 3 ส่วนสำคัญ ได้แก่

- วัฏภาคกัมมันต์ (Active phase) ทำหน้าที่ในการเร่งปฏิกิริยาหลัก
- ตัวรองรับ (support) เป็นวัสดุที่เชื่อมต่อปฏิกิริยามีพื้นที่ผิวสูงทำหน้าที่รองรับ กระจายวัฏภาคกัมมันต์ ให้ผลึกเล็กกระจายตัวบนพื้นผิว
- ตัวสนับสนุน (Promoter) ซึ่งช่วยเสริมสมบัติเชิงเร่งปฏิกิริยาในด้านกัมมันตภาพการเลือกจำเพาะหรือเสถียรภาพของตัวเร่งปฏิกิริยา

กล่าวคือ องค์ประกอบของ CaO และ MgO เป็นตัวรองรับ (support) และทำหน้าที่ตัวสนับสนุน (Promoter) ให้วัฏภาคกัมมันต์ (Active phase) นั่นคือนิกเกิล (Ni) ซึ่งเป็นโลหะทรานซิชันที่มีกัมมันตภาพสูงในการเร่งปฏิกิริยาจะสามารถดูดซับไฮโดรเจนได้ดีกับสารตั้งต้น อย่างไรก็ตามวิจัยนี้จึงสนใจนิกเกิล (Ni) ทำหน้าที่เร่งปฏิกิริยาหลัก (main reaction) และใช้โดโลไมต์ (Dolomite) ที่มี

องค์ประกอบของ CaO และ MgO เป็นตัวรองรับ (support) เพื่อเพิ่มประสิทธิภาพของตัวเร่งปฏิกิริยาในการผลิตน้ำมันชีวภาพ

2.10 การเตรียมตัวเร่งปฏิกิริยาแบบวิวิธพันธุ์ (Heterogeneous catalysts preparation)

วิธีการเตรียมตัวเร่งปฏิกิริยาแบบวิวิธพันธุ์ (Heterogeneous catalysts preparation)^[31] ส่งผลต่อสมบัติทางกายภาพและเคมีของตัวเร่งปฏิกิริยาที่เตรียมได้ โดยมี 2 วิธีหลักๆ ดังต่อไปนี้

2.10.1 การเคลือบฝังหรือการชุบเอิบ (Impregnation)

การเคลือบฝังหรือการชุบเอิบ (Impregnation) เป็นวิธีการพื้นฐานที่ง่ายและสะดวกที่สุดใน การกระจายวัฏภาคกัมมันต์บนพื้นผิวของตัวรองรับ เนื่องจากไม่มีขั้นตอนการกรองและการล้าง จึงเป็นวิธีที่นิยมทั้งในระดับห้องปฏิบัติการและอุตสาหกรรม ซึ่งเหมาะสำหรับการเตรียมตัวเร่งปฏิกิริยาที่ใช้โลหะมีตระกูลซึ่งมีราคาแพง โดยสารตั้งต้นโลหะกัมมันต์ต้องละลายได้ในน้ำหรือตัวทำละลายอื่นๆ ที่เหมาะสม อาทิเช่น เกลือโลหะไนเตรต เกลือโลหะแอสซิเตต เกลือโลหะคลอไรด์ เป็นต้น ปริมาตรและความเข้มข้นของสารละลายโลหะส่งผลต่อปริมาณและการกระจายตัวของอนุภาคโลหะที่ติดบนผิวของตัวรองรับ โดยทั่วไปกำหนดปริมาตรของสารละลายที่ใช้ให้ใกล้เคียงกับปริมาตรรูพรุนของตัวรองรับเพื่อให้โลหะกัมมันต์ทั้งหมดในสารละลายเติมเต็มภายในรูพรุนพอดี เรียกว่าอิมเพกชันแบบเปียกพอดี (incipient wetness impregnation) ตัวรองรับที่เหมาะสมสำหรับการพอกพูนด้วยวิธีนี้

2.10.2 การตกตะกอน (Precipitation)

การตกตะกอน (Precipitation) เทคนิคนี้เป็นการพอกพูนโลหะกัมมันต์ที่ละลายในตัวกลางของเหลวลงบนตัวรองรับโดยทำให้ไอออนของโลหะกัมมันต์ตกตะกอนอยู่ในรูปโลหะไฮดรอกไซด์ (metal hydroxide) หรือโลหะคาร์บอเนต (metal carbonate) ผ่านการปรับค่ากรด-เบสของระบบให้เหมาะสม โดยเติมสารละลายเบสเช่น NaOH, NH₄OH หรือ Na₂CO₃ เป็นต้น ตัวรองรับที่มีลักษณะเป็นผงหรือเม็ดที่ผ่านการอบแห้งหรือการเผาเพื่อไล่ความชื้นและสิ่งปนเปื้อนออกแล้วนำไปกวนผสมกับสารละลายเกลือโลหะกัมมันต์ทำให้ได้ของผสมแขวนลอย (slurry) จากนั้นค่อยๆ เทหรือหยดสารละลายเบสลงไปจนค่ากรด-เบสของของผสมสูงขึ้น ไอออนของโลหะที่ใช้เป็นสารตั้งต้นจะตกตะกอนภายในรูพรุนของตัวรองรับ เมื่อนำของแข็งไปอบแห้งเพื่อไล่ตัวทำละลายและเผาเพื่อสลายเกลือโลหะตะกอน โลหะกัมมันต์จะแปรสภาพเป็นโลหะออกไซด์บนตัวรองรับการ

เลือกชนิดของสารตั้งต้นเกลือโลหะและชนิดของเบส ซึ่งมีความสำคัญมากเนื่องจากไอออนบางชนิดที่ตกค้างในตัวเร่งปฏิกิริยามักจะส่งผลที่ไม่พึงประสงค์แก่ตัวเร่งปฏิกิริยาได้

2.11 การกระตุ้นตัวเร่งปฏิกิริยา (Catalyst activation)

วิธีการเตรียมที่กล่าวแล้วข้างต้นยังไม่พร้อมนำไปใช้ในการเร่งปฏิกิริยาเนื่องจากหลายสาเหตุ เช่น แอนไอออนตกค้างอยู่บนตัวรองรับ สถานะออกซิเดชันของโลหะกัมมันต์ยังไม่เหมาะสมการเกิดโลหะออกไซด์ผสมที่มีโครงสร้างเฉพาะต้องใช้พลังงานก่อกัมมันต์สูง หรือต้องการเพิ่มสมบัติเชิงกลของตัวเร่งปฏิกิริยาดังนั้นจำเป็นต้องมีกระบวนการกระตุ้นตัวเร่งปฏิกิริยา (catalyst activation) เพื่อแปรสภาพ หรือเปลี่ยนโลหะกัมมันต์ ให้มีโครงสร้างหรือองค์ประกอบทางเคมีในรูปแบบที่มีกัมมันตภาพสูงจากการกระตุ้นตัวเร่งปฏิกิริยาซึ่งทำได้หลายวิธีขึ้นกับชนิดของโลหะกัมมันต์ ซึ่งที่พบบ่อย ได้แก่ การเผากระตุ้น (Calcination), การรีดักชัน (Reduction) และ การซัลไฟเดชัน (Sulfidation) โดยในจะกล่าวถึง สองวิธีแรก คือ

2.11.1 การเผากระตุ้น (Calcination)

การเผากระตุ้น (Calcination) เป็นการให้ความร้อนปรับสภาพตัวเร่งปฏิกิริยาในภาวะที่มีอากาศหรือในบรรยากาศของแก๊สชนิดอื่น ๆ ซึ่งเป็นขั้นตอนสุดท้ายหลังจากการเตรียมตัวเร่งปฏิกิริยา นอกจากนี้ การเผากระตุ้น (Calcination) ยังเป็นขั้นตอนสำคัญของการเตรียมตัวรองรับและวัสดุของแข็งที่มีพื้นที่ผิวสูงและสมบัติเชิงกลที่เสถียร ประสิทธิภาพของตัวเร่งปฏิกิริยามีหลายประการ ดังต่อไปนี้

- ความร้อนจากการเผาช่วยสลายแอนไอออนจากสารตั้งต้นเกลือโลหะที่ตกค้างบนตัวรองรับหรือตัวเร่งปฏิกิริยา อีกทั้งยังช่วยกำจัดสารเจือปนทำให้รูพรุนจำนวนมากภายในโครงสร้างเปิดออก
- การเผาตะกอนโลหะในอากาศทำให้สารประกอบโลหะแปรสภาพเป็นโลหะออกไซด์ซึ่งเป็นโครงสร้างทางเคมีที่ง่ายต่อการรีดิวซ์และการซัลไฟไดซ์เป็นโลหะกัมมันต์ในรูปแบบโลหะประจุศูนย์ (zero valence metals) และโลหะซัลไฟด์ตามลำดับ
- วัฏภาคออกไซด์ของตัวรองรับและตัวเร่งปฏิกิริยาบางชนิดที่มีเสถียรภาพแปรตามอุณหภูมิ (metastable phase) ต้องใช้ความร้อนเป็นตัวกระตุ้นจึงจะเกิดโครงสร้างโลหะออกไซด์ที่ต้องการ
- การเผากระตุ้นจะเกิดการควบแน่นของพันธะภายในตะกอนโลหะ หรือการรวมตัวกันของอนุภาคนาขนาดเล็กให้มากขึ้นทำให้ได้ผลึกหรืออนุภาคที่มีขนาดใหญ่ และเพิ่มความแข็งแรง

เชิงกลให้กับโครงสร้างของตัวเร่งปฏิกิริยา นอกจากนี้ทำให้โลหะกัมมันต์ยึดจับบนพื้นผิวของตัวรองรับด้วยพันธะที่แข็งแรงขึ้นซึ่งช่วยเพิ่มเสถียรภาพทางความร้อนให้แก่ตัวเร่งปฏิกิริยา

2.11.2 การรีดักชัน (Reduction)

การรีดักชัน (Reduction) เป็นขั้นตอนที่จำเป็นในการเปลี่ยนรูปโลหะออกไซด์หรือเกลือโลหะกัมมันต์ในตัวเร่งปฏิกิริยาให้กลายเป็นโลหะที่มีสถานะออกซิเดชันตามต้องการ ก่อนนำไปใช้ในปฏิกิริยา โดยโลหะหลายชนิดแสดงสมบัติเชิงเร่งปฏิกิริยาได้เมื่อมีสถานะออกซิเดชัน (oxidation state) ดังสมการที่ 2.9



กระบวนการรีดักชันเป็นการให้ความร้อนกับตัวเร่งปฏิกิริยาในบรรยากาศของแก๊สรีดิวซ์ เช่น ไฮโดรเจน คาร์บอนมอนอกไซด์ แก๊สสังเคราะห์ (synthetic gas) ซึ่งเป็นแก๊สผสมของ คาร์บอนมอนอกไซด์และไฮโดรเจน ฟอรัลดีไฮด์ (formaldehyde) หรือไฮดราซีน (hydrazine) โดยไฮโดรเจนเป็นตัวเลือกอันดับแรก ๆ เนื่องจากความเป็นพิษต่ำกว่าและหาซื้อได้ง่ายแก๊สรีดิวซ์อื่นๆ โดยแก๊สดังกล่าวต้องมีความบริสุทธิ์สูงหากมี ออกซิเจน แก๊สซัลเฟอร์ ความชื้น และไฮโดรคาร์บอนเจือปนอยู่ต้องนำไปผ่านขั้นตอนปรับสภาพให้บริสุทธิ์ก่อนซึ่งใช้หลักการการดูดซับด้วยตัวดูดซับชนิดต่างๆ เช่น โมเลกุลาร์ซีฟใช้สำหรับการดูดซับความชื้น การกำจัดแก๊สซัลเฟอร์ ใช้การดักจับด้วย ZnO เป็นต้น

2.12 โดโลไมต์ (Dolomite)

โดโลไมต์^[31] โดโลไมต์เป็นแร่แมกนีเซียมหรืออีกชื่อหนึ่งเรียกว่า แคลเซียมแมกนีเซียมคาร์บอเนต (Calcium Magnesium Carbonate) มีสูตรโมเลกุล คือ $\text{CaMg}(\text{CO}_3)_2$ หรือ $(\text{MgCO}_3 \cdot \text{CaCO}_3)$ การใช้โดโลไมต์เป็นตัวเร่งปฏิกิริยา ได้รับความสนใจมากซึ่งโดโลไมต์จัดเป็นหินคาร์บอเนต (Carbonate rock) และพบได้ตามแหล่งธรรมชาติ โดยรูปทั่วไปของโดโลไมต์จะยังไม่สามารถนำไปใช้เป็นตัวเร่งปฏิกิริยาได้เลยต้องผ่านกระบวนการเผา (Calcination) ก่อนเพื่อทำให้รูปของแคลเซียมแมกนีเซียมคาร์บอเนต โดยทั่วไปโดโลไมต์มีองค์ประกอบหลักที่แตกตัวจากการเผาแล้วที่แคลเซียมออกไซด์ (CaO) 30%, แมกนีเซียมออกไซด์ (MgO) 21%, คาร์บอนไดออกไซด์ (CO₂) 45% และมีองค์ประกอบอื่น ๆ อีกเพียงเล็กน้อย เช่น SiO₂, Fe₂O₃, และ Al₂O₃ ปะปนอยู่

2.11.1 สมบัติทั่วไปของ โคลโลไมต์

โคลโลไมต์จะมีลักษณะทางกายภาพ เป็นผงมีสีขาว ผิวมันแววเหมือนแก้ว ทึบแสง ความแข็ง ตามมาตรฐานของ Mohs' scale ประมาณ 3.5 ถึง 4 ความถ่วงจำเพาะอยู่ที่ 2.82 ถึง 2.95 และความพรุนอยู่ที่ 8.6 และมีสมบัติทางเคมี คือ สามารถเกิดการทำปฏิกิริยาในกรดเกลือที่เจือจางได้ดี และเมื่อนำไปละลายน้ำจะให้ค่าความเป็นกรดค้างอยู่ในช่วง pH 9.0 ถึง 10.71



รูปที่ 2.12 ตัวเร่งปฏิกิริยาโคลโลไมต์^[31]

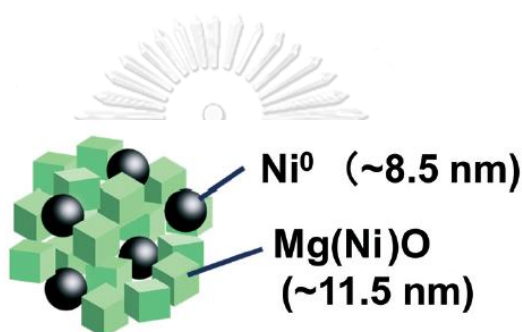
โดยเราสามารถพบแร่โคลโลไมต์ได้ทั่วไปในหลายจังหวัดของประเทศไทย ในภาคต่างๆ เช่น ภาคเหนือ พบที่จังหวัดแม่ฮ่องสอน จังหวัดเชียงใหม่ จังหวัดลำปาง จังหวัดเชียงราย จังหวัดแพร่ จังหวัดลำพูน จังหวัดน่าน และจังหวัดอุดรดิตถ์ เป็นต้น ในภาคกลาง พบที่จังหวัดนครสวรรค์ จังหวัดสระบุรี และจังหวัดลพบุรี เป็นต้น ในภาคตะวันตก พบที่จังหวัดชลบุรี จังหวัดจันทบุรี จังหวัดระยอง และจังหวัดปราจีนบุรี เป็นต้น และในภาคใต้ พบที่จังหวัดชุมพร จังหวัดสุราษฎร์ธานี จังหวัดนครศรีธรรมราช จังหวัดสงขลา จังหวัดพัทลุง และจังหวัดตรัง เป็นต้น

2.12.2 ประโยชน์ของโคลโลไมต์

- ใช้เป็นหินคลุกได้ (Aggregate) สำหรับอุตสาหกรรมก่อสร้างที่ใช้สำหรับสร้างคอนกรีตหรือปูนซีเมนต์ที่ทนต่อการขัดสี (Abrasion) แต่จะต้องมีไม่มีสารจำพวกดินดานผสมอยู่ด้วย เพราะจะทำให้ตัวเร่งปฏิกิริยาโคลโลไมต์เกิดการเสื่อมสภาพได้ง่าย
- ใช้เป็นสารที่เชื่อในอุตสาหกรรมถลุงเหล็ก เพื่อเป็นตัวดึงซิลิกาแมงกานีสให้กลายเป็นสารมลทินลอยขึ้นบนผิวของโลหะ
- ใช้ปรับค่าความเป็นกรดเบสของดินหรือแก้ดินเปรี้ยวได้
- ใช้ในอุตสาหกรรมเคมีภัณฑ์ เช่น ซีโอดีเทียม เคลือบแมกนีเซียม
- ใช้ในอุตสาหกรรมเซรามิกส์ เป็นสารเสริมวัสดุทนความร้อน
- ใช้ในอุตสาหกรรมฟอกสีหรือฟอกขาวกระดาษ

2.13 นิกเกิล/โดโลไมต์ (Ni/Dolomite)

ในวิจัยนี้สนใจเปรียบเทียบตัวเร่งปฏิกิริยา นิกเกิล/โดโลไมต์ (Ni/Dolomite) ^[32] กับการใช้ตัวเร่งปฏิกิริยา FCC, โดโลไมต์ โดยทำการปรับปริมาณร้อยละของนิกเกิลบนโดโลไมต์ จากการเตรียมตัวเร่งปฏิกิริยาแบบเคลือบฝัง (Impregnation) และทำการกระตุ้นผ่านการรีดักชัน (Reduction) เพื่อเปลี่ยนรูปโลหะออกไซด์หรือเกลือโลหะกัมมันต์ในตัวเร่งปฏิกิริยาให้กลายเป็นโลหะที่มีสถานะออกซิเดชันตามต้องการ ก่อนนำไปใช้ในการไพโรไลซิส โดยโลหะหลายชนิดแสดงสมบัติเชิงเร่งปฏิกิริยาได้เมื่อมีสถานะออกซิเดชัน (oxidation state) เหมาะสมรีดักชัน



รูปที่ 2. 13 การจำลองรูปแบบการการเคลือบฝัง (Impregnation) นิกเกิลบนโดโลไมต์ ^[32]

2.14 งานวิจัยที่เกี่ยวข้อง

Kurnia และคณะ ^[6] ได้ศึกษาการปรับปรุงและการผลิตน้ำมันชีวภาพจากดีแอลแอลเอชั้นลิกนินด้วยกระบวนการไพโรไลซิสเบดนิ่งแบบเร็ว โดยการศึกษาเปรียบเทียบชนิดของตัวเร่งปฏิกิริยา FCC (Fluid Cracking Catalyst) 5 ชนิดคือ H-Ferrierite และ H-Mordenite ที่เป็น 2 ชั้น ระบายช่องว่าง (Pore Dimension) กับ H-ZSM-5, H-Beta และ H-USY ที่เป็น 3 ชั้น ระบายช่องว่าง (Pore Dimension) ที่อุณหภูมิคงที่ที่ 650 องศาเซลเซียส อัตราการไหลของแก๊สไนโตรเจนที่ 100 ลูกบาศก์เซนติเมตรต่อนาที พบว่าในด้านปริมาณการผลิตน้ำมัน H-Ferrierite มีปริมาณน้ำมันชีวภาพดีที่สุดใน 5 ชนิดรองลงมาคือ H-Mordenite, H-ZSM-5, H-Beta และ H-USY ตามลำดับ เมื่อเปรียบเทียบในด้านการปรับปรุงน้ำมันพบว่า H-Ferrierite และ H-Mordenite ที่เป็น 2 ชั้น ระบายช่องว่าง (Pore Dimension) พบปริมาณหมู่ฟีนอล และหมู่ฟีนอลอีเทอร์ เป็นจำนวนมากในทางกลับกัน H-ZSM-5, H-Beta และ H-USY ที่เป็น 3 ชั้น ระบายช่องว่าง (Pore Dimension) ที่ สามารถกำจัดองค์ประกอบออกซิเจนได้เป็นอย่างดี

Charusiri และคณะ^[7] ได้ศึกษาปัจจัยการปรับปรุงและการผลิตน้ำมันชีวภาพจากฟางอ้อย ด้วยกระบวนการไพโรไลซิสแบบต่อเนื่อง โดยมีตัวแปรขนาดเฉลี่ยสี่ระดับคือ 250, 500, 750 และ 1000 ไมโครเมตร โดยขนาด 500 ไมโครเมตรให้ปริมาณน้ำมันชีวภาพสูงสุด การออกแบบการทดลองเชิงตัวประกอบสี่ระดับคืออุณหภูมิที่ 400, 450, 500 และ 550 องศาเซลเซียสพบว่าที่อุณหภูมิ 450 องศาเซลเซียสให้ปริมาณของเหลวที่ดีเทียบเท่ากับ 400 องศาเซลเซียสแต่ปริมาณแก๊สสังเคราะห์ที่ได้ 450 องศาเซลเซียสดีกว่าเนื่องจากอุณหภูมิดังกล่าวเกิดการสลายเกิน (Overcracking) ซึ่งทำให้ปริมาณเกิดเพิ่มขึ้น ในด้านอัตราการป้อนชีวมวลคือ 0.3, 0.6, 0.9 และ 1.2 กิโลกรัมต่อชั่วโมง ปรากฏว่าปริมาณน้ำมันชีวภาพที่ดีที่สุดที่ 0.6 กิโลกรัมต่อชั่วโมง อีกส่วนคืออัตราการไหลของแก๊สในโตรเจนที่ 80, 120, 160 และ 200 ลูกบาศก์เซนติเมตรต่อนาทีที่ปรากฏว่า 80 ลูกบาศก์เซนติเมตรต่อนาทีให้ผลดีที่สุดและท้ายสุดการเผาโคโลไมต์ที่ 700 องศาเซลเซียส(2 ชั่วโมง), 800 องศาเซลเซียส(2 ชั่วโมง), 800 องศาเซลเซียส(4 ชั่วโมง), 800 องศาเซลเซียส(6 ชั่วโมง) และ 900 องศาเซลเซียส(2 ชั่วโมง) พบว่า เมื่อใช้การเผาโคโลไมต์ที่ 800 องศาเซลเซียส(6 ชั่วโมง) จะได้ปริมาณน้ำมันมากที่สุดที่ 450 องศาเซลเซียส 0.6 กิโลกรัมต่อชั่วโมง และ 80 ลูกบาศก์เซนติเมตรต่อนาที และ 500 ไมโครเมตร

Elbaba และคณะ^[6, 26] ได้ศึกษาอิทธิพลของปริมาณนิกเกิล/โคโลไมต์ผ่านการบวนการไพโรไลซิสและแก๊สสังเคราะห์จากยางรถยนต์โดยมีปัจจัยคือปริมาณนิกเกิล/โคโลไมต์ที่แตกต่างกัน เช่น ร้อยละ 5-20 โดยน้ำหนักเปรียบเทียบกับโคโลไมต์แบบเผาที่ 1000 องศาเซลเซียสเป็นเวลาสามชั่วโมงพบว่า โคโลไมต์แบบเผาให้ปริมาณน้ำมันชีวภาพมากที่สุดตามด้วยปริมาณนิกเกิล/โคโลไมต์ที่ ร้อยละ 5-20 โดยน้ำหนักตามลำดับ

Ly และคณะ^[27] ได้ศึกษาการผลิตน้ำมันชีวภาพจากต้นทิวลิปด้วยกระบวนการไพโรไลซิสแบบฟลูอิดไคร์ทเบดเปรียบเทียบระหว่างกรณีใช้และไม่ใช้ตัวเร่งปฏิกิริยาโคโลไมต์แบบเผาที่ 900 องศาเซลเซียสเป็นเวลา 3 ชั่วโมง พบว่าภาวะที่เหมาะสมสำหรับการไพโรไลซิสต้นทิวลิปมีดังนี้ คือ อัตราการป้อนชีวมวล 100 กรัมต่อชั่วโมงที่ขนาด 0.8-1.2 มิลลิเมตร จากการทดลองดังนี้ คือ อุณหภูมิที่ 450 องศาเซลเซียส

Stefanidis และคณะ^[28] ศึกษาและทดลองเป็นตัวเร่งปฏิกิริยาแมกนีเซียมออกไซด์เป็นตัวเร่งปฏิกิริยาในการไพโรไลซิสชีวมวล เพื่อการเตรียมน้ำมันชีวภาพ โดยมีการเปรียบเทียบกับ ZSM-5 แล้วพบว่าตัวเร่งปฏิกิริยาแมกนีเซียมออกไซด์นั้นดีกว่า ZSM-5 ในด้านการปรับปรุงคุณภาพ

น้ำมันโดยการลดปริมาณของประกอบออกซิเจนในน้ำมันชีวภาพออก แสดงให้เห็นว่าน้ำมันชีวภาพมีความเป็นกรดที่ลดลง ในทางตรงกันข้ามตัวเร่งปฏิกิริยาแมกนีเซียมนั้นเกิดโค้กมากกว่าเมื่อเปรียบเทียบกับ ZSM-5 ซึ่งหากมองด้านการปรับปรุงคุณภาพน้ำมันชีวภาพแล้วแมกนีเซียมให้น้ำมันชีวภาพที่ดีกว่า

Sirijanusorn และคณะ^[29] ได้ศึกษาการไพโรไลซิสผ่านปฏิกรณ์แบบ Counter rotating twin screw reactor ด้วยเหง้ามันสำปะหลัง โดยมีปัจจัยต่าง ๆ คืออุณหภูมิช่วง 500-700 องศาเซลเซียส ขนาดของชีวมวลเล็กกว่า 0.6 มิลลิเมตร อัตราการไหลของแก๊สไนโตรเจนที่ 4-10 ลิตรต่อนาที จากการทดลองพบว่าที่อุณหภูมิ 550 องศาเซลเซียสได้ปริมาณน้ำมันชีวภาพมากที่สุดโดยขนาดของชีวมวลที่เหมาะสมกับอุณหภูมิดังกล่าวคือ 0.025-0.425 มิลลิเมตรและอัตราการไหลของแก๊สไนโตรเจนที่ 4 ลิตรต่อนาที ที่ความดันคงที่ 2 บาร์



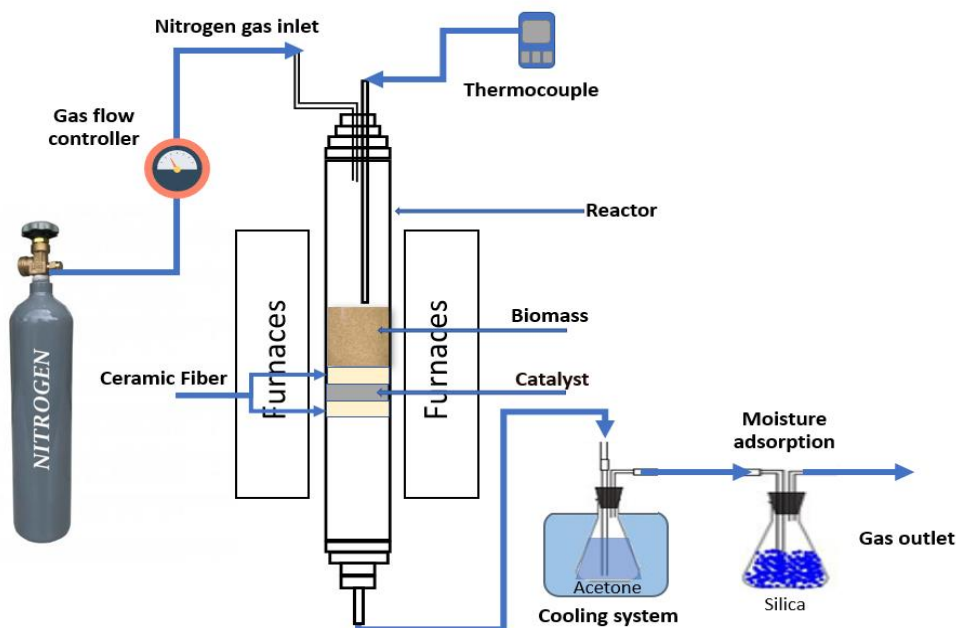
บทที่ 3

เครื่องมือและวิธีการดำเนินงานวิจัย

ในงานวิจัยนี้ได้ใช้ไม้ยางพาราและเห้งน้ำมันสำปะหลังเป็นวัตถุดิบหลัก โดยมีการเก็บเกี่ยวจากชีวมวล จากภาคการเกษตร อุตสาหกรรมการแปรรูป และอุตสาหกรรมอาหาร จะถูกทำให้สะอาด และทำการอบแห้ง เพื่อนำไปบดและแยกขนาดตามวัตถุประสงค์ของงานวิจัย ในส่วนเครื่องปฏิกรณ์จะใช้เครื่องปฏิกรณ์แบบเบดนิ่ง โดยมีองค์ประกอบดังต่อไปนี้

3.1 เครื่องมือและอุปกรณ์

1. ตะแกรงร่อนขนาด 0.250-0.355, 0.355-0.710, 0.710-0.850 และ 0.850-2.000 มิลลิเมตร
2. ตู้อบลมร้อน ยี่ห้อ Binder รุ่น ED 56 ใช้อบไล่ความชื้นสำหรับชีวมวลที่ 105 องศาเซลเซียส ประมาณ 6 ถึง 8 ชั่วโมง เพื่อปรับปริมาณความชื้นของชีวมวลให้น้อยกว่า 0.5 ก่อนการไพโรไลซิส
3. เตาเผาอุณหภูมิสูง Carbolite furnace Gero 30-3000 องศาเซลเซียส ใช้ในการเผากระดูกและเตรียมตัวเร่งปฏิกิริยา
4. เครื่องปฏิกรณ์เบดนิ่ง
5. เตาเผาทรงกระบอก Carbolite Gero 30-3000 รุ่น GVA พร้อมตัวควบคุม Carbolite Gero 301 ช่วงอุณหภูมิ 30-1200 องศาเซลเซียส



รูปที่ 3.1 โครงสร้างระบบของกระบวนการสำหรับเครื่องปฏิกรณ์แบบเบดนิ่งที่ใช้ในงานวิจัย



รูปที่ 3. 2 ระบบของกระบวนการสำหรับเครื่องปฏิกรณ์แบบเบดนิ่งที่ใช้ในงานวิจัย

โดยรูปที่ 3.1 แสดงส่วนประกอบของเครื่องปฏิกรณ์แบบเบดนิ่งที่ใช้สำหรับการไพโรไลซิส และในรูปที่ 3.2 คือระบบของกระบวนการไพโรไลซิสที่ใช้ทำการทดลองในงานวิจัยนี้ โดยแสดงส่วนประกอบตามรูปที่ 3.1 และ 3.2 มีดังนี้

1. Carrier Gas หรือ ไนโตรเจนแก๊ส (N₂) ทำหน้าที่เป็นตัวพาสารตัวอย่างที่ถูกทำให้เป็นไอหรือเป็นแก๊สไหลผ่านคอลัมน์เข้าสู่กระบวนการควบแน่นและลดอุณหภูมิ (Condenser and Cooler)
2. Gas Flow Controller ทำหน้าที่ควบคุมและวัดปริมาณแก๊สไนโตรเจนที่เข้าและออกภายในเครื่องปฏิกรณ์เบดนิ่ง
3. Reactor หรือเครื่องปฏิกรณ์เบดนิ่งซึ่งมีเส้นผ่านศูนย์กลาง 1 นิ้ว และ Tube furnace หรือเตาเผาอุณหภูมิสูงแบบทรงกระบอก ใช้สำหรับการไพโรไลซิสพร้อมชุดควบคุมอุณหภูมิของเตาเผาอุณหภูมิสูงแบบทรงกระบอก ทำหน้าที่ควบคุมอุณหภูมิที่ใช้ในการไพโรไลซิส
4. Thermocouple หรืออุปกรณ์วัดอุณหภูมิแบบเซนเซอร์สำหรับวัดอุณหภูมิ โดยใช้หลักการเปลี่ยนแปลงความร้อน หรืออุณหภูมิให้เป็นแรงเคลื่อนไฟฟ้า โดยนำเข้าไปภายในเครื่องปฏิกรณ์เบดนิ่งใกล้ชีวมวลเพื่อวัดอุณหภูมิบริเวณชีวมวลในขณะที่ไพโรไลซิส
5. Condenser และ Cooler คือระบบที่ทำการควบแน่นไอหรือแก๊สของสารที่ได้จากการไพโรไลซิสซึ่งภายในบรรจุอะซิโตนเพื่อกักเก็บน้ำมันชีวภาพ
6. Gas Drier ทำหน้าที่กำจัดความชื้นให้กับแก๊สเพื่อจัดเก็บ



รูปที่ 3.3 เครื่องวิเคราะห์การสลายตัวเชิงความร้อน (Thermogravimetric analysis, TGA/DTG)

จากรูปที่ 3.3 แสดงเครื่องวิเคราะห์การสลายตัวทางความร้อนด้วยเทคนิคเทอร์โมกราวิเมตริก(Thermogravimetric analysis, TGA/DTG) รุ่น TGA701 จากบริษัท LECO จำกัด ใช้สำหรับวิเคราะห์การสลายตัวเชิงความร้อนของชีวมวล



รูปที่ 3.4 เครื่องบอมบ์แคลอริมิเตอร์ (Bomb Calorimeter)

จากรูปที่ 3.4 แสดงเครื่องบอมบ์แคลอริมิเตอร์ (Bomb Calorimeter) รุ่น AC500 จากบริษัท LECO จำกัด ใช้สำหรับหาค่าความร้อนของชีวมวลและผลิตภัณฑ์



รูปที่ 3.5 เครื่องวิเคราะห์ธาตุ (CHN and S analyzer)

จากรูปที่ 3.5 แสดงเครื่องวิเคราะห์ธาตุ CNH และ S (CHN and S analyzer) จากบริษัท LECO จำกัด ใช้สำหรับวิเคราะห์ธาตุ คาร์บอน ไฮโดรเจน ไนโตรเจนและซัลเฟอร์ โดยจะได้ปริมาณออกซิเจนจากการคำนวณ (By Difference)



รูปที่ 3.6 เครื่องแก๊สโครมาโทกราฟี

จากรูปที่ 3.6 แสดงเครื่องแก๊สโครมาโทกราฟี (Gas Chromatograph, GC) รุ่น GC7820A มี Detector แบบ Thermal Conductivity Detector (TCD) จากบริษัท Agilent technology จำกัด ใช้สำหรับวิเคราะห์องค์ประกอบหลักทางเคมีของแก๊สที่ได้จากการไพโรไลซิส



รูปที่ 3.7 เครื่องแก๊สโครมาโทกราฟี

จากรูปที่ 3.7 แสดงเครื่องแก๊สโครมาโทกราฟี (Gas Chromatograph, GC) รุ่น GC7820A มี Detector แบบ Flame Ionization Detector (FID) จากบริษัท Agilent technology จำกัด ใช้สำหรับวิเคราะห์ห้วงค์ประกอบทางเคมีของแก๊สที่ได้จากการไพโรไลซิส



รูปที่ 3.8 เครื่องแก๊สโครมาโทกราฟีร่วมกับแมสสเปคโตรมิเตอร์

จากรูปที่ 3.8 แสดงเครื่องแก๊สโครมาโทกราฟีร่วมกับแมสสเปคโตรมิเตอร์ (Gas Chromatograph Mass Spectrometer, GC-MS) ใช้สำหรับวิเคราะห์ห้วงค์ประกอบหลักทางเคมีของน้ำมันชีวภาพที่ได้จากการไพโรไลซิส โดยเครื่องแก๊สโครมาโทกราฟี รุ่น GC7890A และเครื่องแมสสเปคโตรมิเตอร์ รุ่น 5975C inert XL MSD เป็น Detector จากบริษัท Agilent technology จำกัด

และใช้ Capillary column จากบริษัท J&W Scientific จำกัด รุ่น HP-5MS ขนาด 30 เมตร เส้นผ่าศูนย์กลาง 0.250 มิลลิเมตร

3.2 สารตัวอย่างและสารเคมีที่ใช้ในงานวิจัย

1. ไม้ยางพารา และเหง้ามันสำปะหลัง ขนาด 0.250-0.355, 0.355-0.710, 0.710-0.850 และ 0.850-2.000 มิลลิเมตร
2. โดโลไมต์ (Dolomite) เเผากระตุ้นที่อุณหภูมิ 800 องศาเซลเซียสเป็นเวลา 2 ชั่วโมง
3. FCC (ใช้แล้ว) เเผากระตุ้นที่อุณหภูมิ 800 องศาเซลเซียสเป็นเวลา 2 ชั่วโมง
4. ตัวเร่งปฏิกิริยานิกเกิล/โดโลไมต์ร้อยละ 5, 10 และ 20 โดยน้ำหนักจากการเคลือบฝัง (Impregnation) และเผากระตุ้นที่อุณหภูมิ 800 องศาเซลเซียสเป็นเวลา 2 ชั่วโมง
4. ไนโตรเจน (Nitrogen gas) มีความบริสุทธิ์ร้อยละ 99.99 บรรจุในถังความดันสูง จากบริษัท BIG (ประเทศไทย) จำกัด
5. อะซิโตน (Acetone) เกรดการค้า

3.3 ขั้นตอนการทดลอง

ขั้นตอนการทดลองสามารถแบ่งออกเป็น 4 ขั้นตอน คือ 1.การเตรียมและวิเคราะห์(ชีวมวลและตัวเร่งปฏิกิริยา) 2.การออกแบบการทดลองและจัดหาอุปกรณ์ 3.วิธีการทดลอง และ 4.การพิสูจน์เอกลักษณ์สมบัติของผลิตภัณฑ์

3.3.1 การเตรียมและวิเคราะห์(ชีวมวลและตัวเร่งปฏิกิริยา)

- การเตรียมตัวเร่งปฏิกิริยาโดโลไมต์(Dolomite) และFCC (Fluid Cracking Catalyst) ใช้แล้ว โดยการเผากระตุ้นที่อัตราการให้ความร้อน (Heating rate) 10 องศาเซลเซียสต่อนาที จนอุณหภูมิ 800 องศาเซลเซียสเป็นเวลา 2 ชั่วโมง จากนั้นเก็บในตู้สุญญากาศเพื่อใช้ในการไพโรไลซิส
- การเตรียมตัวเร่งปฏิกิริยานิกเกิล/โดโลไมต์ด้วยวิธีเตรียมตัวเร่งแบบเคลือบฝัง (Impregnation) ที่ปริมาณนิกเกิล ร้อยละ 5, 10 และ 20 โดยน้ำหนักบนโดโลไมต์
- เตรียมตัวเร่งปฏิกิริยาโดโลไมต์(Dolomite) สำหรับการเตรียมตัวเร่งปฏิกิริยานิกเกิล/โดโลไมต์ด้วยวิธีเตรียมตัวเร่งแบบเคลือบฝัง (Impregnation) โดยทำการเผากระตุ้นที่อัตราการให้ความร้อน (Heating rate) 10 องศาเซลเซียสต่อนาทีจนอุณหภูมิ 800 องศาเซลเซียสเป็นเวลา 4 ชั่วโมงแล้วปล่อยให้อุณหภูมิลดลงที่อุณหภูมิห้อง

- จากนั้นทำการละลาย $\text{Ni}(\text{NO}_3)_2 \cdot 6\text{H}_2\text{O}$ (*Nickel(ii) Nitrate Hexahydrate*) ลงในน้ำ DI (Deionized water) แล้วนำมาหยดลงบน โดโลไมต์ (Dolomite) ที่ผ่านการเผาให้ชุ่มพร้อม กับใช้แท่งแก้วคนให้ผสมกัน ก่อนนำไปอบที่อุณหภูมิ 105 องศาเซลเซียส 12 ชั่วโมง แล้ว นำมาเผากระตุ้นที่อัตราการให้ความร้อน (Heating rate) 10 องศาเซลเซียสต่อนาที จน อุณหภูมิ 700 องศาเซลเซียสเป็นเวลา 2 ชั่วโมง
- จากนั้นทำการรีดิวซ์ (Reduce Catalyst) ตัวเร่งปฏิกิริยานิกเกิล/โดโลไมต์ที่ผ่านการเคลือบ ผัง (Impregnation) ด้วยไฮโดรเจนที่ 700 องศาเซลเซียสเป็นเวลา 3 ชั่วโมงปล่อยให้เย็นตัว ที่อุณหภูมิห้อง และเก็บบรรจุในเครื่องดูดความชื้น
- ทำการอบไม้ยางพาราและเหง้ามันสำปะหลัง จากนั้นร่อนผ่านตะแกรงขนาด 0.250-0.355, 0.355-0.710, 0.710-0.850 และ 0.850-2.000 มิลลิเมตร และทำการอบที่ 105 องศา เซลเซียสเป็นเวลา 6-8 ชั่วโมง จากนั้นเก็บในตู้ดูดความชื้น
- ทำการวิเคราะห์สมบัติของชีวมวล ดังต่อไปนี้
 - วิเคราะห์องค์ประกอบโดยประมาณ (Proximate analysis, ASTM D7582)
 - วิเคราะห์องค์ประกอบแบบแยกธาตุ (Ultimate analysis, ASTM D5373)
 - วิเคราะห์การสลายตัวทางความร้อนของชีวมวลด้วยเทคนิคเทอร์โมกราวิเมตริก (Thermogravimetric analysis/Differential thermal analysis, TGA/DTG, ASTM D7582)
 - วิเคราะห์หาค่าความร้อนของชีวมวล (ASTM D5865)

3.3.2 ออกแบบการทดลอง

- ศึกษาผลของขนาดอนุภาคเฉลี่ยที่ใช้ในกระบวนการที่มีขนาดอนุภาคเฉลี่ยอยู่ในช่วง ขนาด 0.250-0.355, 0.355-0.710, 0.710-0.850 และ 0.850-2.000 มิลลิเมตร โดยมีภาวะคงที่ดังนี้ อัตราการให้ความร้อน (Heating rate) 50 องศาเซลเซียสต่อนาที จนกระทั่งอุณหภูมิคงที่ที่ 400 องศาเซลเซียส (± 3 องศาเซลเซียส) อัตราการไหลของแก๊สไนโตรเจนเท่ากับ 60 มิลลิลิตรต่อนาที เป็นเวลา 45 นาที ในภาวะไร้ตัวเร่งปฏิกิริยา
- ศึกษาผลของอุณหภูมิไพโรไลซิสที่ใช้ในกระบวนการที่มีอุณหภูมิอยู่ที่ 400, 500 และ 600 องศาเซลเซียส (± 3 องศาเซลเซียส) โดยมีภาวะคงที่ดังนี้ อัตราการให้ความร้อน (Heating rate) 50 องศาเซลเซียสต่อนาที ที่ขนาดอนุภาคเฉลี่ย 0.355-0.710 มิลลิเมตร อัตราการไหล ของแก๊สไนโตรเจนเท่ากับ 60 มิลลิลิตรต่อนาที เป็นเวลา 45 นาที ในภาวะไร้ตัวเร่ง ปฏิกิริยา

- ศึกษาผลของเวลาในกระบวนการไพโรไลซิสที่ 45, 60 และ 90 นาที โดยมีภาวะคงที่ดังนี้ อัตราการให้ความร้อน (Heating rate) 50 องศาเซลเซียสต่อนาที จนกระทั่งอุณหภูมิคงที่ที่ 500 องศาเซลเซียส (± 3 องศาเซลเซียส) อัตราการไหลของแก๊สไนโตรเจนเท่ากับ 60 มิลลิลิตรต่อนาทีเป็นเวลา 45 นาที ในภาวะไร้อากาศปฏิบัติการ
- ศึกษาผลของอัตราการไหลของแก๊สไนโตรเจนที่ 60, 120, และ 180 มิลลิลิตรต่อนาที โดยมีภาวะคงที่ดังนี้ อัตราการให้ความร้อน (Heating rate) 50 องศาเซลเซียสต่อนาที จนกระทั่งอุณหภูมิคงที่ที่ 500 องศาเซลเซียส (± 3 องศาเซลเซียส) เป็นเวลา 45 นาที ในภาวะไร้อากาศปฏิบัติการ
- ศึกษาผลของตัวเร่งปฏิกิริยาโคโลไมต์, FCC รวมไปถึงอิทธิพลของปริมาณนิกเกิล/โคโลไมต์ (ร้อยละ 5, 10 และ 20 โดยน้ำหนักของนิกเกิล) โดยใช้ภาวะดำเนินการที่เหมาะสมจากการศึกษาตัวแปรที่ 1 ถึง 4

3.3.3 วิธีการทดลอง

1. ทำการชั่งน้ำหนักบรรจุภัณฑ์ก่อนการทดลองและบันทึกผล
2. บรรจุชีวมวล 15 กรัมตามตัวแปรขนาดที่ต้องการศึกษา คั่นด้วยชั้นบาง ๆ ใยแก้ว (ceramic fiber) ในเครื่องปฏิกรณ์เบดนิ่ง ชั่งน้ำหนักและบันทึกผลการทดลอง
3. ติดตั้งเครื่องปฏิกรณ์เบดนิ่งในเตาเผาทรงกระบอกในแนวตั้ง (Carbolite Gero 30-3000 รุ่น GVA พร้อมตัวควบคุม Carbolite Gero 301) ทำการติดตั้งเทอร์โมคัปเปิลภายในเครื่องปฏิกรณ์เบดนิ่งเพื่อวัดความร้อนภายในเครื่องปฏิกรณ์ที่ชีวมวลได้รับ แล้วต่อเข้ากับระบบแก๊สไนโตรเจน โดยสารระเหยจะควบแน่นภายใต้ระบบควบแน่นและเย็นตัวลง โดยมีอะซิโตนบรรจุภายใน ระบบนี้จะควบคุมอุณหภูมิที่ 0 องศาเซลเซียสตลอดระยะเวลาการทดลอง โดยทำการชั่งน้ำหนักขวดชมพูหลังเติมอะซิโตนและบันทึกผลการทดลอง
4. เริ่มการทดลองโดยทำการเปิดแก๊สไนโตรเจนถูกส่งผ่านเครื่องปฏิกรณ์ด้วยอัตราการไหล 60 มิลลิลิตรต่อนาทีประมาณ 15-30 นาทีก่อนไพโรไลซิสเริ่มต้น
5. เปิดเตาเผา ทำการปรับค่าอุณหภูมิโดยมีอัตราการให้ความร้อนที่ 50 องศาเซลเซียสต่อนาที อัตราการไหลของแก๊สไนโตรเจน และเวลาตามตัวแปรที่ต้องการทำการศึกษา
6. เมื่อผลิตภัณฑ์เหลวเข้าสู่ภาชนะรองรับที่มีอะซิโตนบรรจุอยู่ทำการชั่งน้ำหนักและบันทึกผลการทดลอง

7. นำผลิตภัณฑ์เหลวที่ได้ไปประเหยที่อุณหภูมิ 55 องศาเซลเซียส เพื่อกำจัดอะซิโตนทำการชั่งน้ำหนักและบันทึกผลการทดลอง
8. นำเครื่องปฏิกรณ์ที่บรรจุถ่านชาร์ที่ได้จากการไพโรไลซิส ไปทำการชั่งน้ำหนักและบันทึกผลการทดลอง
9. ทำการคำนวณร้อยละผลได้ (yield) ของผลิตภัณฑ์ที่เกิดขึ้นจากการเปลี่ยนแปลงน้ำหนักพร้อมบันทึกผลการทดลอง
10. ทำซ้ำการทดลองพร้อมบันทึกผลการทดลองเพื่อศึกษาตัวแปรต่างๆ และหาภาวะที่เหมาะสมในการผลิตน้ำมันชีวภาพหรือผลิตภัณฑ์เหลวจากชีวมวลผ่านกระบวนการไพโรไลซิสด้วยเครื่องปฏิกรณ์เบดนิ่ง
11. ศึกษาตัวแปรอุณหภูมิที่ใช้ในการไพโรไลซิส ขนาดอนุภาคเฉลี่ย อัตราการไหลของแก๊สไนโตรเจน และเวลา โดยทำตามขั้นตอน 1 ถึง 9 ปรับค่าตัวแปรต่างๆ เพื่อศึกษาปัจจัยตามวัตถุประสงค์ของงานวิจัยและหาสภาวะที่เหมาะสมในการผลิตน้ำมันชีวภาพจากชีวมวลผ่านกระบวนการไพโรไลซิสด้วยเครื่องปฏิกรณ์เบดนิ่ง เมื่อทราบภาวะที่เหมาะสม จะทำการบรรจุชีวมวลพร้อมทั้งตัวเร่งปฏิกิริยาในอัตราส่วนน้ำหนักของตัวเร่งปฏิกิริยาต่อชีวมวลที่ 1: 10 และทำตามขั้นตอน 1 ถึง 9 พร้อมศึกษาเปรียบเทียบผลของตัวเร่งปฏิกิริยา

3.3.4 การพิสูจน์เอกลักษณ์สมบัติของสาร

1. การวิเคราะห์สมบัติของชีวมวล

- การวิเคราะห์การสลายตัวทางความร้อนของไม้ยางพาราและเห้งน้ำมันสำปะผ่านเทคนิค การวิเคราะห์สมบัติการสลายตัวทางความร้อนด้วยเทคนิคเทอร์โมกราวิเมตริก (Thermogravimetric analysis, TGA/DTG)
- การวิเคราะห์องค์ประกอบแบบประมาณ (Proximate analysis) และการวิเคราะห์องค์ประกอบแบบแยกธาตุ (Ultimate analysis) ของของไม้ยางพาราและเห้งน้ำมันสำปะหลัง
- วิเคราะห์ค่าความร้อนของไม้ยางพาราและเห้งน้ำมันสำปะด้วยเครื่องบอมบ์แคลอริมิเตอร์ (Bomb calorimeter)

2. การวิเคราะห์สมบัติของตัวเร่งปฏิกิริยา

- การวิเคราะห์พื้นฐานวิทยาของโคโลไมต์ก่อน-หลังการแคลไซน์ และหลังการเคลือบฝัง(Impregnation) นิกเกิลบนโคโลไมต์ ด้วยกล้องจุลทรรศน์แบบส่องกราด (Scanning electron microscope, SEM)
- การวิเคราะห์องค์ประกอบของโคโลไมต์ก่อน-หลังการแคลไซน์ และหลังการเคลือบฝัง(Impregnation) นิกเกิลบนโคโลไมต์ด้วยเทคนิคเอกซเรย์ดิฟแฟรคชัน (X-ray diffractometer, XRD)
- การวิเคราะห์พื้นที่ผิวรูพรุนทั้งหมดของตัวเร่งปฏิกิริยาด้วยเทคนิคบรูเนอร์ เอ็มเมทท์และเทลเลอร์ (Brunauer Emmett Teller, BET)

3. การวิเคราะห์สมบัติของผลิตภัณฑ์

- วิเคราะห์ค่าความร้อนของน้ำมันชีวภาพและถ่านชาร์ด้วยเครื่องบอมบ์แคลอริมิเตอร์(Bomb calorimeter)
- การวิเคราะห์องค์ประกอบแบบแยกธาตุ (Ultimate analysis)ของผลิตภัณฑ์ของน้ำมันชีวภาพและถ่านชาร์
- วิเคราะห์องค์ประกอบของผลิตภัณฑ์แก๊สด้วยเทคนิคแก๊สโครมาโทกราฟี (Gas Chromatograph, GC)
- วิเคราะห์องค์ประกอบน้ำมันชีวภาพ โดยใช้เทคนิคแก๊สโครมาโทกราฟีร่วมกับแมสสเปกโตรเมทรี (Gas Chromatography Mass Spectrometry)

CHULALONGKORN UNIVERSITY

3.4 การคำนวณร้อยละผลได้จากการทดลอง

การคำนวณปริมาณผลิตภัณฑ์เหลว ถ่านชาร์ และแก๊ส จะแสดงดังสมการต่อไปนี้

- ร้อยละผลได้ผลิตภัณฑ์ของผลิตภัณฑ์เหลว (% Liquid yield) = $\frac{W_{\text{ผลิตภัณฑ์เหลว}}}{W_{\text{ชีวมวล}}} \times 100$
- ร้อยละผลได้ผลิตภัณฑ์ของถ่านชาร์ (% Solid yield) = $\frac{W_{\text{ถ่านชาร์}}}{W_{\text{ชีวมวล}}} \times 100$
- ร้อยละผลได้ผลิตภัณฑ์แก๊ส (% Gas yield) = $100 - \text{ร้อยละผลได้ผลิตภัณฑ์เหลว} - \text{ร้อยละผลได้ผลิตภัณฑ์ของแข็ง}$

เมื่อ ;

$W_{\text{ผลิตภัณฑ์เหลว}}$ = น้ำหนักของผลิตภัณฑ์เหลวที่ได้จากการทดลอง

$W_{\text{ถ่านชาร์}}$ = น้ำหนักของถ่านชาร์ที่ได้จากการทดลอง

$W_{\text{ชีวมวล}}$ = น้ำหนักของชีวมวลที่ใช้ในการทดลอง

การคำนวณร้อยละน้ำมันชีวภาพต่อน้ำ ของผลิตภัณฑ์เหลวจะแสดงดังสมการต่อไปนี้

- ร้อยละผลได้ผลิตภัณฑ์น้ำมันชีวภาพ (% Bio-oil in liquid product) = $\frac{W_{\text{น้ำมันชีวภาพ}}}{W_{\text{ผลิตภัณฑ์เหลว}}} \times 100$

- ร้อยละผลได้ผลิตภัณฑ์น้ำ (% Water in liquid product) = $\frac{W_{\text{น้ำในผลิตภัณฑ์}}}{W_{\text{ผลิตภัณฑ์เหลว}}} \times 100$

เมื่อ ;

$W_{\text{ผลิตภัณฑ์เหลว}}$ = น้ำหนักของผลิตภัณฑ์เหลวที่ได้จากการทดลอง

$W_{\text{น้ำมันชีวภาพ}}$ = น้ำหนักของน้ำมันชีวภาพที่ได้จากการทดลอง

$W_{\text{น้ำ}}$ = น้ำหนักของน้ำที่ได้จากการทดลอง

บทที่ 4

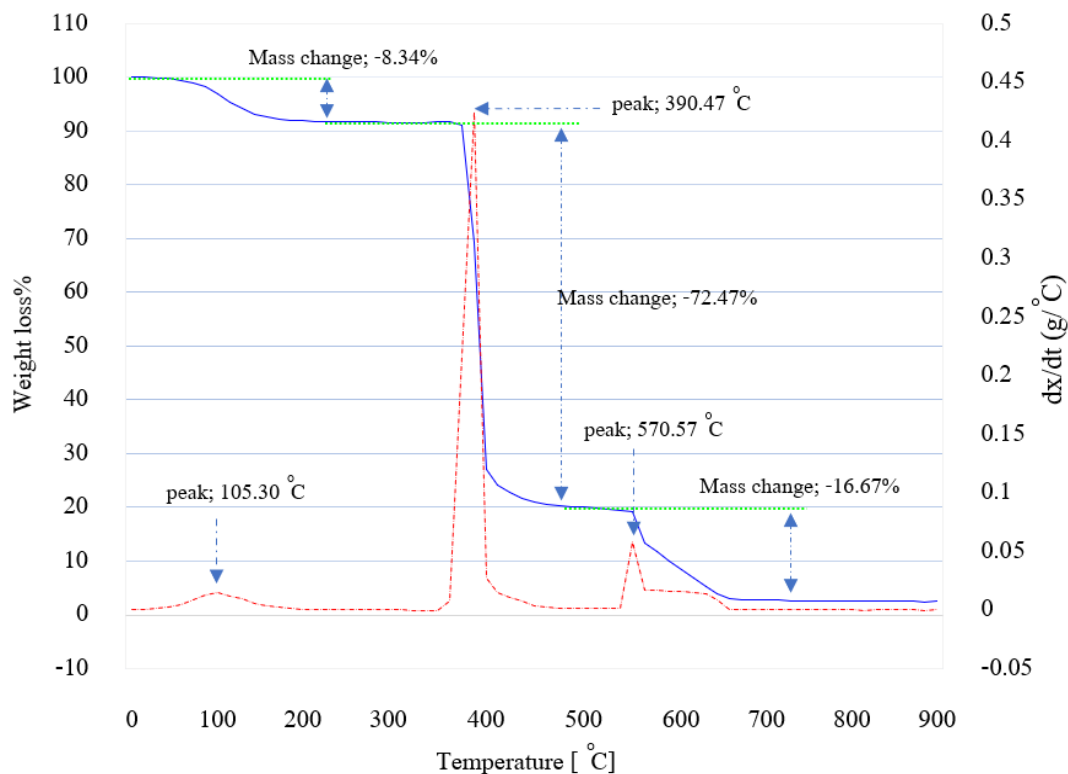
การทดลองและวิเคราะห์ผลการทดลอง

วัตถุประสงค์ของงานวิจัยได้ทำการศึกษาตัวแปรต่างๆ ที่มีส่งผลกระทบต่อกระบวนการไพโรไลซิสของไม้ยางพารา และเหง้ามันสำปะหลังภายใต้เครื่องปฏิกรณ์เบดนิ่ง โดยตัวแปรที่สนใจศึกษาภายในงานวิจัยนี้ประกอบด้วย อุณหภูมิไพโรไลซิส ขนาดอนุภาค เวลา และอัตราการไหลของไนโตรเจน นอกจากนี้ยังศึกษาอิทธิพลผลของตัวเร่งปฏิกิริยา FCC, โดโลไมต์, FCC และอิทธิพลของปริมาณนิกเกิลบนโดโลไมต์ร้อยละ 5, 10 และ 20 โดยน้ำหนักของนิกเกิลที่ภาวะเดียวกัน และทำการพิสูจน์เอกลักษณ์สมบัติของผลิตภัณฑ์ที่เกิดขึ้น

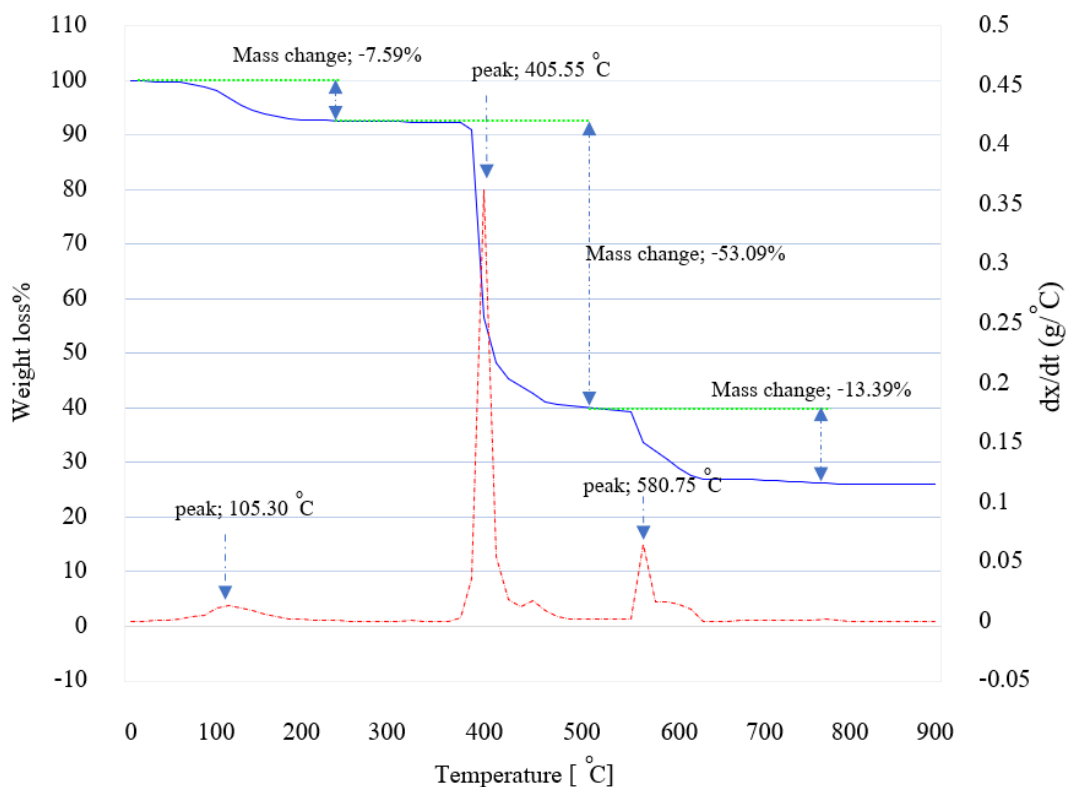
4.1 การวิเคราะห์สมบัติเบื้องต้นของไม้ยางพาราและเหง้ามันสำปะหลัง

ผลการวิเคราะห์สมบัติเบื้องต้นและลักษณะของไม้ยางพารา และเหง้ามันสำปะหลังจะวิเคราะห์ผ่านเทคนิค การวิเคราะห์สมบัติการสลายตัวทางความร้อนด้วยเทคนิคเทอร์โมกราวิเมตริก (Thermogravimetric analysis, TGA/DTG) การวิเคราะห์องค์ประกอบแบบประมาณ (Proximate analysis) การวิเคราะห์องค์ประกอบแบบแยกธาตุ (Ultimate analysis)

4.1.1 การวิเคราะห์การสลายตัวทางความร้อนของไม้อย่างพาราและเหง้ามันสำปะหลังด้วยเทคนิคเทอร์โมกราวิเมตริก



รูปที่ 4.1 ความสัมพันธ์ระหว่างการสูญเสียน้ำหนัก (TGA) และอัตราการสูญเสียน้ำหนัก (DTG) ของไม้อย่างพาราในภาวะอัตราการให้ความร้อน 10 องศาเซลเซียสต่อนาที ภายใต้ไนโตรเจน



รูปที่ 4.2 ความสัมพันธ์ระหว่างการสูญเสียน้ำหนัก (TGA) และอัตราการสูญเสียน้ำหนัก (DTG) ของเหง้ามันสำปะหลังในภาวะอัตราการให้ความร้อน 10 องศาเซลเซียสต่อนาที ภายใต้ภาวะไนโตรเจน

จากรูปที่ 4.1 และ 4.2 แสดงการสลายตัวทางความร้อนของไม้ยางพาราและเหง้ามันสำปะหลังด้วยเทคนิคเทอร์โมกราวิเมตริก (TGA/DTG) ที่อุณหภูมิห้องจนถึง 950 องศาเซลเซียส เพื่อดำเนินการที่อัตราการให้ความร้อน 10 องศาเซลเซียสต่อนาที ภายใต้สภาวะไนโตรเจน พบว่าช่วงการสลายตัวของไม้ยางพารา สามารถแบ่งออกเป็น 3 ช่วงคล้ายคลึงกันทั้งไม้ยางพาราและเหง้ามันสำปะหลัง คือ ช่วงแรกที่อุณหภูมิประมาณ 110 องศาเซลเซียส เป็นการสลายตัวของความชื้นหรือน้ำที่อยู่ภายในผิวและโครงสร้างของวัสดุชีวมวลไม้ยางพารา ในช่วงที่สองเริ่มสลายตัวที่อุณหภูมิประมาณ 360 องศาเซลเซียส และมีการสลายตัวสูงสุดที่ช่วงประมาณ 400 และเริ่มช้าลงและคงที่ 500 องศาเซลเซียส พบว่าช่วงดังกล่าวไม้ยางพาราสลายตัวไปถึงร้อยละ 80 ของน้ำหนัก และเหง้ามันสำปะหลังสลายตัวไปถึงร้อยละ 60 ของน้ำหนัก ซึ่งอธิบายได้จากการสลายตัวเชิงความร้อนในช่วงอุณหภูมิ 280-400 องศาเซลเซียสเป็นการสลายตัวของสารระเหยได้ ทำให้เกิดการเปลี่ยนแปลงเชิงมวลในช่วงของเฮมิเซลลูโลสและเซลลูโลส คาดได้ว่าเป็น ไอของสารระเหย จนเข้า

คู่ช่วงที่สามเริ่มสลายตัวเริ่มที่ประมาณ 600 องศาเซลเซียส ซึ่งเป็นการสลายตัวของคาร์บอนที่ได้รับ ความร้อนมากขึ้นจนเริ่มการสลายตัวในชีวมวลทั้งสองจนหมดที่ช่วงอุณหภูมิใกล้ถึง 700 องศาเซลเซียส โดยจะมีคาร์บอนคงตัวและชี้ไถ้ร้อยละ 20 และร้อยละ 40 ของน้ำหนักโดยประมาณ สำหรับ ไม้ยางพาราและเหง้ามันสำปะหลังตามลำดับ ซึ่งเมื่อนำไปเทียบกับปริมาณของ องค์ประกอบแบบประมาณจะมีค่าที่สอดคล้องกัน

4.1.2 การวิเคราะห์องค์ประกอบแบบประมาณและแยกธาตุของไม้ยางพาราและเหง้ามัน สำปะหลัง

การวิเคราะห์แบบประมาณของไม้ยางพาราและเหง้ามันสำปะหลัง พบว่าไม้ยางพาราและ เหง้ามันสำปะหลังมีความชื้นร้อยละ 8.34 และ 7.59 โดยน้ำหนักตามลำดับ สารระเหยร้อยละ 72.47 และ 53.09 โดยน้ำหนักตามลำดับ ชี้ไถ้ร้อยละ 2.52 และ 25.93 โดยน้ำหนักตามลำดับ และคาร์บอน คงตัวร้อยละ 16.67 และ 13.39 โดยน้ำหนักตามลำดับ ดังตารางที่ 4.1

ตารางที่ 4.1 ผลการวิเคราะห์แบบประมาณ แบบแยกธาตุ และค่าความร้อนของไม้ยางพาราและ เหง้ามันสำปะหลัง

วิเคราะห์แบบประมาณ	ร้อยละโดยน้ำหนัก*	
	ไม้ยางพารา	เหง้ามันสำปะหลัง
ความชื้น	8.34	7.59
สารระเหย	72.47	53.09
ชี้ไถ้	2.52	25.93
คาร์บอนคงตัว	16.67	13.39

วิเคราะห์แบบแยกธาตุ	ร้อยละโดยน้ำหนัก*	
	ไม้ยางพารา	เหง้ามันสำปะหลัง
คาร์บอน	47.39	33.54
ไฮโดรเจน	6.73	4.75
ไนโตรเจน	0.30	1.13
ซัลเฟอร์	0.02	0.07
ออกซิเจน**	45.56	60.51
ค่าความร้อน (แคลอรีต่อกรัม)	4,102	2,961

หมายเหตุ : *หลักอ้างอิงพื้นฐานแห้ง (Dry basis), **วิธีคำนวณจากผลต่าง (By the different)

จากข้อมูลข้างต้นพบว่าปริมาณสารระเหยและคาร์บอนคงตัวเป็นองค์ประกอบสำคัญที่ใช้บ่งบอกปริมาณน้ำมันชีวภาพว่ามีปริมาณมากหรือน้อยเพียงใด โดยสารระเหยของไม้ยางพาราและเหง้ามันสำปะหลังสูงถึงร้อยละ 72.47 และ 53.09 โดยน้ำหนักตามลำดับ ซึ่งคาดคะเนได้ว่าปริมาณไอและน้ำมันชีวภาพ ที่จะออกมาจากกระบวนการไพโรไลซิสของไม้ยางพาราและเหง้ามันสำปะหลังโดยมีค่าประมาณร้อยละ 70 และ 50 โดยน้ำหนักตามลำดับ และในส่วนผลการวิเคราะห์แบบแยกธาตุของไม้ยางพาราและเหง้ามันสำปะหลัง พบว่ามีปริมาณ คาร์บอนร้อยละ 47.39 และ 33.54 โดยน้ำหนักตามลำดับ ปริมาณไฮโดรเจนร้อยละ 6.73 และ 4.75 โดยน้ำหนักตามลำดับ ปริมาณไนโตรเจนร้อยละ 0.3 และ 1.13 โดยน้ำหนักตามลำดับ ปริมาณซัลเฟอร์ร้อยละ 0.02 และ 0.07 โดยน้ำหนักตามลำดับ ปริมาณออกซิเจนร้อยละ 45.56 และ 60.51 โดยน้ำหนักตามลำดับ และค่าความร้อน 4,102 และ 2,961 แคลอรีต่อกรัมของไม้ยางพาราและเหง้ามันสำปะหลังตามลำดับ

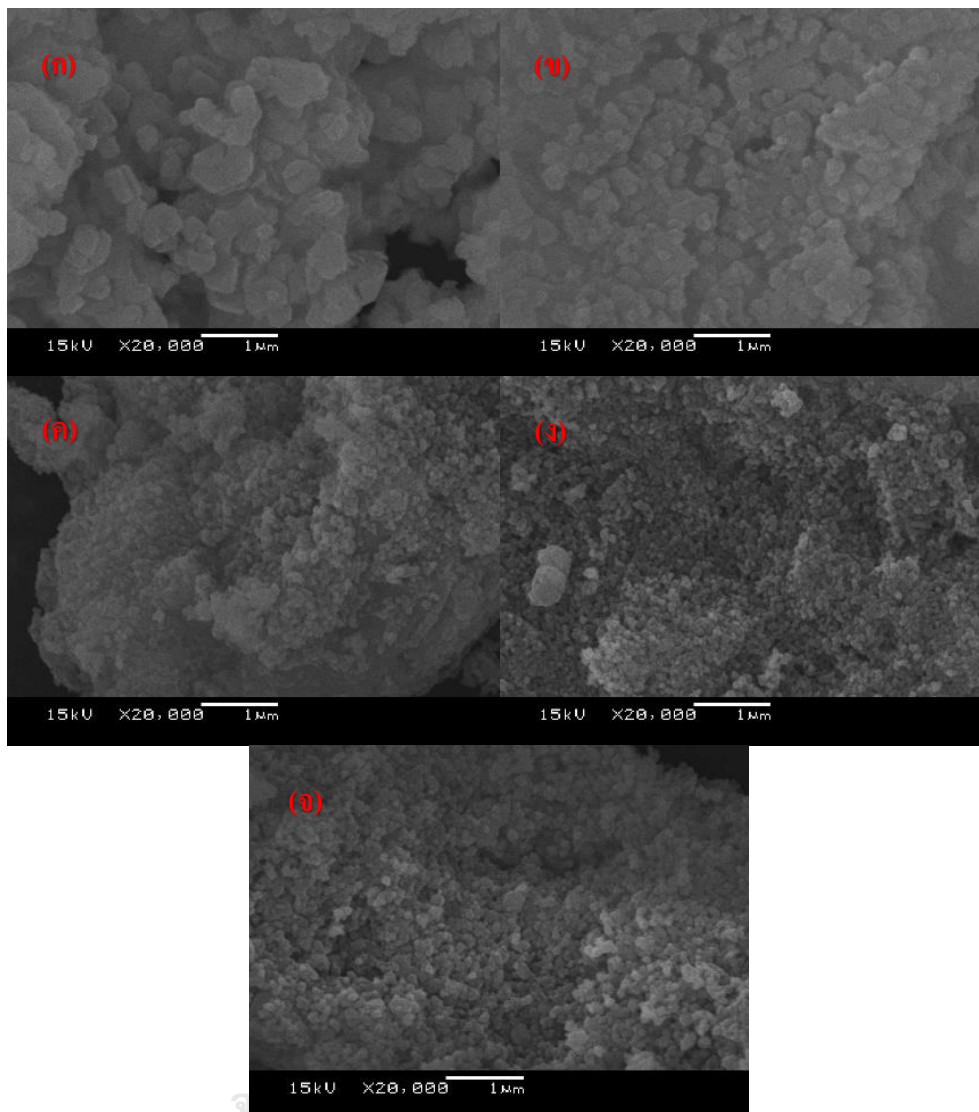
4.2 การวิเคราะห์สมบัติของตัวเร่งปฏิกิริยา

การวิเคราะห์และสมบัติพื้นฐานของตัวเร่งปฏิกิริยาโคโลไมต์, FCC รวมไปถึงอิทธิพลของปริมาณนิกเกิล/โคโลไมต์ร้อยละ 5, 10 และ 20 โดยน้ำหนักของนิกเกิล จะถูกวิเคราะห์ผ่านเทคนิคการวิเคราะห์พื้นที่ผิวรูพรุนทั้งหมดของตัวเร่งปฏิกิริยาด้วยการวิเคราะห์สัณฐานวิทยาด้วยกล้องจุลทรรศน์แบบส่องกราด (Scanning electron microscope, SEM) เอกซเรย์ดิฟแฟรคชัน (X-ray Diffractometer, XRD) และ เทคนิค Brunauer-Emmett-Teller (Brunauer Emmett Teller, BET)

4.2.1 การวิเคราะห์สัณฐานวิทยาของโคโลไมต์ก่อน-หลังการเคลือบ และหลังการเคลือบฝัง (Impregnation) นิกเกิลบนโคโลไมต์ด้วยกล้องจุลทรรศน์แบบส่องกราด (Scanning electron microscope, SEM)

รูปที่ 4.3 แสดงภาพจากกล้องจุลทรรศน์แบบส่องกราดของโคโลไมต์ โดยรูปที่ 4.3 (ก) แสดงโคโลไมต์ก่อนการเคลือบ และรูปที่ 4.3 (ข) แสดงโคโลไมต์หลังเคลือบที่อุณหภูมิ 800 องศาเซลเซียส เป็นเวลา 2 ชั่วโมงที่กำลังขยาย 20,000 เท่า พบว่าโคโลไมต์ที่ผ่านการเคลือบมีการสลายตัวของสารบางองค์ประกอบ เมื่อเทียบผลกับ XRD พบว่าการสลายตัวดังกล่าว คือ แคลเซียมไฮดรอกไซด์ ($\text{Ca}(\text{OH})_2$) และแมกนีเซียมไฮดรอกไซด์ ($\text{Mg}(\text{OH})_2$) ที่พื้นสลายตัว ทำให้มีปริมาณความขรุขระ (grain) เพิ่มมากขึ้นดังภาพ ซึ่งทำให้เกิดองค์ประกอบใหม่ขึ้น เช่น แคลเซียม

ออกไซด์ (CaO), แคลเซียมคาร์บอเนต ($\text{Ca}(\text{CO}_3)$) และแมกนีเซียมออกไซด์ (MgO) มาปิดบังปริมาณพื้นผิวรูพรุนเดิมทำให้ปริมาณพื้นผิวรูพรุนลดลง จากรูปที่ 4.3 (ค), (ง) และ (จ) แสดงตัวเร่งปฏิกิริยาแบบเคลือบฝัง (Impregnation) ที่ปริมาณนิกเกิล ร้อยละ 5, 10 และ 20 โดยน้ำหนักบนโคโลไมต์ พบว่าจากการสลายตัวของแคลเซียมไฮดรอกไซด์ ($\text{Ca}(\text{OH})_2$) และแมกนีเซียมไฮดรอกไซด์ ($\text{Mg}(\text{OH})_2$) เกิดองค์ประกอบโลหะออกไซด์ นิกเกิลออกไซด์ (NiO) และแมกนีเซียมนิกเกิลไดออกไซด์ (MgNiO_2) ขึ้นมาปิดบังปริมาณพื้นผิวรูพรุนเดิม โดยเมื่อเปรียบเทียบปริมาณพื้นผิวรูพรุนพบว่ารูปที่ 4.3 (ค) ที่นิกเกิลร้อยละ 5 โดยน้ำหนักโดยมีอนุภาคของนิกเกิลเล็ก ๆ ปกคลุมที่บริเวณพื้นผิวของโคโลไมต์เป็นหย่อม ๆ และเมื่อเพิ่มปริมาณนิกเกิลเป็นร้อยละ 10 โดยน้ำหนักแสดงในรูปที่ 4.3 (ง) พบว่ามีอนุภาคของนิกเกิลปกคลุมที่บริเวณพื้นผิวของโคโลไมต์อย่างหนาแน่นโดยไม่มีการซ้อนทับของอนุภาคดังกล่าว (Monolayer) แสดงให้เห็นว่าอนุภาคของนิกเกิลปิดบังปริมาณพื้นผิวรูพรุนเดิมบนพื้นผิวของโคโลไมต์ และจากรูปที่ 4.3 (จ) เมื่อเพิ่มปริมาณนิกเกิลเป็นร้อยละ 20 โดยน้ำหนักของโคโลไมต์พบว่าการซ้อนทับของอนุภาคของนิกเกิลที่ปกคลุมบนพื้นผิวของโคโลไมต์เป็นชั้น ๆ (Multilayer) ซึ่งเป็นผลให้ปริมาณพื้นผิวรูพรุนลดลง

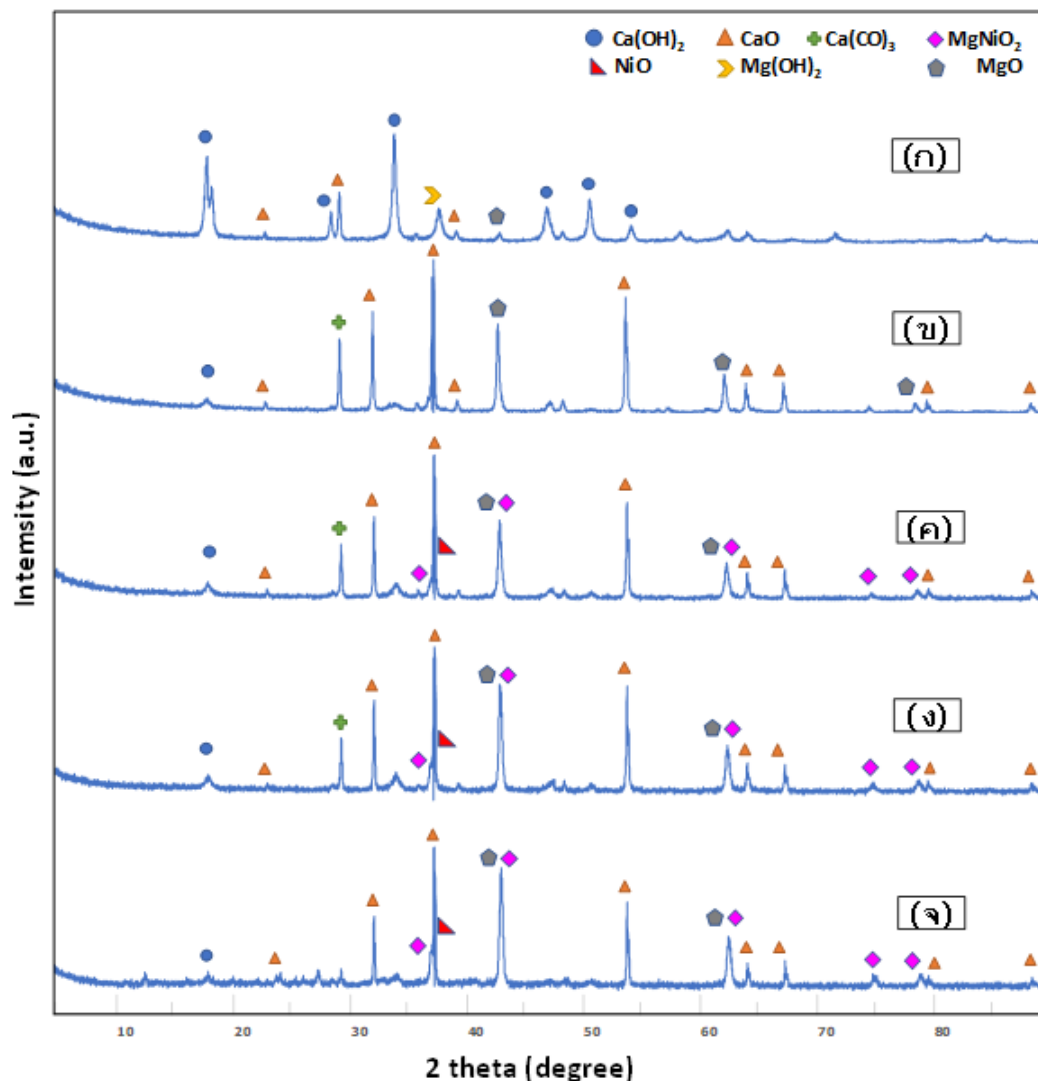


รูปที่ 4.3 ภาพจากกล้องจุลทรรศน์แบบส่องกราดของตัวเร่งปฏิกิริยา (ก) โดโลไมต์ก่อนการแคลไซน์, (ข) โดโลไมต์หลังการแคลไซน์ที่อุณหภูมิ 800 องศาเซลเซียส เป็นเวลา 2 ชั่วโมง, (ค) 5% นิกเกิล/โดโลไมต์, (ง) 10% นิกเกิล/โดโลไมต์, และ(จ) 20% นิกเกิล/โดโลไมต์

เมื่อเปรียบเทียบรูปที่ 4.3 และผลการวิเคราะห์ห้วงค์ประกอบจากเทคนิคเอกซเรย์ดิฟแฟรคชัน (X-ray diffractometer, XRD) พบว่าการแคลไซน์ชั้น (Calcination) และการเตรียมตัวเร่งปฏิกิริยาแบบเคลือบฝัง มีความสำคัญต่อลักษณะทางสัณฐานวิทยาของตัวเร่งปฏิกิริยา โดยทำให้เกิดการเปลี่ยนแปลงองค์ประกอบของตัวเร่งปฏิกิริยา ให้อยู่ในรูปของตัวเร่งปฏิกิริยาที่สามารถนำไปใช้ประโยชน์ได้อย่างมีประสิทธิภาพและเหมาะสม ผลที่เกิดขึ้นมีความสอดคล้องกับผลการวิเคราะห์ด้วยเทคนิคเอกซเรย์ดิฟแฟรคชัน

4.2.2 การวิเคราะห์องค์ประกอบของโพลีไมต์ก่อน-หลังการแคลไซน์ และหลังการเคลือบฝัง (Impregnation) นิกเกิลบนโพลีไมต์ ด้วยเทคนิคเอกซเรย์ดิฟแฟรคชัน (X-ray diffractometer, XRD)

ผลการวิเคราะห์องค์ประกอบของโพลีไมต์ก่อน-หลังแคลไซน์ และหลังการเคลือบฝัง นิกเกิลบนโพลีไมต์ ด้วยเทคนิค XRD แสดงดังรูปที่ 4.4 พบว่าโพลีไมต์ก่อนการแคลไซน์ จะแสดงองค์ประกอบของแคลเซียมออกไซด์ที่ตำแหน่ง 32.2° , 37.3° , 53.8° , 64.1° , 67.4° , 79.6° และ 88.5° สำหรับ 2θ , แมกนีเซียมออกไซด์ที่ตำแหน่ง 36.8° , 42.8° , 62.2° , 74.5° และ 78.5° สำหรับ 2θ ซึ่งพบว่าในโครงสร้างผลึกของโพลีไมต์ก่อนการแคลไซน์ มีแมกนีเซียมไฮดรอกไซด์ และแคลเซียมไฮดรอกไซด์ปะปนอยู่ เมื่อทำการแคลไซน์ที่อุณหภูมิ 800 องศาเซลเซียส เป็นเวลา 2 ชั่วโมง และทำการเคลือบฝังตัวเร่งปฏิกิริยาด้วยนิกเกิลจะแสดงพีคของแคลเซียมออกไซด์ แมกนีเซียมออกไซด์ และแคลเซียมคาร์บอเนตเกิดขึ้น อีกทั้งการเคลือบฝังตัวเร่งปฏิกิริยาด้วยนิกเกิลทำให้เกิดโลหะแมกนีเซียม นิกเกิลออกไซด์ และนิกเกิลออกไซด์ขึ้น ซึ่งองค์ประกอบของแมกนีเซียมไฮดรอกไซด์ และแคลเซียมไฮดรอกไซด์ จะหายไปเนื่องจากการสลายตัวทางความร้อนในช่วงแรก^[33] จากผลดังกล่าวสามารถสรุปได้ว่าข้างต้นว่า เมื่อทำการแคลไซน์ และทำการเคลือบฝังตัวเร่งปฏิกิริยาด้วยนิกเกิล เกิดการเปลี่ยนแปลงองค์ประกอบของแคลเซียมไฮดรอกไซด์และแมกนีเซียมไฮดรอกไซด์ ให้อยู่ในรูปของแคลเซียมออกไซด์ และแมกนีเซียมออกไซด์ รวมไปถึงให้เกิดโลหะแมกนีเซียม นิกเกิลไดออกไซด์ และนิกเกิลออกไซด์ ขึ้นอีกด้วย ซึ่งสามารถนำไปใช้เป็นตัวเร่งปฏิกิริยาในกระบวนการไพโรไลซิสได้



รูปที่ 4. 4 รูปแบบ XRD ของ (ก) โดโลไมต์ก่อนแคลไซน์, (ข) โดโลไมต์หลังแคลไซน์ที่อุณหภูมิ 800 องศาเซลเซียส เป็นเวลา 2 ชั่วโมง, (ค) 5% นิกเกิล/โดโลไมต์, (ง) 10% นิกเกิล/โดโลไมต์, และ (จ) 20% นิกเกิล/โดโลไมต์, แคลเซียมไฮดรอกไซด์ ●, แคลเซียมออกไซด์ ▲, แคลเซียมคาร์บอเนต + , นิกเกิลแมกนีเซียมไดออกไซด์ ◆, นิกเกิลออกไซด์ ▲, แมกนีเซียมไฮดรอกไซด์ ► , และ แมกนีเซียมออกไซด์ ◐^[32-33]

4.2.3 การวิเคราะห์พื้นที่ผิวรูพรุนทั้งหมดของตัวเร่งปฏิกิริยาด้วยเทคนิค Brunauer-Emmett-Teller (BET)

ผลการวิเคราะห์พื้นที่ผิวรูพรุนทั้งหมด (Surface area) และปริมาตรรูพรุนของตัวเร่งปฏิกิริยาโดโลไมต์ก่อนและหลังการแคลไซน์ด้วยเทคนิค (Brunauer Emmett Teller, BET)

ตารางที่ 4. 2 ผลการวิเคราะห์พื้นที่ผิวรูพรุน (Surface area) ของตัวเร่งปฏิกิริยาโคโลไมต์

ตัวเร่งปฏิกิริยา	พื้นที่ผิวรูพรุน (S_{BET}) (ตารางเมตรต่อกรัม)	ปริมาตรรูพรุน (Pore volume) (ลูกบาศก์เซนติเมตรต่อกรัม)
FCC ใช้แล้ว แคลไซน์ 800 องศาเซลเซียส 2 ชั่วโมง	98.50	0.15
โคโลไมต์ ก่อนแคลไซน์	10.72	0.03
โคโลไมต์ แคลไซน์ 800 องศาเซลเซียส 2 ชั่วโมง	10.02	0.02
นิกเกิลโคโลไมต์ปริมาณร้อยละ 5 โดยน้ำหนัก	8.22	0.03
นิกเกิลโคโลไมต์ปริมาณร้อยละ 10 โดยน้ำหนัก	9.77	0.04
นิกเกิลโคโลไมต์ปริมาณร้อยละ 20 โดยน้ำหนัก	8.47	0.02

จากตารางที่ 4.2 พบว่าตัวเร่งปฏิกิริยาโคโลไมต์ก่อนการแคลไซน์มีพื้นที่ผิวรูพรุนเท่ากับ 10.72 ตารางเมตรต่อกรัม เมื่อทำการแคลไซน์ที่อุณหภูมิ 800 องศาเซลเซียส 2 ชั่วโมงมีพื้นที่ผิวรูพรุนลดลงเป็น 10.02 ตารางเมตรต่อกรัม และปริมาตรรูพรุนลดลงจาก 0.03 เป็น 0.02 ลูกบาศก์เซนติเมตรต่อกรัม เนื่องจากการสลายตัวของแมกนีเซียมไฮดรอกไซด์ ($Mg(OH)_2$) และแคลเซียมไฮดรอกไซด์ ($Ca(OH)_2$) จากความร้อน และเกิดองค์ประกอบใหม่ขึ้นผ่านปฏิกิริยาคาร์บอนเนชัน (Decarbonation) ตามสมการที่ 4.1 ถึง 4.3



ซึ่งสมบัติของตัวเร่งปฏิกิริยาจะมีผลต่อการแตกตัวโมเลกุลของสารตั้งต้น การที่พื้นที่ผิวรูพรุนและปริมาตรหลังจากการแคลไซน์ลดลง เนื่องจากเกิดแก๊สคาร์บอนไดออกไซด์และสารประกอบไฮดรอกไซด์ที่สลายตัวทางความร้อน นอกจากนี้การเคลือบฝังตัวเร่งปฏิกิริยาด้วยนิกเกิล (Impregnation) บนโคโลไมต์ เกิดองค์ประกอบโลหะออกไซด์ นิกเกิลออกไซด์ (NiO) และแมกนีเซียมนิกเกิลไดออกไซด์ ($MgNiO_2$) เมื่อโลหะนิกเกิลปกคลุมที่ผิวของโคโลไมต์ และขึ้นมาบดบังปริมาณพื้นที่ผิวรูพรุนเดิมของโคโลไมต์

โดยเมื่อเปรียบเทียบผ่านการวิเคราะห์สัณฐานวิทยาด้วยกล้องจุลทรรศน์แบบส่องกราด (Scanning electron microscope, SEM) พบว่าปริมาณพื้นที่ผิวรูพรุนที่นิกเกิลร้อยละ 5 โดยน้ำหนัก

โดยมีอนุภาคของนิกเกิลเล็ก ๆ ปกคลุมที่บริเวณพื้นผิวของโคโลไมต์เป็นหย่อม ๆ และเมื่อเพิ่มปริมาณนิกเกิลเป็นร้อยละ 10 โดยน้ำหนัก พบว่ามีอนุภาคของนิกเกิลปกคลุมที่บริเวณพื้นผิวของโคโลไมต์อย่างหนาแน่น โดยไม่มีการซ้อนทับของอนุภาคดังกล่าว (Monolayer) และเมื่อเพิ่มปริมาณนิกเกิลเป็นร้อยละ 20 โดยน้ำหนักของโคโลไมต์พบว่าการซ้อนทับของอนุภาคของนิกเกิลที่ปกคลุมบนพื้นผิวของโคโลไมต์เป็นชั้น ๆ (Multilayer) ซึ่งเป็นผลให้ปริมาณพื้นผิววูรุลลดลง

4.3 ผลของตัวแปรต่างๆที่มีผลต่อการผลิตน้ำมันชีวภาพจากไม้อย่างพาราและเหง้ามันสำปะหลัง

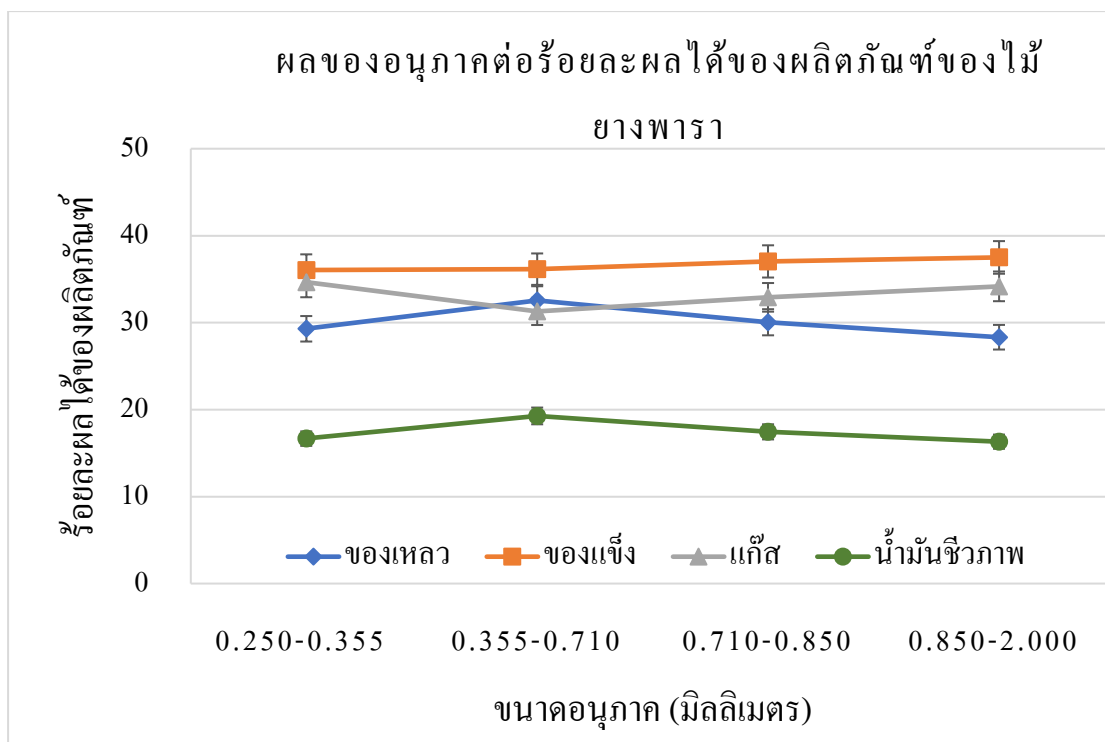
งานวิจัยนี้เป็นการศึกษาตัวแปรที่มีผลต่อการผลิตน้ำมันชีวภาพจากไม้อย่างพารา และเหง้ามันสำปะหลังประกอบด้วยตัวแปรที่สำคัญ 4 ตัวแปร คือ

1. ผลของขนาดชีวมวล 0.250-0.355, 0.355-0.710, 0.710-0.850 และ 0.850-2.000 มิลลิเมตร
2. ผลของอุณหภูมิในการทำปฏิกิริยาที่ 400, 500 และ 600 องศาเซลเซียส
3. ผลของเวลาในการทำปฏิกิริยา 45, 60 และ 90 นาที
4. ผลของอัตราการไหลของไนโตรเจนแก๊สที่ใช้ในการทำปฏิกิริยาในช่วง 60, 120 และ 180 มิลลิลิตรต่อนาที

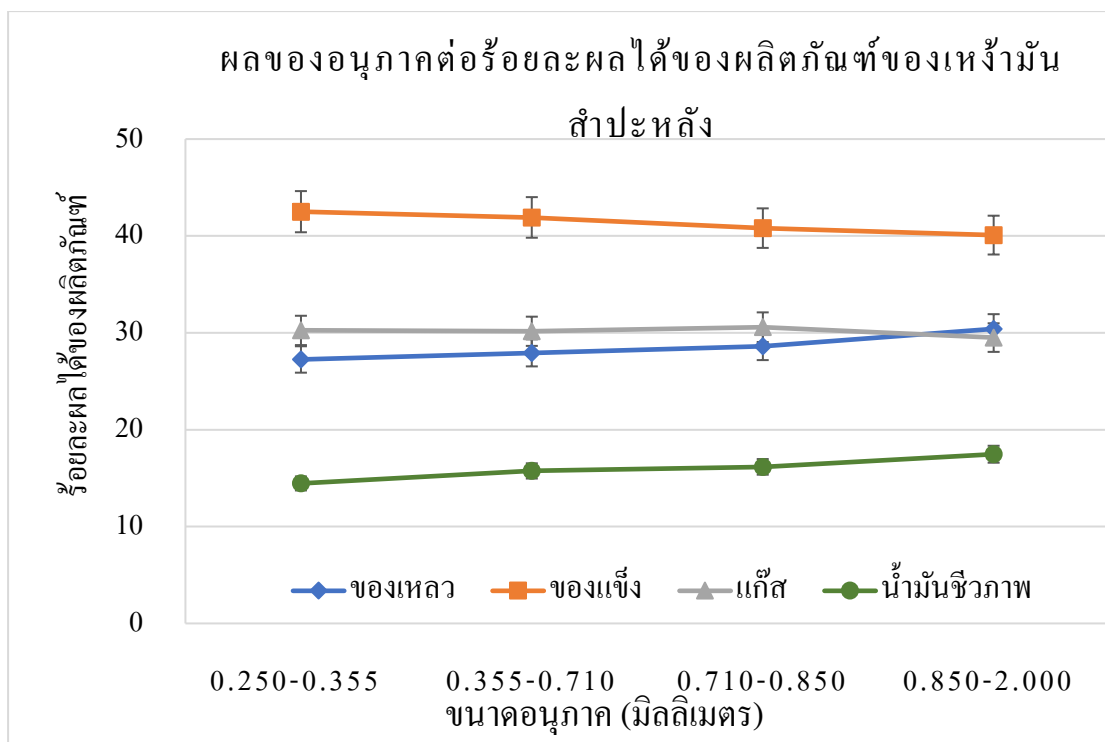
4.3.1 ผลของขนาดชีวมวล 0.250-0.355, 0.355-0.710, 0.710-0.850 และ 0.850-2.000

มิลลิเมตรของไม้อย่างพาราและเหง้ามันสำปะหลัง

ผลการทดลองแสดงขนาดเฉลี่ยชีวมวลที่ใช้ในการไพโรไลซิสของไม้อย่างพาราและเหง้ามันสำปะหลัง มีช่วงเฉลี่ยอยู่ที่ 0.250-0.355, 0.355-0.710, 0.710-0.850 และ 0.850-2.000 มิลลิเมตร เมื่อให้ตัวแปรอื่น ๆ คงที่ได้แก่ อุณหภูมิไพโรไลซิสที่ใช้เท่ากับ 400 องศาเซลเซียส อัตราการไหลของไนโตรเจนแก๊สที่ใช้ในการทำปฏิกิริยาในช่วง 60 มิลลิลิตรต่อนาที เวลาในการทำปฏิกิริยา คือ 45 นาที พบว่าร้อยละของของเหลวที่ได้จากไม้อย่างพาราจะอยู่ระหว่าง 28.32 ถึง 32.56 โดยน้ำหนัก และ ร้อยละของของเหลวที่ได้จากเหง้ามันสำปะหลังจะอยู่ระหว่าง 27.25 ถึง 30.41 โดยน้ำหนัก



รูปที่ 4.5 ผลของขนาดอนุภาคเฉลี่ยที่ใช้ไฟโรไลซิสต่อร้อยละผลได้ของผลิตภัณฑ์โดยน้ำหนักจากไม้ยางพารา เมื่อภาวะคงที่ที่อุณหภูมิ 400 องศาเซลเซียส, อัตราการไหลไนโตรเจนแก๊สที่ 60 มิลลิลิตร ต่อนาที และเวลา 45 นาที



รูปที่ 4.6 ผลของขนาดอนุภาคเฉลี่ยที่ใช้ไฟโรไลซิสต่อร้อยละผลได้ของผลิตภัณฑ์โดยน้ำหนักจากเหง้ามันสำปะหลังเมื่อภาวะคงที่ที่อุณหภูมิ 400 องศาเซลเซียส, อัตราการไหลในโตรเจนแก๊สที่ 60 มิลลิลิตรต่อนาที และเวลา 45 นาที

จากรูปที่ 4.5 และ 4.6 แสดงผลของขนาดเฉลี่ยชีวมวลที่ใช้ไฟโรไลซิสภายในเครื่องปฏิกรณ์เบดนิ่งของไม้ยางพาราและเหง้ามันสำปะหลัง โดยแสดงผลของขนาดอนุภาคเฉลี่ยต่อร้อยละผลได้ของผลิตภัณฑ์ จากการทดลองขนาดอนุภาคเฉลี่ยที่ 0.250-0.355, 0.355-0.710, 0.710-0.850 และ 0.850-2.000 มิลลิเมตร พบว่าขนาดอนุภาคเฉลี่ยที่ 0.355-0.710 มิลลิเมตรของไม้ยางพารา และขนาดอนุภาคเฉลี่ยที่ 0.850-2.000 มิลลิเมตรของเหง้ามันสำปะหลัง โดยมีร้อยละผลได้ของผลิตภัณฑ์ของเหลวดีสุดอยู่ที่ร้อยละ 32.56 โดยน้ำหนัก และร้อยละ 30.41 โดยน้ำหนักสำหรับไม้ยางพาราและเหง้ามันสำปะหลังตามลำดับ

ไม้ยางพาราขนาดอนุภาคเฉลี่ยที่ 0.355-0.710 มิลลิเมตรให้ผลิตภัณฑ์ของเหลวมากที่สุด ร้อยละผลได้ของผลิตภัณฑ์เหลวอยู่ที่ร้อยละ 32.56 โดยน้ำหนัก โดยไม้ยางพาราที่มีขนาดเฉลี่ยน้อยกว่า 0.355-0.710 มิลลิเมตรเกิดการถ่ายโอนความร้อนได้ดีเกินไป จึงทำให้ความร้อนจากเครื่องปฏิกรณ์แพร่ผ่านเข้าไปภายในไม้ยางพาราได้ง่ายจึงสลายตัวง่าย สารระเหยกลายเป็นแก๊สขนาดเล็กที่ไม่สามารถกลับมาในรูปของผลิตภัณฑ์เหลวได้ ในทางตรงกันข้ามกับไม้ยางพาราที่มีขนาดเฉลี่ยมากกว่า 0.355-0.710 มิลลิเมตร เกิดการถ่ายโอนความร้อนที่ไม่ดีนักเนื่องจากเนื้อไม้ที่หนาแน่นและแข็ง จึงได้ค่าผลิตภัณฑ์เหลวลดลง ในขณะที่ผลิตภัณฑ์แก๊สมีค่าเพิ่มขึ้น เนื่องจากขนาดอนุภาคเฉลี่ย

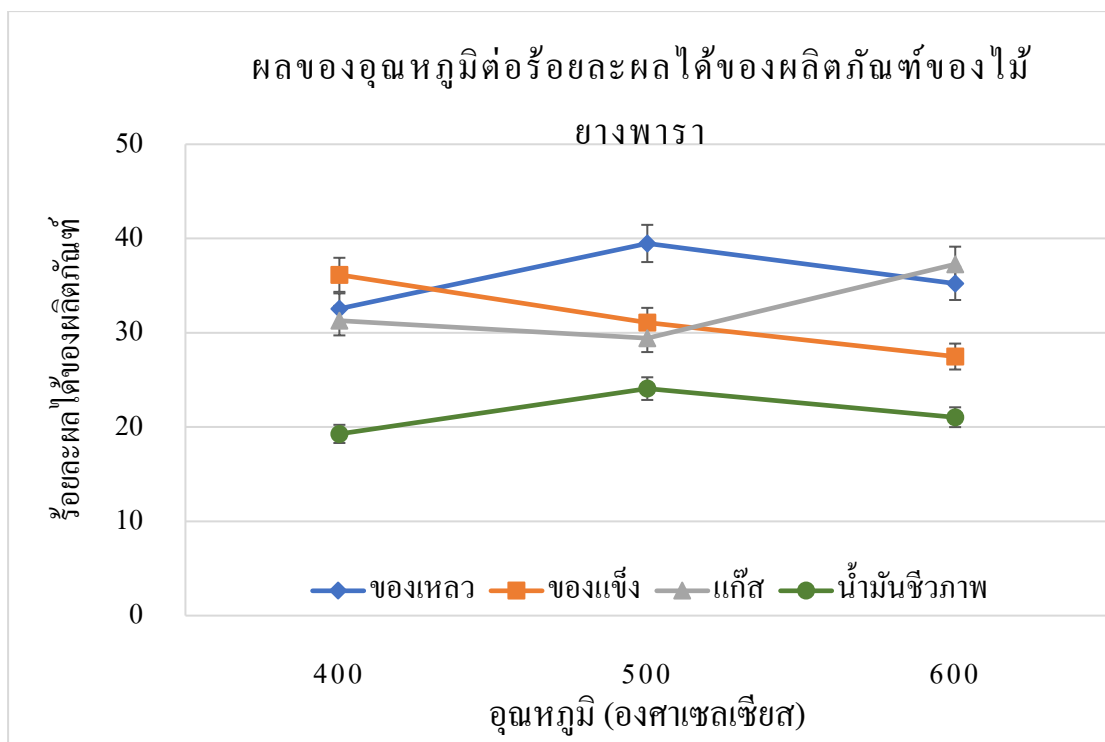
ขนาดใหญ่จะมีการถ่ายโอนความร้อนที่ไม่ดีนัก ทำให้เกิดการสลายตัวของไม้ยางพาราได้น้อยและเกิดการสลายตัวที่ไม่สมบูรณ์

เหง้ามันสำปะหลังให้ผลิตภัณฑ์ของเหลวมากที่สุดเหง้ามีขนาดเฉลี่ยอยู่ที่ 0.850-2.000 มิลลิเมตร โดยเหง้ามันสำปะหลังที่มีขนาดเฉลี่ยน้อยกว่า 0.850-2.000 มิลลิเมตร ให้ผลิตภัณฑ์ของเหลวมากที่สุดอยู่ที่ร้อยละ 30.41 โดยน้ำหนัก เนื่องเหง้ามันสำปะหลังมีขนาดเฉลี่ยน้อยกว่า 0.850-2.000 เกิดการถ่ายโอนความร้อนได้ดีเกินไป จึงทำให้ความร้อนจากเครื่องปฏิกรณ์แพร่ผ่านเข้าไปภายในได้ง่ายจึงสลายตัวง่าย จึงได้ค่าผลิตภัณฑ์เหลวลดลง ในขณะที่ผลิตภัณฑ์แก๊สมีค่าเพิ่มขึ้น

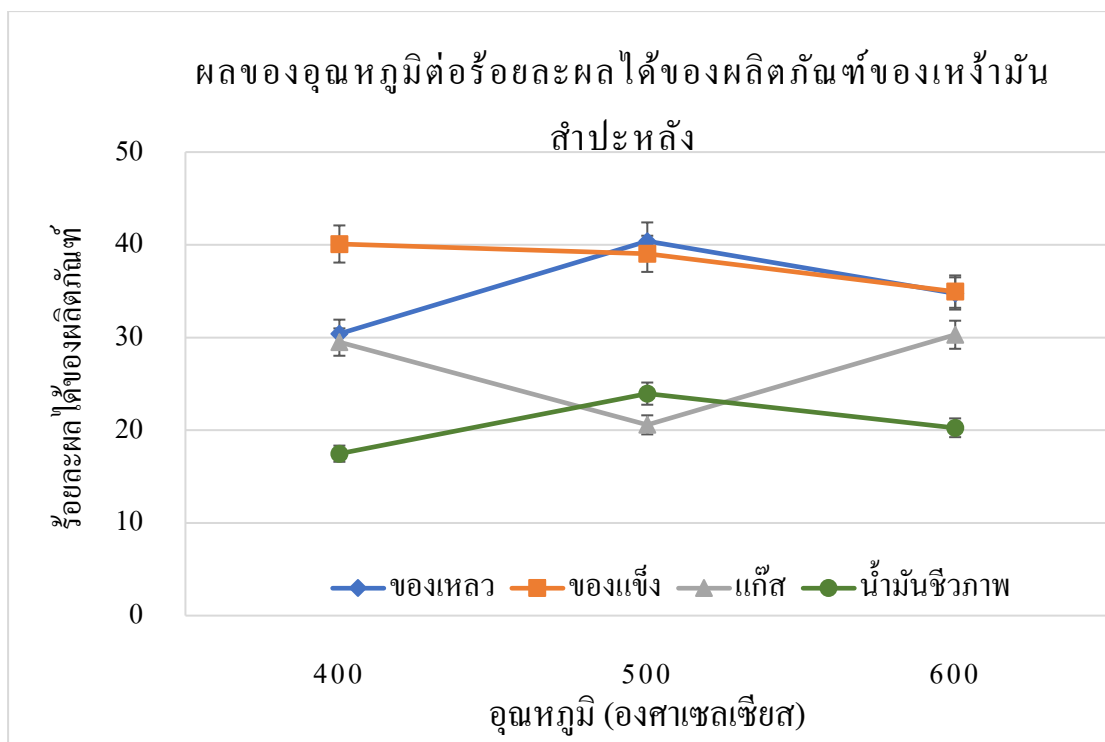
ดังนั้นสรุปได้ว่าขนาดอนุภาคเฉลี่ยของชีวมวลที่เหมาะสมในการไพโรไลซิสพบว่าไม้ยางพาราขนาดเฉลี่ยอยู่ที่ 0.355-0.710 มิลลิเมตร และเหง้ามันสำปะหลังขนาด 0.850-2.000 มิลลิเมตรให้ปริมาณผลิตภัณฑ์ของเหลวดีที่สุด แต่ขนาดอนุภาคเฉลี่ยเหล่านั้นให้ผลร้อยละที่ใกล้เคียงกัน และไม่แตกต่างกันอย่างเห็นได้ชัด

4.3.2 ผลของอุณหภูมิในการทำปฏิกิริยาที่ 400, 500 และ 600 องศาเซลเซียสของไม้ยางพาราและเหง้ามันสำปะหลัง

ผลการทดลองแสดงอุณหภูมิที่ใช้ในการไพโรไลซิสของไม้ยางพาราและเหง้ามันสำปะหลัง ที่อุณหภูมิในการทำปฏิกิริยาที่ 400, 500 และ 600 องศาเซลเซียสเมื่อให้ตัวแปรอื่น ๆ คงที่ได้แก่ ขนาดอนุภาคเฉลี่ยของไม้ยางพาราที่ 0.355-0.710 มิลลิเมตร ขนาดเฉลี่ยของเหง้ามันสำปะหลังอยู่ที่ 0.850-2.000 มิลลิเมตร อัตราการไหลของไนโตรเจนแก๊สที่ 60 มิลลิลิตรต่อนาที เวลาในการทำปฏิกิริยาคือ 45 นาที พบว่าร้อยละของของเหลวที่ได้จากไม้ยางพาราจะอยู่ระหว่าง 32.56 ถึง 39.48 โดยน้ำหนัก และร้อยละของของเหลวที่ได้จากเหง้ามันสำปะหลังจะอยู่ระหว่าง 30.41 ถึง 40.39 โดยน้ำหนัก



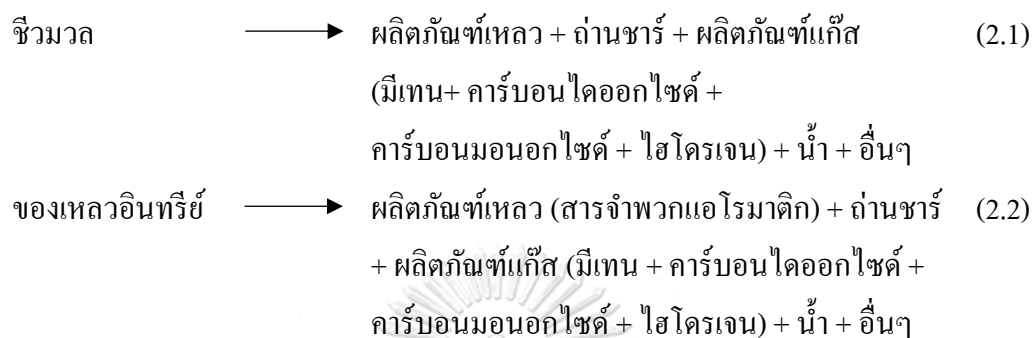
รูปที่ 4. 7 ผลของอุณหภูมิที่ใช้ไพโรไลซิสต่อร้อยละผลได้ของผลิตภัณฑ์โดยน้ำหนักจากไม้ยางพาราเมื่อภาวะคงที่ที่ขนาดอนุภาคเฉลี่ย 0.355-0.710 มิลลิเมตร อัตราการไหลไนโตรเจนแก๊สที่ 60 มิลลิลิตรต่อนาที และเวลา 45 นาที



รูปที่ 4. 8 ผลของอุณหภูมิที่ใช้ไพโรไลซิสต่อร้อยละผลได้ของผลิตภัณฑ์โดยน้ำหนักจากเหง้ามันลำปะหลังเมื่อภาวะคงที่ที่ขนาดอนุภาคเฉลี่ย 0.850-2.000 มิลลิเมตร อัตราการไหลไนโตรเจนแก๊สที่ 60 มิลลิลิตรต่อนาที และเวลา 45 นาที

จากรูปที่ 4.7 และ 4.8 แสดงผลของอุณหภูมิไพโรไลซิสที่ใช้ในเครื่องปฏิกรณ์เบดนิ่งโดยปัจจัยอุณหภูมิไพโรไลซิสถือเป็นปัจจัยที่สำคัญต่อผลิตภัณฑ์น้ำมันชีวภาพที่เกิดขึ้น พบว่าเมื่อทำการเปลี่ยนค่าอุณหภูมิไพโรไลซิสในเครื่องปฏิกรณ์เบดนิ่งที่ 400, 500 และ 600 องศาเซลเซียส พบว่าเมื่อความร้อนสูงขึ้นการสลายเชิงความร้อนจะมากขึ้น โดยเทียบจากปริมาณน้ำมันชีวภาพที่อุณหภูมิ 400 และ 500 องศาเซลเซียส จะมีปริมาณน้ำมันชีวภาพเพิ่มขึ้นจากร้อยละ 32.56 เป็น 39.48 โดยน้ำหนักของไม้ยางพารา และจากร้อยละ 30.41 ถึง 40.39 โดยน้ำหนักของเหง้ามันลำปะหลัง อธิบายได้ว่าเมื่ออุณหภูมิการแพร่ความร้อน เข้าไปยังชีวมวลได้มากขึ้นจึงเกิดการสลายตัวเชิงความร้อนได้ดีขึ้น คือเกิดปฏิกิริยาเคมีความร้อน (Thermal cracking) และเกิดเป็นสารระเหยที่สามารถควบแน่นกลับมาเป็นอยู่ในผลิตภัณฑ์เหลวได้ในปริมาณที่มากขึ้น ต่อมาเมื่อทำการเพิ่มอุณหภูมิไพโรไลซิสไปที่ 600 องศาเซลเซียส พบว่าปริมาณร้อยละผลได้ของผลิตภัณฑ์พบว่าผลิตภัณฑ์เหลวจะมีค่าลดลงอยู่ที่ร้อยละ 35.24 โดยน้ำหนักของไม้ยางพารา และร้อยละ 34.75 โดยน้ำหนักของเหง้ามันลำปะหลัง เนื่องจากที่อุณหภูมิ 600 องศาเซลเซียส ทำให้เกิดการสลายทางความร้อนขั้นทุติยภูมิ (Secondary thermal decomposition) ของสารระเหยที่เป็นแก๊สขนาดเล็กที่ไม่

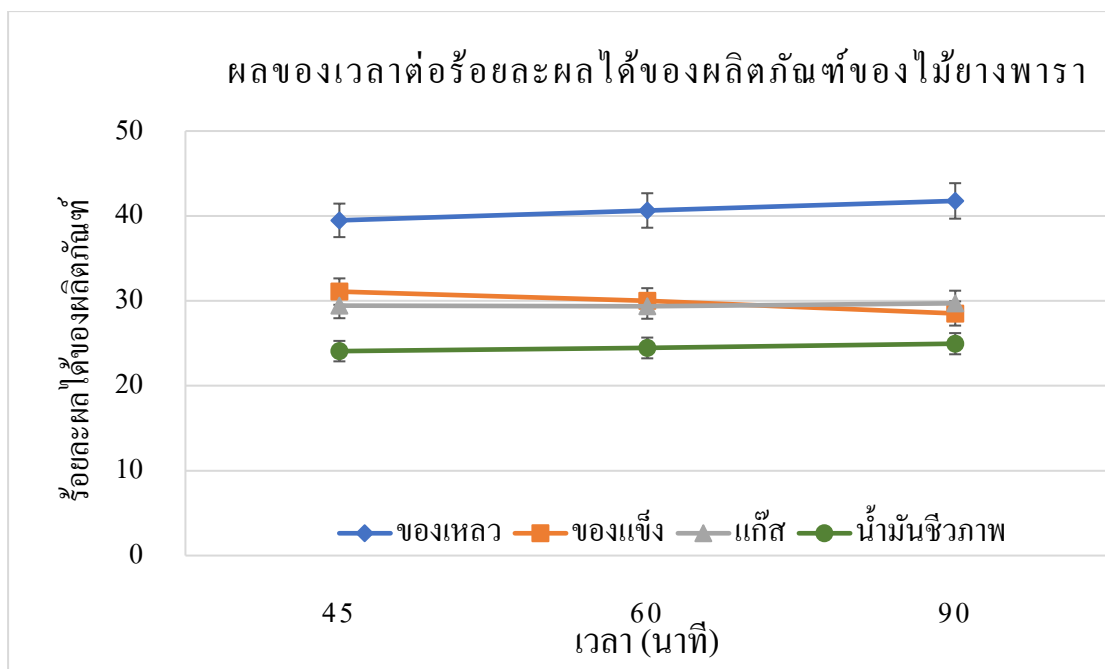
สามารถควบแน่นกลับมาในรูปของผลิตภัณฑ์เหลวได้ และออกจากเครื่องปฏิกรณ์เบคหนึ่งในรูปแบบผลิตภัณฑ์แก๊ส ผลิตภัณฑ์ของเหลวจึงมีค่าลดลง ในขณะที่ปริมาณแก๊สมากขึ้น โดยสมการการสลายตัวของชีวมวลจะแสดงดัง สมการที่ 2.1 และ 2.2 ตามลำดับ



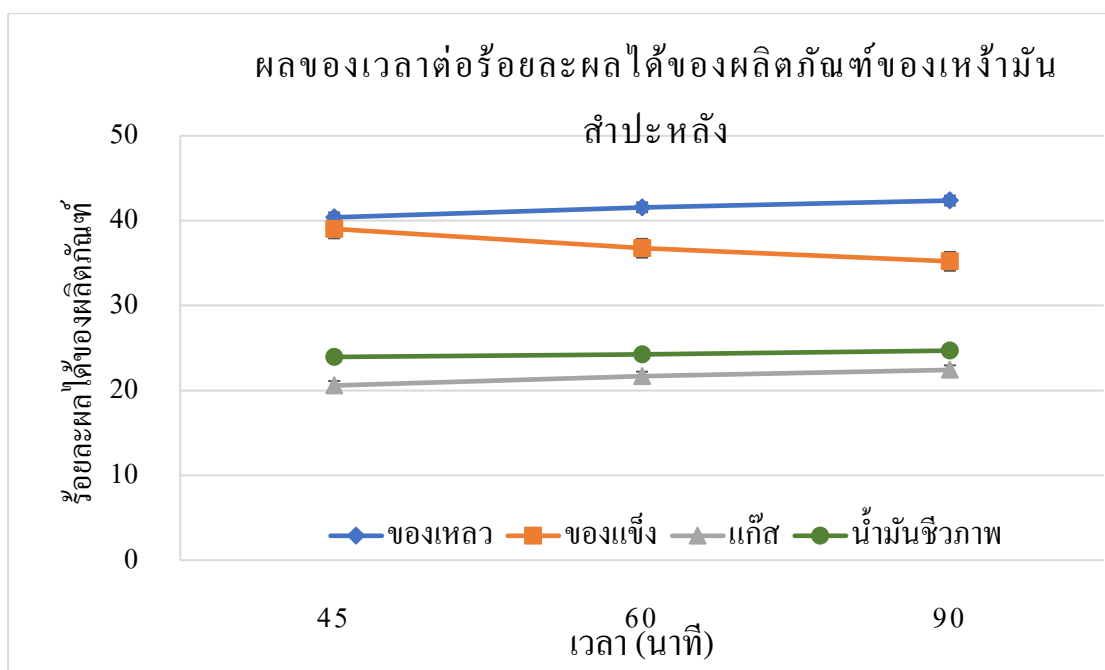
จึงสรุปได้ว่าเมื่ออุณหภูมิสูงขึ้นเกิดการแพร่ความร้อนไปยังชีวมวลมากขึ้นส่งผลให้เกิดการสลายตัวเชิงความร้อนได้ดีขึ้นได้ปริมาณร้อยละน้ำมันชีวภาพมากขึ้น เมื่อสูงเกินไปส่งผลให้เกิดการสลายตัวทางความร้อนที่มากเกินไปซึ่งได้ปริมาณแก๊สที่เพิ่มมากขึ้น โดยช่วงอุณหภูมิที่ดีที่สุดที่ให้ผลิตภัณฑ์เหลวมากที่สุด สำหรับการไพโรไลซิสไม้ยางพารา และเห้งน้ำมันสำปะหลัง คือ 500 องศาเซลเซียสเช่นเดียวกัน

4.3.3 ผลของเวลาในการทำปฏิกิริยา 45, 60 และ 90 นาทีของไม้ยางพาราและเห้งน้ำมันสำปะหลัง

ผลการทดลองแสดงเวลาที่ใช้ในการไพโรไลซิสของไม้ยางพาราและเห้งน้ำมันสำปะหลัง ที่เวลาในการทำปฏิกิริยาที่ 45, 60 และ 90 นาที เมื่อให้ตัวแปรอื่น ๆ คงที่ได้แก่ ขนาดอนุภาคเฉลี่ยของไม้ยางพาราที่ 0.355-0.710 มิลลิเมตร ขนาดเฉลี่ยของเห้งน้ำมันสำปะหลังอยู่ที่ 0.850-2.000 มิลลิเมตร อุณหภูมิที่ 500 องศาเซลเซียส อัตราการไหลของไนโตรเจนแก๊สที่ 60 มิลลิลิตรต่ออนาที พบว่าร้อยละของของเหลวที่ได้จากไม้ยางพาราจะอยู่ระหว่าง 33.84 ถึง 39.48 โดยน้ำหนัก และ ร้อยละของของเหลวที่ได้จากเห้งน้ำมันสำปะหลังจะอยู่ระหว่าง 35.98 ถึง 40.39 โดยน้ำหนัก



รูปที่ 4. 9 ผลของเวลาที่ใช้ไฟโรไลซิสต่อร้อยละผลได้ของผลิตภัณฑ์โดยน้ำหนักจากไม้ยางพาราเมื่อภาวะคงที่ที่ขนาดอนุภาคเฉลี่ย 0.355-0.710 มิลลิเมตร อุณหภูมิ 500 องศาเซลเซียส และอัตราการไหลไนโตรเจนแก๊สที่ 60 มิลลิลิตรต่อนาที



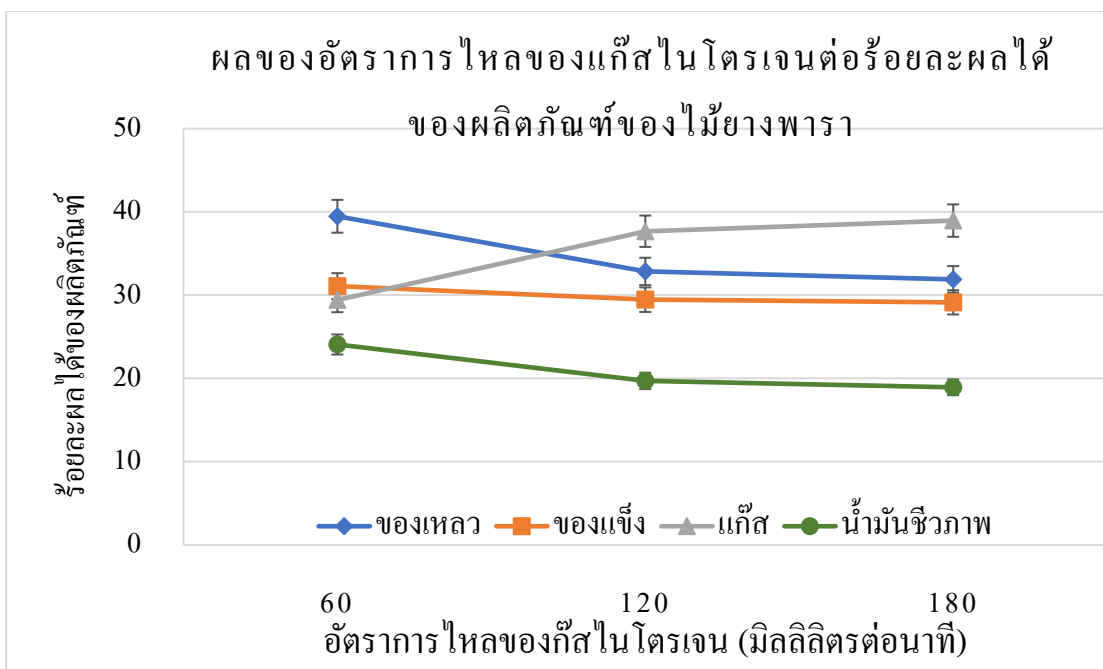
รูปที่ 4. 10 ผลของเวลาที่ใช้ไฟโรไลซิสต่อร้อยละผลได้ของผลิตภัณฑ์โดยน้ำหนักจากเหง้ามันลำปะหลังเมื่อภาวะคงที่ที่ขนาดอนุภาคเฉลี่ย 0.850-2.000 มิลลิเมตร อุณหภูมิ 500 องศาเซลเซียส และอัตราการไหลไนโตรเจนแก๊สที่ 60 มิลลิลิตรต่อนาที

จากรูปที่ 4.9 และ 4.10 แสดงผลของเวลาในการไพโรไลซิสที่ใช้ในภายในเครื่องปฏิกรณ์เบดนิ่งที่ 45, 60 และ 90 นาที พบว่าเมื่อเพิ่มเวลาในการไพโรไลซิส และปฏิกิริยาดำเนินไปอย่างต่อเนื่อง ได้ผลิตภัณฑ์เหลวที่เพิ่มขึ้น เนื่องจากชีวมวลที่อยู่ภายในเครื่องปฏิกรณ์นานยิ่งขึ้น จะทำให้เกิดการแพร่ความร้อน (Heat transfer) ในชีวมวลมากขึ้น ความร้อนที่แพร่เข้าไปภายในชีวมวลเกิดการสะสมมากขึ้น เวลานาน ๆ ส่งผลต่อการสลายตัวของสารเมื่อได้รับความร้อนที่มากตามไปด้วย และยังส่งผลถึงน้ำมันชีวภาพจากการระเหยและควบแน่นของแก๊สที่ได้จากการไพโรไลซิส ส่งผลต่อปริมาณแก๊สและน้ำมันชีวภาพเพิ่มมากขึ้น

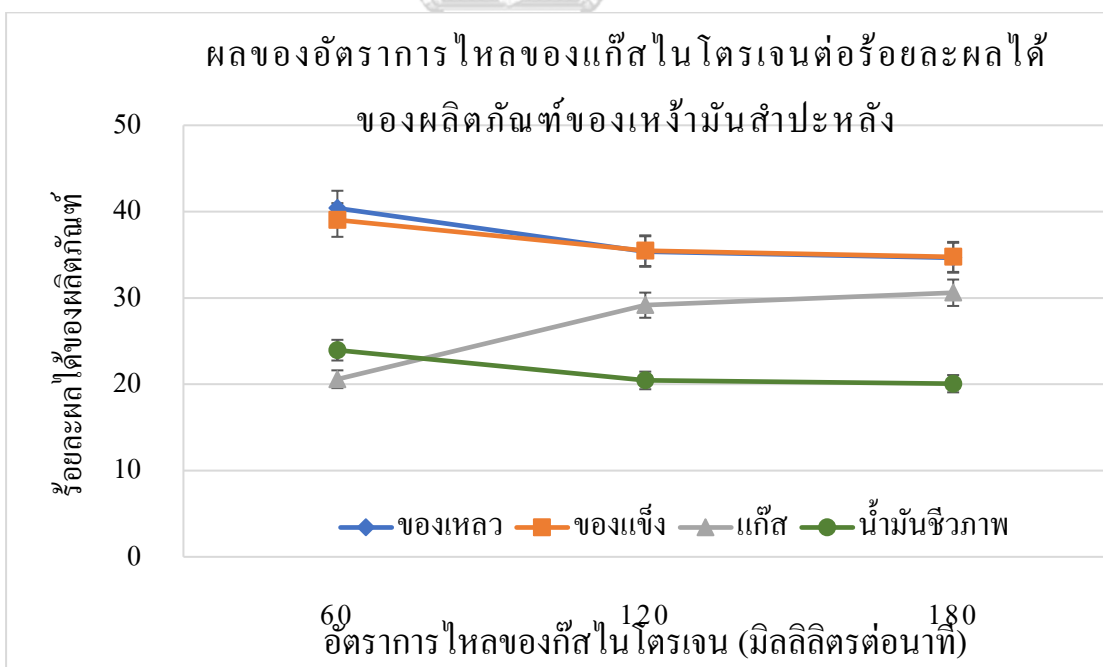
จากผลการทดลองสรุปได้ว่า เมื่อเวลามากขึ้นจะส่งผลต่อสองส่วนหลัก คือ ชีวมวล และน้ำมันชีวภาพ ที่ได้รับความร้อนสะสมทำให้เกิดการสลายตัวทางความร้อนอย่างต่อเนื่อง ทำให้ระเหยกลายเป็นแก๊สและควบแน่นเป็นผลิตภัณฑ์เหลวได้มากขึ้น พบว่าเวลาที่เหมาะสมในการไพโรไลซิสไม้อย่างพาราและเหง้ำมันสำปะหลัง ที่ได้ปริมาณผลิตภัณฑ์ของเหลวดีที่สุดคือ 45 นาทีของทั้งไม้อย่างพาราและเหง้ำมันสำปะหลัง เนื่องจากเมื่อเวลามากขึ้นปริมาณน้ำมันชีวภาพที่ได้นั้นมีปริมาณน้อยไม่คุ้มค่าต่อการเวลาที่ดำเนินไป

4.3.4 ผลของอัตราการไหลของไนโตรเจนแก๊สที่ใช้ในการทำปฏิกิริยาในช่วง 60, 120 และ 180 มิลลิลิตรต่อนาทีของไม้อย่างพาราและเหง้ำมันสำปะหลัง

ผลการทดลองแสดงอัตราการไหลของไนโตรเจนแก๊สที่ใช้ในการไพโรไลซิสของไม้อย่างพาราและเหง้ำมันสำปะหลัง เมื่อทำการปรับอัตราการไหลของไนโตรเจนแก๊สที่ใช้ในการทำปฏิกิริยาในช่วง 60, 120 และ 180 มิลลิลิตรต่อนาที เมื่อให้ตัวแปรอื่น ๆ คงที่ได้แก่ ขนาดอนุภาคเฉลี่ยของไม้อย่างพาราที่ 0.355-0.710 มิลลิเมตร ขนาดเฉลี่ยของเหง้ำมันสำปะหลังอยู่ที่ 0.850-2.000 มิลลิเมตร อุณหภูมิที่ 500 องศาเซลเซียส เวลาในการทำปฏิกิริยาที่ 45 นาที พบว่าร้อยละของของเหลวที่ได้จากไม้อย่างพาราจะอยู่ระหว่าง 31.90 ถึง 39.48 โดยน้ำหนัก และ ร้อยละของของเหลวที่ได้จากเหง้ำมันสำปะหลังจะอยู่ระหว่าง 34.65 ถึง 40.39 โดยน้ำหนัก



รูปที่ 4. 11 ผลของอัตราการไหลของไนโตรเจนแก๊สที่ใช้ไพโรไลซิสต่อร้อยละผลได้ของผลิตภัณฑ์ โดยนำหน้าจากไม้ยางพาราเมื่อภาวะคงที่ที่ขนาดอนุภาคเฉลี่ย 0.355-0.710 มิลลิเมตร อุณหภูมิ 500 องศาเซลเซียส และเวลาที่ 45 นาที



รูปที่ 4. 12 ผลของอัตราการไหลของไนโตรเจนแก๊สที่ใช้ไพโรไลซิสต่อร้อยละผลได้ของผลิตภัณฑ์ โดยนำหน้าจากเหง้ามันสำปะหลังเมื่อภาวะคงที่ที่ขนาดอนุภาคเฉลี่ย 0.850-2.000 มิลลิเมตร อุณหภูมิ 500 องศาเซลเซียส และเวลาที่ 45 นาที

จากรูปที่ 4.11 และ 4.12 แสดงผลของอัตราการไหลของไนโตรเจนแก๊สที่ใช้ในการไฟโรไลซิสของไม้ยางพาราและเหง้ามันสำปะหลังในเครื่องปฏิกรณ์เบดนิ่ง พบว่าเมื่อทำการปรับอัตราการไหลของไนโตรเจนเพิ่มขึ้นในเครื่องปฏิกรณ์เบดนิ่งในช่วง 60, 120 และ 180 มิลลิลิตรต่อนาที พบว่าเมื่ออัตราการไหลของไนโตรเจนมากขึ้นปริมาณผลิตภัณฑ์เหลวลดลง เนื่องจากแก๊สไนโตรเจนมีหน้าที่เป็นแก๊สตัวพา (Carrier gas) ที่สามารถพาในสองทิศทางคือแพร่ความร้อนเข้าไหลผ่านเนื้อสารหรือชีวมวล (Heat transfer) และพาสารระเหยที่เกิดขึ้นจากการสลายตัวของชีวมวล (Mass transfer) ไปยังไปยังชุดควบแน่นและควบแน่นกลับมาในรูปผลิตภัณฑ์เหลว เมื่อเปรียบเทียบปริมาณร้อยละของผลิตภัณฑ์เหลว คาดได้ว่าเมื่ออัตราการไหลของไนโตรเจนเพิ่มขึ้น การพาความร้อนไหลผ่านชีวมวลเร็วเกินไปทำให้การสลายตัวเชิงความร้อนลดลง หรือเกิดการพาความร้อนที่ใช้สำหรับการสลายตัวออกไปด้วย อีกทั้งการพาสารระเหยที่เกิดขึ้นจากการสลายตัวของชีวมวล (Mass transfer) ที่เร็วเกินไป ทำให้ชีวมวลที่ได้รับความร้อนและเกิดการสลายตัวเป็นแก๊สถูกพาออกจากเครื่องปฏิกรณ์และเกิดการสลายตัวเชิงความร้อนที่ไม่สมบูรณ์ สารระเหยได้จึงไม่สามารถควบแน่นเป็นของเหลวได้ดีพอ ส่งผลให้ผลิตภัณฑ์เหลวที่ได้มีค่าลดลง

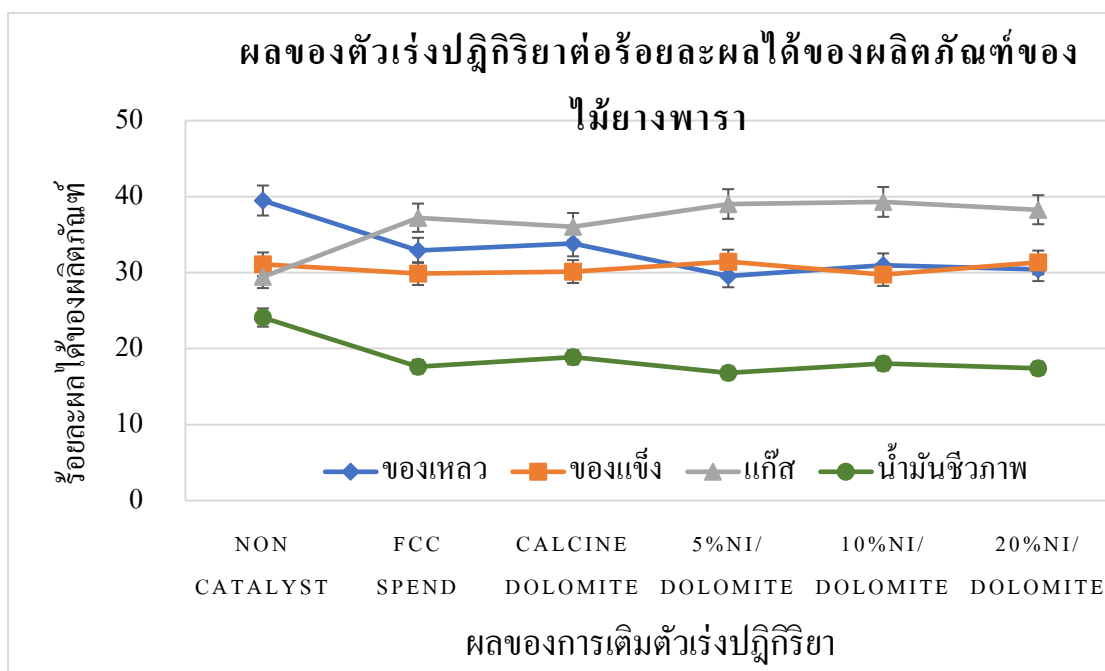
เมื่อเพิ่มอัตราการไหลแก๊สไนโตรเจนขึ้นทำให้เกิดการพาความร้อนและแก๊สเร็วเกินไป เกิดการสลายตัวเชิงความร้อนได้ลดลง ส่งผลให้ผลิตภัณฑ์เหลวที่ได้จึงมีค่าลดลง โดยอัตราการไหลของไนโตรเจนแก๊สที่เหมาะสมสำหรับการทดลองนี้คือ 60 มิลลิลิตรต่อนาทีของทั้ง ไม้ยางพาราและเหง้ามันสำปะหลัง

จากการทดลองผลของตัวแปรต่าง ๆ ที่มีผลต่อการผลิตน้ำมันชีวภาพจากไม้ยางพาราและเหง้ามันสำปะหลัง พบว่าภาวะที่เหมาะสมสำหรับการผลิตน้ำมันชีวภาพผ่านกระบวนการไฟโรไลซิสในเครื่องปฏิกรณ์เบดนิ่ง คือ ขนาดอนุภาคเฉลี่ยของไม้ยางพาราที่ 0.355-0.710 มิลลิเมตร และขนาดเฉลี่ยของเหง้ามันสำปะหลังอยู่ที่ 0.850-2.000 มิลลิเมตร โดยมีปัจจัยต่าง ๆ ได้แก่ อุณหภูมิที่ 500 องศาเซลเซียส เวลาในการทำปฏิกิริยาที่ 45 นาที และอัตราการไหลของไนโตรเจนแก๊สที่ใช้ในการทำปฏิกิริยาในช่วง 60 มิลลิลิตรต่อนาที โดยพบว่าร้อยละของของเหลวที่ได้จากไม้ยางพาราสูงถึง 39.48 โดยน้ำหนัก และร้อยละของของเหลวที่ได้จากเหง้ามันทำปะหลังสูงถึง 40.39 โดยน้ำหนัก

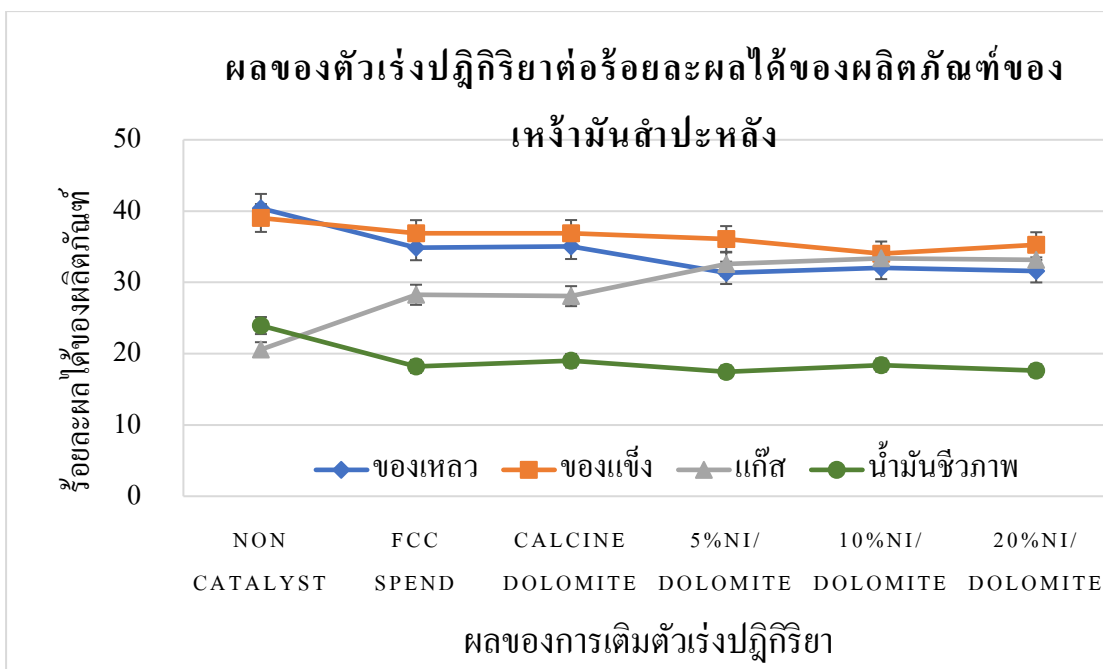
4.3.5 ผลของการเติมตัวเร่งปฏิกิริยาโคโลไมต์, FCC และนิกเกิล/โคโลไมต์ที่มีผลต่อผลิตภัณฑ์ที่เกิดในภาวะที่เหมาะสมของไม้ยางพาราและเหง้ามันสำปะหลัง

การทดลองแสดงผลของการเติมตัวเร่งปฏิกิริยา FCC, โคโลไมต์ และนิกเกิล/โคโลไมต์ร้อยละ 5, 10 และ 20 โดยน้ำหนักของนิกเกิล โดยทำการศึกษาเปรียบเทียบชนิดของตัวเร่งปฏิกิริยาทั้ง 5 ชนิดในอัตราร้อยละ 10 ของน้ำหนักชีวมวลที่มีผลต่อการผลิตน้ำมันชีวภาพจากไม้ยางพาราและ

เหง้ามันสำปะหลัง ในภาวะที่เหมาะสมสำหรับการผลิตน้ำมันชีวภาพผ่านกระบวนการไพโรไลซิส ในเครื่องปฏิกรณ์เบดนิ่ง ที่ขนาดอนุภาคเฉลี่ยของไม้ยางพาราที่ 0.355-0.710 มิลลิเมตร และขนาดเฉลี่ยของเหง้ามันสำปะหลังที่ 0.850-2.000 มิลลิเมตร โดยมีปัจจัยต่าง ๆ ได้แก่ อุณหภูมิที่ 500 องศาเซลเซียส เวลาในการทำปฏิกิริยาที่ 45 นาที และอัตราการไหลของไนโตรเจนแก๊สที่ใช้ในการทำปฏิกิริยาในช่วง 60 มิลลิลิตรต่อนาที

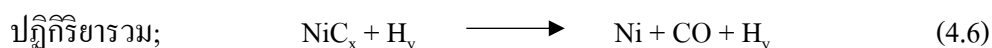
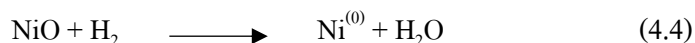


รูปที่ 4. 13 ผลของการเติมตัวเร่งปฏิกิริยาที่ใช้ไพโรไลซิสต่อร้อยละผลได้ของผลิตภัณฑ์โดยน้ำหนักจากไม้ยางพาราเมื่อภาวะคงที่ที่ขนาดอนุภาคเฉลี่ย 0.355-0.710 มิลลิเมตร อุณหภูมิ 500 องศาเซลเซียส อัตราการไหลไนโตรเจนแก๊สที่ 60 มิลลิลิตรต่อนาที และเวลา 45 นาที

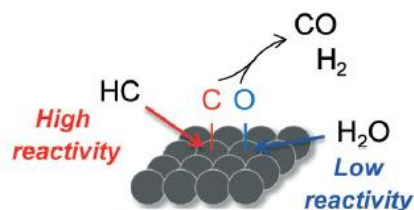


รูปที่ 4. 14 ผลของการเติมตัวเร่งปฏิกิริยาที่ใช้ไพโรไลซิสต่อร้อยละผลได้ของผลิตภัณฑ์โดยน้ำหนักจากเหง้ามันสำปะหลังเมื่อภาวะคงที่ที่ขนาดอนุภาคเฉลี่ย 0.850-2.000 มิลลิเมตร อุณหภูมิ 500 องศาเซลเซียส อัตราการไหลไนโตรเจนแก๊สที่ 60 มิลลิลิตรต่อนาที และเวลา 45 นาที

จากรูปที่ 4.13 และ 4.14 แสดงผลของการเติมตัวเร่งปฏิกิริยาที่ใช้ในการไพโรไลซิสของไม้ยางพาราและเหง้ามันสำปะหลังในเครื่องปฏิกรณ์เบดนิ่ง โดยการเติมตัวเร่งปฏิกิริยาในการไพโรไลซิสนี้ถือเป็นปัจจัยส่งผลต่อผลิตภัณฑ์ของเหลวและแก๊ส พบว่าเมื่อทำการเติมตัวเร่งปฏิกิริยาในเครื่องปฏิกรณ์เบดนิ่งปริมาณผลิตภัณฑ์เหลวลดลง ในขณะที่ปริมาณแก๊สเพิ่มขึ้น เนื่องจากโคโลไมต์มีสมบัติช่วยส่งเสริมในการแตกตัว (Cracking) และเปลี่ยนรูปน้ำมันดินที่เกิดขึ้น (Reducing Tar) ทำให้เกิดการแตกตัวที่แตกกลายเป็นแก๊สที่มีขนาดเล็ก ในส่วนของสารระเหยที่เกิดการสลายตัวเชิงความร้อน ทำให้สารระเหยที่มีโมเลกุลขนาดใหญ่แตกตัวกลายเป็นโมเลกุลขนาดเล็ก ซึ่งเป็นไอแก๊สที่ไม่สามารถควบแน่นกลับเป็นผลิตภัณฑ์เหลวได้ และออกไปในรูปของผลิตภัณฑ์แก๊ส ดังแสดงในสมการที่ 4.4 ถึง 4.6



อีกทั้งยังพบว่าตัวเร่งปฏิกิริยามือองค์ประกอบที่เป็นแคลเซียมออกไซด์ (CaO) และแมกนีเซียมออกไซด์ (MgO) เป็นหลัก โดยแคลเซียมออกไซด์ (CaO) และแมกนีเซียมออกไซด์ (MgO) ทำหน้าที่ลดหม้อออกซิเจนที่เกิดจากการไพโรไลซิสผ่านปฏิกิริยาคือออกซิเจนเนตชัน และโลหะแมกนีเซียม निकิลออกไซด์ (MgNiO₂) และ निकิลออกไซด์ (NiO) ที่ช่วยเพิ่มประสิทธิภาพในการลดหม้อออกซิเจนจากการสลายน้ำมันทาร์ที่เกิดขึ้นในองค์ประกอบน้ำมันชีวภาพ ดังรูปที่ 4.15



รูปที่ 4.15 ภาพจำลองแสดงการเกิดแก๊สคาร์บอนมอนอกไซด์และแก๊สไฮโดรเจนที่ได้จากการไพโรไลซิสดังสมการ 4.4-4.6^[32]

ตารางที่ 4.3 ร้อยละผลได้ของผลิตภัณฑ์ที่ได้จากกระบวนการไพโรไลซิสไม้ยางพารา

ผลิตภัณฑ์	กระบวนการไพโรไลซิสของไม้ยางพารา						ไม้ยางพารา ^[35]
	ไม่มีตัวเร่งปฏิกิริยา	FCC ใช้แล้ว	แคลไซน์ โดโลไมต์	5% นิกเกิล /โดโลไมต์	10% นิกเกิล /โดโลไมต์	20% นิกเกิล /โดโลไมต์	
ของเหลว (ร้อยละ)	39.48	32.92	33.83	29.54	30.97	30.4	43.0
ของแข็ง (ร้อยละ)	31.09	29.86	30.13	31.44	29.73	31.33	37±0.011
แก๊ส (ร้อยละ)	29.43	37.22	36.04	39.02	39.30	38.27	20±0.285

หมายเหตุ ;^[35] Ayman et al.;

ตารางที่ 4.4 ร้อยละผลได้ของผลิตภัณฑ์ที่ได้จากกระบวนการไพโรไลซิสหัง้ำมันสำปะหลัง

ผลิตภัณฑ์	กระบวนการไพโรไลซิสของหัง้ำมันสำปะหลัง						หัง้ำมันสำปะหลัง ^[36]
	ไม่มีตัวเร่งปฏิกิริยา	FCC ใช้แล้ว	แคลไซน์ โดโลไมต์	5% นิกเกิล /โดโลไมต์	10% นิกเกิล /โดโลไมต์	20% นิกเกิล /โดโลไมต์	
ของเหลว (ร้อยละ)	40.39	34.85	35.03	31.34	32.06	31.57	43.04
ของแข็ง (ร้อยละ)	39.03	36.88	36.9	36.09	34.03	35.27	26.10
แก๊ส (ร้อยละ)	20.58	28.27	28.07	32.57	33.37	33.16	30.86

หมายเหตุ ;^[36] Kuntheera K.;

ตารางที่ 4.3 และ 4.4 แสดงการเปรียบเทียบร้อยละผลได้ของผลิตภัณฑ์ที่ได้จากการไพโรไลซิสไม้อย่างพาราและเหง้ามันสำปะหลัง ดังนั้นจากการศึกษาการเติมตัวเร่งปฏิกิริยาในการไพโรไลซิส พบว่าเมื่อทำการเติมตัวเร่งปฏิกิริยาลงไปจะทำให้ผลิตภัณฑ์เหลวมีค่าลดลง ในขณะที่ปริมาณของผลิตภัณฑ์แก๊สที่เพิ่มขึ้นเมื่อเทียบกับการไม่เติมตัวเร่งปฏิกิริยาในภาวะเดียวกัน

4.4 ผลการศึกษาอัตราส่วนของปริมาณน้ำมันชีวภาพต่อปริมาณน้ำในผลิตภัณฑ์เหลว

การศึกษาอัตราส่วนน้ำมันชีวภาพและน้ำในผลิตภัณฑ์ของเหลวของการเติมตัวเร่งปฏิกิริยา FCC, โดโลไมต์ และนิกเกิล/โดโลไมต์ร้อยละ 5, 10 และ 20 โดยน้ำหนักของนิกเกิล โดยทำการศึกษาเปรียบเทียบชนิดของตัวเร่งปฏิกิริยาทั้ง 5 ชนิดในอัตราร้อยละ 10 ของน้ำหนักชีวมวลที่มีผลต่อการผลิตน้ำมันชีวภาพจากไม้อย่างพาราและเหง้ามันสำปะหลัง ในภาวะที่เหมาะสมสำหรับการผลิตน้ำมันชีวภาพผ่านกระบวนการไพโรไลซิสในเครื่องปฏิกรณ์เบดนิ่ง โดยมีขนาดอนุภาคเฉลี่ยของไม้อย่างพาราที่ 0.355-0.710 มิลลิเมตร และขนาดเฉลี่ยของเหง้ามันสำปะหลังที่ 0.850-2.000 มิลลิเมตร โดยมีปัจจัยต่าง ๆ ได้แก่ อุณหภูมิที่ 500 องศาเซลเซียส เวลาในการทำปฏิกิริยาที่ 45 นาที และอัตราการไหลของไนโตรเจนแก๊สที่ใช้ในการทำปฏิกิริยาในช่วง 60 มิลลิลิตรต่อนาที

ตารางที่ 4.5 ผลอัตราส่วนของปริมาณน้ำมันชีวภาพต่อปริมาณน้ำในผลิตภัณฑ์เหลว

ชนิดตัวเร่งปฏิกิริยา	อัตราส่วนของปริมาณน้ำมันชีวภาพต่อปริมาณน้ำในผลิตภัณฑ์เหลว (ร้อยละผลได้)					
	ไม้อย่างพารา			เหง้ามันสำปะหลัง		
	น้ำมันชีวภาพ	น้ำ	น้ำมันชีวภาพ/น้ำ	น้ำมันชีวภาพ	น้ำ	น้ำมันชีวภาพ/น้ำ
ไม่เติมตัวเร่ง	60.99	39.01	1.56	59.28	40.72	1.46
FCC ใช้แล้ว	53.52	46.48	1.15	52.26	47.74	1.09
แคลไซต์โดโลไมต์	55.75	44.25	1.26	54.26	45.74	1.19
5% นิกเกิล/โดโลไมต์	56.85	43.15	1.32	55.70	44.30	1.26
10% นิกเกิล/โดโลไมต์	58.18	41.82	1.39	56.43	43.57	1.30
20% นิกเกิล/โดโลไมต์	57.22	42.78	1.34	55.87	44.13	1.27

จากตารางที่ 4.5 แสดงอัตราส่วนของปริมาณน้ำมันชีวภาพต่อปริมาณน้ำในผลิตภัณฑ์เหลวที่ได้จากการกระบวนการไพโรไลซิสที่มีการเติมตัวเร่งร้อยละ 10 โดยน้ำหนักและที่ไม่มีการเติมตัวเร่งปฏิกิริยา พบว่าผลิตภัณฑ์ของเหลวสามารถแบ่งได้เป็น 2 ส่วนใหญ่ๆ ได้แก่ ส่วนที่เป็นน้ำมันชีวภาพ (Organic phase) เป็นส่วนที่มีลักษณะเป็นของเหลว สีน้ำตาลเข้ม มีความหนืด ไม่สามารถ

สามารถละลายน้ำได้ และน้ำ โดยทั้งสองส่วนสามารถแยกจากผลิตภัณฑ์เหลวโดยใช้วิธีการระเหยที่ 105 องศาเซลเซียส นอกจากนี้เมื่อทำการเปรียบเทียบน้ำมันชีวภาพที่มีการเติมตัวเร่งปฏิกิริยาและไม่มีการเติมตัวเร่งปฏิกิริยา พบว่าอัตราส่วนของน้ำมันชีวภาพและน้ำมีค่าแตกต่างจากอัตราส่วนที่ไม่มี การเติมตัวเร่งปฏิกิริยา เนื่องจากผลของการเติมตัวเร่งปฏิกิริยาจะทำให้เกิดการดูดซับสารที่มี องค์ประกอบออกซิเจนภายใน โครงสร้างของไม้ยางพาราและเหง้ามันสำปะหลัง โดยอะตอม คาร์บอนต่อกับออกซิเจนใน โครงสร้างโปรตีนเกิดการหลุดออกจากชีวมวล (Cracking) เป็นหมู่ ออกซิเจนที่สามารถเกิดการจัดเรียงรูปแบบใหม่หรือเกิดการควบแน่นเป็นผลิตภัณฑ์ที่เป็นน้ำ แก๊ส คาร์บอนไดออกไซด์ และแก๊สคาร์บอนมอนอกไซด์ จึงทำให้อัตราส่วนของน้ำมันชีวภาพที่มีการ เติมตัวเร่งปฏิกิริยามีค่าลดลง มากกว่าการที่ไม่เติมตัวเร่งปฏิกิริยา อีกทั้งอะตอมของออกซิเจนที่ เหลือจะเกิดการหลุดออกไปพร้อมกับส่วนของผลิตภัณฑ์ที่เป็นแก๊สเพิ่มขึ้นมาในระบบ ซึ่งผลที่ได้มี ความสอดคล้องกับผลของการเติมตัวเร่งปฏิกิริยาต่อร้อยละผล ได้ของผลิตภัณฑ์

4.5 ผลการวิเคราะห์องค์ประกอบของผลิตภัณฑ์ที่เกิดขึ้นในกระบวนการไพโรไลซิสไม้ยางพารา และเหง้ามันสำปะหลังในเครื่องปฏิกรณ์เบดนิ่ง

การวิเคราะห์องค์ประกอบของผลิตภัณฑ์น้ำมันชีวภาพและถ่านชาร์ที่เกิดจากการไพโรไล ซิสไม้ยางพาราและเหง้ามันสำปะหลังนั้น จะศึกษาองค์ประกอบแบบแยกธาตุ (Ultimate analysis) ตามมาตรฐาน ASTM D5373 ค่าความร้อนตามมาตรฐาน ASTM D5865 และวิเคราะห์ องค์ประกอบของผลิตภัณฑ์แก๊สด้วยเทคนิคแก๊สโครมาโทกราฟี (Gas Chromatograph, GC)

4.5.1 การวิเคราะห์แบบแยกธาตุ (Ultimate analysis) ของผลิตภัณฑ์ที่เกิดจากการไพโรไล ซิสไม้ยางพาราและเหง้ามันสำปะหลัง

ตารางที่ 4.6 และ 4.7 แสดงผลการวิเคราะห์องค์ประกอบแบบแยกธาตุของผลิตภัณฑ์น้ำมัน ชีวภาพเปรียบเทียบกับองค์ประกอบแบบแยกธาตุของชีวมวลที่ได้จากการไพโรไลซิส พบว่าใน น้ำมันชีวภาพมีปริมาณองค์ประกอบของคาร์บอนเพิ่มขึ้น ในขณะที่ปริมาณองค์ประกอบออกซิเจน และปริมาณองค์ประกอบซัลเฟอร์ลดลง และยังพบว่าค่าความร้อนของทั้ง ไม้ยางพาราและเหง้ามัน สำปะหลังเพิ่มขึ้น เมื่อเปรียบเทียบปริมาณองค์ประกอบออกซิเจนของน้ำมันชีวภาพของ ไม้ยางพารา และเหง้ามันสำปะหลัง พบว่าเมื่อกรณีที่ไม่มีตัวเร่งปฏิกิริยาพบองค์ประกอบออกซิเจนที่สูงกว่า กรณี ที่เติมตัวเร่งปฏิกิริยาไปในระบบ

ตารางที่ 4. 6 การวิเคราะห์แบบแยกธาตุและค่าความร้อนของผลิตภัณฑ์น้ำมันชีวภาพที่ได้จากการไพโรไลซิสไม้ยางพารา

วิเคราะห์แบบแยก ธาตุ	ร้อยละโดยน้ำหนักของผลิตภัณฑ์น้ำมันชีวภาพที่ได้จากการไพโรไลซิสไม้ยางพารา						ไม้ยางพารา
	ไม่มีตัวเร่ง ปฏิกิริยา	FCC ใช้แล้ว	แคลไซน์ โดโลไมต์	5% นิกเกิล /โดโลไมต์	10% นิกเกิล /โดโลไมต์	20% นิกเกิล /โดโลไมต์	
คาร์บอน	79.48	80.77	80.38	80.42	80.63	79.83	47.39
ไฮโดรเจน	2.85	3.08	3.06	3.09	2.97	3.02	6.73
ไนโตรเจน	0.35	0.38	0.38	0.38	0.36	0.36	0.3
ซัลเฟอร์	< 0.01	< 0.01	< 0.01	< 0.01	< 0.01	< 0.01	0.02
ออกซิเจน*	17.32	15.77	16.18	16.11	16.04	16.79	45.56
H/C (โมลต่อโมล)	0.43	0.46	0.46	0.46	0.44	0.45	1.71
O/C (โมลต่อโมล)	0.16	0.15	0.15	0.15	0.15	0.16	0.72
ค่าความร้อน (แคลอรีต่อกรัม)	6829	6939	6850	6943	6905	6917	4102

ตารางที่ 4. 7 การวิเคราะห์แบบแยกธาตุและค่าความร้อนของผลิตภัณฑ์น้ำมันชีวภาพที่ได้จากการไพโรไลซิสเห้ง้ำมันสำปะหลัง

วิเคราะห์แบบแยก ธาตุ	ร้อยละโดยน้ำหนักของผลิตภัณฑ์น้ำมันชีวภาพที่ได้จากการไพโรไลซิสเห้ง้ำมันสำปะหลัง						เห้ง้ำมัน สำปะหลัง
	ไม่มีตัวเร่ง ปฏิกิริยา	FCC ใช้แล้ว	แคลไซน์ โดโลไมต์	5% นิกเกิล /โดโลไมต์	10% นิกเกิล /โดโลไมต์	20% นิกเกิล /โดโลไมต์	
คาร์บอน	64.51	65.14	65.62	65.89	66.48	65.65	33.54
ไฮโดรเจน	6.99	7.13	7.24	7.35	7.31	7.32	4.75
ไนโตรเจน	2.11	2.22	2.46	2.66	2.32	2.46	1.13
ซัลเฟอร์	< 0.01	< 0.01	< 0.01	< 0.01	< 0.01	< 0.01	0.07
ออกซิเจน*	26.39	25.51	24.68	24.10	23.89	24.57	60.51
H/C (โมลต่อโมล)	1.30	1.31	1.33	1.34	1.32	1.34	1.70
O/C (โมลต่อโมล)	0.31	0.29	0.28	0.27	0.27	0.28	1.35
ค่าความร้อน (แคลอรีต่อกรัม)	6438	6599	6500	6526	6677	6536	2961

จากตารางที่ 4.8 และ 4.9 แสดงผลการวิเคราะห์องค์ประกอบแบบแยกธาตุของผลิตภัณฑ์ถ่านชาร์เปรียบเทียบกับองค์ประกอบแบบแยกธาตุของชีวมวลที่ได้จากการไพโรไลซิส พบว่าในน้ำมันชีวภาพมีปริมาณองค์ประกอบของคาร์บอนเพิ่มขึ้น ในขณะที่ปริมาณองค์ประกอบออกซิเจนและปริมาณองค์ประกอบซัลเฟอร์ลดลง และยังพบว่าค่าความร้อนของทั้งไม้ยางพาราและเห้ง้ำมันสำปะหลังเพิ่มขึ้น

ตารางที่ 4.8 การวิเคราะห์แบบแยกธาตุและค่าความร้อนของผลิตภัณฑ์ถ่านชาร์ที่ได้จากการไพโรไลซิสไม้ยางพารา

วิเคราะห์แบบแยกธาตุ	ร้อยละโดยน้ำหนักของผลิตภัณฑ์ถ่านชาร์ที่ได้จากการไพโรไลซิสไม้ยางพารา						ไม้ยางพารา
	ไม่มีตัวเร่งปฏิกิริยา	FCC ใช้แล้ว	แคลไซน์ โดโลไมต์	5% นิกเกิล /โดโลไมต์	10% นิกเกิล /โดโลไมต์	20% นิกเกิล /โดโลไมต์	
คาร์บอน	60.33	61.92	62.63	60.97	63.49	63.83	47.39
ไฮโดรเจน	6.61	6.47	6.79	6.58	6.71	6.67	6.73
ไนโตรเจน	0.51	0.59	0.73	0.61	0.69	0.71	0.3
ซัลเฟอร์	< 0.01	< 0.01	< 0.01	< 0.01	< 0.01	< 0.01	0.02
ออกซิเจน*	32.55	31.02	29.85	31.84	29.11	28.79	45.56
H/C (โมลต่อโมล)	1.32	1.25	1.30	1.30	1.27	1.26	1.71
O/C (โมลต่อโมล)	0.40	0.38	0.36	0.39	0.34	0.34	0.72
ค่าความร้อน (แคลอรีต่อกรัม)	5804	6120	6137	5840	6151	6259	4102

ตารางที่ 4.9 การวิเคราะห์แบบแยกธาตุและค่าความร้อนของผลิตภัณฑ์ถ่านชาร์ที่ได้จากการไพโรไลซิสเห้งมันสำปะหลัง

วิเคราะห์แบบแยกธาตุ	ร้อยละโดยน้ำหนักของผลิตภัณฑ์ถ่านชาร์ที่ได้จากการไพโรไลซิสเห้งมันสำปะหลัง						เห้งมันสำปะหลัง
	ไม่มีตัวเร่งปฏิกิริยา	FCC ใช้แล้ว	แคลไซน์ โดโลไมต์	5% นิกเกิล /โดโลไมต์	10% นิกเกิล /โดโลไมต์	20% นิกเกิล /โดโลไมต์	
คาร์บอน	68.76	70.17	69.62	70.05	70.46	70.41	33.54
ไฮโดรเจน	3.16	2.86	3.37	2.91	3.11	3.03	4.75
ไนโตรเจน	0.98	0.91	0.96	0.85	1.03	0.99	1.13
ซัลเฟอร์	0.02	< 0.01	0.03	0.02	0.01	< 0.01	0.07
ออกซิเจน*	27.08	26.06	26.02	26.17	25.39	25.57	60.51
H/C (โมลต่อโมล)	0.55	0.49	0.58	0.50	0.53	0.52	1.70
O/C (โมลต่อโมล)	0.30	0.28	0.28	0.28	0.27	0.27	1.35
ค่าความร้อน (แคลอรีต่อกรัม)	5967	5904	5965	5953	5969	5884	2961

4.5.2 การวิเคราะห์องค์ประกอบของผลิตภัณฑ์แก๊สสังเคราะห์ที่เกิดขึ้นในกระบวนการไพโรไลซิสไม้ยางพาราและเห้งมันสำปะหลัง ที่เกิดในภาวะที่เหมาะสม

ผลการทดลองแสดงผลของการเติมตัวเร่งปฏิกิริยาโดโลไมต์, FCC และนิกเกิล/โดโลไมต์ ร้อยละ 5, 10 และ 20 โดยน้ำหนักของนิกเกิล โดยทำการศึกษาเปรียบเทียบชนิดของตัวเร่งปฏิกิริยา ทั้ง 5 ชนิดในอัตราร้อยละ 10 ของน้ำหนักชีวมวลที่มีผลต่อองค์ประกอบแก๊สสังเคราะห์จากไม้ยางพาราและเห้งมันสำปะหลัง ในภาวะที่เหมาะสมผ่านกระบวนการไพโรไลซิสในเครื่องปฏิกรณ์

เบดนิ่ง ที่ขนาดอนุภาคเฉลี่ยของไม้ยางพาราที่ 0.355-0.710 มิลลิเมตร และขนาดเฉลี่ยของเหง้ามันสำปะหลังที่ 0.850-2.000 มิลลิเมตร โดยมีปัจจัยต่าง ๆ ได้แก่ อุณหภูมิที่ 500 องศาเซลเซียส เวลาในการทำปฏิกิริยาที่ 45 นาที และอัตราการไหลของไนโตรเจนแก๊สที่ใช้ในการทำปฏิกิริยาในช่วง 60 มิลลิลิตรต่อนาทีด้วยเทคนิคแก๊สโครมาโทกราฟี (Gas Chromatograph, GC)

ตารางที่ 4. 10 ร้อยละผลได้ของผลิตภัณฑ์แก๊สสังเคราะห์ที่ได้จากกระบวนการไพโรไลซิสไม้ยางพารา

องค์ประกอบของแก๊ส	กระบวนการไพโรไลซิสของไม้ยางพารา (ร้อยละ)					
	ไม่มีตัวเร่งปฏิกิริยา	FCC ใช้แล้ว	แคลไซน์ โดโลไมต์	5% นิกเกิล /โดโลไมต์	10% นิกเกิล /โดโลไมต์	20% นิกเกิล /โดโลไมต์
ไฮโดรเจน	0.00	15.20	18.88	22.58	29.05	27.84
คาร์บอนไดออกไซด์	67.02	55.93	49.53	43.48	40.24	42.25
คาร์บอนมอนอกไซด์	12.80	11.38	12.22	13.16	8.08	7.95
มีเทน	17.13	14.46	15.36	17.57	17.94	17.55
อีเทน	1.36	1.23	1.65	1.33	2.01	1.87
เอทิลีน	1.36	1.39	1.90	1.48	2.25	2.13
โพรเพน	0.34	0.40	0.47	0.39	0.42	0.40
โพรพิลีน	-	-	-	-	-	-

ตารางที่ 4. 11 ร้อยละผลได้ของผลิตภัณฑ์แก๊สสังเคราะห์ที่ได้จากกระบวนการไพโรไลซิสเหง้ามันสำปะหลัง

องค์ประกอบ	กระบวนการไพโรไลซิสของเหง้ามันสำปะหลัง (ร้อยละ)					
	ไม่มีตัวเร่งปฏิกิริยา	FCC ใช้แล้ว	แคลไซน์ โดโลไมต์	5% นิกเกิล /โดโลไมต์	10% นิกเกิล /โดโลไมต์	20% นิกเกิล /โดโลไมต์
ไฮโดรเจน	0.00	23.10	26.34	27.68	32.31	28.07
คาร์บอนไดออกไซด์	68.15	52.82	47.50	44.31	41.10	44.58
คาร์บอนมอนอกไซด์	10.79	9.47	7.91	7.87	8.32	8.40
มีเทน	14.08	11.97	14.95	16.95	15.35	15.76
อีเทน	1.95	1.11	1.40	1.31	1.26	1.37
เอทิลีน	1.91	1.09	1.29	1.27	1.21	1.34
โพรเพน	0.87	0.44	0.62	0.61	0.46	0.47
โพรพิลีน	2.23	-	-	-	-	-

จากตารางที่ 4.10 และ 4.11 แสดงองค์ประกอบผลิตภัณฑ์แก๊สจากการไพโรไลซิสไม้ยางพาราและเหง้ามันสำปะหลังทั้งที่ไม่มีตัวเร่งปฏิกิริยา และมีการเติมตัวเร่งปฏิกิริยา พบว่า

มีองค์ประกอบของผลิตภัณฑ์แก๊สที่ได้จากการไพโรไลซิสในกรณีเติมตัวเร่งปฏิกิริยา โดยมีแก๊สไฮโดรเจน (H_2) เกิดขึ้นในระบบและเพิ่มขึ้น เมื่อใช้นิกเกิล/โคบอลต์เป็นตัวเร่งปฏิกิริยา ในขณะที่แก๊สคาร์บอนไดออกไซด์ (CO_2) ลดลง อีกทั้งยังมีองค์ประกอบแก๊สอื่นๆ ที่พบ เช่น แก๊สคาร์บอนมอนอกไซด์ (CO), แก๊สมีเทน (Methane), อีเทน (Ethane), เอทิลีน (Ethylene), โพรเพน (Propane) และ โพรพิลีน (Propylene) เป็นต้น ซึ่งสอดคล้องกับปริมาณร้อยละผลได้ของแก๊สที่เพิ่มขึ้นจากการไพโรไลซิสทั้งไม้อย่างพาราและเหม้งามันสำปะหลังตามลำดับ

4.5.3 การวิเคราะห์องค์ประกอบของผลิตภัณฑ์น้ำมันชีวภาพที่เกิดขึ้นในกระบวนการไพโรไลซิสไม้อย่างพาราและเหม้งามันสำปะหลัง

การวิเคราะห์องค์ประกอบน้ำมันชีวภาพ โดยใช้เทคนิคแก๊สโครมาโทกราฟีร่วมกับแมสสเปกโตรเมตรี (Gas Chromatography Mass Spectrometry) ของไม้อย่างพาราและเหม้งามันสำปะหลังที่ได้จากการไพโรไลซิสในเครื่องปฏิกรณ์เบดนิ่ง ซึ่งพบองค์ประกอบหลักๆ คือ ไฮโดรคาร์บอน เช่น แอลเคน และแอลคีน, สารประกอบอะโรมาติก เช่น เบนซีน ฟีนอล แอลกอฮอล์ และอินดีน, สารประกอบไนโตรเจน เช่น เอมีน เอมาอ์ ไนไตรล อินโดล และไพรีดีน, แอลกอฮอล์ และอื่นๆ โดยเมื่อพิจารณาปริมาณองค์ประกอบเหล่านี้พบว่า ไฮโดรคาร์บอน สารประกอบออกซิเจน และแอลกอฮอล์มีปริมาณลดลงเมื่อเติมตัวเร่งปฏิกิริยาเข้าไปในระบบ ในขณะที่สารประกอบอะโรมาติกเพิ่มขึ้น ซึ่งผลดังกล่าวสอดคล้องกันทั้งในน้ำมันชีวภาพที่ได้จากไม้อย่างพาราและเหม้งามันสำปะหลัง ทำให้สรุปได้ว่า ปริมาณไฮโดรคาร์บอนที่ลดลงนั้นเป็นผลมาจากการตัวเร่งปฏิกิริยาที่เติมลงไปมีส่วนช่วยให้การสลาย (Cracking) ตัวเพิ่มขึ้น และเมื่อพิจารณาองค์ประกอบอะโรมาติกที่เพิ่มขึ้นพบว่าตัวเร่งปฏิกิริยามีความสามารถในการเลือกเกิดปฏิกิริยาได้ดี ในขณะที่องค์ประกอบออกซิเจนที่ลดลงนั้น พบว่าตัวเร่งปฏิกิริยามีองค์ประกอบที่เป็นแคลเซียมออกไซด์ (CaO) และแมกนีเซียมออกไซด์ (MgO) เป็นหลัก โดยแคลเซียมออกไซด์ (CaO) และแมกนีเซียมออกไซด์ (MgO) ทำหน้าที่ลดหม้อออกซิเจนที่เกิดจากการไพโรไลซิสผ่านปฏิกิริยาดีออกซิเจนเนตชัน และโลหะแมกนีเซียมนิกเกิลออกไซด์ ($MgNiO_2$) และ นิกเกิลออกไซด์ (NiO) ที่ช่วยเพิ่มประสิทธิภาพในการลดหม้อออกซิเจนจากการสลายน้ำมันทาร์ที่เกิดขึ้นในองค์ประกอบน้ำมันชีวภาพ ซึ่งผลสอดคล้องกันทั้งน้ำมันชีวภาพที่ได้จากไม้อย่างพาราและเหม้งามันสำปะหลังตามลำดับ โดยแสดงดังตาราง 4.12 และ 4.13

บทที่ 5

สรุปผลการทดลองและข้อเสนอแนะ

5.1 สรุปผลการทดลอง

จากการทดลองการผลิตน้ำมันชีวภาพจากกระบวนการไพโรไลซิสสำหรับไม้ยางพาราและเหง้ำมันสำปะหลังโดยใช้ตัวเร่งปฏิกิริยา FCC, โดโลไมต์ และนิกเกิลโดโลไมต์ในเครื่องปฏิกรณ์เบดนิ่งสามารถสรุปผลได้ดังต่อไปนี้

5.1.1 การวิเคราะห์การสลายตัวทางความร้อนของไม้ยางพาราและเหง้ำมันสำปะหลัง

ผลการวิเคราะห์การสลายตัวทางความร้อนของไม้ยางพาราและเหง้ำมันสำปะหลัง สรุปได้ว่ามีการสลายตัวสูงสุดของชีวมวลดังกล่าวในช่วง 400 องศาเซลเซียส โดยสามารถแบ่งการสลายตัวออกเป็น 3 ช่วงใหญ่ ได้แก่ ช่วงแรกเป็นการสลายตัวของความชื้นภายในชีวมวล ช่วงที่สองเป็นการสลายตัวสารระเหย และช่วงที่สามเป็นการสลายตัวของคาร์บอนหนักของทั้งไม้ยางพาราและเหง้ำมันสำปะหลัง ซึ่งอุณหภูมิที่ส่งผลต่อกระบวนการไพโรไลซิสที่มีผลต่อผลิตภัณฑ์อยู่ระหว่างช่วง 400 ถึง 600 องศาเซลเซียส และเป็นอุณหภูมิที่เหมาะสมสำหรับการไพโรไลซิสของไม้ยางพาราและเหง้ำมันสำปะหลัง

5.1.2 การวิเคราะห์สมบัติพื้นฐานของไม้ยางพาราและเหง้ำมันสำปะหลัง

ผลของสมบัติพื้นฐานของไม้ยางพาราและเหง้ำมันสำปะหลัง ในส่วนของการวิเคราะห์แบบประมาณประกอบไปด้วยความชื้นร้อยละ 8.34 และ 7.59 โดยน้ำหนักตามลำดับ สารระเหยร้อยละ 72.47 และร้อยละ 53.09 โดยน้ำหนักตามลำดับ พีแฉัร้อยละ 2.52 และร้อยละ 25.93 โดยน้ำหนักตามลำดับ และคาร์บอนคงตัวร้อยละ 16.67 และร้อยละ 13.39 โดยน้ำหนักตามลำดับ และยังพบว่ามีปริมาณคาร์บอนร้อยละ 47.39 และร้อยละ 33.54 โดยน้ำหนักตามลำดับ ปริมาณไฮโดรเจนร้อยละ 6.73 และร้อยละ 4.75 โดยน้ำหนักตามลำดับ ปริมาณไนโตรเจนร้อยละ 0.3 และร้อยละ 1.13 โดยน้ำหนักตามลำดับ ปริมาณซัลเฟอร์ร้อยละ 0.02 และร้อยละ 0.07 โดยน้ำหนักตามลำดับ ปริมาณออกซิเจนร้อยละ 45.56 และร้อยละ 60.51 โดยน้ำหนักตามลำดับ และค่าความร้อน 4,102 และ 2,961 แคลอรีต่อกรัมของไม้ยางพาราและเหง้ำมันสำปะหลังตามลำดับ

5.1.3 ศึกษาปัจจัยที่ส่งผลต่อกระบวนการไพโรไลซิสและหาภาวะที่เหมาะสมต่อการผลิตน้ำมันชีวภาพผ่านกระบวนการไพโรไลซิสของไม้ยางพาราและเห้ง้ำมันสำปะหลังในเครื่องปฏิกรณ์เบดนิ่ง

ผลของภาวะที่เหมาะสมต่อการผลิตน้ำมันชีวภาพผ่านกระบวนการไพโรไลซิสของไม้ยางพาราและเห้ง้ำมันสำปะหลังในเครื่องปฏิกรณ์เบดนิ่ง พบว่าภาวะที่เหมาะสม โดยมีขนาดอนุภาคเฉลี่ยของไม้ยางพาราที่ 0.355-0.710 มิลลิเมตร และขนาดเฉลี่ยของเห้ง้ำมันสำปะหลังที่ 0.850-2.000 มิลลิเมตร โดยมีปัจจัย ได้แก่ อุณหภูมิที่ 500 องศาเซลเซียส เวลาในการทำปฏิกิริยาที่ 45 นาที และอัตราการไหลของไนโตรเจนแก๊สที่ใช้ในการทำปฏิกิริยาในช่วง 60 มิลลิตรต่อนาที ซึ่งพบว่าร้อยละของของเหลวที่ได้จากไม้ยางพาราสูงถึง 39.48 โดยน้ำหนัก และร้อยละของของเหลวที่ได้จากเห้ง้ำมันสำปะหลังสูงถึง 40.39 โดยน้ำหนัก

5.1.4 ศึกษาผลของการเติมตัวเร่งปฏิกิริยาที่มีผลต่อผลิตภัณฑ์ที่เกิดขึ้นในภาวะที่เหมาะสม

ผลของการเติมตัวเร่งปฏิกิริยา FCC, โดโลไมต์ และนิกเกิล/โดโลไมต์ในการไพโรไลซิสพบว่า น้ำชีวภาพที่ได้จากการไพโรไลซิสของทั้งไม้ยางพาราและเห้ง้ำมันสำปะหลังที่ไม่มีการเติมตัวเร่งปฏิกิริยาจะให้ปริมาณน้ำมันชีวภาพที่มากกว่าในกรณีที่เติมตัวเร่งปฏิกิริยา ในขณะที่ผลิตภัณฑ์แก๊สเพิ่มขึ้นในระบบในกรณีที่เติมตัวเร่งปฏิกิริยา

5.1.5 ศึกษาผลการวิเคราะห์สมบัติของผลิตภัณฑ์ที่เกิดขึ้นในกระบวนการไพโรไลซิสของไม้ยางพาราและเห้ง้ำมันสำปะหลังในเครื่องปฏิกรณ์เบดนิ่ง

ผลการวิเคราะห์สมบัติของผลิตภัณฑ์ที่เกิดขึ้นในกระบวนการไพโรไลซิสของไม้ยางพาราและเห้ง้ำมันสำปะหลังในเครื่องปฏิกรณ์เบดนิ่ง พบว่าอัตราส่วนของน้ำมันชีวภาพต่อน้ำของน้ำมันชีวภาพที่ได้จากการไพโรไลซิสไม้ยางพาราและเห้ง้ำมันสำปะหลังที่ไม่มีการเติมตัวเร่งปฏิกิริยาร้อยละ 60.99 ต่อ 39.01 (น้ำมันชีวภาพ:น้ำ) ของไม้ยางพารา และร้อยละ 59.28 ต่อ 40.72 (น้ำมันชีวภาพ:น้ำ) ของเห้ง้ำมันสำปะหลังและเมื่อเติมตัวเร่งปฏิกิริยาอัตราส่วนของน้ำมันชีวภาพลดลงและเกิดน้ำในระบบมากขึ้น ซึ่งจากการวิเคราะห์องค์ประกอบของน้ำมันชีวภาพที่ได้จากการไพโรไลซิสไม้ยางพาราและเห้ง้ำมันสำปะหลังที่พบว่าน้ำมันชีวภาพของไม้ยางพาราและเห้ง้ำมันสำปะหลัง มีปริมาณคาร์บอนอะตอมที่มากกว่าเมื่อเทียบกับไม้ยางพาราและเห้ง้ำมันสำปะหลัง (ชีวมวล) ที่ยังไม่ได้ไพโรไลซิส ส่งผลให้มีค่าความร้อนที่สูงกว่า โดยมีค่าความร้อนของน้ำมันชีวภาพเมื่อผ่านกระบวนการไพโรไลซิสอยู่ที่ 6,829 และ 6,438 แคลอรีต่อกรัม และค่าความร้อนของถ่านชาร์ที่ 5,804 และ 5,967 แคลอรีต่อกรัมของไม้ยางพาราและเห้ง้ำมันสำปะหลังตามลำดับ

5.1.6 ศึกษาผลการวิเคราะห์สมบัติทางเคมีของผลิตภัณฑ์ที่เกิดขึ้นในกระบวนการไพโรไลซิสไม้ยางพาราและเหงมันสำปะหลังในเครื่องปฏิกรณ์แบบนิ่ง

การวิเคราะห์สมบัติทางเคมีจะถูกทดสอบด้วยเครื่องเครื่องแก๊สโครมาโทกราฟีร่วมกับแมสสเปกโตรมิเตอร์ (Gas Chromatograph Mass Spectrometer, GC-MS)

- การวิเคราะห์น้ำมันชีวภาพด้วยเครื่องแก๊สโครมาโทกราฟีร่วมกับแมสสเปกโตรมิเตอร์

จากการวิเคราะห์องค์ประกอบทางเคมีของน้ำมันชีวภาพที่ไม่มีการเติมตัวเร่งปฏิกิริยาพบว่าองค์ประกอบหลักทางเคมีของน้ำมันชีวภาพ คือ สารประกอบไฮโดรคาร์บอน สารประกอบอะโรมาติก สารประกอบไนโตรเจน สารประกอบออกซิเจน และแอลกอฮอล์ ซึ่งกรณีเติมตัวเร่งปฏิกิริยา พบว่าสารประกอบไฮโดรคาร์บอน สารประกอบออกซิเจน และแอลกอฮอล์มีปริมาณที่ลดลง ในขณะที่สารประกอบอะโรมาติกมีปริมาณเพิ่มมากขึ้นในระบบ

- การวิเคราะห์ผลิตภัณฑ์แก๊สด้วยเครื่องแก๊สโครมาโทกราฟี

จากการวิเคราะห์องค์ประกอบทางเคมีของผลิตภัณฑ์แก๊สที่ได้จากการไพโรไลซิสไม้ยางพาราและเหงมันสำปะหลัง ที่ไม่มีการเติมตัวเร่งปฏิกิริยาพบว่ามีองค์ประกอบหลักของผลิตภัณฑ์แก๊ส คือ แก๊สคาร์บอนมอนอกไซด์ คาร์บอนไดออกไซด์ มีเทน และเมื่อทำการเติมตัวเร่งปฏิกิริยาพบว่าแก๊สไฮโดรเจนเกิดขึ้น ในขณะที่ปริมาณแก๊สคาร์บอนไดออกไซด์ลดลง อีกทั้งยังมีองค์ประกอบแก๊สอื่นๆที่พบ เช่น คาร์บอนมอนอกไซด์ (CO), มีเทน (Methane), อีเทน (Ethane), เอทิลีน (Ethylene), โพรเพน (Propane) และ โพรพิลีน (Propylene)

5.2 ข้อเสนอแนะ

- น้ำมันชีวภาพที่ได้มีค่าความเป็นกรดและมีปริมาณออกซิเจนสูง จึงต้องทำการปรับภาวะค่าความเป็นกรดและลดปริมาณออกซิเจนก่อนนำไปใช้เป็นพลังงานเชื้อเพลิง
- น้ำมันชีวภาพที่เกิดขึ้นภายในเครื่องปฏิกรณ์ ภายหลังจากกระบวนการไพโรไลซิสจะยังคงค้างอยู่ภายในเครื่องในปริมาณไม่มากนัก ควรมีการชะด้วยอะซิโตนเพื่อทำการเก็บน้ำมันดังกล่าวมาทำการคำนวณเพื่อลดค่าความคลาดเคลื่อน และให้ได้ผลการทดลองที่ดีที่สุด
- ตัวเร่งปฏิกิริยาโคบอลต์ และนิกเกิล/โคบอลต์ เป็นตัวเร่งปฏิกิริยาที่มีองค์ประกอบที่เป็นแคลเซียมออกไซด์ (CaO) และแมกนีเซียมออกไซด์ (MgO) เป็นหลัก โดยแคลเซียมออกไซด์ (CaO) และแมกนีเซียมออกไซด์ (MgO) ทำหน้าที่ลดหมู่ออกซิเจนที่เกิดจากการไพโรไลซิสผ่านปฏิกิริยาคีออกซิเจนเต และโลหะแมกนีเซียม/นิกเกิลออกไซด์ (MgNiO₂) และ นิกเกิลออกไซด์ (NiO) ที่ช่วยเพิ่มประสิทธิภาพในการลดหมู่ออกซิเจนจากการสลายน้ำมันทาร์ที่เกิดขึ้นในองค์ประกอบน้ำมันชีวภาพซึ่งเหมาะแก่การนำไปประยุกต์ใช้

- จากงานวิจัยข้างต้นสามารถต่อยอดและหาแนวทางที่สามารถขยายไปในเชิงพาณิชย์ได้ เนื่องจากต้นทุน ไม้ยางพารา และเหง้ามันสำปะหลังมีต้นทุนที่ต่ำ มีปริมาณที่ค่อนข้างมากในประเทศไทย จึงเหมาะสมที่จะนำไปคั้นคว่ำเพิ่มเติมและนำไปใช้ประโยชน์ในอนาคตได้





ภาคผนวก ก.

การวิเคราะห์องค์ประกอบของชีวมวลและผลิตภัณฑ์ที่ได้จากการไพโรไลซิสไม้ยางพารา และเหง้ามันสำปะหลัง

1. การวิเคราะห์แบบประมาณ (Proximate analysis)

การวิเคราะห์องค์ประกอบแบบประมาณเป็นการแยกองค์ประกอบอย่างง่าย ด้วยสามารถแบ่งออกเป็น 4 กลุ่ม ได้แก่ น้ำหรือความชื้น เถ้า สารระเหย และคาร์บอนคงตัว

1.1 การวิเคราะห์ น้ำหรือความชื้น เถ้า สารระเหย และคาร์บอนคงตัว

วิธีการวิเคราะห์ความชื้นจะใช้วิธีการวิเคราะห์ด้วยมาตรฐาน (Standard Test Methods for Proximate Analysis of Coal and Coke by Macro Thermogravimetric Analysis: ASTM D7582) ด้วยเครื่องวิเคราะห์การสลายตัวทางความร้อนด้วยเทคนิคเทอร์โมกราวิเมตริก (Thermogravimetric analysis, TGA/DTG) รุ่น TGA701 จากบริษัท LECO จำกัด ซึ่งใช้กันปัจจุบันเป็นเครื่องมือวิเคราะห์ที่ซึ่งสามารถให้ค่าน้ำหรือความชื้น เถ้า สารระเหย และคาร์บอนคงตัวออกมาได้ทันที จากการวัดค่าการสูญเสียน้ำหนัก และการสลายตัวของความชื้น สารอินทรีย์ และเหลือเฉพาะน้ำหนักของสารอนินทรีย์ที่ไม่สลายเนื่องจากความร้อน

อุปกรณ์

1. เครื่องวิเคราะห์การสลายตัวทางความร้อนด้วยเทคนิคเทอร์โมกราวิเมตริก (Thermogravimetric analysis, TGA/DTG) รุ่น TGA701 จากบริษัท LECO จำกัด
2. ถ้วยครุชเชิล
3. โถดูดความชื้น

วิธีการทดลอง

1. ทำการเผาครุชเชิลในเตาเผาที่อุณหภูมิ 750 องศาเซลเซียสเป็นเวลา 1 ชั่วโมง นำออกมาทำให้เย็นใน โถดูดความชื้น
2. ใส่ครุชเชิลลงในเครื่องวิเคราะห์การสลายตัวทางความร้อนด้วยเทคนิคเทอร์โมกราวิเมตริก พร้อมกับจดน้ำหนักถ้วยครุชเชิลแล้วบันทึกค่า
3. ใส่ไม้ยางพาราหรือเหง้ามันสำปะหลังในครุชเชิลลงในเครื่องวิเคราะห์การสลายตัวทางความร้อนด้วยเทคนิคเทอร์โมกราวิเมตริก ประมาณ 1 กรัม พร้อมบันทึกน้ำหนักขณะชั่ง

4. ตั้งค่าอัตราการให้ความร้อนที่ 10 องศาเซลเซียสต่อนาที ภายใต้บรรยากาศไนโตรเจน
ในไนโตรเจน โดยกำหนดอุณหภูมิสูงสุดที่ 950 องศาเซลเซียส
5. รวบรวมการวิเคราะห์

สูตรการคำนวณในเครื่องวิเคราะห์การสลายตัวทางความร้อนด้วยเทคนิคเทอร์โมกราวิเมตริก

$$\text{Moisture} = ((W+W_1)-W_2)/W \times 100$$

โดย Moisture คือ ร้อยละของปริมาณความชื้น

W_1 คือ น้ำหนักของครุชเบิลพร้อมฝาปิด (กรัม)

W_2 คือ น้ำหนักของครุชเบิลรวมกับน้ำหนักชีวมวลที่เสียไปในช่วง 0-120 องศาเซลเซียส (กรัม)

W คือ น้ำหนักของชีวมวล (กรัม)

$$\text{Ash} = (W_3 \times W_4)/W \times 100$$

โดย Ash คือ ร้อยละของปริมาณเถ้า

W_3 คือ น้ำหนักของครุชเบิลรวมกับน้ำหนักเถ้า (กรัม)

W_4 คือ น้ำหนักของครุชเบิลพร้อมฝาปิด (กรัม)

W คือ น้ำหนักของชีวมวล (กรัม)

$$\text{Volatile matter} = (W_5 \times W_6)/W \times 100$$

โดย Volatile matter คือ ร้อยละของปริมาณสารระเหย

W_5 คือ น้ำหนักของครุชเบิลรวมกับน้ำหนักชีวมวลก่อนเผา (กรัม)

W_6 คือ น้ำหนักของครุชเบิลพร้อมฝาปิดกับน้ำหนักชีวมวลหลังเผา (กรัม)

W คือ น้ำหนักของชีวมวล (กรัม)

$$\text{Fixed carbon} = 100 - \text{Moisture} - \text{Ash} - \text{Volatile matter}$$

โดย Fixed carbon คือ ร้อยละของปริมาณคาร์บอนคงตัว

Moisture คือ ร้อยละของปริมาณความชื้น

Ash คือ ร้อยละของปริมาณเถ้า

Volatile matter คือ ร้อยละของปริมาณสารระเหย

1.2 การวิเคราะห์ปริมาณธาตุของประกอบคาร์บอน ไฮโดรเจน ไนโตรเจน และซัลเฟอร์

วิธีการวิเคราะห์ปริมาณธาตุของประกอบคาร์บอน ไฮโดรเจน ไนโตรเจน และซัลเฟอร์ (Standard Test Methods for Determination of Carbon, Hydrogen and Nitrogen in Analysis Samples of Coal and Carbon in Analysis Samples of Coal and Coke: ASTM D5373) ด้วยเครื่องวิเคราะห์ธาตุ CNH และ S (CHN and S analyzer) จากบริษัท LECO จำกัด ตัวอย่างจะถูกหลอมภายใต้สภาวะบรรยากาศที่มีแก๊สออกซิเจนภายในเตาหลอมแบบเหนี่ยวนำไฟฟ้า (Induction furnace) โดยซัลเฟอร์จะถูกเปลี่ยนให้อยู่ในรูปของซัลเฟอร์ไดออกไซด์ (SO₂) และคาร์บอนจะถูกเปลี่ยนให้เป็นสารประกอบคาร์บอนมอนอกไซด์ (CO) และคาร์บอนไดออกไซด์ (CO₂) หลังจกขั้นตอนการเผาไหม้ แก๊สจะเดินทางผ่านตัวกรองฝุ่นและดูดความชื้นออก เพื่อให้ก๊าซบริสุทธิ์มากขึ้น ในขั้นตอนต่อไปซัลเฟอร์ไดออกไซด์จะถูกวัดที่ชุดตรวจจับสัญญาณแบบอินฟราเรด (Infrared cells) ในเครื่อง หลังจากการวัดค่าซัลเฟอร์ แก๊สคาร์บอนมอนอกไซด์จะถูกออกซิเดชันเป็นแก๊สคาร์บอนไดออกไซด์ และแก๊สซัลเฟอร์ไดออกไซด์เปลี่ยนเป็นซัลเฟอร์ไตรออกไซด์ ปริมาณคาร์บอนจะถูกตรวจวัดสัญญาณด้วยเซลล์อินฟราเรด

1.3 การวิเคราะห์ค่าความร้อน

วิธีการวิเคราะห์ค่าความร้อน (Standard Test Method for Gross Calorific Value of Coal and Coke: ASTM D5865) ด้วยเครื่องบอมบ์แคลอริมิเตอร์ (Bomb Calorimeter) รุ่น AC500 จากบริษัท LECO จำกัด มีหลักการทำงานโดยใส่ตัวอย่างลงไปในกลุ่มบอมบ์ เพื่อเผา จนตัวอย่างลุกไหม้ให้ความร้อนออกมา ความร้อนจะถ่ายเทให้กับน้ำที่ล้อมรอบลูกบอมบ์ เทอร์โมมิเตอร์อิเล็กทรอนิกส์จะวัดการเปลี่ยนอุณหภูมิของน้ำ และรายงานผลค่า พลังงานความร้อนออกมา

2. การศึกษาภาวะที่เหมาะสมต่อการผลิตน้ำมันชีวภาพจากการไพโรไลซิสไม้อย่างพาราและเห้งง้ำมัน ลำปะหลัง

จากการศึกษาภาวะที่เหมาะสมสำหรับกระบวนการผลิตน้ำมันชีวภาพจากการไพโรไลซิสไม้อย่างพาราและเห้งง้ำมันลำปะหลังด้วยด้วยเครื่องปฏิกรณ์เบดนิ่ง จะแสดงผลการทดลองดังตารางที่ ก-1 ก-2 ก-3 และ ก-4

ตารางที่ ก- 1 ผลของขนาดของอนุภาคต่อร้อยละผลได้ของผลิตภัณฑ์โดยน้ำหนักจากการไพโรไลซิสไม้ยางพาราและเห้ง้ามันสำปะหลังในเครื่องปฏิกรณ์เบดนิ่ง

ขนาดอนุภาคเฉลี่ย (มิลลิเมตร)	ผลิตภัณฑ์ของเหลว		ผลิตภัณฑ์แก๊ส		ผลิตภัณฑ์ของแข็ง		ร้อยละของผลิตภัณฑ์เฉลี่ย (ร้อยละโดยน้ำหนัก)		
	ครั้งที่ 1	ครั้งที่ 2	ครั้งที่ 1	ครั้งที่ 2	ครั้งที่ 1	ครั้งที่ 2	ของเหลว	แก๊ส	ของแข็ง
ผลของขนาดของอนุภาคต่อร้อยละผลได้ของผลิตภัณฑ์โดยน้ำหนักจากการไพโรไลซิสไม้ยางพารา									
0.250-0.355	29.89	28.70	34.29	35.02	35.82	36.28	29.29	34.65	36.05
0.355-0.710	32.29	32.82	30.76	31.82	36.95	35.35	32.56	31.29	36.15
0.710-0.850	29.58	30.51	33.44	32.38	36.98	37.11	30.05	32.91	37.04
0.850-2.000	27.13	29.52	36.30	32.05	36.57	38.43	28.32	34.18	37.50
ผลของขนาดของอนุภาคต่อร้อยละผลได้ของผลิตภัณฑ์โดยน้ำหนักจากการไพโรไลซิสเห้ง้ามันสำปะหลัง									
0.250-0.355	26.85	27.65	31.91	28.58	41.24	43.77	27.25	30.25	42.50
0.355-0.710	27.50	28.36	30.76	29.56	41.74	42.08	27.93	30.16	41.91
0.710-0.850	28.05	29.18	29.98	31.18	41.97	39.64	28.61	30.58	40.81
0.850-2.000	30.14	30.67	29.81	29.21	40.05	40.12	30.41	29.51	40.09

ตารางที่ ก- 2 ผลของอุณหภูมิต่อร้อยละผลได้ของผลิตภัณฑ์โดยน้ำหนักจากการไพโรไลซิสไม้ยางพาราและเห้ง้ามันสำปะหลังในเครื่องปฏิกรณ์เบดนิ่ง

อุณหภูมิ (องศาเซลเซียส)	ผลิตภัณฑ์ของเหลว		ผลิตภัณฑ์แก๊ส		ผลิตภัณฑ์ของแข็ง		ร้อยละของผลิตภัณฑ์เฉลี่ย (ร้อยละโดยน้ำหนัก)		
	ครั้งที่ 1	ครั้งที่ 2	ครั้งที่ 1	ครั้งที่ 2	ครั้งที่ 1	ครั้งที่ 2	ของเหลว	แก๊ส	ของแข็ง
ผลของอุณหภูมิต่อร้อยละผลได้ของผลิตภัณฑ์โดยน้ำหนักจากการไพโรไลซิสไม้ยางพารา									
400	32.29	32.82	30.76	31.82	36.95	35.35	32.56	31.29	36.15
500	39.08	39.88	28.83	30.03	32.09	30.09	39.48	29.43	31.09
600	36.24	34.24	34.91	39.64	28.85	26.12	35.24	37.28	27.48
ผลของอุณหภูมิต่อร้อยละผลได้ของผลิตภัณฑ์โดยน้ำหนักจากการไพโรไลซิสเห้ง้ามันสำปะหลัง									
400	30.14	30.67	29.81	29.21	40.05	40.12	30.41	29.51	40.09
500	39.06	41.73	22.69	18.47	38.26	39.80	40.39	20.58	39.03
600	35.48	34.02	29.37	31.23	35.15	34.75	34.75	30.30	34.95

ตารางที่ ก- 3 ผลของเวลาต่อร้อยละผลได้ของผลิตภัณฑ์โดยน้ำหนักจากการไพโรไลซิสไม้ยางพารา และเหง้ามันสำปะหลังในเครื่องปฏิกรณ์แบบนิ่ง

เวลา(นาท)	ผลิตภัณฑ์ของเหลว		ผลิตภัณฑ์แก๊ส		ผลิตภัณฑ์ของแข็ง		ร้อยละของผลิตภัณฑ์เฉลี่ย (ร้อยละโดยน้ำหนัก)		
	ครั้งที่ 1	ครั้งที่ 2	ครั้งที่ 1	ครั้งที่ 2	ครั้งที่ 1	ครั้งที่ 2	ของเหลว	แก๊ส	ของแข็ง
ผลของเวลาต่อร้อยละผลได้ของผลิตภัณฑ์โดยน้ำหนักจากการไพโรไลซิสไม้ยางพารา									
45	39.08	39.88	28.83	30.03	32.09	30.09	39.48	29.43	31.09
60	35.15	36.88	34.69	33.29	30.16	29.83	32.86	37.68	29.46
90	32.98	34.71	37.77	37.51	29.25	27.78	31.90	38.96	29.14
ผลของเวลาต่อร้อยละผลได้ของผลิตภัณฑ์โดยน้ำหนักจากการไพโรไลซิสเหง้ามันสำปะหลัง									
45	39.06	41.73	22.69	18.47	39.06	39.80	40.39	20.58	39.03
60	40.41	42.74	27.50	23.77	40.41	38.28	41.58	21.67	36.75
90	41.04	43.70	28.65	28.98	41.04	35.91	42.37	22.42	35.21

ตารางที่ ก- 4 ผลของอัตราการไหลแก๊สในโตรเจนต่อร้อยละผลได้ของผลิตภัณฑ์โดยน้ำหนักจากการไพโรไลซิสไม้ยางพาราและเหง้ามันสำปะหลังในเครื่องปฏิกรณ์แบบนิ่ง

อัตราการไหลของแก๊สในโตรเจน (มิลลิเมตรต่อนาท)	ผลิตภัณฑ์ของเหลว		ผลิตภัณฑ์แก๊ส		ผลิตภัณฑ์ของแข็ง		ร้อยละของผลิตภัณฑ์เฉลี่ย (ร้อยละโดยน้ำหนัก)		
	ครั้งที่ 1	ครั้งที่ 2	ครั้งที่ 1	ครั้งที่ 2	ครั้งที่ 1	ครั้งที่ 2	ของเหลว	แก๊ส	ของแข็ง
ผลของอัตราการไหลแก๊สในโตรเจนต่อร้อยละผลได้ของผลิตภัณฑ์โดยน้ำหนักจากการไพโรไลซิสไม้ยางพารา									
60	39.08	39.88	28.83	30.03	32.09	30.09	39.48	29.43	31.09
120	32.82	32.89	37.08	38.28	30.09	28.83	32.86	37.68	29.46
180	31.11	32.69	40.71	37.22	28.18	30.09	31.90	38.96	29.14
ผลของอัตราการไหลแก๊สในโตรเจนต่อร้อยละผลได้ของผลิตภัณฑ์โดยน้ำหนักจากการไพโรไลซิสเหง้ามันสำปะหลัง									
60	39.06	41.73	22.69	18.47	38.26	39.80	40.39	20.58	39.03
120	36.37	34.38	28.72	29.59	34.91	36.04	35.37	29.16	35.47
180	34.02	35.28	30.90	30.30	35.08	34.42	34.65	30.60	34.75

3. การศึกษาผลของการเติมตัวเร่งปฏิกิริยา FCC, โดโลไมต์ และนิกเกิล/โดโลไมต์ ที่มีผลต่อผลิตภัณฑ์ที่เกิดขึ้นในภาวะที่เหมาะสม

จากการศึกษาผลของการเติมตัวเร่งปฏิกิริยา FCC, โดโลไมต์ และนิกเกิล/โดโลไมต์ สำหรับกระบวนการผลิตน้ำมันชีวภาพจากการไพโรไลซิสไม้ยางพาราและเห้งน้ำมันสำปะหลังด้วยเครื่องปฏิกรณ์เบดนิ่ง จะแสดงผลการทดลองดังตารางที่ ข-1

ตารางที่ ข- 1 ผลของตัวเร่งปฏิกิริยาต่อร้อยละผลได้ของผลิตภัณฑ์โดยนำหนักจากการไพโรไลซิสไม้ยางพาราและเห้งน้ำมันสำปะหลังในเครื่องปฏิกรณ์เบดนิ่ง

ตัวเร่งปฏิกิริยา (ร้อยละ 10 โดย น้ำหนักต่อชีวมวล)	ผลิตภัณฑ์ ของเหลว		ผลิตภัณฑ์แก๊ส		ผลิตภัณฑ์ของแข็ง		ร้อยละของผลิตภัณฑ์เฉลี่ย (ร้อยละโดยน้ำหนัก)		
	ครั้งที่ 1	ครั้งที่ 2	ครั้งที่ 1	ครั้งที่ 2	ครั้งที่ 1	ครั้งที่ 2	ของเหลว	แก๊ส	ของแข็ง
ผลของตัวเร่งปฏิกิริยาต่อร้อยละผลได้ของผลิตภัณฑ์โดยนำหนักจากการไพโรไลซิสไม้ยางพารา									
ไม่มีตัวเร่งปฏิกิริยา	39.08	39.88	28.83	30.03	32.09	30.09	39.48	29.43	31.09
FCC ใช้แล้ว	33.16	32.69	38.02	36.42	28.83	30.89	32.92	37.22	29.86
แคลไซต์ โดโลไมต์	33.40	34.27	37.07	35.00	29.53	30.73	33.83	36.03	30.13
5% นิกเกิล/โดโลไมต์	28.08	31.00	40.32	37.72	31.60	31.27	29.54	39.02	31.44
10% นิกเกิล/โดโลไมต์	30.53	31.40	39.73	38.87	29.73	29.73	30.97	39.30	29.73
20% นิกเกิล/โดโลไมต์	29.13	31.67	39.67	36.87	31.20	31.47	30.40	38.27	31.33
ผลของตัวเร่งปฏิกิริยาต่อร้อยละผลได้ของผลิตภัณฑ์โดยนำหนักจากการไพโรไลซิสเห้งน้ำมันสำปะหลัง									
ไม่มีตัวเร่งปฏิกิริยา	39.06	41.73	22.69	18.47	38.26	39.80	40.39	20.58	39.03
FCC ใช้แล้ว	34.82	34.89	27.43	29.09	37.75	36.02	34.85	28.26	36.88
แคลไซต์ โดโลไมต์	35.27	34.80	28.13	28.00	36.60	37.20	35.03	28.07	36.90
5% นิกเกิล/โดโลไมต์	30.94	31.74	32.93	32.20	36.13	36.06	31.34	32.57	36.09
10% นิกเกิล/โดโลไมต์	31.93	33.27	33.60	33.13	34.47	33.60	32.60	33.37	34.03
20% นิกเกิล/โดโลไมต์	30.87	32.27	34.40	31.93	34.73	35.80	31.57	33.17	35.27

4. การวิเคราะห์น้ำมันชีวภาพจากการไพโรไลซิสไม้ยางพาราและหัง้ำมันถั่วปะหลังด้วยเครื่องแก๊สโครมาโทกราฟีร่วมกับแมสสเปกโตรมิเตอร์

4.1 แก๊สโครมาโทกราฟี (Gas Chromatography, GC)

แก๊สโครมาโทกราฟีเป็นเทคนิควิเคราะห์ห้องปฏิบัติการประกอบทางเคมีของสาร ซึ่งเป็นเทคนิคที่มีความนิยมน้อยกว่าเนื่องจากสามารถแยกสารตัวอย่างที่มีองค์ประกอบทางเคมีที่ซับซ้อนและหลากหลายได้ นอกจากนี้ยังมีความรวดเร็วและแม่นยำต่อการวิเคราะห์สูง โดยเทคนิคแก๊สโครมาโทกราฟี สามารถแบ่งเป็น 2 วิธีการ คือ การใช้เฟสอยู่กับที่ที่เป็นของแข็ง เรียกว่า “gas-solid chromatography” (GSC) และ การใช้เฟสอยู่กับที่ที่เป็นของเหลว เรียกว่า “gas-liquid chromatography” (GLC) ซึ่งทั้งสองวิธีนี้มีเฟสเคลื่อนที่ที่เป็นแก๊ส นอกจากนี้แก๊สโครมาโทกราฟีใช้ได้กับสารที่สามารถเกิดการระเหยกลายเป็นไอได้ ณ อุณหภูมิของคอลัมน์เท่านั้น จึงทำให้แก๊สโครมาโทกราฟีเป็นเทคนิคที่ใช้แยกสารประกอบทางเคมีหรือสารประกอบอินทรีย์เท่านั้น และแก๊สโครมาโทกราฟีสามารถวิเคราะห์ได้ทั้งเชิงคุณภาพและเชิงปริมาณ โดยทั่วไปมีส่วนประกอบดังนี้

1. แก๊สที่ใช้งานกับเครื่องแก๊สโครมาโทกราฟี มี 3 ชนิด คือ
 - 1.1 แก๊สเฉื่อย ได้แก่ ฮีเลียม อาร์กอน หรือไนโตรเจน ซึ่งใช้เป็นแก๊สตัวพา (Carrier Gases) เพื่อจะใช้พาไอของสารหรือแก๊สตัวอย่างเข้าคอลัมน์
 - 1.2 แก๊สไฮโดรเจนเพื่อใช้ใน Flame Ionization Detector (FID)
 - 1.3 อากาศ เพื่อใช้ผสมกับไฮโดรเจนใน FID
2. ตัวระบายแก๊ส (Gas Traps) และฟิลเตอร์ (Filters) เป็นส่วนช่วยทำให้ระบบของแก๊สที่จะใช้งานสะอาดและบริสุทธิ์ขึ้น ซึ่งมีลักษณะเป็นแบบปลอกกระสุน (Cartridge) คือ
 - 2.1 ตัวระบายคัดขนาดโมเลกุล (Molecular Sieve Trap) ใช้ดูดความชื้น
 - 2.2 ตัวระบายออกซิเจน (Oxygen Trap) เป็นที่จับแก๊สออกซิเจน
 - 2.3 ฟิลเตอร์ไฮโดรคาร์บอน (Hydrocarbon Filter) ใช้จับแก๊สไฮโดรคาร์บอนและไอของน้ำมันสำหรับแก๊สตัวพาควรจะต้องผ่าน Filter อากาศควรจะต้องผ่าน Charcoal Filter
3. ตัวควบคุมอัตราการไหล (Flow Regulator) ทำหน้าที่ควบคุมอัตราการไหลของแก๊สตัวพา
4. ส่วนที่จะฉีดสารเข้าคอลัมน์ (Injection Port) ทำหน้าที่ฉีดสารเข้าคอลัมน์และให้ความร้อนให้สารตัวอย่างเปลี่ยนเป็นเฟสไอ
5. คอลัมน์ (Column) เป็นส่วนที่ใช้สำหรับแยกสารซึ่งสำคัญที่สุด นิยมใช้คอลัมน์ที่ทำจากทองแดง นิกเกิล หรือเหล็กกล้าไร้สนิม อาจอยู่ในรูป U Tube ความยาวของคอลัมน์ประมาณ 1-2 เมตร

เส้นผ่าศูนย์กลาง (Inner Diameter) 3-6 มิลลิเมตร อาจมีการใช้คอลัมน์ที่ทำจากแก้วในการแยกสารสเตียรอยด์ ยา หรือสารประกอบชีวภาพนอกจากนี้ยังมีคอลัมน์ชนิดขนาดรูเล็ก (Capillary Column) ซึ่งมีเส้นผ่าศูนย์กลางประมาณ 1 มิลลิเมตร แบ่งได้เป็น 3 ชนิด ดังนี้

5.1 คอลัมน์ของเฟสหุคหนึ่ง Wall-Coated Open Tubular (WCOT) คอลัมน์ที่มีเฟสหุคหนึ่งเป็นของเหลว เคลือบเป็นฟิล์ม บางๆ (0.1-1 ไมครอน) อยู่ที่ผนังด้านใน ความยาวของคอลัมน์ประมาณ 10-100 เมตร

5.2 คอลัมน์ที่มีตัวรองรับ Support Coated Open Tubular (SCOT) คอลัมน์ที่มีตัวรองรับหรือเมทริกซ์ บรรจุอยู่ภายใน ความยาวของคอลัมน์ ประมาณ 10-100 เมตร

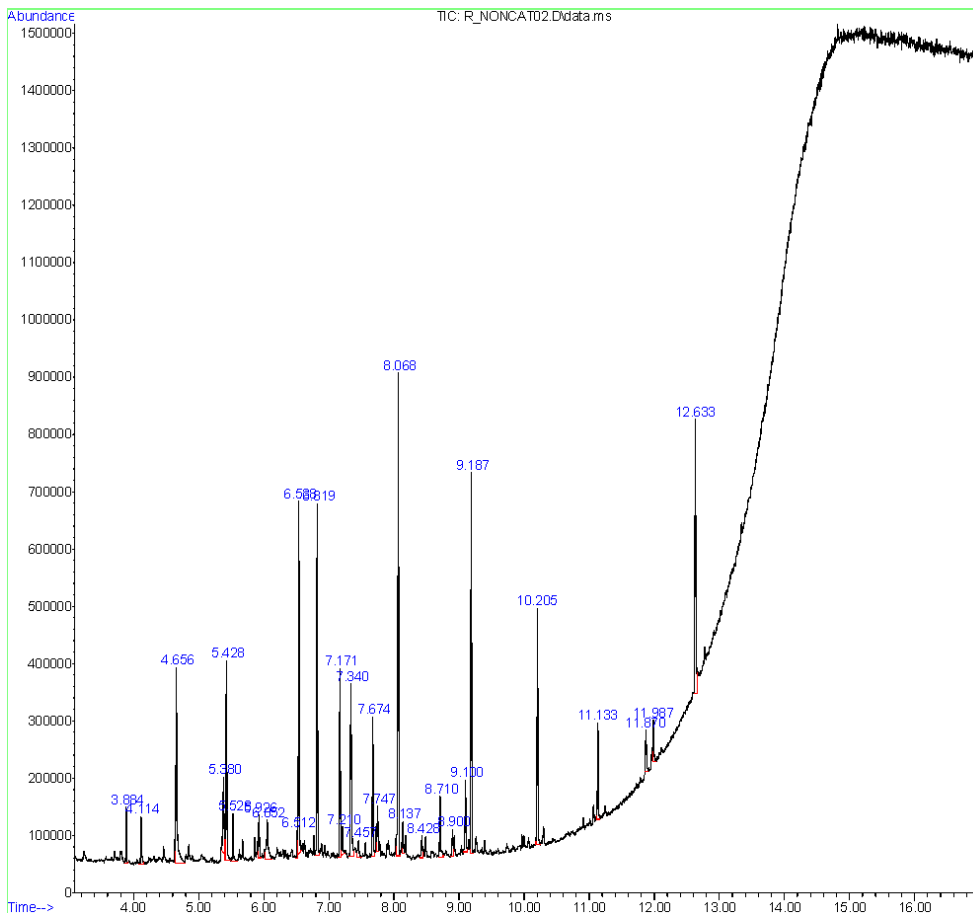
5.3 คอลัมน์ขนาดเล็ก (Micropacked Column) คอลัมน์ขนาดเล็ก มีความยาวประมาณ 0.7-1.0 เมตร

6. ตัวตรวจวัดเอฟไอดี Flame Ionization Detector (FID) สารที่ผ่านจากคอลัมน์จะถูกเผาโดยเปลวไฟ (Flame) ทำให้เกิดการแตกตัวเป็นไอออน ภายในตัวตรวจวัดมีขั้วไฟฟ้า (Electrode) ที่จะจับกับไอออนซึ่งมีผลทำให้เกิดกระแสไฟฟ้าเกิดขึ้นตัวตรวจวัดชนิด FID นี้เป็นชนิดที่นิยมใช้มากที่สุด

4.2 แก๊สโครมาโทกราฟีร่วมกับแมสสเปกโตรมิเตอร์ (Gas Chromatography-Mass Spectrometer, GC-MS)

แก๊สโครมาโทกราฟีร่วมกับแมสสเปกโตรมิเตอร์ เป็นเครื่องมือที่มีการต่อเครื่องแมสสเปกโตรมิเตอร์ร่วมด้วย เพื่อให้มีประสิทธิภาพในการวิเคราะห์ห้องค์ประกอบทางเคมี โดยให้ผลเชิงคุณภาพและเชิงปริมาณที่แม่นยำกว่าแก๊สโครมาโทกราฟี ซึ่งในแมสสเปกโตรมิเตอร์จะมีฐานข้อมูล (Library) เพื่อความถูกต้องโดยไม่จำเป็นต้องใช้สารมาตรฐานเข้ามาเปรียบเทียบ ถือเป็นข้อดีของเทคนิค โดยหลักการการทำงานจะแบ่งเป็นสองส่วนได้แก่ ส่วนของแก๊สโครมาโทกราฟีทำหน้าที่แยกองค์ประกอบของสารผสม โดยอาศัยความแตกต่างของอัตราการเคลื่อนของสารแต่ละชนิดบนเฟสคงที่ภายใต้การพาของเฟสเคลื่อนที่เดียวกัน ส่วนของแมสสเปกโตรมิเตอร์จะได้รับสารประกอบเชิงเดี่ยวจากส่วนของแก๊สโครมาโทกราฟี และทำการกระตุ้นทำให้เกิดการแตกตัวอยู่ในรูปของประจุเรียกว่า ไอออน โมเลกุลาร์ (Molecular ion: M^+ or M^-)

จากการวิเคราะห์น้ำมันชีวภาพจากการไพโรไลซิสไม้ยางพาราและเห้งน้ำมันสำปะหลัง ทั้งที่ไม่มีการเติมตัวเร่งปฏิกิริยาและมีการเติมตัวเร่งปฏิกิริยา FCC, โดโลไมต์ และนิกเกิลโดโลไมต์ร้อยละ 10 โดยน้ำหนักของชีวมวล ด้วยเครื่องแก๊สโครมาโทกราฟีร่วมกับแมสสเปกโตรมิเตอร์ จะแสดงผลการทดลองดังตารางที่ ค-1 ถึง ค-6 สำหรับไม้ยางพารา และตารางที่ ค-7 ถึง ค-12 สำหรับเห้งน้ำมันสำปะหลัง



รูปที่ ค- 1 โครมาโตแกรมน้ำมันชีวภาพจากการไพโรไลซิสไม้ยางพาราที่ไม่มีตัวเร่งปฏิกิริยา

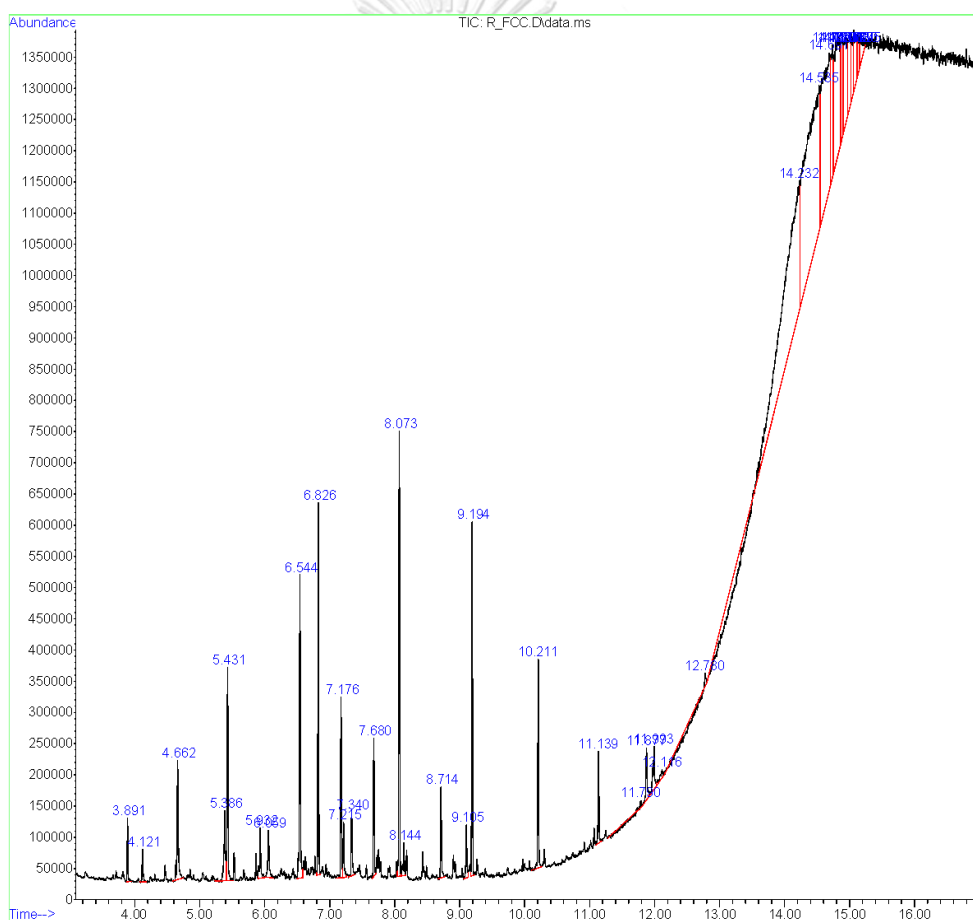
จากรูป ค-1 แสดงโครมาโตแกรมน้ำมันชีวภาพจากการไพโรไลซิสไม้ยางพาราที่ไม่มีตัวเร่งปฏิกิริยา ซึ่งพบองค์ประกอบหลักทางเคมีของน้ำมันชีวภาพ สารประกอบ ไฮโดรคาร์บอน ร้อยละ 44.32, สารประกอบอะโรมาติกร้อยละ 17.79, สารประกอบไนโตรเจนร้อยละ 2.90, สารประกอบออกซิเจนร้อยละ 18.06, แอลกอฮอล์ร้อยละ 12.27 และสารอื่น ๆ ร้อยละ 4.67 โดยแสดงองค์ประกอบต่าง ๆ ที่ตรวจพบดังตารางที่ ค-1

ตารางที่ ค- 1 องค์ประกอบของน้ำมันชีวภาพจากการไพโรไลซิสไม้ยางพาราที่ไม่มีการเติมตัวเร่งปฏิกิริยา

ลำดับที่	เวลา (นาที)	พื้นที่ที่พิก (ร้อยละ)	ชื่อสาร	หมู่ฟังก์ชัน
1	3.884	1.26	Decane	Hydrocarbons (Alkanes)
2	4.114	1.33	1,2-Cyclopentanedione, 3-methyl-	Oxygenic (Ketone)

3	4.656	6.6	Cyclobutanol	(Alcohol)
4	5.380	2.55	Catechol	Aromatic (Alcohol)
5	5.428	5.36	Dodecane	Hydrocarbons (Alkanes)
6	5.528	1.27	1-.beta.-d-Ribofuranosyl-1,2,4-triazole- 3-carboxylic acid	Oxygenic (Acids)
7	5.926	1.19	1,2-Benzenediol, 3-methoxy-	Aromatic (Alcohol)
8	6.052	1.93	Phenol, 4-ethyl-2-methoxy	Aromatic (Phenol)
9	6.512	0.69	Benzenemethanol, 2-(2-aminopropoxy)- 3-methyl-	Aromatic (Alcohol)
10	6.538	7.24	Phenol, 2,6-dimethoxy-	Aromatic (Phenol)
11	6.819	8.46	Tetradecane	Hydrocarbons (Alkanes)
12	7.171	4.49	Benzoic acid, 4-hydroxy-3-methoxy-	Oxygenic (Acids)
13	7.210	0.78	Phenol, 2-methoxy-4-(1-propenyl)-	Aromatic (Phenol)
14	7.340	5.55	D-Allose	(Alcohol)
15	7.457	0.77	1-Methyl-2-phenoxyethylamine	Nitrogenous (Amines)
16	7.674	3.37	Hydroquinone mono-trimethylsilyl ether	Other
17	7.747	1.12	N-Methoxy-1-ribofuranosyl-4- imidazolecarboxylic amide	Nitrogenous (Amide)
18	8.068	11.61	Hexadecane	Hydrocarbons (Alkanes)
19	8.137	0.78	Phenol, 2,6-dimethoxy-4-(2-propenyl)-	Aromatic (Phenol)
20	8.428	0.68	2-Amino-1-(o-hydroxyphenyl)propane	Aromatic (Phenol)
21	8.710	1.77	Phenol, 2,6-dimethoxy-4-(2-propenyl)-	Aromatic (Phenol)
22	8.900	0.8	Ethanone, 1-(4-hydroxy-3,5- dimethoxyphenyl)-	Oxygenic (Ketone)
23	9.100	1.99	3,5-Dimethoxy-4-hydroxyphenylacetic acid	Oxygenic (Acids)
24	9.187	9.1	Octadecane	Hydrocarbons

				(Alkanes)
25	10.205	5.49	Heptadecane	Hydrocarbons (Alkanes)
26	11.133	2.6	Nonadecane	Hydrocarbons (Alkanes)
27	11.870	1.25	Tetrasiloxane, decamethyl-	Other
28	11.987	0.98	Benzo[h]quinoline, 2,4-dimethyl-	Nitrogenous (Pyridines)
29	12.633	8	Bis(2-ethylhexyl) phthalate	Oxygenic (Acids)



รูปที่ ค- 2 โครมาโตแกรมน้ำมันชีวภาพจากการไพโรไลซิสไม้ยางพาราที่มีตัวเร่งปฏิกิริยา FCC

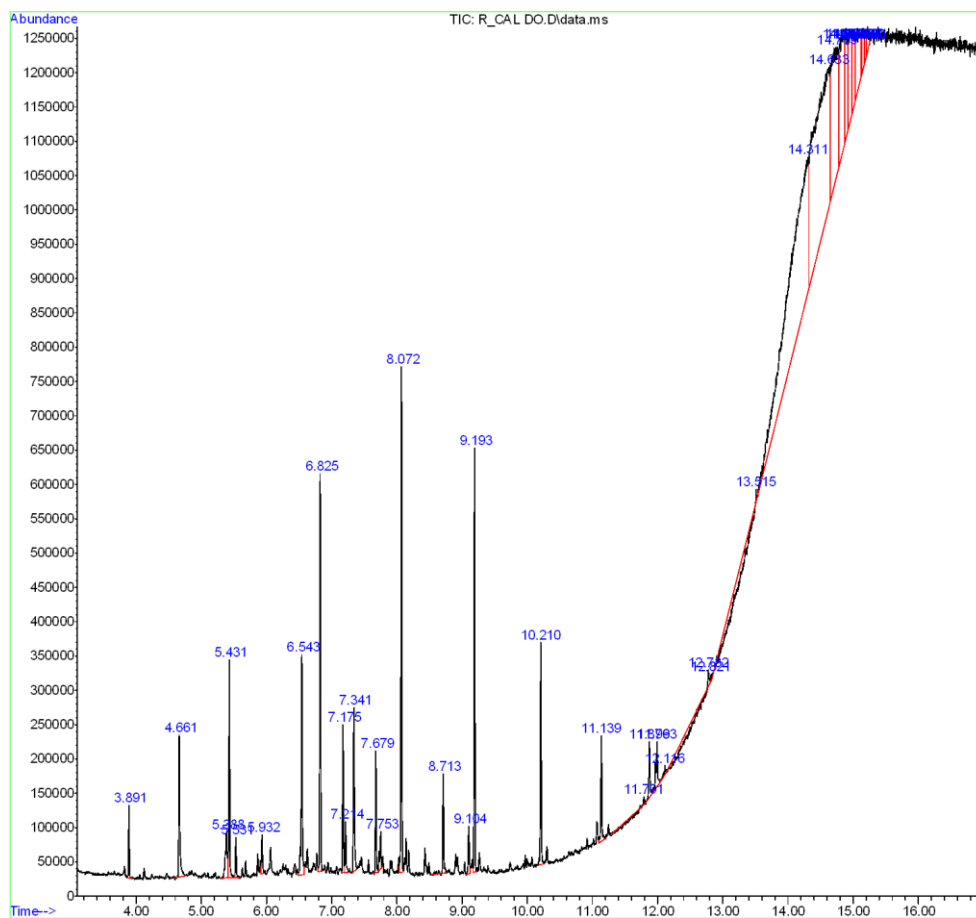
จากรูป ค-2 แสดงโครมาโตแกรมน้ำมันชีวภาพจากการไพโรไลซิสไม้ยางพาราที่ไม่มีตัวเร่งปฏิกิริยา FCC ซึ่งพบองค์ประกอบหลักทางเคมีของน้ำมันชีวภาพ สารประกอบ ไฮโดรคาร์บอนร้อยละ 43.13, สารประกอบอะโรมาติกร้อยละ 20.84, สารประกอบไนโตรเจนร้อยละ 8.21,

สารประกอบออกซิเจนร้อยละ 9.39, และสารอื่น ๆ ร้อยละ 18.44 โดยแสดงองค์ประกอบต่าง ๆ ที่ตรวจพบดังตารางที่ ค-2

ตารางที่ ค- 2 องค์ประกอบของน้ำมันชีวภาพจากการไพโรไลซิสไม้ยางพาราที่มีการเติมตัวเร่งปฏิกิริยา FCC

ลำดับที่	เวลา (นาท)	พื้นที่พีค (ร้อยละ)	ชื่อสาร	หมู่ฟังก์ชัน
1	3.893	0.48	Decane	Hydrocarbons (Alkanes)
2	4.119	0.32	1,2-Cyclopentanedione, 3-methyl-	Oxygenic (Ketone)
3	4.661	1.4	1,3-Propanediamine, N-methyl-	Nitrogenous (Amines)
4	5.385	0.94	Catechol	Aromatic (Alcohol)
5	5.432	1.92	Dodecane	Hydrocarbons (Alkanes)
6	5.931	0.61	1,2-Benzenediol, 3-methoxy-	Aromatic (Benzenes)
7	6.061	0.67	1,2-Benzenediol, 4-methyl-	Aromatic (Benzenes)
8	6.542	1.78	Phenol, 2,6-dimethoxy-	Aromatic (Phenol)
9	6.824	2.79	Tetradecane	Hydrocarbons (Alkanes)
10	7.175	1.55	Dehydroacetic Acid	Oxygenic (Acids)
11	7.214	0.56	Phenol, 2-methoxy-4-(1-propenyl)-	Aromatic (Phenol)
12	7.340	0.68	1,2-Ethanediol, diformate	Oxygenic (Aldehyde)
13	7.682	1.12	5-tert-Butylpyrogallol	Aromatic (Alcohol)
14	8.072	3.62	Hexadecane	Hydrocarbons (Alkanes)
15	8.146	0.36	Phenol, 2,6-dimethoxy-4-(2-propenyl)-	Aromatic (Phenol)
16	8.714	0.84	Phenol, 2,6-dimethoxy-4-(2-propenyl)-	Aromatic (Phenol)
17	9.104	0.55	1-Butanone, 1-(2,4,6-trihydroxy-3-methylphenyl)-	Oxygenic (Ketone)
18	9.195	2.87	Octadecane	Hydrocarbons

				(Alkanes)
19	10.210	1.74	Eicosane	Hydrocarbons (Alkanes)
20	11.137	0.82	Octadecane	Hydrocarbons (Alkanes)
21	11.792	0.2	Cyclotrisiloxane, hexamethyl-	Other
22	11.879	0.64	2-Ethylacridine	Nitrogenous (Pyridines)
23	11.992	0.67	1,2,4-Triazol-3-amine, 5-(1,3,5-trimethyl-4-pyrazolyl)amino-	Nitrogenous (Amines)
24	12.117	0.24	Tris(tert-butyltrimethylsilyloxy)arsane	Other
25	12.781	0.81	Tris(tert-butyltrimethylsilyloxy)arsane	Other
26	14.233	0.32	Cyclotrisiloxane, hexamethyl-	Other
27	14.536	0.21	Silicic acid, diethyl bis(trimethylsilyl) ester	Other
28	14.692	0.62	Silicic acid, diethyl bis(trimethylsilyl) ester	Other
29	14.740	2.9	Cyclotrisiloxane, hexamethyl-	Other
30	14.818	0.79	Cyclotrisiloxane, hexamethyl-	Other



รูปที่ ค- 3 โครมาโตแกรมน้ำมันชีวภาพจากการไพโรไลซิสไม้ยางพาราที่มีตัวเร่งปฏิกิริยาแคลไซน์โดโลไมต์

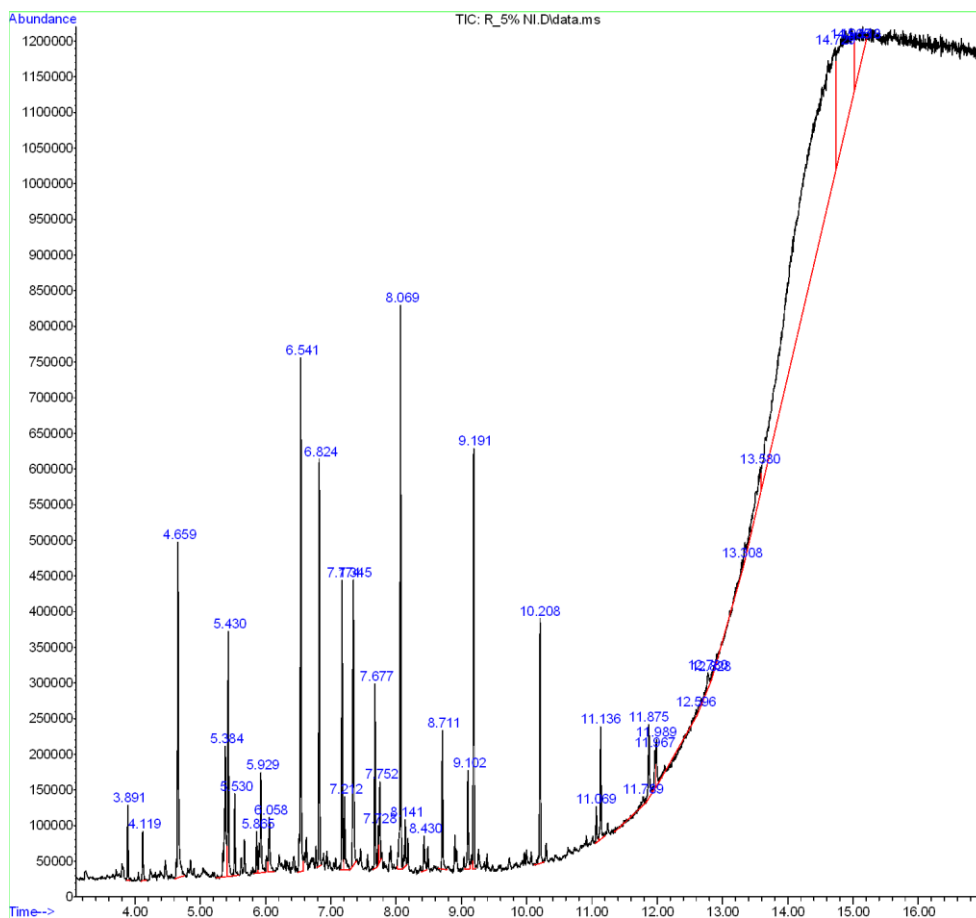
จากรูป ค-3 แสดงโครมาโตแกรมน้ำมันชีวภาพจากการไพโรไลซิสไม้ยางพาราที่มีตัวเร่งปฏิกิริยาแคลไซน์โดโลไมต์ ซึ่งพบองค์ประกอบหลักทางเคมีของน้ำมันชีวภาพ สารประกอบไฮโดรคาร์บอนร้อยละ 36.17, สารประกอบอะโรมาติกร้อยละ 20.90, สารประกอบไนโตรเจนร้อยละ 1.94, สารประกอบออกซิเจนร้อยละ 5.83, แอลกอฮอล์ร้อยละ 8.05 และสารอื่น ๆ ร้อยละ 27.12 โดยแสดงองค์ประกอบต่าง ๆ ที่ตรวจพบดังตารางที่ ค-3

ตารางที่ ค- 3 องค์ประกอบของน้ำมันชีวภาพจากการไพโรไลซิสไม้ยางพาราที่มีการเติมตัวเร่งปฏิกิริยาแคลไซน์โดโลไมต์

ลำดับที่	เวลา (นาที)	พื้นที่ที่พิก (ร้อยละ)	ชื่อสาร	หมู่ฟังก์ชัน
1	3.889	0.5	Decane	Hydrocarbons (Alkanes)

2	4.661	1.48	Cyclobutanol	(Alcohol)
3	5.389	0.82	Catechol	Aromatic (Alcohol)
4	5.432	1.74	Dodecane	Hydrocarbons (Alkanes)
5	5.532	0.37	1,4:3,6-Dianhydro-.alpha.-d- glucopyranose	(Alcohol)
6	5.931	1.38	1,2-Benzenediol, 3-methoxy-	Aromatic (Alcohol)
7	6.542	2.17	Phenol, 2,6-dimethoxy-	Aromatic (Phenol)
8	6.824	3.11	Tetradecane	Hydrocarbons (Alkanes)
9	7.175	1.2	4-Methoxy-2-methyl-1- (methylthio)benzene	Aromatic (Benzenes)
10	7.214	1.49	Phenol, 2-methoxy-4-(1-propenyl)-, (Z)-	Aromatic (Phenol)
11	7.340	1.6	D-Allose	(Alcohol)
12	7.678	0.97	5-tert-Butylpyrogallol	Aromatic (Alcohol)
13	7.752	0.44	Urea, butyl-	Other
14	8.073	4.06	Hexadecane	Hydrocarbons (Alkanes)
15	8.714	0.93	Phenol, 2,6-dimethoxy-4-(2-propenyl)-	Aromatic (Phenol)
16	9.104	2.5	3,5-Dimethoxy-4-hydroxyphenylacetic acid	Oxygenic (Acids)
17	9.191	3.22	Octadecane	Hydrocarbons (Alkanes)
18	10.210	1.88	Eicosane	Hydrocarbons (Alkanes)
19	11.138	1	Octadecane	Hydrocarbons (Alkanes)
20	11.792	0.27	2-Ethylacridine	Nitrogenous (Pyridines)
21	11.875	0.56	8-Methyl-6-nonenamide	Nitrogenous (Amide)
22	11.992	0.67	Tris(tert-butyldimethylsilyloxy)arsane	Other

23	12.117	0.11	Cyclotrisiloxane, hexamethyl-	Other
24	12.781	1.31	Tris(tert-butyldimethylsilyloxy)arsane	Other
25	12.820	0.05	Cyclotrisiloxane, hexamethyl-	Other
26	13.513	2.86	Tris(tert-butyldimethylsilyloxy)arsane	Other
27	14.311	0.23	Cyclotrisiloxane, hexamethyl-	Other
28	14.632	0.23	Tetrasiloxane, decamethyl-	Other
29	14.758	0.62	1-Dimethyl(phenyl)silyloxypentane	Other
30	14.844	0.65	Cyclotrisiloxane, hexamethyl-	Other
31	14.892	0.47	Cyclotrisiloxane, hexamethyl-	Other
32	14.970	0.72	Arsenous acid, tris(trimethylsilyl) ester	Other
33	14.992	0.88	Cyclotrisiloxane, hexamethyl	Other
34	15.061	0.55	Cyclotrisiloxane, hexamethyl	Other
35	15.126	0.39	Tris(tert-butyldimethylsilyloxy)arsane	Other
36	15.148	0.65	Cyclotrisiloxane, hexamethyl	Other
37	15.178	0.44	Tris(tert-butyldimethylsilyloxy)arsane	Other
38	15.221	0.36	4-Methyl-2-trimethylsilyloxy- acetophenone	Other



รูปที่ ค- 4 โครมาโตแกรมน้ำมันชีวภาพจากการไพโรไลซิสไม้ยางพาราที่มีตัวเร่งปฏิกิริยา 5% นิกเกิล/โคโลไมต์

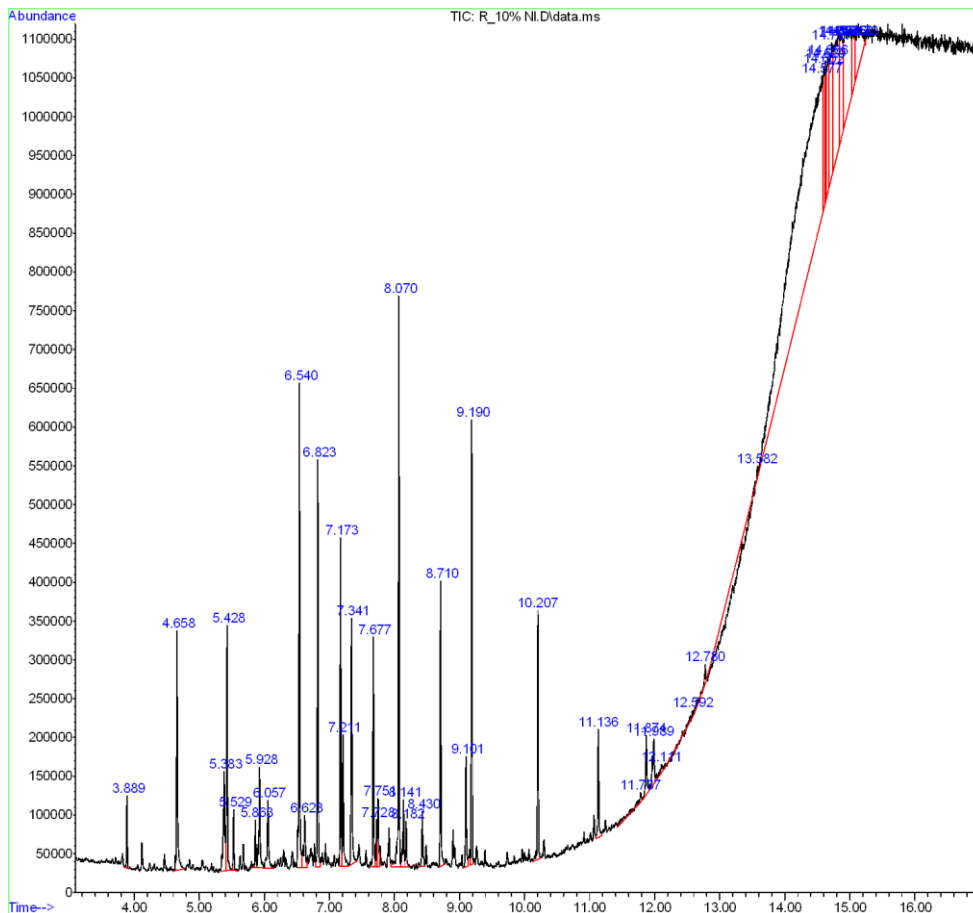
จากรูป ค-4 แสดงโครมาโตแกรมน้ำมันชีวภาพจากการไพโรไลซิสไม้ยางพาราที่มีตัวเร่งปฏิกิริยา 5% นิกเกิล/โคโลไมต์ ซึ่งพบองค์ประกอบหลักทางเคมีของน้ำมันชีวภาพ สารประกอบไฮโดรคาร์บอนร้อยละ 27.43, สารประกอบอะโรมาติกร้อยละ 21.04, สารประกอบไนโตรเจนร้อยละ 8.73, สารประกอบออกซิเจนร้อยละ 6.01, แอลกอฮอล์ร้อยละ 6.17 และสารอื่น ๆ ร้อยละ 30.62 โดยแสดงองค์ประกอบต่าง ๆ ที่ตรวจพบดังตารางที่ ค-4

ตารางที่ ค- 4 องค์ประกอบของน้ำมันชีวภาพจากการไพโรไลซิสไม้ยางพาราที่มีการเติมตัวเร่งปฏิกิริยา 5% นิกเกิล/โคโลไมต์

ลำดับที่	เวลา (นาที)	พื้นที่ที่พิก (ร้อยละ)	ชื่อสาร	หมู่ฟังก์ชัน
1	3.889	0.43	Decane	Hydrocarbons (Alkanes)

2	4.119	0.38	1,2-Cyclopentanedione, 3-methyl-	Oxygenic (Ketone)
3	4.660	2.76	1,3-Propanediamine, N-methyl-	Nitrogenous (Amines)
4	5.384	1.5	Catechol	Aromatic (Alcohol)
5	5.428	1.77	Dodecane	Hydrocarbons (Alkanes)
6	5.528	0.55	1,4:3,6-Dianhydro-.alpha.-d-glucopyranose	(Alcohol)
7	5.866	0.31	1,2-Benzenediol, 3-methyl-	Aromatic (Alcohol)
8	5.931	1.01	1,2-Benzenediol, 3-methoxy-	Aromatic (Alcohol)
9	6.056	0.59	1,2-Benzenediol, 4-methyl-	Aromatic (Alcohol)
10	6.542	3.68	Phenol, 2,6-dimethoxy-	Aromatic (Phenol)
11	6.824	2.6	Tetradecane	Hydrocarbons (Alkanes)
12	7.175	1.87	3-Hydroxy-4-methoxybenzoic acid	Oxygenic (Acids)
13	7.214	0.64	Phenol, 2-methoxy-4-(1-propenyl)-	Aromatic (Phenol)
14	7.344	2.56	D-Allose	(Alcohol)
15	7.678	1.22	4-Ethylbiphenyl	Aromatic (Benzenes)
16	7.730	0.21	(+)-s-2-Phenethanamine, 1-methyl-N-vanillyl-	Nitrogenous (Amines)
17	7.752	0.54	N-Acetyl-d-serine	Other
18	8.068	3.75	Hexadecane	Hydrocarbons (Alkanes)
19	8.142	0.4	Phenol, 2,6-dimethoxy-4-(2-propenyl)-	Aromatic (Phenol)
20	8.428	0.33	Phenol, 2,6-dimethoxy-4-(2-propenyl)-	Aromatic (Phenol)
21	8.710	0.93	Phenol, 2,6-dimethoxy-4-(2-propenyl)-	Aromatic (Phenol)
22	9.100	0.78	3,5-Dimethoxy-4-hydroxyphenylacetic acid	Oxygenic (Acids)
23	9.191	2.75	Octadecane	Hydrocarbons (Alkanes)
24	10.210	1.69	Eicosane	Hydrocarbons

				(Alkanes)
25	11.068	0.26	Octadecanamide	Nitrogenous (Amide)
26	11.137	0.84	Octadecane	Hydrocarbons (Alkanes)
27	11.788	0.13	Benzo[h]quinoline, 2,4-dimethyl-	Nitrogenous (Pyridines)
28	11.874	0.74	9-Octadecenamide, (Z)-	Nitrogenous (Amide)
29	11.965	0.3	Benzo[h]quinoline, 2,4-dimethyl-	Nitrogenous (Pyridines)
30	11.987	0.39	Tris(tert-butyldimethylsilyloxy)arsane	Other
31	12.594	0.21	Cyclotrisiloxane, hexamethyl-	Other
32	12.781	0.41	Tris(tert-butyldimethylsilyloxy)arsane	Other
33	12.828	0.03	Tris(tert-butyldimethylsilyloxy)arsane	Other
34	13.309	0.26	Silicic acid, diethyl bis(trimethylsilyl) ester	Other
35	13.578	1.52	Tris(tert-butyldimethylsilyloxy)arsane	Other
36	14.727	8.97	Cyclotrisiloxane, hexamethyl-	Other
37	14.965	0.81	Tetrasiloxane, decamethyl-	Other
38	15.117	2.3	Arsenous acid, tris(trimethylsilyl) ester	Other



รูปที่ ค- 5 โครมาโตแกรมน้ำมันชีวภาพจากการไพโรไลซิสไม้ยางพาราที่มีตัวเร่งปฏิกิริยา 10% นิกเกิล/โคโลไมต์

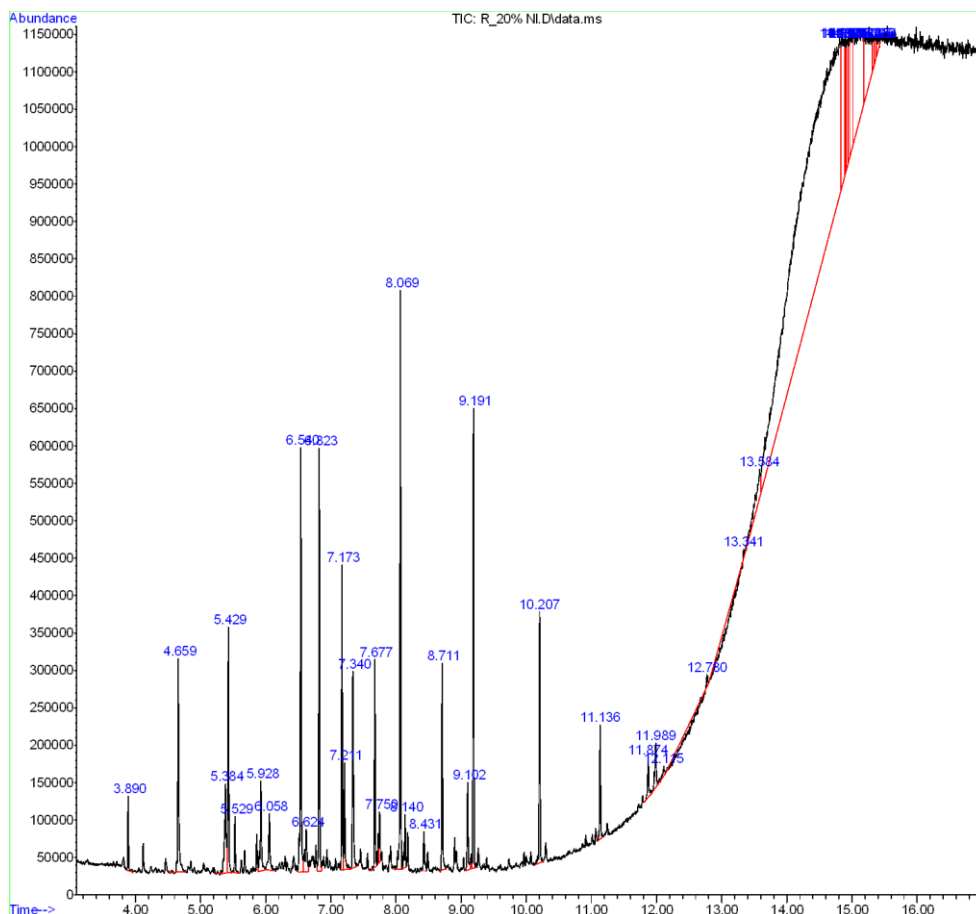
จากรูป ค-5 แสดงโครมาโตแกรมน้ำมันชีวภาพจากการไพโรไลซิสไม้ยางพาราที่มีตัวเร่งปฏิกิริยา 10% นิกเกิล/โคโลไมต์ ซึ่งพบองค์ประกอบหลักทางเคมีของน้ำมันชีวภาพ สารประกอบไฮโดรคาร์บอนร้อยละ 28.51, สารประกอบอะโรมาติกร้อยละ 22.52, สารประกอบไนโตรเจนร้อยละ 5.76, สารประกอบออกซิเจนร้อยละ 6.92, แอลกอฮอล์ร้อยละ 9.02 และสารอื่น ๆ ร้อยละ 27.27 โดยแสดงองค์ประกอบต่าง ๆ ที่ตรวจพบดังตารางที่ ค-5

ตารางที่ ค- 5 องค์ประกอบของน้ำมันชีวภาพจากการไพโรไลซิสไม้ยางพาราที่มีการเติมตัวเร่งปฏิกิริยา 10% นิกเกิล/โคโลไมต์

ลำดับที่	เวลา (นาที)	พื้นที่ที่พิก (ร้อยละ)	ชื่อสาร	หมู่ฟังก์ชัน
1	3.889	0.43	Decane	Hydrocarbons (Alkanes)

2	4.656	2.07	Cyclobutanol	(Alcohol)
3	5.385	1.25	Catechol	Aromatic (Alcohol)
4	5.428	1.86	Dodecane	Hydrocarbons (Alkanes)
5	5.528	0.41	1,4:3,6-Dianhydro-.alpha.-d- glucopyranose	(Alcohol)
6	5.861	0.32	1,2-Benzenediol, 3-methyl-	Aromatic (Alcohol)
7	5.926	1.03	1,2-Benzenediol, 3-methoxy-	Aromatic (Alcohol)
8	6.056	0.83	1,2-Benzenediol, 4-methyl-	Aromatic (Alcohol)
9	6.542	3.78	Phenol, 2,6-dimethoxy-	Aromatic (Phenol)
10	6.624	0.69	Phenol, 3,4-dimethoxy-	Aromatic (Phenol)
11	6.824	2.89	Tetradecane	Hydrocarbons (Alkanes)
12	7.171	2.17	Benzoic acid, 4-hydroxy-3-methoxy	Oxygenic (Acids)
13	7.210	1.1	Phenol, 2-methoxy-4-(1-propenyl)-	Aromatic (Phenol)
14	7.340	2.25	3,4-Altrosan	(Alcohol)
15	7.678	1.69	1,1'-Biphenyl, 2-ethyl-	Aromatic (Benzenes)
16	7.730	0.33	4-Amino-2,3-xyleneol	Other
17	7.752	0.59	Ethanimidic acid, ethyl ester	Oxygenic (Acids)
18	8.068	4.1	Hexadecane	Hydrocarbons (Alkanes)
19	8.142	0.65	Phenol, 2,6-dimethoxy-4-(2-propenyl)-	Aromatic (Phenol)
20	8.181	0.35	Benzenepropanenitrile, .beta.-phenyl-	Nitrogenous (Nitriles)
21	8.432	0.47	Phenol, 2,6-dimethoxy-4-(2-propenyl)-	Aromatic (Phenol)
22	8.710	2.02	N-(4-Methoxyphenyl)-2-hydroxyimino- acetamide	Nitrogenous (Amide)
23	9.100	0.87	3,5-Dimethoxy-4-hydroxyphenylacetic acid	Oxygenic (Acids)
24	9.191	2.96	Octadecane	Hydrocarbons (Alkanes)

25	10.205	1.8	Eicosane	Hydrocarbons (Alkanes)
26	11.137	0.91	Eicosane	Hydrocarbons (Alkanes)
27	11.788	0.38	Cyclotrisiloxane, hexamethyl-	Other
28	11.874	0.65	2-Ethylacridine	Nitrogenous (Pyridines)
29	11.987	0.67	Tris(tert-butyl dimethylsilyloxy)arsane	Other
30	12.113	0.15	Tris(tert-butyl dimethylsilyloxy)arsane	Other
31	12.594	0	Tris(tert-butyl dimethylsilyloxy)arsane	Other
32	12.781	0.28	Cyclotrisiloxane, hexamethyl-	Other
33	13.583	0.7	1-Dimethyl(phenyl)silyloxypentane	Other
34	14.575	0.7	Trimethyl[4-(2-methyl-4-oxo-2-pentyl)phenoxy]silane	Other
35	14.601	1.61	Methyltris(trimethylsiloxy)silane	Other
36	14.627	1.72	Arsenous acid, tris(trimethylsilyl) ester	Other
37	14.666	1.95	1,4-Bis(trimethylsilyl)benzene	Other
38	14.727	0.54	Trimethyl[4-(2-methyl-4-oxo-2-pentyl)phenoxy]silane	Other
39	14.827	0.5	Tetrasiloxane, decamethyl-	Other
40	14.853	0.64	Methyltris(trimethylsiloxy)silane	Other
41	14.944	0.83	Trimethyl[4-(2-methyl-4-oxo-2-pentyl)phenoxy]silane	Other
42	15.048	1.14	Tetrasiloxane, decamethyl-	Other
43	15.130	2.16	1,4-Bis(trimethylsilyl)benzene	Other



รูปที่ ค- 6 โครมาโตแกรมน้ำมันชีวภาพจากการไพโรไลซิสไม้ยางพาราที่มีตัวเร่งปฏิกิริยา 20% นิกเกิล/โคโลไมต์

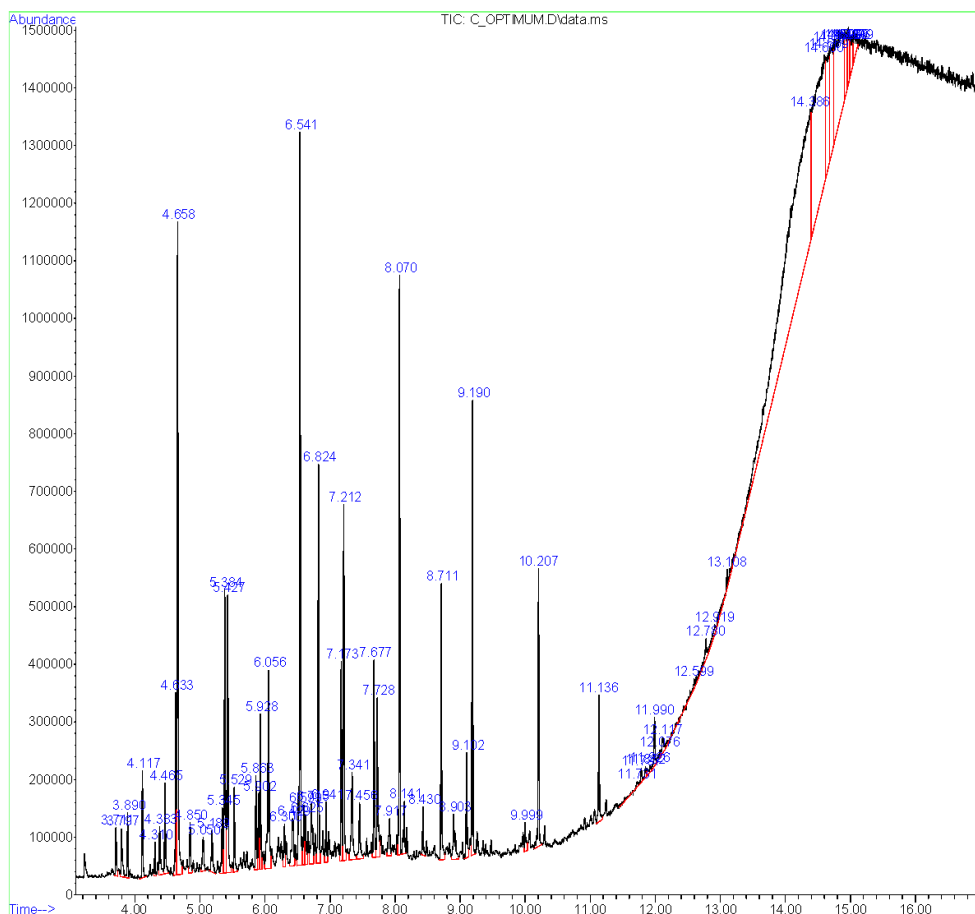
จากรูป ค-6 แสดงโครมาโตแกรมน้ำมันชีวภาพจากการไพโรไลซิสไม้ยางพาราที่มีตัวเร่งปฏิกิริยา 20% นิกเกิล/โคโลไมต์ ซึ่งพบองค์ประกอบหลักทางเคมีของน้ำมันชีวภาพ สารประกอบไฮโดรคาร์บอนร้อยละ 28.76, สารประกอบอะโรมาติกร้อยละ 20.82, สารประกอบไนโตรเจนร้อยละ 3.57, สารประกอบออกซิเจนร้อยละ 6.17, แอลกอฮอล์ร้อยละ 4.23 และสารอื่น ๆ ร้อยละ 36.46 โดยแสดงองค์ประกอบต่าง ๆ ที่ตรวจพบดังตารางที่ ค-6

ตารางที่ ค- 6 องค์ประกอบของน้ำมันชีวภาพจากการไพโรไลซิสไม้ยางพาราที่มีการเติมตัวเร่งปฏิกิริยา 20% นิกเกิล/โคโลไมต์

ลำดับที่	เวลา (นาที)	พื้นที่ที่พิก (ร้อยละ)	ชื่อสาร	หมู่ฟังก์ชัน
1	3.889	0.39	Decane	Hydrocarbons (Alkanes)

2	4.660	1.52	2-Propanamine	Nitrogenous (Amines)
3	5.384	0.93	Catechol	Aromatic (Alcohol)
4	5.428	1.46	Dodecane	Hydrocarbons (Alkanes)
5	5.527	0.32	1,4:3,6-Dianhydro-.alpha.-d- glucopyranose	(Alcohol)
6	5.926	0.74	1,2-Benzenediol, 3-methoxy-	Aromatic (Benzenes)
7	6.056	0.56	1,2-Benzenediol, 4-methyl-	Aromatic (Benzenes)
8	6.542	2.37	Phenol, 2,6-dimethoxy-	Aromatic (Phenol)
9	6.624	0.54	Phenol, 3,4-dimethoxy-	Aromatic (Phenol)
10	6.824	2.4	Tetradecane	Hydrocarbons (Alkanes)
11	7.171	0.58	Benzoic acid, 4-hydroxy-3-methoxy	Oxygenic (Acids)
12	7.210	0.7	Phenol, 2-methoxy-4-(1-propenyl)-, (Z)-	Aromatic (Phenol)
13	7.340	1.48	D-Allose	(Alcohol)
14	7.678	1.13	5-tert-Butylpyrogallol	Aromatic (Alcohol)
15	7.752	0.3	d-Glycero-d-ido-heptose	Oxygenic (Aldehyde)
16	8.068	3.29	Hexadecane	Hydrocarbons (Alkanes)
17	8.142	0.39	Phenol, 2,6-dimethoxy-4-(2-propenyl)-	Aromatic (Phenol)
18	8.432	0.32	Phenol, 2,6-dimethoxy-4-(2-propenyl)-	Aromatic (Phenol)
19	8.710	1.19	Phenol, 2,6-dimethoxy-4-(2-propenyl)-	Aromatic (Phenol)
20	9.100	0.59	1-Butanone, 1-(2,4,6-trihydroxy-3- methylphenyl)-	Oxygenic (Ketone)
21	9.191	2.51	Octadecane	Hydrocarbons (Alkanes)
22	10.205	1.51	Eicosane	Hydrocarbons (Alkanes)
23	11.137	0.69	Eicosane	Hydrocarbons (Alkanes)

24	11.874	0.31	Cyclotrisiloxane, hexamethyl-	Other
25	11.987	0.4	Tris(tert-butyldimethylsilyloxy)arsane	Other
26	12.113	0.12	Cyclotrisiloxane, hexamethyl-	Other
27	12.780	0.8	Cyclotrisiloxane, hexamethyl-	Other
28	13.340	1.16	2-(Acetoxymethyl)-3-(methoxycarbonyl)biphenylene	Oxygenic (Acids)
29	13.583	0.97	Tris(tert-butyldimethylsilyloxy)arsane	Other
30	14.814	0.38	Tetrasiloxane, decamethyl-	Other
31	14.844	2.98	Arsenous acid, tris(trimethylsilyl) ester	Other
32	14.900	1.32	Trimethyl[4-(2-methyl-4-oxo-2-pentyl)phenoxy]silane	Other
33	14.926	1.18	Trimethyl[4-(2-methyl-4-oxo-2-pentyl)phenoxy]silane	Other
34	14.957	1.15	Tris(tert-butyldimethylsilyloxy)arsane	Other
35	14.978	2.12	1,1,1,3,5,5,5-Heptamethyltrisiloxane	Other
36	15.143	0.56	1,2-Bis(trimethylsilyl)benzene	Other
37	15.265	2.36	Trimethyl[4-(1-methyl-1-methoxyethyl)phenoxy]silane	Other
38	15.325	0.35	Tris(tert-butyldimethylsilyloxy)arsane	Other
39	15.364	0.31	Trimethyl[4-(2-methyl-4-oxo-2-pentyl)phenoxy]silane	Other
40	15.386	0.22	Trimethyl[4-(2-methyl-4-oxo-2-pentyl)phenoxy]silane	Other



รูปที่ ค- 7 โครมาโตแกรมน้ำมันชีวภาพจากการไพโรไลซิสแห้งมันสำปะหลังที่ไม่มีตัวเร่งปฏิกิริยา

จากรูป ค-7 แสดงโครมาโตแกรมน้ำมันชีวภาพจากการไพโรไลซิสแห้งมันสำปะหลังที่ไม่มีตัวเร่งปฏิกิริยา ซึ่งพบองค์ประกอบหลักทางเคมีของน้ำมันชีวภาพ สารประกอบ ไฮโดรคาร์บอน ร้อยละ 26.76, สารประกอบอะโรมาติกร้อยละ 29.96, สารประกอบไนโตรเจนร้อยละ 8.39, สารประกอบออกซิเจนร้อยละ 10.09, แอลกอฮอล์ร้อยละ 13.59 และสารอื่น ๆ ร้อยละ 11.21 โดยแสดงองค์ประกอบต่าง ๆ ที่ตรวจพบดังตารางที่ ค-7

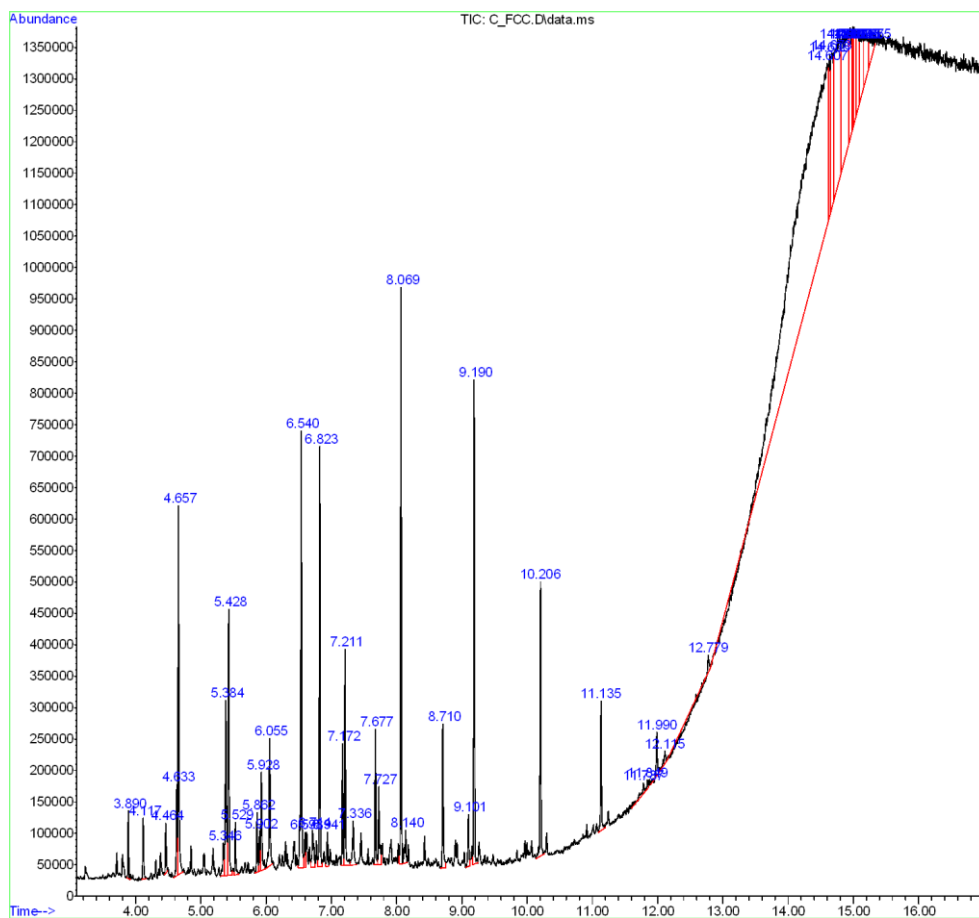
ตารางที่ ค- 7 องค์ประกอบของน้ำมันชีวภาพจากการไพโรไลซิสแห้งมันสำปะหลังที่ไม่มีสารเติมตัวเร่งปฏิกิริยา

ลำดับที่	เวลา (นาที)	พื้นที่พีค (ร้อยละ)	ชื่อสาร	หมู่ฟังก์ชัน
1	3.711	0.3	Phenol	Aromatic (Phenol)
2	3.798	0.4	Cyclopentanol	(Alcohol)
3	3.889	0.34	Decane	Hydrocarbons

				(Alkanes)
4	4.118	0.64	1,2-Cyclopentanedione, 3-methyl-	Oxygenic (Ketone)
5	4.309	0.19	Phenol, 2-methyl-	Aromatic (Phenol)
6	4.383	0.42	Butanoic acid, 2-butoxy-1-methyl-2-oxoethyl ester	Oxygenic (Acids)
7	4.465	0.67	Phenol, 3-methyl-	Aromatic (Phenol)
8	4.634	1.09	Phenol, 2-methoxy-	Aromatic (Phenol)
9	4.656	4.2	1,3-Propanediamine, N-methyl-	Nitrogenous (Amines)
10	4.851	0.37	2-Cyclopenten-1-one, 3-ethyl-2-hydroxy-	Oxygenic (Ketone)
11	5.051	0.35	Phenol, 2,5-dimethyl-	Aromatic (Phenol)
12	5.189	0.37	Phenol, 3,4-dimethyl-	Aromatic (Phenol)
13	5.345	0.48	5-Hydroxymethyldihydrofuran-2-one	Oxygenic (Ketone)
14	5.384	0.2	Catechol	Aromatic (Alcohol)
15	5.428	2.11	Dodecane	Hydrocarbons (Alkanes)
16	5.527	5.5	1,4:3,6-Dianhydro- α -D-glucopyranose	(Alcohol)
17	5.861	0.59	1,2-Benzenediol, 3-methyl-	Aromatic (Alcohol)
18	5.905	0.46	Hydroquinone	Oxygenic (Ketone)
19	5.926	0.58	1,2-Benzenediol, 3-methoxy-	Aromatic (Alcohol)
20	6.056	1.97	Phenol, 4-ethyl-2-methoxy	Aromatic (Phenol)
21	6.299	0.35	2-Methoxy-4-vinylphenol	Aromatic (Phenol)
22	6.429	0.06	Benzaldehyde, 2-fluoro	Other
23	6.542	0.55	Phenol, 2,6-dimethoxy-	Aromatic (Phenol)
24	6.598	0.44	Phenol, 2-methoxy-3-(2-propenyl)-	Aromatic (Phenol)
25	6.624	0.41	Phenol, 3,4-dimethoxy-	Aromatic (Phenol)
26	6.715	0.71	1,3-Benzenediol, 4-ethyl-	Aromatic (Alcohol)
27	6.824	2.45	Tetradecane	Hydrocarbons (Alkanes)

28	6.941	0.43	Phenol, 2-methoxy-4-(1-propenyl)-	Aromatic (Phenol)
29	7.175	1.15	3-Hydroxy-4-methoxybenzoic acid	Oxygenic (Acids)
30	7.214	1.06	trans-Isoeugenol	Aromatic (Phenol)
31	7.340	0.9	.beta.-D-Glucopyranose, 1,6-anhydro-	(Alcohol)
32	7.457	0.54	Apocynin	Oxygenic (Ketone)
33	7.678	0.62	5-tert-Butylpyrogallol	Aromatic (Alcohol)
34	7.730	1.07	Homovanillyl alcohol	Aromatic (Alcohol)
35	7.916	0.39	2,3,5,6-Tetrafluoroanisole	Other
36	8.068	3.19	Hexadecane	Hydrocarbons (Alkanes)
37	8.142	0.44	Phenol, 2,6-dimethoxy-4-(2-propenyl)-	Aromatic (Phenol)
38	8.432	0.32	Phenol, 2,6-dimethoxy-4-(2-propenyl)	Aromatic (Phenol)
39	8.710	1.69	Phenol, 2,6-dimethoxy-4-(2-propenyl)	Aromatic (Phenol)
40	8.905	0.59	1-(4-hydroxy-3,5-dimethoxyphenyl)	Aromatic (Phenol)
41	9.100	0.72	3,5-Dimethoxy-4-hydroxyphenylacetic acid	Oxygenic (Acids)
42	9.191	2.72	Octadecane	Hydrocarbons (Alkanes)
43	9.997	0.27	n-Hexadecanoic acid	Oxygenic (Acids)
44	10.205	1.71	Eicosane	Hydrocarbons (Alkanes)
45	11.137	0.87	Eicosane	Hydrocarbons (Alkanes)
46	11.731	0.1	Cyclotrisiloxane, hexamethyl-	Other
47	11.788	0.11	Tris(tert-butyl dimethylsilyloxy)arsane	Other
48	11.853	0.09	Heptasiloxane, 1,1,3,3,5,5,7,7,9,9,11,11,13,13- tetradecamethyl-	Other
49	11.926	0.11	Cyclotrisiloxane, hexamethyl-	Other
50	11.991	0.36	Heptasiloxane,	Other

			1,1,3,3,5,5,7,7,9,9,11,11,13,13-tetradecamethyl-	
51	12.078	0.09	Cyclotrisiloxane, hexamethyl-	Other
52	12.117	0.19	Tris(tert-butyldimethylsilyloxy)arsan	Other
53	12.598	0.17	Cyclotrisiloxane, hexamethyl-	Other
54	12.780	0.35	Tris(tert-butyldimethylsilyloxy)arsane	Other
55	12.919	0.2	Tris(tert-butyldimethylsilyloxy)arsane	Other
56	13.110	0.27	Heptasiloxane, 1,1,3,3,5,5,7,7,9,9,11,11,13,13-tetradecamethyl-	Other
57	14.384	0.07	Tris(tert-butyldimethylsilyloxy)arsane	Other
58	14.601	0.46	Cyclotrisiloxane, hexamethyl-	Other
59	14.671	0.59	Cyclotrisiloxane, hexamethyl-	Other
60	14.736	0.06	Tris(tert-butyldimethylsilyloxy)arsane	Other
61	14.848	0.13	Cyclotrisiloxane, hexamethyl-	Other
62	14.918	0.06	Cyclotrisiloxane, hexamethyl-	Other
63	14.970	0.59	Tris(tert-butyldimethylsilyloxy)arsane	Other
64	14.996	0.66	Cyclotrisiloxane, hexamethyl-	Other
65	15.048	0.5	Cyclotrisiloxane, hexamethyl-	Other



รูปที่ ค- 8 โครมาโตแกรมน้ำมันชีวภาพจากการไพโรไลซิสเหง้ามันสำปะหลังที่มีตัวเร่งปฏิกิริยา FCC

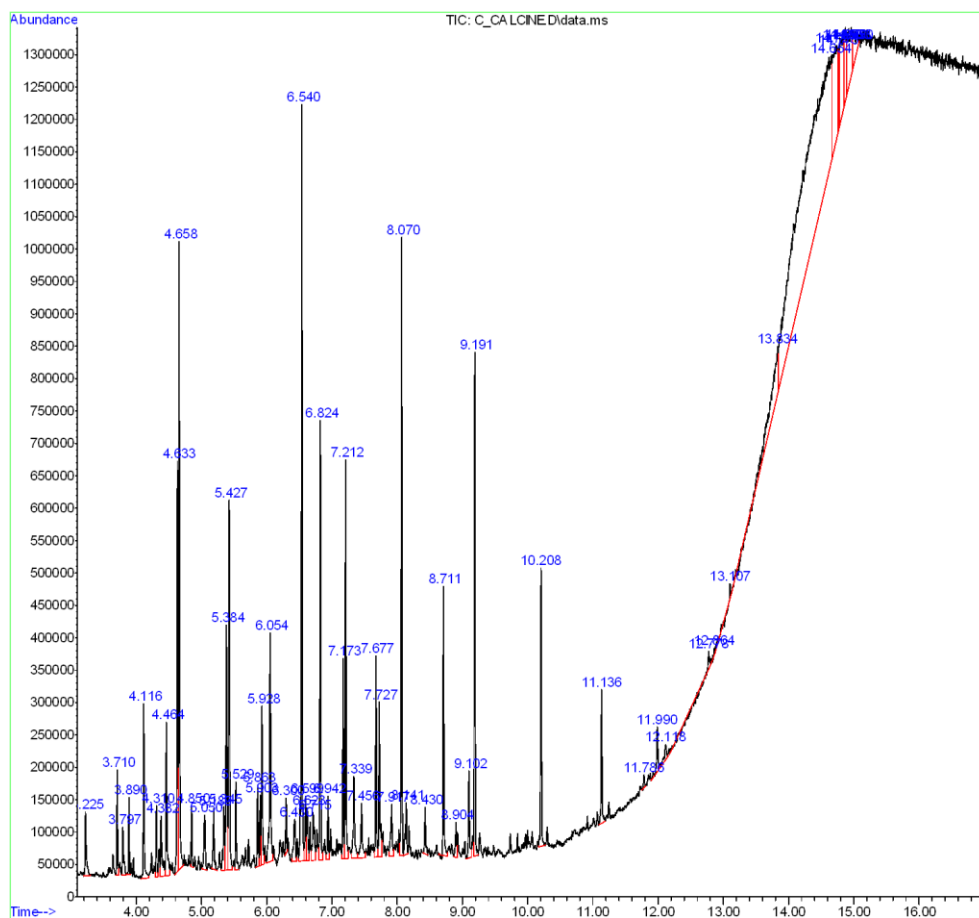
จากรูป ค-8 แสดงโครมาโตแกรมน้ำมันชีวภาพจากการไพโรไลซิสเหง้ามันสำปะหลังที่มีตัวเร่งปฏิกิริยา FCC ซึ่งพบองค์ประกอบหลักทางเคมีของน้ำมันชีวภาพ สารประกอบไฮโดรคาร์บอนร้อยละ 21.68, สารประกอบอะโรมาติกร้อยละ 31.92, สารประกอบไนโตรเจนร้อยละ 5.00, สารประกอบออกซิเจนร้อยละ 3.28, แอลกอฮอล์ร้อยละ 1.67 และสารอื่น ๆ ร้อยละ 36.45 โดยแสดงองค์ประกอบต่าง ๆ ที่ตรวจพบดังตารางที่ ค-8

ตารางที่ ค- 8 องค์ประกอบของน้ำมันชีวภาพจากการไพโรไลซิสเหง้ามันสำปะหลังที่มีการเติมตัวเร่งปฏิกิริยา FCC

ลำดับที่	เวลา (นาที)	พื้นที่พีค (ร้อยละ)	ชื่อสาร	หมู่ฟังก์ชัน
1	3.889	0.35	Decane	Hydrocarbons (Alkanes)

2	4.119	0.38	1,2-Cyclopentanedione, 3-methyl-	Oxygenic (Ketone)
3	4.466	0.33	Phenol, 3-methyl-	Aromatic (Phenol)
4	4.635	0.53	Phenol, 2-methoxy-	Aromatic (Phenol)
5	4.656	2.45	1,3-Propanediamine, N-methyl-	Nitrogenous (Amines)
6	5.346	0.28	Glycyl-L-norleucine, N-dimethylaminomethylene-, ethyl ester	Other
7	5.385	1.39	Catechol	Aromatic (Alcohol)
8	5.428	1.87	Dodecane	Hydrocarbons (Alkanes)
9	5.528	0.35	1,4:3,6-Dianhydro- α -D-glucopyranose	(Alcohol)
10	5.861	0.4	1,2-Benzenediol, 3-methyl-	Aromatic (Alcohol)
11	5.901	0.24	3(2H)-Pyridazinone, 6-methyl-	Oxygenic (Ketone)
12	5.927	0.81	1,2-Benzenediol, 3-methoxy-	Aromatic (Alcohol)
13	6.057	1.09	1,2-Benzenediol, 4-methyl-	Aromatic (Alcohol)
14	6.538	2.89	Phenol, 2,6-dimethoxy-	Aromatic (Phenol)
15	6.598	0.27	3-Allyl-6-methoxyphenol	Aromatic (Phenol)
16	6.716	0.43	1,3-Benzenediol, 4-ethyl-	Aromatic (Alcohol)
17	6.824	2.56	Tetradecane	Hydrocarbons (Alkanes)
18	6.941	0.24	trans-Isoeugenol	Aromatic (Phenol)
19	7.171	0.73	1,2,4-Trimethoxybenzene	Aromatic (Benzenes)
20	7.210	2.39	trans-Isoeugenol	Aromatic (Phenol)
21	7.335	0.47	D-Allose	(Alcohol)
22	7.678	0.82	1,1'-Biphenyl, 2-ethyl-	Aromatic (Benzenes)
23	7.726	0.61	Homovanillic acid	Oxygenic (Acids)
24	8.068	1.33	Hexadecane	Hydrocarbons (Alkanes)
25	8.142	1.32	Phenol, 2,6-dimethoxy-4-(2-propenyl)-	Aromatic (Phenol)
26	8.710	2.01	Phenol, 2,6-dimethoxy-4-(2-propenyl)-	Aromatic (Phenol)

27	9.100	0.38	3,5-Dimethoxy-4-hydroxyphenylacetic acid	Oxygenic (Acids)
28	9.191	1.86	Octadecane	Hydrocarbons (Alkanes)
29	10.205	1.79	Eicosane	Hydrocarbons (Alkanes)
30	11.133	0.87	Eicosane	Hydrocarbons (Alkanes)
31	11.788	0.19	Cyclotrisiloxane, hexamethyl-	Other
32	11.849	0.07	Tetrasiloxane, decamethyl-	Other
33	11.992	0.32	Cyclotrisiloxane, hexamethyl-	Other
34	12.113	0.17	Cyclotrisiloxane, hexamethyl-	Other
35	12.781	0.51	Cyclotrisiloxane, hexamethyl-	Other
36	14.606	0.75	Cyclotrisiloxane, hexamethyl-	Other
37	14.636	1.72	Cyclotrisiloxane, hexamethyl-	Other
38	14.675	3.25	Cyclotrisiloxane, hexamethyl-	Other
39	14.797	0.78	Cyclotrisiloxane, hexamethyl-	Other
40	14.909	0.71	Cyclotrisiloxane, hexamethyl-	Other
41	14.948	2.28	Cyclotrisiloxane, hexamethyl-	Other
42	14.996	0.68	Silicic acid, diethyl bis(trimethylsilyl) ester	Other
43	15.013	1.32	Tris(tert-butyl dimethylsilyloxy)arsane	Other
44	15.078	1.5	Cyclotrisiloxane, hexamethyl-	Other
45	15.104	1.45	Cyclotrisiloxane, hexamethyl-	Other
46	15.165	1.24	Tris(tert-butyl dimethylsilyloxy)arsane	Other
47	15.273	0.65	Cyclotrisiloxane, hexamethyl-	Other



รูปที่ ค- 9 โครมาโตแกรมน้ำมันชีวภาพจากการไพโรไลซิสเหง้ามันสำปะหลังที่มีตัวเร่งปฏิกิริยา แคลไซน์โดโลไมต์

จากรูป ค-9 แสดงโครมาโตแกรมน้ำมันชีวภาพจากการไพโรไลซิสเหง้ามันสำปะหลังที่มีตัวเร่งปฏิกิริยาแคลไซน์โดโลไมต์ ซึ่งพบองค์ประกอบหลักทางเคมีของน้ำมันชีวภาพ สารประกอบไฮโดรคาร์บอนร้อยละ 21.55, สารประกอบอะโรมาติกร้อยละ 32.52, สารประกอบออกซิเจนร้อยละ 7.17, แอลกอฮอล์ร้อยละ 6.55 และสารอื่น ๆ ร้อยละ 32.21 โดยแสดงองค์ประกอบต่าง ๆ ที่ตรวจพบดังตารางที่ ค-9

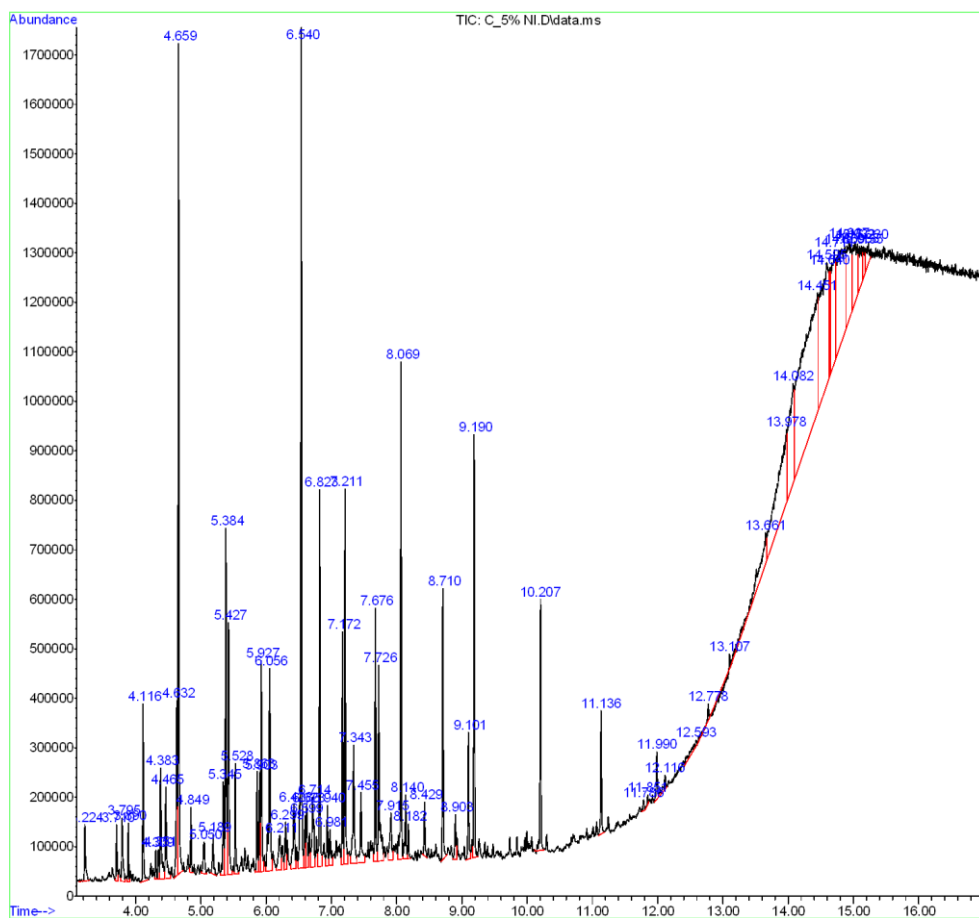
ตารางที่ ค- 9 องค์ประกอบของน้ำมันชีวภาพจากการไพโรไลซิสเหง้ามันสำปะหลังที่มีการเติมตัวเร่งปฏิกิริยาแคลไซน์โดโลไมต์

ลำดับที่	เวลา (นาท)	พื้นที่พีค (ร้อยละ)	ชื่อสาร	หมู่ฟังก์ชัน
1	3.226	0.55	Butyrolactone	Oxygenic (Ketone)
2	3.711	0.6	Phenol	Aromatic (Phenol)

3	3.798	0.42	Butanal, 3-methyl-	(Alcohol)
4	3.889	0.4	Decane	Hydrocarbons (Alkanes)
5	4.114	0.16	2-Cyclopenten-1-one, 2-hydroxy-3-methyl-	Oxygenic (Ketone)
6	4.309	0.42	Phenol, 2-methyl-	Aromatic (Phenol)
7	4.383	0.63	Butanoic acid, 2-butoxy-1-methyl-2-oxoethyl ester	Oxygenic (Acids)
8	4.465	1.24	p-Cresol	Aromatic (Phenol)
9	4.635	2.35	Phenol, 2-methoxy-	Aromatic (Phenol)
10	4.656	2.21	Cyclobutanol	(Alcohol)
11	4.851	0.38	2-Cyclopenten-1-one, 3-ethyl-2-hydroxy-	Oxygenic (Ketone)
12	5.051	0.59	Phenol, 2,5-dimethyl-	Aromatic (Phenol)
13	5.189	0.51	Phenol, 3,5-dimethyl-	Aromatic (Phenol)
14	5.346	0.53	5-Hydroxymethyl-dihydrofuran-2-one	Oxygenic (Ketone)
15	5.385	1.92	Catechol	Aromatic (Alcohol)
16	5.428	2.79	Dodecane	Hydrocarbons (Alkanes)
17	5.528	0.6	1,4:3,6-Dianhydro-.alpha.-d-glucopyranose	(Alcohol)
18	5.861	0.57	1,2-Benzenediol, 3-methyl-	Aromatic (Benzenes)
19	5.905	0.41	Hydroquinone	Oxygenic (Ketone)
20	5.926	1.13	1,2-Benzenediol, 3-methoxy-	Aromatic (Alcohol)
21	6.056	1.08	Phenol, 4-ethyl-2-methoxy-	Aromatic (Phenol)
22	6.299	0.35	2-Methoxy-4-vinylphenol	Aromatic (Phenol)
23	6.429	0.56	1,4-Benzenediol, 2-methyl-	Aromatic (Alcohol)
24	6.538	1.18	Phenol, 2,6-dimethoxy-	Aromatic (Phenol)
25	6.598	0.5	Eugenol	Aromatic (Phenol)
26	6.624	0.45	Phenol, 3,4-dimethoxy-	Aromatic (Phenol)

27	6.715	0.64	1,3-Benzenediol, 4-ethyl-	Aromatic (Alcohol)
28	6.824	2.87	Tetradecane	Hydrocarbons (Alkanes)
29	6.941	0.44	Phenol, 2-methoxy-4-(1-propenyl)-	Aromatic (Phenol)
30	7.175	0.19	Benzoic acid, 4-hydroxy-3-methoxy-	Oxygenic (Acids)
31	7.210	1.55	Phenol, 2-methoxy-4-(1-propenyl)-	Aromatic (Phenol)
32	7.340	0.88	D-Allose	(Alcohol)
33	7.457	0.66	Apocynin	Oxygenic (Ketone)
34	7.678	1.3	4,4-Dimethyl-5-methylene-2-allylamino-2-thiazoline	Other
35	7.726	1.22	Homovanillyl alcohol	Aromatic (Alcohol)
36	7.916	0.56	3H-Benz[e]indene, 2-methyl-	Aromatic (Indene)
37	8.068	2.62	Hexadecane	Hydrocarbons (Alkanes)
38	8.142	0.51	Phenol, 2,6-dimethoxy-4-(2-propenyl)-	Aromatic (Phenol)
39	8.432	0.37	Phenol, 2,6-dimethoxy-4-(2-propenyl)-	Aromatic (Phenol)
40	8.710	1.66	Phenol, 2,6-dimethoxy-4-(2-propenyl)-	Aromatic (Phenol)
41	8.905	0.31	Ethanone, 1-(4-hydroxy-3,5-dimethoxyphenyl)-	Oxygenic (Ketone)
42	9.104	0.68	3,5-Dimethoxy-4-hydroxyphenylacetic acid	Oxygenic (Acids)
43	9.191	2.06	Octadecane	Hydrocarbons (Alkanes)
44	10.210	1.84	Eicosane	Hydrocarbons (Alkanes)
45	11.137	0.94	Eicosane	Hydrocarbons (Alkanes)
46	11.788	0.08	Tetrasiloxane, decamethyl-	Other
47	11.992	0.41	Cyclotrisiloxane, hexamethyl-	Other
48	12.117	0.25	Tris(tert-butyldimethylsilyloxy)arsane	Other

49	12.781	0.16	Silicic acid, diethyl bis(trimethylsilyl) ester	Other
50	12.863	0.05	Tris(tert-butyldimethylsilyloxy)arsane	Other
51	13.106	0.07	Cyclotrisiloxane, hexamethyl-	Other
52	13.834	2.38	Tris(tert-butyldimethylsilyloxy)arsane	Other
53	14.653	5.52	Cyclotrisiloxane, hexamethyl-	Other
54	14.727	3.62	Cyclotrisiloxane, hexamethyl-	Other
55	14.775	0.69	Cyclotrisiloxane, hexamethyl-	Other
56	14.831	2.06	Cyclotrisiloxane, hexamethyl-	Other
57	14.875	1.13	Cyclotrisiloxane, hexamethyl-	Other
58	14.961	1.69	Cyclotrisiloxane, hexamethyl-	Other
59	14.992	0.8	Cyclotrisiloxane, hexamethyl-	Other



รูปที่ ค- 10 โครมาโตแกรมน้ำมันชีวภาพจากการไพโรไลซิสเหง้ามันสำปะหลังที่มีตัวเร่งปฏิกิริยา 5% นิกเกิล/โคโลไมต์

จากรูป ค-10 แสดงโครมาโตแกรมน้ำมันชีวภาพจากการไพโรไลซิสเหง้ามันสำปะหลังที่มีตัวเร่งปฏิกิริยา 5% นิกเกิล/โคโลไมต์ ซึ่งพบองค์ประกอบหลักทางเคมีของน้ำมันชีวภาพ สารประกอบไฮโดรคาร์บอนร้อยละ 18.01, สารประกอบอะโรมาติกร้อยละ 33.11, สารประกอบไนโตรเจนร้อยละ 1.11, สารประกอบออกซิเจนร้อยละ 6.29, แอลกอฮอล์ร้อยละ 5.50 และสารอื่นๆ ร้อยละ 35.97 โดยแสดงองค์ประกอบต่าง ๆ ที่ตรวจพบดังตารางที่ ค-10

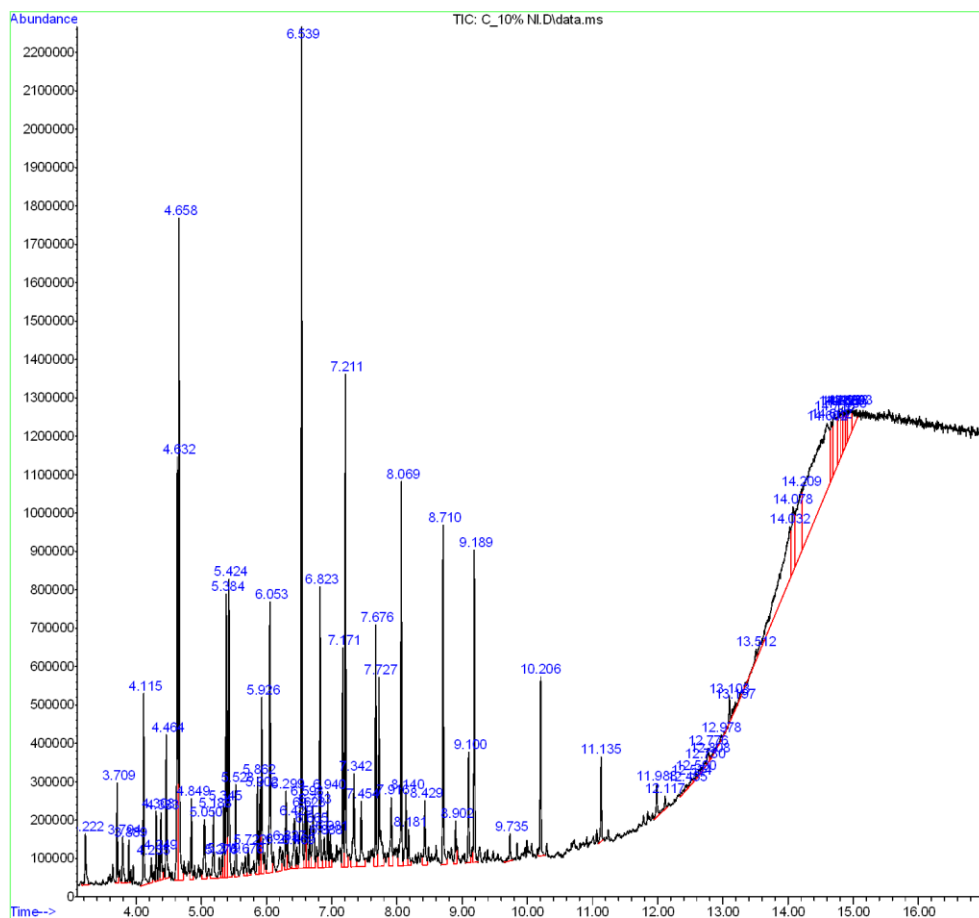
ตารางที่ ค- 10 องค์ประกอบของน้ำมันชีวภาพจากการไพโรไลซิสเหง้ามันสำปะหลังที่มีการเติมตัวเร่งปฏิกิริยา 5% นิกเกิล/โคโลไมต์

ลำดับที่	เวลา (นาที)	พื้นที่พีค (ร้อยละ)	ชื่อสาร	หมู่ฟังก์ชัน
1	3.226	0.44	Butyrolactone	Oxygenic (Ketone)
2	3.711	0.33	Phenol	Aromatic (Phenol)

3	3.794	0.49	2-Hydroxy-gamma-butyrolactone	Oxygenic (Ketone)
4	3.889	0.29	Decane	Hydrocarbons (Alkanes)
5	4.114	0.01	2-Cyclopenten-1-one, 2-hydroxy-3-methyl-	Oxygenic (Ketone)
6	4.309	0.16	Phenol, 2-methyl-	Aromatic (Phenol)
7	4.348	0.2	2H-Pyran-2-one, tetrahydro-	Oxygenic (Ketone)
8	4.383	0.07	2-Furanmethanol, tetrahydro-, acetate	Oxygenic (Ketone)
9	4.465	0.81	p-Cresol	Aromatic (Phenol)
10	4.630	1.07	Phenol, 2-methoxy-	Aromatic (Phenol)
11	4.661	1.83	Cyclopropyl carbino	(Alcohol)
12	4.851	0.37	2-Cyclopenten-1-one, 3-ethyl-2-hydroxy-	Oxygenic (Ketone)
13	5.051	0.35	Phenol, 2,4-dimethyl-	Aromatic (Phenol)
14	5.189	0.03	Phenol, 2,3-dimethyl-	Aromatic (Phenol)
15	5.346	0.06	5-Hydroxymethylidihydrofuran-2-one	Oxygenic (Ketone)
16	5.385	2.27	Catechol	Aromatic (Alcohol)
17	5.428	1.81	Dodecane	Hydrocarbons (Alkanes)
18	5.528	0.67	1,4:3,6-Dianhydro-.alpha.-d-glucopyranose	(Alcohol)
19	5.861	0.61	1,2-Benzenediol, 3-methyl-	Aromatic (Alcohol)
20	5.900	0.55	Hydroquinone	Oxygenic (Ketone)
21	5.926	1.42	1,2-Benzenediol, 3-methoxy-	Aromatic (Alcohol)
22	6.057	1.99	1,2-Benzenediol, 4-methyl-	Aromatic (Alcohol)
23	6.213	0.54	N-Methylallylamine	Nitrogenous (Amines)
24	6.299	0.38	2-Methoxy-4-vinylphenol	Aromatic (Phenol)
25	6.429	0.75	1,2-Benzenediol, 4-methyl-	Aromatic (Alcohol)
26	6.538	4.78	Phenol, 2,6-dimethoxy-	Aromatic (Phenol)
27	6.598	0.39	Phenol, 2-methoxy-3-(2-propenyl)	Aromatic (Phenol)

28	6.624	0.48	Phenol, 3,4-dimethox	Aromatic (Phenol)
29	6.716	0.83	1,3-Benzenediol, 4-ethyl-	Aromatic (Alcohol)
30	6.824	2.22	Tetradecane	Hydrocarbons (Alkanes)
31	6.941	0.43	Phenol, 2-methoxy-4-(1-propenyl)-	Aromatic (Phenol)
32	6.980	0.36	Glycine, N-(3-hydroxybenzoyl)-, methyl ester	Oxygenic (Ketone)
33	7.171	1.26	4-Methoxy-2-methyl-1-(methylthio)benzene	Other
34	7.210	2.21	trans-Isoeugenol	Aromatic (Phenol)
35	7.344	1.15	D-Allose	(Alcohol)
36	7.453	0.04	Apocynin	Oxygenic (Ketone)
37	7.678	0.41	1-(6-Hydroxyimidazo[2,1-b]thiazol-5-yl)ethanone	Oxygenic (Ketone)
38	7.726	0.66	1-(4-methylthiophenyl)-2-propanone	Oxygenic (Ketone)
39	7.916	0.56	2,3,5,6-Tetrafluoroanisole	Other
40	8.068	2.96	Hexadecane	Hydrocarbons (Alkanes)
41	8.142	0.51	Phenol, 2,6-dimethoxy-4-(2-propenyl)	Aromatic (Phenol)
42	8.181	0.2	4-Propyl-1,1'-diphenyl	Aromatic (Benzenes)
43	8.428	0.36	Phenol, 2,6-dimethoxy-4-(2-propenyl)-	Aromatic (Phenol)
44	8.710	1.63	Phenol, 2,6-dimethoxy-4-(2-propenyl)-	Aromatic (Phenol)
45	8.900	0.34	Ethanone, 1-(4-hydroxy-3,5-dimethoxyphenyl)-	Oxygenic (Ketone)
46	9.100	0.09	3,5-Dimethoxy-4-hydroxyphenylacetic acid	Oxygenic (Acids)
47	9.191	2.42	Octadecane	Hydrocarbons (Alkanes)
48	10.205	1.5	Eicosane	Hydrocarbons (Alkanes)

49	11.138	0.76	Eicosane	Hydrocarbons (Alkanes)
50	11.788	0.09	(E)-2-bromobutyloxychalcone	Oxygenic (Ketone)
51	11.853	0.05	Cyclotrisiloxane, hexamethyl-	Other
52	11.992	0.34	Di-n-decylsulfone	Other
53	12.117	0.2	Benzo[h]quinoline, 2,4-dimethyl-	Nitrogenous (Pyridines)
54	12.594	0.26	Cyclotrisiloxane, hexamethyl-	Other
55	12.776	0.16	Cyclotrisiloxane, hexamethyl-	Other
56	13.106	0.24	Tris(tert-butyldimethylsilyloxy)arsan	Other
57	13.661	1.55	Cyclotrisiloxane, hexamethyl-	Other
58	13.977	5.03	Tris(tert-butyldimethylsilyloxy)arsane	Other
59	14.081	3.19	Cyclotrisiloxane, hexamethyl-	Other
60	14.450	0.3	Cyclotrisiloxane, hexamethyl-	Other
61	14.597	0.81	Cyclotrisiloxane, hexamethyl-	Other
62	14.640	0.86	Cyclotrisiloxane, hexamethyl-	Other
63	14.710	3.15	Cyclotrisiloxane, hexamethyl-	Other
64	14.870	0.05	Cyclotrisiloxane, hexamethyl-	Other
65	14.935	2.59	Cyclotrisiloxane, hexamethyl-	Other
66	15.031	1.71	Cyclotrisiloxane, hexamethyl-	Other
67	15.087	0.96	Tris(tert-butyldimethylsilyloxy)arsane	Other
68	15.156	0.37	Cyclotrisiloxane, hexamethyl-	Other
69	15.230	0.45	Trimethyl[4-(2-methyl-4-oxo-2-pentyl)phenoxy]silane	Other



รูปที่ ค- 11 โครมาโตแกรมน้ำมันชีวภาพจากการไพโรไลซิสแห้งมันสำปะหลังที่มีตัวเร่งปฏิกิริยา 10% นิกเกิล/โดโลไมต์

จากรูป ค-11 แสดงโครมาโตแกรมน้ำมันชีวภาพจากการไพโรไลซิสแห้งมันสำปะหลังที่มีตัวเร่งปฏิกิริยา 10% นิกเกิล/โดโลไมต์ ซึ่งพบองค์ประกอบหลักทางเคมีของน้ำมันชีวภาพ สารประกอบไฮโดรคาร์บอนร้อยละ 13.66, สารประกอบอะโรมาติกร้อยละ 34.09, สารประกอบไนโตรเจนร้อยละ 7.94, สารประกอบออกซิเจนร้อยละ 6.16 แอลกอฮอล์ร้อยละ 4.18 และสารอื่น ๆ ร้อยละ 33.97 โดยแสดงองค์ประกอบต่าง ๆ ที่ตรวจพบดังตารางที่ ค-11

ตารางที่ ค- 11 องค์ประกอบของน้ำมันชีวภาพจากการไพโรไลซิสแห้งมันสำปะหลังที่มีการเติมตัวเร่งปฏิกิริยา 10% นิกเกิล/โดโลไมต์

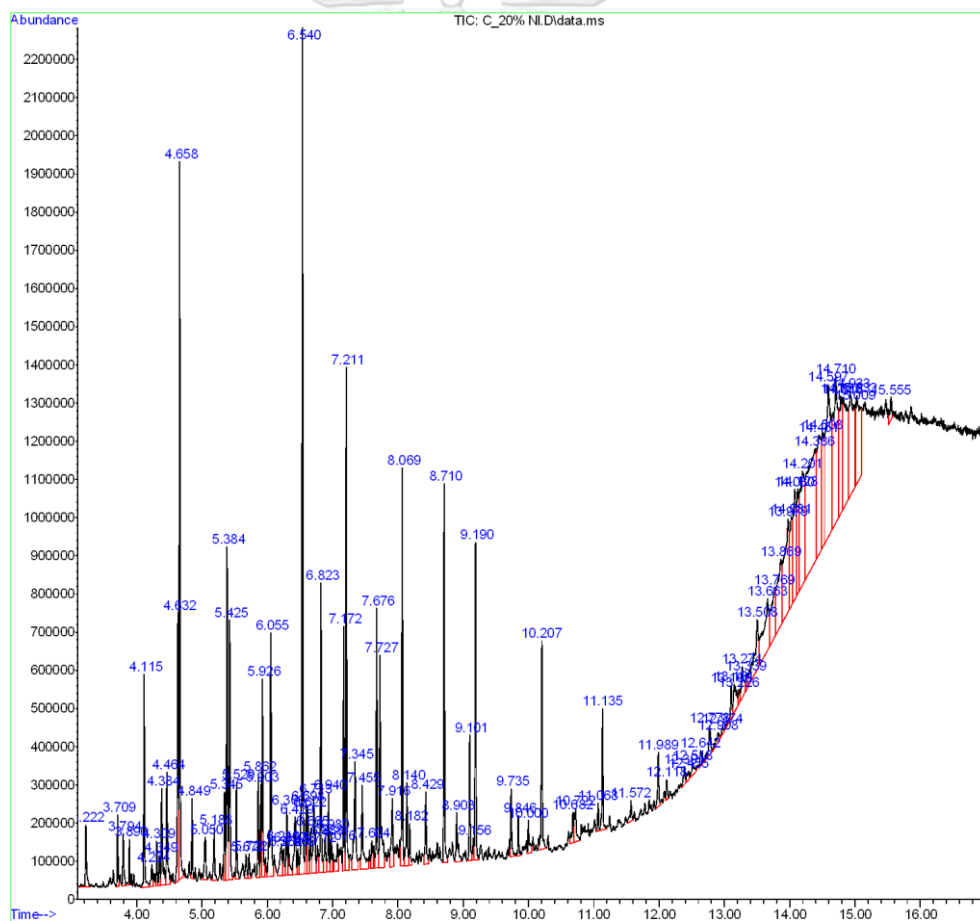
ลำดับที่	เวลา (นาที)	พื้นที่พีค (ร้อยละ)	ชื่อสาร	หมู่ฟังก์ชัน
1	3.221	0.53	Butyrolactone	Oxygenic (Ketone)
2	3.711	0.66	Phenol	Aromatic (Phenol)

3	3.793	0.45	Cyclopentanol	(Alcohol)
4	3.889	0.29	Decane	Hydrocarbons (Alkanes)
5	4.114	0.43	2-Cyclopenten-1-one, 2-hydroxy-3-methyl-	Oxygenic (Ketone)
6	4.236	0.26	2-Cyclopenten-1-one, 2,3-dimethyl-	Oxygenic (Ketone)
7	4.309	0.45	Phenol, 2-methyl-	Aromatic (Phenol)
8	4.348	0.24	2H-Pyran-2-one, tetrahydro-	Oxygenic (Ketone)
9	4.383	0.63	2-Furanmethanol, tetrahydro-, acetate	Oxygenic (Ketone)
10	4.465	0.62	p-Cresol	Aromatic (Phenol)
11	4.630	1.31	Phenol, 2-methoxy-	Aromatic (Phenol)
12	4.656	5.05	Diazene, [1-(2,2-dimethylhydrazino)ethyl]ethyl	Nitrogenous (Nitriles)
13	4.847	0.64	2-Cyclopenten-1-one, 3-ethyl-2-hydroxy-	Oxygenic (Ketone)
14	5.051	0.8	Phenol, 2,4-dimethyl-	Aromatic (Phenol)
15	5.189	0.68	Phenol, 3,5-dimethyl-	Aromatic (Phenol)
16	5.276	0.19	Phenol, 2,3-dimethyl-	Aromatic (Phenol)
17	5.319	0.17	2-Methoxy-6-methylphenol	Aromatic (Phenol)
18	5.345	0.08	5-Hydroxymethylidihydrofuran-2-one	Oxygenic (Ketone)
19	5.384	2.44	Catechol	Aromatic (Alcohol)
20	5.423	1.24	Creosol	Aromatic (Phenol)
21	5.528	0.72	1,4:3,6-Dianhydro-.alpha.-d-glucopyranose	(Alcohol)
22	5.675	0.24	2,3-Anhydro-d-mannosa	(Alcohol)
23	5.723	0.31	3,4-Dimethoxytoluene	Aromatic (Phenol)
24	5.861	0.74	1,2-Benzenediol, 3-methyl-	Aromatic (Alcohol)
25	5.900	0.05	Hydroquinone	Oxygenic (Ketone)
26	5.926	1.52	1,2-Benzenediol, 3-methoxy-	Aromatic (Alcohol)
27	6.052	0.98	Phenol, 4-ethyl-2-methoxy-	Aromatic (Phenol)

28	6.213	0.48	Butanal, 3-hydroxy-	(Alcohol)
29	6.299	0.67	2-Methoxy-4-vinylphenol	Aromatic (Phenol)
30	6.325	0.26	Z-1-Methoxy-2-pentene	Oxygenic (Aldehyde)
31	6.429	0.73	1,4-Benzenediol, 2-methyl-	Aromatic (Alcohol)
32	6.468	0.16	1H-Inden-5-ol, 2,3-dihydro-	Aromatic (Phenol)
33	6.538	0.12	Phenol, 2,6-dimethoxy-	Aromatic (Phenol)
34	6.598	0.6	Phenol, 2-methoxy-3-(2-propenyl)-	Aromatic (Phenol)
35	6.624	0.54	3-Amino-2,6-dimethoxypyridine	Nitrogenous (Pyridines)
36	6.663	0.34	Phenol, 2-methoxy-4-propyl-	Aromatic (Phenol)
37	6.711	0.85	1,3-Benzenediol, 4-ethyl-	Aromatic (Alcohol)
38	6.824	2.14	Tetradecane	Hydrocarbons (Alkanes)
39	6.889	0.39	Vanillin	Oxygenic (Ketone)
40	6.941	0.62	Phenol, 2-methoxy-4-(1-propenyl)-	Aromatic (Phenol)
41	6.980	0.32	Dimethylphenylphosphine	Other
42	7.171	1.6	4-Methoxy-2-methyl-1-(methylthio)benzene	Other
43	7.210	2.02	Phenol, 2-methoxy-4-(1-propenyl)-	Aromatic (Phenol)
44	7.344	1.21	D-Allose	(Alcohol)
45	7.452	0.09	Apocynin	Oxygenic (Ketone)
46	7.678	1.78	5-tert-Butylpyrogallol	Aromatic (Alcohol)
47	7.726	0.02	Ethyl homovanillate	Oxygenic (Aldehyde)
48	7.916	0.08	4-Methyl-2,5-dimethoxybenzaldehyde	Oxygenic (Aldehyde)
49	8.068	2.99	Hexadecane	Hydrocarbons (Alkanes)
50	8.142	0.78	Phenol, 2,6-dimethoxy-4-(2-propenyl)-	Aromatic (Phenol)
51	8.181	0.34	4-Propyl-1,1'-diphenyl	Aromatic (Benzenes)
52	8.428	0.69	Phenol, 2,6-dimethoxy-4-(2-propenyl)	Aromatic (Phenol)
53	8.710	2.56	Phenol, 2,6-dimethoxy-4-(2-propenyl)-	Aromatic (Phenol)

54	8.900	0.41	Ethanone, 1-(4-hydroxy-3,5-dimethoxyphenyl)	Oxygenic (Ketone)
55	9.100	0.92	Desaspidinol	Aromatic (Alcohol)
56	9.191	2.31	Octadecane	Hydrocarbons (Alkanes)
57	9.733	0.29	2-Nonadecanone	Oxygenic (Ketone)
58	10.205	1.41	Eicosane	Hydrocarbons (Alkanes)
59	11.133	0.68	Eicosane	Hydrocarbons (Alkanes)
60	11.987	0.31	Eicosane	Hydrocarbons (Alkanes)
61	12.117	0.17	Benzo[h]quinoline, 2,4-dimethyl-	Nitrogenous (Pyridines)
62	12.455	0.17	2-(Acetoxymethyl)-3-(methoxycarbonyl)biphenylene	Oxygenic (Acids)
63	12.525	0.12	Cyclotrisiloxane, hexamethyl-	Other
64	12.590	0.1	1,2-Benzisothiazol-3-amine tbdms	Nitrogenous (Amines)
65	12.728	0.22	Tris(tert-butyl dimethylsilyloxy)arsane	Other
66	12.776	0.2	Cyclotrisiloxane, hexamethyl-	Other
67	12.807	0.03	5-Methyl-2-phenylindolizine	Nitrogenous (Indoles)
68	12.976	0.19	Cyclotrisiloxane, hexamethyl-	Other
69	13.101	0.2	Cyclotrisiloxane, hexamethyl-	Other
70	13.197	0.15	Cyclotrisiloxane, hexamethyl-	Other
71	13.513	0.21	Silicic acid, diethyl bis(trimethylsilyl) ester	Other
72	14.033	5.13	Tris(tert-butyl dimethylsilyloxy)arsane	Other
73	14.077	1.44	Cyclotrisiloxane, hexamethyl-	Other
74	14.211	3.15	Cyclotrisiloxane, hexamethyl-	Other
75	14.601	5.43	Cyclotrisiloxane, hexamethyl-	Other
76	14.662	0.92	Cyclotrisiloxane, hexamethyl-	Other

77	14.714	1.77	Cyclotrisiloxane, hexamethyl-	Other
78	14.783	1.08	Cyclotrisiloxane, hexamethyl-	Other
79	14.827	0.68	Cyclotrisiloxane, hexamethyl-	Other
80	14.870	0.74	Trimethyl[4-(1-methyl-1-methoxyethyl)phenoxy]silane	Other
81	14.900	0.41	Cyclotrisiloxane, hexamethyl-	Other
82	14.926	0.8	Cyclotrisiloxane, hexamethyl-	Other
83	14.991	0.44	4-Methyl-2-trimethylsilyloxy-acetophenone	Other



รูปที่ ค- 12 โครมาโตแกรมน้ำมันชีวภาพจากการไพโรไลซิสแห้งมันสำปะหลังที่มีตัวเร่งปฏิกิริยา 20% นิกเกิล/โคโลไมต์

จากรูป ค-12 แสดง โครมาโตแกรมน้ำมันชีวภาพจากการไพโรไลซิสแห้งมันสำปะหลังที่มีตัวเร่งปฏิกิริยา 20% นิกเกิล/โคโลไมต์ ซึ่งพบองค์ประกอบหลักทางเคมีของน้ำมันชีวภาพ

สารประกอบไฮโดรคาร์บอนร้อยละ 12.09, สารประกอบอะโรมาติกร้อยละ 31.70, สารประกอบไนโตรเจนร้อยละ 9.66, สารประกอบออกซิเจนร้อยละ 6.14, แอลกอฮอล์ร้อยละ 3.66 และสารอื่นๆ ร้อยละ 36.76 โดยแสดงองค์ประกอบต่าง ๆ ที่ตรวจพบดังตารางที่ ค-12

ตารางที่ ค- 12 องค์ประกอบของน้ำมันชีวภาพจากการไพโรไลซิสของน้ำมันรำปะหลังที่มีการเติมตัวเร่งปฏิกิริยา 20% นิกเกิล/โคบอลต์

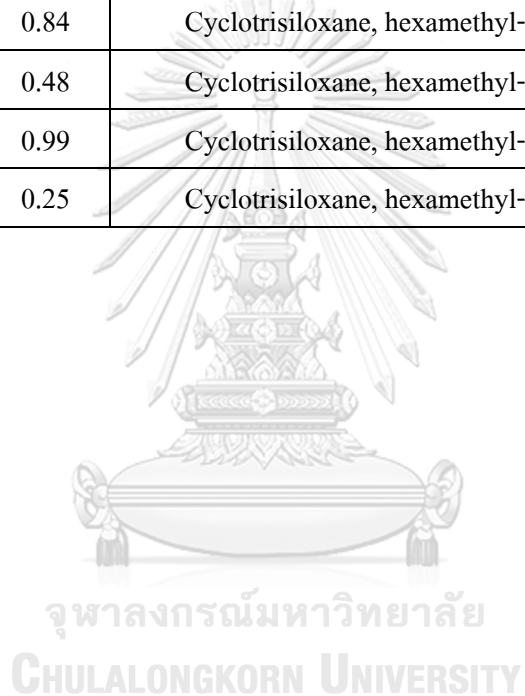
ลำดับที่	เวลา (นาท)	พื้นที่พีค (ร้อยละ)	ชื่อสาร	หมู่ฟังก์ชัน
1	3.221	0.04	Butyrolactone	Oxygenic (Ketone)
2	3.711	0.33	Phenol	Aromatic (Phenol)
3	3.793	0.34	Cyclopentanol	(Alcohol)
4	3.889	0.18	Decane	Hydrocarbons (Alkanes)
5	4.114	0.06	2-Cyclopenten-1-one, 2-hydroxy-3-methyl-	Oxygenic (Ketone)
6	4.236	0.08	2-Cyclopenten-1-one, 2,3-dimethyl-	Oxygenic (Ketone)
7	4.309	0.22	Phenol, 2-methyl-	Aromatic (Phenol)
8	4.348	0.09	2H-Pyran-2-one, tetrahydro-	Oxygenic (Ketone)
9	4.383	0.03	2-Furanmethanol, tetrahydro-, acetate	Oxygenic (Ketone)
10	4.465	0.78	p-Cresol	Aromatic (Phenol)
11	4.630	1.33	Phenol, 2-methoxy-	Aromatic (Phenol)
12	4.656	3.58	Diazene, [1-(2,2-dimethylhydrazino)ethyl]ethyl-	Nitrogenous (Nitriles)
13	4.851	0.36	2-Cyclopenten-1-one, 3-ethyl-2-hydroxy-	Oxygenic (Ketone)
14	5.051	0.39	Phenol, 2,5-dimethyl-	Aromatic (Phenol)
15	5.189	0.37	Phenol, 3,5-dimethyl-	Aromatic (Phenol)
16	5.345	0.04	5-Hydroxymethyl-dihydrofuran-2-one	Oxygenic (Ketone)
17	5.384	1.86	Catechol	Aromatic (Alcohol)
18	5.423	1.56	Creosol	Aromatic (Phenol)

19	5.528	0.5	1,4:3,6-Dianhydro-.alpha.-d-glucopyranose	(Alcohol)
20	5.675	0.18	Cyclopentanecarboxylic acid, 3-tetradecyl ester	Oxygenic (Acids)
21	5.723	0.18	3,4-Dimethoxytoluene	Aromatic (Phenol)
22	5.861	0.56	1,2-Benzenediol, 3-methyl-	Aromatic (Alcohol)
23	5.905	0.04	Hydroquinone	Oxygenic (Ketone)
24	5.926	1.17	1,2-Benzenediol, 3-methoxy-	Aromatic (Alcohol)
25	6.056	1.9	1,2-Benzenediol, 4-methyl-	Aromatic (Alcohol)
26	6.217	0.42	Ethanedial, bis(dimethylhydrazone)	Oxygenic (Ketone)
27	6.252	0.2	2-Ethyl-3-methoxypyrazine	Nitrogenous (Pyridines)
28	6.299	0.44	2-Methoxy-4-vinylphenol	Aromatic (Phenol)
29	6.330	0.26	Cyclopentanol, 2-methyl	(Alcohol)
30	6.429	0.62	1,4-Benzenediol, 2-methyl-	Aromatic (Alcohol)
31	6.468	0.16	1H-Inden-5-ol, 2,3-dihydro-	Aromatic (Phenol)
32	6.538	2.38	Phenol, 2,6-dimethoxy-	Aromatic (Phenol)
33	6.598	0.43	Phenol, 2-methoxy-3-(2-propenyl)-	Aromatic (Phenol)
34	6.624	0.42	Phenol, 3,4-dimethoxy-	Aromatic (Phenol)
35	6.663	0.27	Phenol, 2-methoxy-4-propyl-	Aromatic (Phenol)
36	6.711	0.74	4-Ethylcatechol	Aromatic (Alcohol)
37	6.772	0.21	1-Hexadecanol	(Alcohol)
38	6.824	1.59	Tetradecane	Hydrocarbons (Alkanes)
39	6.889	0.31	Vanillin	Oxygenic (Ketone)
40	6.941	0.47	Phenol, 2-methoxy-4-(1-propenyl)	Aromatic (Phenol)
41	6.980	0.27	Benzoic acid, 4-hydroxy-	Oxygenic (Acids)
42	7.075	0.31	Propanedioic acid, propyl-	Oxygenic (Acids)
43	7.171	0.19	Benzoic acid, 4-hydroxy-3-methoxy-	Oxygenic (Acids)
44	7.210	2.51	trans-Isoeugenol	Aromatic (Phenol)

45	7.344	1.05	.beta.-D-Glucopyranose, 1,6-anhydro-	(Alcohol)
46	7.457	0.07	Apocynin	Oxygenic (Ketone)
47	7.604	0.24	Propanoic acid, 2-methyl-, 2-methylpropyl ester	Oxygenic (Acids)
48	7.678	1.3	Phenol, 3-[(trimethylsilyl)oxy]-	Other
49	7.726	0.05	1-(4-methylthiophenyl)-2-propanone	Oxygenic (Ketone)
50	7.916	0.63	2,3,5,6-Tetrafluoroanisole	Other
51	8.068	2.01	Hexadecane	Hydrocarbons (Alkanes)
52	8.137	0.6	Phenol, 2,6-dimethoxy-4-(2-propenyl)-	Aromatic (Phenol)
53	8.181	0.25	4-Propyl-1,1'-diphenyl	Aromatic (Benzenes)
54	8.428	0.51	Phenol, 2,6-dimethoxy-4-(2-propenyl)-	Aromatic (Phenol)
55	8.710	1.91	N-(4-Methoxyphenyl)-2-hydroxyimino-acetamide	Nitrogenous (Amide)
56	8.905	0.45	Ethanone, 1-(4-hydroxy-3,5-dimethoxyphenyl)-	Oxygenic (Ketone)
57	9.100	0.07	3,5-Dimethoxy-4-hydroxyphenylacetic acid	Oxygenic (Acids)
58	9.156	0.13	Cetene	Hydrocarbons (Alkenes)
59	9.191	1.7	Octadecane	Hydrocarbons (Alkanes)
60	9.737	0.09	2-Heptadecanone	Oxygenic (Ketone)
61	9.846	0.25	Hexadecanoic acid, methyl ester	Oxygenic (Acids)
62	10.002	0.26	Allantoin	Other
63	10.205	1.22	Eicosane	Hydrocarbons (Alkanes)
64	10.682	0.26	Pentadecane	Hydrocarbons (Alkanes)
65	10.721	0.4	1,1-Bis[aziridyltrimethylamine]	Nitrogenous (Amines)

66	11.068	0.16	Oxacycloheptadec-8-en-2-one, (8Z)	Oxygenic (Ketone)
67	11.137	0.71	Eicosane	Hydrocarbons (Alkanes)
68	11.571	0.17	(-)-cis-3,4-Dimethyl-2-phenyltetrahydro-1,4-thiazine	Other
69	11.987	0.35	Octadecane, 1-iodo-	Other
70	12.117	0.14	Benzo[h]quinoline, 2,4-dimethyl-	Nitrogenous (Pyridines)
71	12.390	0.16	2-(Acetoxymethyl)-3-(methoxycarbonyl)biphenylene	Oxygenic (Acids)
72	12.455	0.1	Tris(tert-butyltrimethylsilyloxy)arsane	Other
73	12.516	0.17	Tris(tert-butyltrimethylsilyloxy)arsane	Other
74	12.642	0.12	Heptasiloxane, 1,1,3,3,5,5,7,7,9,9,11,11,13,13-tetradecamethyl-	Other
75	12.776	0.35	Tris(tert-butyltrimethylsilyloxy)arsane	Other
76	12.906	0.16	Cyclotrisiloxane, hexamethyl-	Other
77	12.976	0.07	Tris(tert-butyltrimethylsilyloxy)arsane	Other
78	13.106	0.26	Cyclotrisiloxane, hexamethyl-	Other
79	13.149	0.46	Tris(tert-butyltrimethylsilyloxy)arsane	Other
80	13.227	0.09	Cyclotrisiloxane, hexamethyl-	Other
81	13.275	0.43	Cyclotrisiloxane, hexamethyl-	Other
82	13.340	0.13	Tris(tert-butyltrimethylsilyloxy)arsan	Other
83	13.509	1.19	Cyclotrisiloxane, hexamethyl-	Other
84	13.661	1.64	Cyclotrisiloxane, hexamethyl-	Other
85	13.769	1.07	Cyclotrisiloxane, hexamethyl-	Other
86	13.869	0.84	Cyclotrisiloxane, hexamethyl-	Other
87	13.977	0.46	Cyclotrisiloxane, hexamethyl-	Other
88	14.029	0.13	Cyclotrisiloxane, hexamethyl-	Other
89	14.081	0.78	Cyclotrisiloxane, hexamethyl-	Other
90	14.129	0.36	Cyclotrisiloxane, hexamethyl-	Other

91	14.202	0.85	Cyclotrisiloxane, hexamethyl-	Other
92	14.385	0.96	Tris(tert-butyldimethylsilyloxy)arsane	Other
93	14.450	2.8	Cyclotrisiloxane, hexamethyl-	Other
94	14.506	1.72	Cyclotrisiloxane, hexamethyl-	Other
95	14.597	0.53	Tris(tert-butyldimethylsilyloxy)arsane	Other
96	14.710	0.88	Tris(tert-butyldimethylsilyloxy)arsane	Other
97	14.788	0.95	Cyclotrisiloxane, hexamethyl-	Other
98	14.818	0.95	Cyclotrisiloxane, hexamethyl-	Other
99	14.935	0.84	Cyclotrisiloxane, hexamethyl-	Other
100	15.009	0.48	Cyclotrisiloxane, hexamethyl-	Other
101	15.031	0.99	Cyclotrisiloxane, hexamethyl-	Other
102	15.555	0.25	Cyclotrisiloxane, hexamethyl-	Other





จุฬาลงกรณ์มหาวิทยาลัย
CHULALONGKORN UNIVERSITY

บรรณานุกรม



จุฬาลงกรณ์มหาวิทยาลัย
CHULALONGKORN UNIVERSITY

1. Choa, E.J.; Trinha, L.T.P.; Songa, Y.; Leec, Y.G.; Baea, H-J. . "Bioconversion of Biomass Waste into High Value Chemical." *Bioresource Technology* 122386 (2019).
2. Amir Sada Khan, A.S.; Man, Z.; Bustam, M.A.; Kait, C.F.; Ullah, Z.; Nasrullah, A.; Khan, M.I.; Girma Gonfa, G.; Ahmad, P.; Muhammad, N. "Kinetics and Thermodynamic Parameters of Ionic Liquid Pretreated Rubber Wood Biomass." *J. Mol. Liquids.* 223 (2016): 754–62.
3. Ozoegwu, C.G.; Eze, C.; Onwosi, C.O.; Mgbemene, C.A.; Ozor, P.A. . "Biomass and Bioenergy Potential of Cassava Waste in Nigeria: Estimations Based Partly on Rural-Level Garri Processing Case Studies." *Renew Sust. Energ.* 72 (2017): 625-38.
4. Ghani, W.A.W.A.K.; Mohda, A.; Silva, G.d.; Bachmannd, R.T.; Taufiq-Yape, Y.H.; Rashidf, U.; Al-Muhtasebg, A.H. . "Biochar Production from Waste Rubber-Wood-Sawdust and Its Potential Use in C Sequestration: Chemical and Physical Characterization." *Industrial Crops and Products.* 44 (2013): 18-24.
5. Alvarez-Chavez, B.J.; Godbout, S.; Palacios-Rios, J.H.; Roux, E.; Raghavan, V. "Physical, Chemical, Thermal and Biological Pre-Treatment Technologies in Fast Pyrolysis to Maximize Bio-Oil Quality: A Critical Review." *Biomass and Bioenergy.* 128 (2019): 105-333.
6. Kurnia, I.; Karnjanakom, S.; Bayu, A.; Yoshida, A.; Rizkiana, J.; Prakoso, T.; Abudula, A.; Guan, G., "In-Situ Catalytic Upgrading of Bio-Oil Derived from Fast Pyrolysis of Lignin over High Aluminum Zeolites." *Fuel Process. Technol.* 167 (2017): 730-37.

7. Charusiri, W.; Vitidsant, T. "Upgrading Bio-Oil Produced from the Catalytic Pyrolysis of Sugarcane (*Saccharum Officinarum* L) Straw Using Calcined Dolomite." *Sustainable Chemistry and Pharmacy*. 6 (2017): 114-23.
8. Man KeeLam, Choon GekKhuo, Keat TeongLee,. "Scale-up and Commercialization of Algal Cultivation and Biofuels Production." *Biomass, Biofuels, Biochemicals*, (2019): 475-506.
9. Adeniyi Lawal, Robert J.Farrauto. "The Convergence of Emission Control and Source of Clean Energy." *New and Future Developments in Catalysis* (2013): 195-231.
10. S.W. Banks, A.V. Bridgwater. "Catalytic Fast Pyrolysis for Improved Liquid Quality." *Processes and Technologies* (2016,): 391-429.
11. Thomas Abdallah. "Sustainable Mass Transit." *Challenges and Opportunities in Urban Public Transportation* (2017): 31-44.
12. ศูนย์ส่งเสริมพลังงานชีวมวล. "ศักยภาพของชีวมวล,." (2549).
13. Lalit M. Srivastava. "Plant Growth and Development." *Hormones and Environment* (2002): 757-72.
14. Herminia Dominguez González, María Jesús González Muñoz. "Water Extraction of Bioactive Compounds." *Plants to Drug Development* (2018): 530.
15. Durgesh Kumar Tripathi, Parvaiz Ahmad, ... Nawal Kishore Dubey. "Nanomaterials in Plants, Algae, and Microorganisms." *Concepts and Controversies* 1 (2018): 407-28.

16. M.N. GUPTA. "Natural-Based Polymers for Biomedical Applications." *Woodhead Publishing Series in Biomaterials* (2008): 54-84.
17. Ashter, S.A. "Biomass and Its Sources." *Technology and Applications of Polymers Derived from Biomass* (2018): 11-36.
18. Prabir Basu. "Biomass Gasification, Pyrolysis and Torrefaction (Third Edition)." *Practical Design and Theory* (2018): 93-154.
19. Rawel Singh, Aditya Prakash, Bhavya Balagurumurthy, Thallada Bhaskar,. "Hydrothermal Liquefaction of Biomass." *Recent Advances in Thermo-Chemical Conversion of Biomass* (2015): 269-91.
20. ประพันธ์ คุณลธธา และ ศศิธร สรรพอคำ. พลังงานจากชีวมวลและวัสดุเหลือใช้. กรุงเทพฯ, 2557.
21. Haiping Yang, Rong Yan, Hanping Chen, Dong Ho Lee, Chuguang Zheng,. "Characteristics of Hemicellulose, Cellulose and Lignin Pyrolysis." *Fuel* 86, no. 12–13 (2007): 1781-88
22. Mohamed A.Fahim, Taher A. Alsahhaf, Amal Elkilani,. "Clean Fuels." *Fundamentals of Petroleum Refining* (2010): 303-24.
23. H.Haykiri-Acma, S. Yaman, S. Kucukbayrak,. "Effect of Heating Rate on the Pyrolysis Yields of Rapeseed." *Renewable Energy* 31, no. 6 (2006): 803-10

24. Jun Shen, Xiao-Shan Wang, Manuel Garcia-Pereza, Daniel Mourant, Martin J Rhodes, Chun-Zhu Li, "Effects of Particle Size on the Fast Pyrolysis of Oil Mallee Woody Biomass." *Fuel* 88, no. 10 (2009): 1810-17.
25. A. Pattiya. "Fast Pyrolysis." *Direct Thermochemical Liquefaction for Energy Applications* (2018,): 3-28.
26. Elbaba, I.F.; Williams, P.T. . "High Yield Hydrogen from the Pyrolysis–Catalytic Gasification of Waste Tyres with a Nickel/Dolomite Catalyst." *Fuel*. 106 (2013): 528–36.
27. Ly, H.V.; Lim, D-H.; Sim, J.W.; Kim, S-S.; Kim, J. . "Catalytic Pyrolysis of Tulip Tree (Liriodendron) in Bubbling Fluidizedbed Reactor for Upgrading Bio-Oil Using Dolomite Catalyst." *Energy*. 162 (2018): 564-75.
28. Stefanidis, S.D.; Karakouliia, S.A.; Kalogiannis, K.G.; Iliopoulou, E.F.; Delimitis, A.; Yiannoulakis, H.; Zampetakis, T.; Lappas, A.A.; Triantafyllidis, K.S. . "Natural Magnesium Oxide (Mgo) Catalysts: A Cost-Effective Sustainable Alternative to Acid Zeolites for the in Situ Upgrading of Biomass Fast Pyrolysis Oil." *Appl. Catal. B Environ*. 196 (2016): 155–73.
29. Sirijanusorn, S.; Sriprateep, K.; Pattiya, A. . "Pyrolysis of Cassava Rhizome in a Counter-Rotating Twin Screw Reactor Unit." *Bioresource Technology* 139 (2013): 343–48.
30. Thanandorn Prakob. "Liquid Fuel Production from Pyrolysis of Ceratophyllum Demersum L. Using Dolomite in Continuous Reactor." *Sci - Theses* (2018).

31. นพิตา หิณฐิระนันท์. เทคโนโลยีตัวเร่งปฏิกิริยา. โรงพิมพ์แห่งจุฬาลงกรณ์มหาวิทยาลัย,: ภาควิชาเคมีเทคนิค คณะ วิทยาศาสตร์ จุฬาลงกรณ์มหาวิทยาลัย,, 2556.
32. Keiichi Tomishige, Dalin Li, Masazumi Tamura, Yoshinao Nakagawa,. "Nickel–Iron Alloy Catalysts for Reforming of Hydrocarbons: Preparation, Structure, and Catalytic Properties." *Science & Technology* 7 (2017): 3952.
33. Xua T, Xub F, Moyoa G.G, Sunc Y, Chenc Z, Xiaoa B, Wanga X, Hua Z,. "Comparative Study of Mxoy (M = Cu, Fe and Ni) Supported on Dolomite for Syngas Production Via Chemical Looping Reforming with Toluene." *Energy Conversion and Management*, no. 199, 111937 (2019,): 111937.
34. Ross A.B. "Classification of Macroalgae as Fuel and Its Thermochemical Behaviour." *Bioresour Technol* (2008): 494-504.
35. Ayman Hijazi, Ala'a H. Al-Muhtaseb, Samer Aouad, Mohammad N.Ahmad, Joseph Zeaiter,. "Pyrolysis of Waste Rubber Tires with Palladium Doped Zeolite." *Journal of Environmental Chemical Engineering* 7, no. 6 (2019): 103451.
36. Kuntheera Kumpeera. "Effects of Acid and Base Catalaysts on Bio-Oil Production of Casava Rhizome Pyrolysis in Continuous Reactor." Chulalongkorn Univesity, 2017.

ประวัติผู้เขียน

ชื่อ-สกุล	กิตติเดช ประเสริฐทวีพร
วัน เดือน ปี เกิด	16 พฤษภาคม 2533
สถานที่เกิด	หนองคาย
วุฒิการศึกษา	วิศวกรรมศาสตรบัณฑิต (วิศวกรรมเคมี) Bachelor of Engineering (Chemical Engineering)
ที่อยู่ปัจจุบัน	15/451 ดิכון ไตรรามคำแหง ซอย9 ถนนรามคำแหง หัวหมาก กรุงเทพฯ 10240



จุฬาลงกรณ์มหาวิทยาลัย
CHULALONGKORN UNIVERSITY